

CONTRIBUȚII LA ÎMBUNĂȚIREA CALITĂȚII TRANSMISIEI VOCII ÎN REȚELELE FĂRĂ FIR BAZATE PE STANDARDUL IEEE 802.11

Teză destinată obținerii
titlului științific de doctor inginer
la
Universitatea „Politehnica” din Timișoara
în domeniul INGINERIE ELECTRONICĂ ȘI TELECOM-
NICAȚII
de către

...Ing. Mirela-Laura Ioaneșiu

Conducător științific:
Referenți științifici:

Prof.dr.ing.Corneliu I. Toma
Prof.dr. ing.Mircea Petrescu
Prof.dr.ing. Gavril Todorean
Prof.dr.ing. Miranda Monica Naforniță

Ziua susținerii tezei: 03.12.2010.....

Seriile Teze de doctorat ale UPT sunt:

- | | |
|------------------------|---|
| 1. Automatică | 7. Inginerie Electronică și Telecomunicații |
| 2. Chimie | 8. Inginerie Industrială |
| 3. Energetică | 9. Inginerie Mecanică |
| 4. Ingineria Chimică | 10. Știința Calculatoarelor |
| 5. Inginerie Civilă | 11. Știința și Ingineria Materialelor |
| 6. Inginerie Electrică | |

Universitatea „Politehnica” din Timișoara a inițiat seriile de mai sus în scopul diseminării expertizei, cunoștințelor și rezultatelor cercetărilor întreprinse în cadrul școlii doctorale a universității. Seriile conțin, potrivit H.B.Ex.S Nr. 14 / 14.07.2006, tezele de doctorat susținute în universitate începând cu 1 octombrie 2006.

Copyright © Editura Politehnica – Timișoara, 2006

Această publicație este supusă prevederilor legii dreptului de autor. Multiplicarea acestei publicații, în mod integral sau în parte, traducerea, tipărirea, reutilizarea ilustrațiilor, expunerea, radiodifuzarea, reproducerea pe microfilme sau în orice altă formă este permisă numai cu respectarea prevederilor Legii române a dreptului de autor în vigoare și permisiunea pentru utilizare obținută în scris din partea Universității „Politehnica” din Timișoara. Toate încălcările acestor drepturi vor fi penalizate potrivit Legii române a drepturilor de autor.

România, 300159 Timișoara, Bd. Republicii 9,
tel. 0256 403823, fax. 0256 403221
e-mail: editura@edipol.upt.ro

Cuvânt înainte

Teza de doctorat a fost elaborată pe parcursul activității mele în cadrul Departamentului de Comunicații al Universității „Politehnica” din Timișoara.

Lucrarea abordează o parte din condițiile care trebuie să fie îndeplinite pentru asigurarea calității transmisiei vocii prin rețelele fără fir, bazate pe standardul IEEE 802.11. Au fost abordate probleme de securitate, reducere a timpilor de întârziere în inițializarea sesiunii de apel vocal, a ratei de eroare, a jitter-ului. De asemenea a fost abordată sub forma unor cercetări și transmiterea de mesaje către mai mulți utilizatori cu mai multe salturi.

Teza își propune să demonstreze că un pachet criptografic OpenSource puternic, de uz general, cum este Cryptlib, modificat cu algoritmul de criptare propus de doctorand, asigură securitatea informațiilor vocale într-un mod facil, fără a mai fi nevoie de scrierea a sute sau chiar mii de linii de cod care să facă același lucru.

Scopul utilizării lui îl constituie posibilitatea unei optimizări foarte bune, funcție de cerințele sistemelor VoIP și utilizarea avantajelor oferite de protocolul IAX (Inter-Asterisc eXchange) față de H.323 și SIP pentru traficul de voce. De asemenea se asigură și folosirea eficientă a lățimii de bandă atât pentru sistemele de semnalizare cât și pentru transferuri mass-media.

Cercetările efectuate au condus la realizarea unei aplicații cu operare în timp real care are capacitatea de a partaja un singur număr de port și de a transfera toate datele printr-un port UDP cunoscut, cu asigurarea normelor de securitate ale acestora.

În vederea reducerii timpului aferent inițializării unei sesiuni VoIP prin protocolul SIP, am propus un contor de timp adaptiv care este reglabil la dimensiunea pachetelor de semnalizare implicate în stabilirea unei sesiuni de apel vocal și un algoritm pentru controlul apelurilor din lista de apeluri.

În încheiere doresc să aduc mulțumiri deosebite conducătorului de doctorat prof.dr.ing. Corneliu I.Toma și doamnei Prof.dr.ing. Miranda Monica Naforniță care prin supraveghere constantă și sfaturi neprețuite au contribuit la realizarea prezentei lucrări.

Timișoara,

Mirela-Laura Ioaneșiu

Destinatarii dedicației.

Ioaneșiu Mirela-Laura

Contribuții la îmbunătățirea calității transmisiei vocii în rețelele fără fir bazate pe standardul IEEE 802.11

Teze de doctorat ale UPT, Seria X, Nr. YY, Editura Politehnica, 2010, 158 pagini, 53 figuri, 15 tabele.

ISSN:uuuu-vvvv

ISBN (10):; ISBN (13):

Cuvinte cheie:

Internet, VoIP, rețele IP, PBX, firewall, patch, puncte de acces, standardul IEEE 802.11, rețele fără fir

Rezumat:

Teza de doctorat este dedicată unei probleme de mare interes în transmiterea vocii prin Internet (VoIP). Calitatea transmisiei în rețelele fără fir bazate pe standardul IEEE 802.11 impune respectarea unor factori cum ar fi securitatea, reducerea timpului de inițializare a sesiunii, a ratei erorilor, jitter-ului, a mecanismelor de retransmitere. Într-o lume a sistemelor de transmisie a vocii prin INTERNET, centralele clasice de abonat, Private Branch Exchanges (PBX) sunt înlocuite de IP PBX bazate pe servere ce rulează pe sistemele de operare Microsoft, Linux sau unul care este propriu producătorului. Astfel de sisteme de management al apelurilor folosite atât pentru a deservi serviciile VoIP cât și pentru administrarea apelurilor sunt expuse atacurilor virusilor și hackerilor. În lucrarea de doctorat s-au evidențiat breșele din mecanismele de securitate generate de punctele de acces (AP) ale rețelelor fără fir bazate pe standardul IEEE 802.11. Teza propune un soft pentru securitatea și mobilitatea aplicațiilor VoIP care are la bază un sistem propriu de criptare pentru inițializarea și securitatea protocolului IAX în rețelele fără fir. Performanțele softului bazat pe algoritmul de criptare implementat au fost evaluate prin experimente efectuate comparativ cu algoritmi utilizați în prezent. Pe baza rezultatelor experimentale s-a demonstrat eficacitatea acestuia în contextul securității transmisiilor VoIP.

În vederea reducerii timpului aferent inițializării unei sesiuni VoIP prin protocolul SIP, am propus un contor adaptiv pentru retransmisie care este reglabil la dimensiunea pachetelor de semnalizare implicate în stabilirea unei sesiuni de apel vocal și un algoritm pentru controlul apelurilor din lista interogare și invitare la emisie.

De asemenea, în teză au fost abordate, sub forma unui studiu și întârzierile survenite la distribuția mesajelor către mai mulți utilizatori prin stații intermediare. Concluzia este ca numărul maxim de stații pe care le poate parcurge un apel vocal este 4, după care acesta nu mai poate fi recuperat.

CUPRINS

CUPRINS	5
LISTĂ DE TABELE	7
LISTĂ DE FIGURI	8
LISTĂ ABREVIERI	10
1. MOTIVAȚIE	12
1.1. Considerații generale privind securitatea VoIP în rețelele fără fir	12
1.2. Structura unei rețele	13
1.2.1. Modelul TCP/IP	14
1.2.2. Încapsularea cadrelor	15
1.2.3. Protocolul Internet	15
1.2.4. Protocolul UDP	16
1.2.5. Protocolul TCP	17
1.2.6. Protocolul RTP	18
1.2.7. Antetul RTP	18
1.2.8. Atacuri la securitatea unui sistem sau a unei rețele de calculatoare	19
1.2.9. Atacuri criptanalitice	20
1.2.10. Soluții de securitate la nivelul rețea	21
1.2.11. Soluții de securitate la nivelul transport.....	21
1.2.12. Securitatea prin firewall	24
1.3. Actualitatea temei	25
1.4. Structura tezei de doctorat	28
1.5. Lucrări publicate de doctorand	30
2. STADIUL ACTUAL AL CALITĂȚII TRANSMISIEI VOCII ÎN REȚELELE FĂRĂ FIR BAZATE PE STANDARDUL IEEE. 802.11	31
2.1. Considerații generale	31
2.2. Structura rețelelor fără fir	33
2.3. Protocele utilizate la transmiterea vocii prin Inter-net	35
2.4. Factori care afectează performanța VoIP	36
2.5. Straturile protocolului VoIP	40
2.6. Tipuri de atacuri asupra SIP	41
2.7. Mecanisme de securitate	43
2.7.1. Asigurarea securității SIP în sistemele multimedia implementate sub diverse sisteme de operare	44
2.8. Soluții de îmbunătățire a calității transmisiei vocii prin rețelele fără fir propuse în cadrul tezei de doctorat	47
2.9. Concluzii rezultate din teză	49
3. MODALITĂȚI DE REDUCERE A ÎNTÂRZIERILOR LA ÎNȚĂRIEREA UNEI SESIUNI BAZATE PE PROTOCOLUL SIP ÎN REȚELELE FĂRĂ FIR	51
3.1. Protocolul pentru inițializarea sesiunii (SIP) în sub-sistemele IP multimedia (IP Multimedia Sub-Systems-IMS)	52
3.2. Întârzierea sesiunii de inițializare	54
3.2.1. Protocele de transport	54
3.2.3. Protocol pentru Legături Radio (RLP-Radio Link Pro-tocol)	55
3.3. Analiza semnalizărilor protocolului SIP la parcurge-rea stratului legăturii de date al rețelelor fără fir	56

3.3.1 Contor adaptiv pentru retransmisia mesajelor SIP de către protocolul UDP.....	57
3.3.2. Întârzierea de transmitere fără Radio Link Protocol	57
3.3.3. Întârzierea de transmitere prin protocolul RLP (1,2,3)	58
3.3.4. Întârzierea de transmitere utilizând protocolul RLP (1,1,1,1,1).....	59
3.3.5. Întârzierea de transmitere a SIP utilizând protocolul TCP	60
3.3.6 Întârzierile în cozile de așteptare.....	61
3.3.7 Expresia întârzierii sesiunii de inițializare.....	62
3.4. Rezultate numerice obținute ca urmare a experimentelor efectuate pentru studiul întârzierilor SIP.....	62
3.4.1 Relevanța contorului adaptiv pentru retransmisie	66
3.5. Suport pentru servicii VoIP.....	68
3.5.1. Soluția propusă.....	70
3.5.2. Arhitectura rețelei	70
3.5.3. Calculul numărului maxim de apeluri vocale	73
3.5.4. Calculul întârzierii.....	75
3.6. Rezultate experimentale	77
3.7. Analiza erorilor în protocolul MAC 802.11.....	80
3.8. Concluzii.....	83
4. SOLUȚII PENTRU ASIGURAREA SECURITĂȚII ÎN REȚELELE WIRELESS.....	84
4.1 Securitatea VoIP.....	85
4.2 Soluții de securitate pentru rețelele fără fir	86
4.3. Alegerea protocolului IAX ca și soluție pentru securitatea VoIP	87
4.3.1. Definirea canalelor IAX	88
4.3.2. Securitatea IAX.....	89
4.3.3. VoIP–considerații de calitate.....	89
4.3.4. Codec-uri audio	89
4.3.5. Clienți mobili	90
4.4. Proiectarea și implementarea unor măsuri de securitate suplimentare protocolului IAX	90
4.4.1. Kiax Client-VoIP.....	91
4.4.2. Cryptlib.....	91
4.4.3. Descrierea soluției.....	92
4.4.4. Evaluare și rezultate.....	96
4.5 Distribuția multiplă a vocii în substratul de control al accesului la mediu în rețelele fără fir bazate pe standardul IEEE 802.11	98
4.6 Pierderile și rata de transfer în distribuția multiplă la nivelul substratului de acces la mediu.....	99
4.7 Redirecționarea distribuției multiple a vocii cu salturi multiple	101
4.8 Redirecționarea multisalt cu distribuție multiplă a vocii în cazul stațiilor ascunse	103
4.9 Efectul întârzierilor redirecționate aleator.....	106
4.10 Concluzii	109
5. CONTRIBUȚII ȘI CONCLUZII	112
5.1 Contribuții teoretice	113
5.2 Contribuții aplicative	114
5.3 Considerații finale	115
BIBLIOGRAFIE.....	117
ANEXA-ARTICOLE PERSONALE PUBLICATE ȘI CITATE ÎN TEZĂ.....	123

LISTĂ DE TABELE

Tabelul 1. Mărimea mesajelor și numărul de cadre pentru sesiunea de inițializare SIP cu protocolul UDP	63
Tabelul 2. Comparație între UDP și TCP, pentru o rată de eroare a cadrului de 1%. 65	
Tabelul 3. Lista de notații utilizate pentru optimizarea numărului maxim de apeluri admise într-o lista de invitare la emisie (polling).....	73
Tabelul 4. Modele Vocale	75
Tabelul 5. Valori ale parametrilor pentru inițializarea variabilei MIB (ms	78
Tabelul 6. Numărul maxim de apeluri vocale B (model Brady), MZ (May and Zebo)	79
Tabelul 7. Parametrii pentru simulare modele de eroare	80
Tabelul 8. Comparație caracteristici codec-uri [16]	89
Tabelul 9. Comparație CPU laptop și PDA.....	90
Tabelul 10. Rezultate test 1 LAN.....	96
Tabelul 11. Rezultate test 2 LAN.....	96
Tabelul 12. Calculul timpului pentru transmisia cadrelor	100
Tabelul 13. Valori rată pierderi, jitter și timp dus-întors	102
Tabelul 14. Rata pierderi [%].....	104
Tabelul 15. Valori jitter și timp dus-întors pentru distribuția multisalt cu stații ascunse cu revenire suplimentară	107
Tabel 1. Voice Models.....	133
Table 2. Values in ms.....	135
Table 3 Maximum number of voice calls.....	135
Tabel 4 Parameters for burst error models.....	135
Table 1. Codec feature comparison chart.....	140
Table 2. CPU comparison of laptop and PDA	141
Table 3. LAN test results 1.....	142
Table 4. LAN test results 2.....	142

LISTĂ DE FIGURI

Fig.1.1.1. Arhitectura sistemului VoIP [65].....	13
Fig.1.1.2. Modelul de rețea OSI [69].....	14
Fig.1.1.3. Modelul de arhitectură TCP/IP [18].....	15
Fig.1.1.4. Date utilizator încapsulate într-un cadru Ethernet [17]	15
Fig.1.1.5. Antetul IP [65]	16
Fig.1.1.6. Structura unui antet UDP [17]	17
Fig.1.1.7. Vizualizare fereastră glisantă [16].....	17
Fig.1.1.8. Antet RTP [34]	18
Fig.1.1.9. Disponerea unui firewall [47]	24
Fig.2.1 Topologia fundamentală a unei rețele fără fir 802.11 [1].....	32
Fig.2.2 Arhitectură pentru implementarea serviciilor de calitate(QoS) [66].....	34
Fig.2.3 Punctele dintr-o rețea unde se produc întârzieri [50]	37
Fig.2.4. Setul de protocoale implicate în transmiterea vocii prin Internet [30]	41
Fig.2.5. Arhitectură testare rețea fără fir [54]	45
Fig.3.1. Inițializarea sesiunii SIP [34]	53
Fig.3.2 Inițializarea sesiunii SIP prin utilizarea protocolului TCP [34]	55
Fig.3.3 Schema RLP (1,2,3) [51].....	56
Fig.3.4. Media întârzierilor sesiunii de inițializare SIP cu UDP pentru canale de 9.6 kbps și 19.2 kbps cu/fără RLP (1,2,3)	64
Fig.3.5 Media întârzierilor sesiunii de inițializare pentru canale de 9,6 și 19,2 kbps pentru mesaje SIP prin UDP și RLP diferite.....	65
Fig.3.6 Comparația mediei sesiunii de inițializare SIP cu UDP între contor adaptiv pentru retransmisie și contor fix de 2s pentru canale de 19.2 kbps	66
Fig.3.7. Întârzieri medii ale sesiunilor de configurare pentru canale de 9.6 și 19.2 kbps pentru mesaje SIP încapsulate în protocolul TCP cu sau fără protocolul pentru legături radio RLP	67
Fig.3.8. Întârzierile din sesiunea de inițializare cu protocoale SIP și H.323 pentru canale de 19.2 kbps prevăzute cu contor adaptiv pentru retransmitere	67
Fig.3.9. Diagrama de timp pentru transmisie supercadru [35]	69
Fig.3.10. Arhitectura de rețea	71
Fig.3.11. Calculul întârzierii.....	76
Fig.3.12. Numărul maxim de apeluri	79
Fig.3.13. Întârzierea totală	80
Fig.3.14. Model de canal pentru rețele fără fir	81
Fig.3.15. Rata de eroare a pachetelor.....	82
Fig.4.1. Atacul prin ascultare din exteriorul unei clădiri [26].....	84
Fig.4.2 a) Exemplu de rețea ad-hoc b) Exemplu de infrastructură de rețea	86
Fig.4.5. Secvență stabilire canal comunicație	88
Fig.4.6. Secvența de cod de negociere conexiune Kiax și utilizator	88
Fig.4.7. Arhitectura diagramei Cryptlib [40]	92
Fig.4.8. Kiax-Arhitectura standard [67].....	92
Fig.4.9. Kiax-Arhitectura modificată [40]	93
Fig.4.10. Secvență de cod pentru criptare mesaj utilizând o cheie publică.....	94
Fig.4.11. Secvență cod pentru stabilirea unei sesiuni sigure	94
Fig.4.12. Secvență cod pentru o sesiune sigură prin server-ul SSL.....	95
Fig.4.13. Secvență de cod pentru interfața PKI.....	95
Fig.4.14. Versiuni Cryptlib	96

Fig.4.15 Rata de transfer în funcție de mărimea pachetului pentru traficul cu distribuție multiplă a standardului IEEE 802.11 la 2 Mbps.	100
Fig.4.16 Sistemul de acces la mediu pentru cadre cu destinație multiplă (jos) sau unică (sus) al standardului IEEE 802.11 bazat pe protocolul CSMA/CA [35]	100
Fig.4.17 Configurare schematică a laptop-urilor pentru multisalt	101
Fig.4.18 Rata de pierderi pentru multisalt	103
Fig.4.19 Configurarea laptop-urilor pentru direcționarea multisalt cu stații ascunse	103
Fig.4.20 Rata de pierdere în distribuția multisalt cu stații ascunse.....	104
Fig.4.21 Rata de pierdere în distribuția multisalt cu stații ascunse cu revenire suplimentară.....	107
Fig.4.22 Rata de pierdere cu revenire suplimentară în redirecționarea distribuției multiple multisalt	108
Fig.4.23 Jitter cu revenire suplimentară în redirecționarea distribuției multiple multisalt.....	108
Fig.4.24 Timp dus-întors cu revenire suplimentară în redirecționarea distribuției multiple multisalt	109
Fig.1. SIP Session Setup.....	125
Fig.2. Session setup of SIP over TCP	126
Fig.3. The RLP scheme (1,2,3)	126
Fig. 4. Average session setup delay in 9.6 Kbps and 19.2 Kbps channels for SIP over UDP with / without RLP (1,2,3).....	128
Fig. 5. Comparison of the average session setup delay in 19.2 Kbps channels for SIP over UDP with fixed timer 2 s.....	128
Fig. 6. Average session setup delay in 9.6 Kbps and 19.2 Kbps channels for SIP over TCP with / without RLP.	129
Fig.7. SIP versus H.323 for SIP session setup delay in 19.2 kbps channel with adaptive timer.....	129
Fig.2. Network architecture.....	132
Fig.3 Build-out delay	134
Fig. 4. Maximum number of voice	135
Fig.5. Total delay.....	135
Fig.6. Model of a wireless channel.....	135
Fig.7. Packet error rates	136
Fig.1 Cryptlib Architecture Diagram	141
Fig.2 Standard KiAx architecture.....	141
Fig.3 Modified KiAx Architecture Diagram.....	142

LISTĂ ABREVIERI

183-Session progress message
200 OK-Final confirmation messages in SIP transactions
AAA-Authentication, Authorization, Accounting
ACK-Acknowledgement Response in SIP transactions
ACL Access Control List
AES-Advanced Encryption Standard
AP-Access Point
ARQ-Automatic Repeat Request
ATM-Asynchronous Transfer Mode
BSA-Basic Service Area
CBC-Cipher Block Chaining
CBR-Constant Bit Rate
CC-CSRC-Count CSRC
CFB-Cipher Feedback
CFP-Contention Free Period
CP-Contention Period
CSCF-Call Session Control Function
CSCR-Contributing source ID
CSMA/CA-Carrier Sense Multiple Access with Collision Detection
CTI- Complete Timing Information
CW-Contention Window
DCF-Distributed Coordination Function
DES-Data Encryption Standard
DHCP-Dynamic Host Configuration Protocol
DIFS-Distributed coordination function Inter-Frame Space
EAP-Extensible Authentication Protocol
EAPoW-Extensible Authentication Protocol over Wireless
ECC-Error Correcting Codes
FEC-Forward Error Correction
FER-Frame Error Rate
IAX-Inter-Asterisk eXchange
I-CSCF-Interrogating Call Session Control Function
IDEA-International Data Encryption Algorithm
IFS-Inter-Frame Space
IP PBX- IP Private Branch eXchange
IP-IMS Multimedia Sub-Systems
ISAKMP-Internet Security Association and Key Management Protocol
LAN-Rețea locală
MAC-Media Access Control
MD5-Message-Digest Algorithm 5
MIB-Management Information Base
MIMO-Multiple Input Multiple Output-
MSDU-MAC Service Data Unit
MWM-Maximum Weighted Matching
NAK-Not Acknowledgment
NAT-Network Address Translation
NTI-Null Timing Information

PCF-Point Coordination Function
PCM-Pulse Code Modulation
P-CSCF-Proxy Call Session Control Function
PHY-Physical Layer
PHY-Physical Layer
PIFS-Point coordination function IFS
PKI-Public Key Infrastructure
PRACK-Provisional Response Acknowledgment
RADIUS-Remote Authentication Dial In User Service
RAT-Reverse Address Translation
RC4-Rivest Cipher 4
RLP-Radio Link Protocol
RTCP-Real Time Control Protocol
RTP-Real Time Transport Protocol
RTT-Round Trip Time
S-CSCF-Serving Call Session Control Function
SDES-Session Description Protocol Security
SDP-183 Session Description Protocol
SDP-Session Description Protocol
SIFS-Short Inter-Frame Space
SIP-Session Initiation Protocol
SSID-Service Set Identifiers
SSL-Secure Sockets Layer
SSRC-Synchronization source identifier
TCP-Transmission Control Protocol
TLS-Transport Layer Security
TLS-Transport Layer Security
UAC-User Agent Client
UAS-User Agent Server
UDP-User Datagram Protocol
VBR-Variable Bit Rate
VoIP-Voice over IP
WEP-Wired Equivalent Privacy
WLAN-Wireless Local Area Network
WLAN-Wireless Local Area Network
WPA-Wi-Fi Protected Access
ZRTP-Zimmermann Real Time Protocol
FHSS-Frequency Hopping Spread Spectrum
DSSS-Direct Sequence Spread Spectrum
IR-Infra Red-
Mickey-Multimedia Internet KEYing
IBSS-Independent Basic Service Set
BSS- Basic Service Set

1. MOTIVAȚIE

Capitolul introductiv al tezei face o prezentare a problemelor legate de asigurarea calității transmisiei în rețelele fără fir, cu accent pe probleme de securitate, inițializare apeluri și distribuție multiplă. Din punct de vedere al securității rețelele fără fir sunt relativ mai puțin sigure decât cele cablate. Persoanele neautorizate, aflate în zonele de acoperire ale punctelor de acces pot profita de această structură de rețea și le pot accesa fraudulos. Rețelele fără fir au prevăzute, încă de la implementare, diferite bariere care formează așa numita securitate de bază și care împiedică accesul neautorizat în rețea. Pentru persoane rău intenționate, cu bună pregătire în domeniu, de tipul hackerilor, securitatea acestor rețele, ca de altfel și a altora, este discutabilă.

1.1. Considerații generale privind securitatea VoIP în rețelele fără fir

O rețea de calculatoare este o structură deschisă la care se pot conecta diferite tipuri de echipamente. Acest lucru conduce la o lărgire necontrolată a cercului utilizatorilor cu acces la resursele rețelei. Vulnerabilitatea rețelelor se manifestă pe două planuri:

- posibilitatea modificării sau distrugerii informației, adică atacul la integritatea ei fizică;
- posibilitatea folosirii neautorizate a informațiilor, adică scurgerea lor din cercul de utilizatori stabilit.

Trebuie avute în vedere, cu prioritate, două aspecte legate de securitate:

- integritatea resurselor unei rețele, adică disponibilitatea lor indiferent de defectele de funcționare, hard sau soft, de încercările ilegale de stragere a informațiilor precum și de încercările de modificare a informațiilor;
- caracterul privat, adică dreptul individual de a controla sau influența o informație referitoare la o persoană, poate fi memorată în fișiere sau baze de date și cine are acces la aceste date.

O rețea sigură este aceea în ale cărei componente (resurse și operații) se poate avea încredere, adică furnizează servicii de calitate și corecte. Deoarece o rețea este alcătuită din componente diferite ea reprezintă o zonă convenabilă pentru diferite atacuri sau operații ilegale, lucru care conduce la concluzia că protecția a devenit unul din aspectele operaționale vitale ale unei rețele.

Securitatea și în special caracterul privat trebuie să constituie obiectul unei analize atente în cazul rețelelor. Rețelele sunt ansambluri complexe de calculatoare. Este foarte dificil să se obțină o schemă completă a tuturor entităților și operațiilor existente la un moment dat, astfel încât rețelele sunt vulnerabile la diferite tipuri de atacuri sau abuzuri. Complexitatea este generată de dispersarea geografică națională și internațională a componentelor (nodurilor) rețelei, implicarea mai multor organizații în administrarea unei singure rețele, existența unor tipuri diferite de calculatoare și sisteme de operare, existența unui număr mare de entități. Fără o rețea de calculatoare bine concepută și protejată nici o firmă nu își poate desfășura activitatea.

De funcționarea lor corectă depinde activitatea guvernamentală, comercială, industrială și chiar personală. Pe măsură ce calculatoarele personale pot fi conectate de acasă în rețele, o serie de activități pot fi făcute de persoane particulare. Trebuie avute în vedere tipurile de date pe care persoanele le pot citi, care sunt celelalte persoane cu care pot comunica, la ce programe au acces. Tot mai multe informații memorate în fișiere devin posibil de accesat prin intermediul rețelelor. Această asociere de fișiere privind persoanele poate avea consecințe nefaste asupra caracterului privat individual. Informația este vulnerabilă în fața unui atac în orice punct al unei rețele, de la introducerea ei până la destinația finală. În particular, informația este mai susceptibilă la atac atunci când trece prin liniile de comunicații.

Telefonia VoIP sau telefonia IP este transportul vocii prin Internet cu ajutorul protocolului IP (Internet Protocol). Internet-ul este o interconectare între rețelele care folosesc acest protocol. Pe parcursul anilor Internet-ul a devenit o bază pentru aplicații și servicii, fapt ce nu a fost luat în calcul de la început. Astfel s-a dezvoltat o piață cu un mare potențial pentru servicii, în special pentru telefonia IP. Aceasta se datorează următoarelor trei cauze:

1. telefonia este o afacere cu câștiguri mari și cu mulți clienți;
2. tot mai mulți oameni utilizează Internet-ul zilnic;
3. Internet-ul, datorită flexibilității, dezvoltării rapide și deschiderii sale, generează tot mai multe servicii noi.

O cerință majoră a Internet-ului este asigurarea securității sale. O mulțime de incidente de securitate s-au petrecut în ultimii ani și numărul lor este în creștere. Ca atare securitatea este o temă esențială pentru sistemele de telefonie VoIP.

Fig.1.1 descrie arhitectura unui sistem VoIP. Componentele implicate sunt: punctele finale (endpoints-EP), dispozitivele care asigură interfața între punctele finale și rețea numite porți (GK) și serviciile finale (back-end-serviciile-BES), adică o suită de programe, interfețe și servicii care asigură comunicația cu sistemul pe care acesta este implementat. Punctele finale sunt echipamente care permit utilizatorilor sistemului să se apeleze între ei. Porțile administrează punctele și serviciile finale, memorează informațiile importante care permit unei porți să conecteze cele 2 părți una cu alta. Protocolul utilizat este SIP (protocol pentru inițializarea sesiunii), un standard pentru telefonia IP [66].

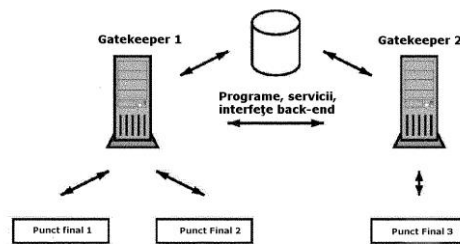


Fig.1.1. Arhitectura sistemului VoIP [65]

1.2. Structura unei rețele

Rețelele de calculatoare sunt niște construcții foarte complexe. Conectivitatea calculatoarelor necesită un software complicat. Programele care doresc să acceseze

funcțiile rețelei fac aceasta printr-o interfață. Arhitectura rețelei este structurată pe niveluri (layere). Fiecare nivel reprezintă un aspect diferit al sistemului. Comunicația cu alte niveluri se face prin interfețe [66], [69].

Nivelul aplicație
Nivelul prezentare
Nivelul sesiune
Nivelul transport
Nivelul rețea
Nivelul legăturii de date
Nivelul fizic

Fig.1.2. Modelul de rețea OSI [69]

Fig.1.2 descrie modelul OSI al unei rețele. Nivelul cel mai de jos este cel fizic. Este baza pentru rețelele de calculatoare. Tot ce se conectează la hardware aparține acestui nivel. Următorul nivel asigură conectivitatea între gazde. La acest nivel sunt implementate protocoalele de comunicație și modul de trimitere a datelor între două calculatoare. Asigură o interfață de acces la servicii și utilizează nivelul fizic pentru operații. Comunicația între două aplicații, aflate pe gazde diferite, necesită un anumit tip de canal între procesele aplicațiilor. Această funcționalitate este asigurată de un alt nivel, care utilizează conexiunea dintre gazde și oferă funcțiile sale aplicațiilor aflate pe nivelul superior al acestei arhitecturi.

Sunt stabilite două modele pentru arhitectura rețelelor de calculatoare. Modelul standard pentru protocoalele de rețea și aplicațiile distribuite este cel definit de OSI. Internet-ul utilizează însă suita de protocoale TCP/IP, un model în care avem doar 4 niveluri în loc de 7 [13], [15], [18].

1.2.1. Modelul TCP/IP

Modelul TCP/IP este modelul de arhitectură de rețea pentru Internet și este ilustrat de Fig.1.3. Straturile sale nu sunt atât de strict delimitate ca în modelul OSI. Aplicațiile pot însă accesa serviciile fiecărui nivel. Cel mai de jos nivel este cel al legăturii de date și conține mai multe protocoale de rețea. O comparație cu modelul OSI arată că funcționalitatea nivelului rețea în modelul TCP/IP corespunde cu nivelul fizic și cel al legăturii de date. El descrie necesarul de hardware și software atât pentru rețea cât și pentru adaptoarele de rețea, împreună cu driverele aferente. Nivelul doi cuprinde protocolul IP. El corespunde nivelului de rețea al modelului OSI. Funcția lui este de a asigura o rețea transparentă cu o singură interfață, subrețelele pot avea însă tehnologii și protocoale diferite. Al treilea nivel al modelului TCP/IP este echivalent nivelului patru din modelul OSI. Sunt două protocoale diferite care formează acest strat: Protocolul Datagramelor Utilizatorilor (UDP-User Datagram Protocol) și Protocolul de Control al Transmisiei (TCP-Transmission Control Protocol). Ele furnizează alternativ canale logice aplicațiilor. Protocolul de Control al Transmisiei oferă o conexiune sigură, spre deosebire de Protocolul Datagramelor Utilizatorilor unde serviciul de datagramă nu e sigur. Octeții trimiși printr-un flux TCP ajung la celălalt capăt în ordinea în care au fost trimiși. Aplicația nu trebuie să urmărească pachetele pierdute. Serviciul datagramă trimite datagrame (mesaje individuale) fără a garanta recepționarea lor. Ultimul strat este cel al aplicației și conține modurile de funcționare ale acesteia [18].

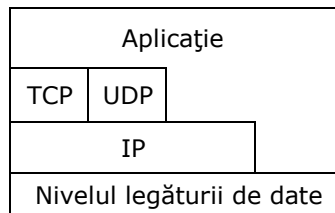


Fig.1.3. Modelul de arhitectură TCP/IP [18]

1.2.2. Încapsularea cadrelor

Încapsularea descrie procesul de construcție al cadrului care este trimis prin rețea înainte ca o aplicație să transmită date. Sunt necesare informații suplimentare pentru trimiterea datelor unei aplicații altei gazde. Pentru a explica încapsularea se presupune că aceasta se află pe nivelul transport al suitei TCP/IP și utilizează protocolul de transport TCP. Cadrul de pe nivelul legăturii de date este un cadru Ethernet. În Fig.1.4 se poate vedea un astfel de cadru încapsulat. După cum s-a menționat în secțiunea anterioară aplicația poate să sară peste nivelul transport și să acceseze direct serviciile oferite de nivelul legăturii de date.

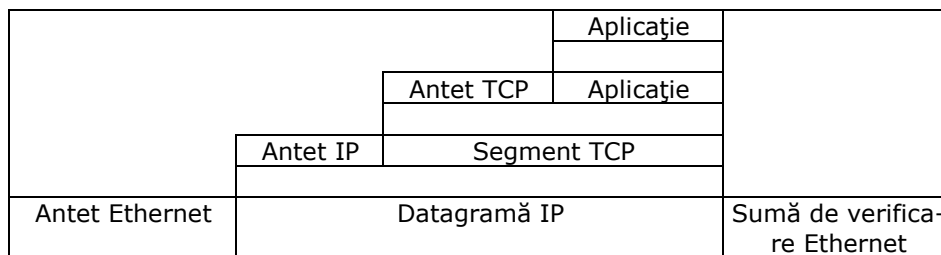


Fig.1.4. Date utilizator încapsulate într-un cadru Ethernet [17]

Datele trimise de aplicație trebuie să traverseze stiva de protocoale strat cu strat până la nivelul transport unde există o conexiune TCP. Nivelul transport adaugă la informația utilă, antetul TCP și transmite mai departe nivelului IP. IP adaugă propriul antet la segmentul TCP pentru a forma datagrama IP și îl transmite mai departe nivelului legăturii de date. Protocolul nivelului legăturii de date (aici Ethernet) construiește cadrul final și îl trimite la destinație [11], [17], [18].

1.2.3. Protocolul Internet

Protocolul principal din suitele de protocoale TCP/IP este protocolul Internet (IP) [68]. IP este proiectat să fie utilizat în interconectarea rețelelor de calculatoare. Asigură un serviciu nesigur de livrare a pachetelor gazdă-la-gazdă. Termenul nesigur înseamnă că nu sunt garanții că datagrama IP ajunge la destinație în ordinea corectă. Cele două caracteristici ale IP sunt adresarea și fragmentarea. Informația necesară pentru a asigura un astfel de serviciu este memorată în antetul IP al datogramei. Fig.1.5 arată structura antetului IP. Mai multe detalii se pot găsi în [17], [69].

Versiune	Lungime	Tip de serviciu (ToS)	Lungimea totală	
Identificator			Steag	Deplasamentul fragmentului
Timp de viață (TTL)	Protocol		Suma de control a antetului	
Adresa IP sursa				
Adresa IP destinație				
Opțiuni (dacă sunt)				

Fig.1.5. Antetul IP [65]

Dezvoltarea rapidă a rețelei Internet a condus la necesitatea reorganizării sistemului de adrese IP. Cei 32 biți rezervați pentru adrese ai standardului IPv4 s-au dovedit insuficienți pentru asigurarea cererii de adrese alocate, în special pentru utilizatorii mobili. După numai 3 ani de la stabilirea direcțiilor prioritare în care trebuia acționat, a apărut IPv6, versiunea "next generation" a standardului pentru IP. Principalele inovații de care beneficiază pachetul de protocoale IPv6 sunt [66], [78]:

- extinderea spațiului alocat pentru adrese;
- posibilitatea de autoconfigurare a unei gazde (host) TCP/IP într-o adresă IP;
- suport pentru multimedia și aplicații în timp real;
- creșterea gradului de securizare a datelor.

Prin extinderea dimensiunii adreselor cu un factor de ordinul 4, de la 32 la 128 biți, se oferă un număr imens de adrese disponibile. În același timp, creșterea spațiului de adrese conduce, în mod firesc, la implementarea unor proceduri de autoconfigurare. Structura de adrese de la IPv4 prevede o migrare ușoară și gradată către rețelele bazate pe standardul IPv6. Într-o primă etapă se prevede transmisia datelor pe vechea infrastructură, prin încapsularea în pachete compatibile IPv4, între router-ele deja existente în rețea. Pe măsura dezvoltării tehnologice, noile routere IPv6 le vor înlocui pe cele din infrastructura actuală.

Noul protocol IPsec, poate asigura la ora actuală standardele de securitate pentru rețelele IPv6. Pachetul de protocoale IPv6 poate beneficia astfel de noi tehnologii de securizare a datelor, precum autentificarea, criptarea și asigurarea integrității datelor care, aplicate la nivel de miez (kernel), pot asigura securitatea întregului sistem, a aplicațiilor care rulează în cadrul acestuia și a pachetelor de date transmise.

1.2.4. Protocolul UDP

Protocolul UDP se găsește la nivelul transport și utilizează IP ca protocol de nivel rețea [10], [16],[26], [66]. După cum s-a menționat anterior protocolul IP utilizează adrese IP pentru a identifica gazdele. Presupunând că pe un anumit calculator rulează șapte aplicații, întrebarea este de unde va ști protocolul de transport cărei aplicații îi corespund pachetele. Răspunsul este numărul portului. Numărul portului este utilizat pentru a identifica diferitele aplicații ale server-ului de pe un calculator gazdă. Portul identifică sursa de la care datele sunt trimise și destinația lor (Fig.1.6). Numele acestor porturi sunt port sursă și port destinație.

Port sursă	Port destinație
------------	-----------------



Fig.1.6. Structura unui antet UDP [17]

UDP este un serviciu datagramă orientat. Fiecare operație de ieșire produce o datagramă care este trimisă prin rețea. Ca și IP, UDP nu este un serviciu sigur.

1.2.5. Protocolul TCP

TCP (Transmission Control Protocol) este al doilea protocol al nivelului transport din suita de protocoale TCP/IP [17], [69]. Asigură un serviciu full duplex nivelului aplicație, ceea ce înseamnă că datele se pot transmite simultan în ambele direcții. Datele sunt trimise sub forma unui flux care va ajunge la destinație octet cu octet, în ordinea corectă. După cum se știe IP nu garantează nici livrarea pachetelor, dar nici recepționarea lor în ordinea corectă. De aceea TCP are propriul mecanism care asigură acest lucru. Fiecare pachet TCP este echipat cu o secvență numerică care permite recunoașterea pachetelor lipsă, a pachetelor recepționate în ordine greșită sau a duplicatelor. TCP împarte pachetele de date care urmează a fi trimise în segmente. Pentru fiecare segment recepționat este trimis la expeditor un mesaj de confirmare a recepției pachetului. Dacă pachetul nu ajunge într-un anumit interval de timp (expeditorul nu primește mesajul de confirmare) atunci acesta este retransmis. Dacă pachetele nu ajung în ordinea corectă, ele pot fi reasamblate de către receptor pe baza numărului de secvență din fiecare pachet TCP. Tehnica care asigură o transmisie sigură este numită fereastră glisantă. O versiune simplificată este prezentată în Fig.1.7.

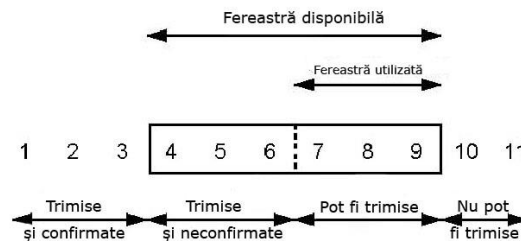


Fig.1.7. Vizualizare fereastră glisantă [16]

Emițătorul menține într-un buffer datele care au fost trimise dar nu a primit confirmarea de la receptor. Receptorul are un buffer pentru datele pe care le-a recepționat. Datele citite sunt șterse din buffer. Pentru receptor nu are nici o importanță dacă datele sosesc în ordine. Receptorul comunică emițătorului câte date mai poate memora printr-un număr numit dimensiunea ferestrei. Astfel se evită o inundare a receptorului. În Fig.1.7 dimensiunea este șase. Astfel emițătorul știe câte cadre mai poate trimite receptorului fără ca acesta să le elimine. Dacă numărul de octeți confirmați de receptor crește, începutul ferestrei se mută spre dreapta și fereastra se închide. Sfârșitul ferestrei se mută de asemenea spre dreapta dacă receptorul citește datele, le confirmă și cere noi date. Acest procedeu este numit scalarea ferestrei.

1.2.6. Protocolul RTP

Protocolul de transport în timp real (Real Time Transport Protocol- RTP) asigură transmiterea end to end a pachetelor și stă la baza protocoalelor pentru telefonia VoIP. Acest protocol are rolul de a transmite datele în timp real (de exemplu video sau voce) printr-o rețea de telecomunicații. Protocoalele de inițiere a sesiunii (SIP-Session Initiation Protocol) și H.323 îl folosesc pentru livrarea de date. Pentru a-și atinge scopul RTP folosește serviciile aferente protocolului de la nivelul transport, de regulă cele ale UDP. Deoarece UDP nu are integrate mecanisme de reordonare a pachetelor sau de retransmitere a celor pierdute, nici RTP nu are această posibilitate. RTP permite însă reasamblarea pachetelor. La ora actuală RTP constă din două protocoale. Primul este RTP el însuși, care transportă date în timp real. Al doilea protocol este Protocolul de Control în Timp Real (RTCP-Real Time Control Protocol), care monitorizează calitatea serviciului și conține informații de control despre participanți. RTP și RTCP utilizează porturi de transport consecutive când sunt încapsulate în pachete UDP [23], [26], [34], [35]. În plus, RTP definește pentru fiecare clasă de aplicații un profil și unul sau mai multe formate. Un profil conține informații pentru aplicații și le ajută să înțeleagă sensul câmpurilor din antetul RTP.

1.2.7. Antetul RTP

În Fig.1.8 este prezentat antetul unui pachet RTP. Primele trei rânduri sunt întotdeauna prezente. Sursa informațională este utilizată doar în circumstanțe speciale. Cazul general este acela în care un pachet de date RTP vine de la o sursă. Identificatorul acelei surse este numit sursă de sincronizare (SSRC). Un caz special este de exemplu un mixer care unifică mai multe fluxuri în unul singur pentru a salva lățimea de bandă. În acel caz SSRC ar fi identificatorul mixerului (CSRC). Toate sursele care contribuie la acel flux vor apărea în câmpurile CSRC [34], [35].

Versiune V	Umplere (P)	Extensie (X)	CC Numărător CSRC	Marker (M)	Tipul de Informație (PT)	Număr secvență
Timpul de transmitere						
Identificator sincronizare sursă (SSRC)						
Identificator sursă informațională (CSRC)						
:						
:						
:						
Extensie antet						

Fig.1.8. Antet RTP [34]

Primii doi biți (V) arată numărul de versiune al protocolului. Versiunea curentă este 2. Următorul bit este P (padding), un bit de umplere. Indică dacă informația utilă a fost încărcată, spre exemplu un algoritm de criptare care cere intrări de o anumită lungime. X (un bit) indică dacă sunt utilizate extensii ale protocolului în pachet. Este rar utilizat. CC (Count CSRC pe patru biți) conține numărul identificatorului CSRC care îi urmează antetului fix. M (marker pe un bit) este folosit la nivelul aplicație și este definit în cadrul profilelor. Dacă este inițializat, semnifică că datele curente au o semnificație specială pentru nivelul aplicație. Următorii șapte biți aparțin câmpului PT (Payload Type), care specifică tipul de informație. Valoarea lui definește modul în care informația utilă va fi interpretată de aplicație. Numărul de secvență

este un număr pe 16 biți. El definește în mod unic sursa unui flux RTP și permite identificarea pachetelor pierdute sau care nu respectă ordinea. Este inițializat printr-un număr aleator. Pentru fiecare pachet următor numărul de secvență este incrementat cu unu. Următorul câmp este cel al informației de timp și indică timpul de sincronizare al primului octet. Următorul câmp este pe 32 de biți și memorează o valoare unică. Următoarele câmpuri de la 0 la 15 sunt umplute cu identificatori unici de 32 de biți.

1.2.8. Atacuri la securitatea unui sistem sau a unei rețele de calculatoare

Printr-un atac la securitatea informației pe care o organizație o deține se înțelege orice acțiune care compromite securitatea acestei informații. Atacurile se constituie din concretizări ale potențialelor amenințări care pot să planeze asupra securității unui sistem sau a unei rețele. În [31], [33] sunt amintite patru mari categorii de astfel de amenințări: întreruperea, interceptarea, modificarea și fabricarea. Atacurile sunt de două tipuri: pasive și active.

Atacurile pasive sunt acele tipuri de atacuri în care atacatorul nu se implică în modificarea mesajului ci doar în citirea sa sau monitorizarea transmisiei. Avem astfel de a face cu atacuri la confidențialitatea unei transmisii numite și atacuri prin interceptare. Atacurile prin interceptare sunt de două tipuri:

1. **Dezvăluirea (Release of message content)** se manifestă prin aflarea conținutului mesajului de către atacator prin simpla citire a datelor care se transmit prin sistem. Este un atac brut la confidențialitatea datelor care duce la efecte nedorite pentru victima atacului. Aceste efecte pot varia de la unele neplăcute sau iritante în cazul în care este un simplu e-mail până la unele catastrofale în cazul în care este vorba despre un mesaj militar sau economic secret. Acest atac este încununat de succes în general doar dacă datele se transmit în clar pe canalul de transmisie (sau sunt criptate folosind algoritmi simpli, ușor de spart);
2. **Analiza de trafic** este un tip de atac mult mai subtil decât cel precedent și se aplică în cazul în care datele au fost criptate folosind un algoritm puternic. În aceste condiții, atacatorul chiar dacă a intrat în posesia datelor transmise nu le poate înțelege și valorifica. Informațiile pe care le-ar putea obține un eventual atacator care folosește acest tip de atac ar fi sursa mesajului, destinația lui și eventual frecvența transmisiei de mesaje între diferite site-uri. Chiar și așa, în timp, un agresor perseverent ar putea să observe unele tipare sau regularități în mesajele trimise de către un utilizator care nu își schimbă regulat cheile de criptare, regularități pe care le poate studia și exploata prin alte tipuri de atacuri [2], [7].

Atacurile pasive sunt caracterizate prin faptul că detecția lor este foarte dificilă. Neexistând modificări fizice ale datelor, atacurile nu pot fi descoperite în loguri și astfel cei atacați nu sunt conștienți de ele. Totuși, prevenirea acestor atacuri este facilă dacă se folosesc algoritmi puternici de criptare și se respectă niște protocoale de securitate stricte.

Din punctul de vedere al unui sistem informatic, securitatea este o parte a capacității acestuia de a asigura siguranța sistemului, dar nu este suficientă. Sunt patru părți care contribuie la acest deziderat [32], [66]:

- **disponibilitatea:** o măsură pentru ca sistemul să fie funcțional la un anumit moment. O pierdere de disponibilitate este adesea menționată ca Denial of

Service (DoS). O disponibilitate ridicată este de multe ori realizată prin intermediul unor sisteme hardware redundante;

- **fiabilitatea:** probabilitatea ca un sistem să-și îndeplinească funcțiile sale pentru o anumită perioadă de timp. Fiabilitatea este diferită de disponibilitate, deoarece este măsurată pe o perioadă de timp și corespunde continuității unui serviciu;
- **siguranța:** indică dacă un sistem își exercită funcțiile sale în mod corect sau semnalizează o eroare în așa fel încât să nu apară consecințe catastrofale;
- **securitatea:** presupune protecția tuturor resurselor de sistem.

Un sistem informatic, trebuie să fie disponibil tot timpul. Nu trebuie nici să piardă, dar nici să permită divulgarea unor informații. Datele trebuie să își păstreze caracterul de confidențialitate și integritate. Una dintre primele probleme care se pun este aceea a nivelului din modelul de referință TCP/IP la care trebuie aplicate măsurile de securitate. În continuare sunt prezentate câteva tipuri de atacuri mai des întâlnite.

1.2.9. Atacuri criptanalitice

Atacurile criptanalitice asupra unui algoritm au ca și scop obținerea textului în clar din textul cifrat fără a se cunoaște cheia sau chiar aflarea cheii secrete care va putea fi folosită după aceea pentru descifrarea tuturor mesajelor viitoare. Există mai multe tipuri de astfel de atacuri după cum urmează ([30], [33], [45]):

- **Atacul bazat doar pe textul cifrat** (ciphertext-only attack)-este cazul în care criptanalistul are la dispoziție pentru a efectua atacul doar textul cifrat în forma în care l-a interceptat de pe canalul de comunicație. Acesta este cel mai dificil tip de atac și algoritmii care nu rezistă la aceste atacuri sunt considerați complet nesiguri.
- **Atacul bazat pe text în clar cunoscut** (known-plaintext attack)-este cazul în care atacatorul are la dispoziție mai multe perechi (text în clar-text cifrat) înainte de a începe criptanaliza și trebuie să afle cheia de criptare pentru a descifra transmisiile viitoare.
- **Atacul bazat pe text în clar ales** (chosen-plaintext attack)-spre deosebire de cazul anterior, atacatorul are posibilitatea să aleagă de multe ori el însuși textul în clar și obține criptograma acestuia.
- **Atacul adaptiv bazat pe text în clar ales** (adaptive chosen-plaintext attack)-este o variantă a atacului bazat pe text în clar ales doar că criptanalistul nu va trebui să își planifice dinainte textul în clar pe care îl va alege spre a fi criptat ci poate să își modifice textul în clar în funcție de rezultatele preliminarilor atacului.
- **Atacul bazat pe text cifrat ales** (chosen-ciphertext attack)-acest atac este echivalent cu cel bazat pe text în clar ales doar că se aplică în general la partea de decriptare și atacatorul are posibilitatea să aleagă criptograma pe care dorește să o descifreze.
- **Atacul adaptiv bazat pe text cifrat ales** (adaptive chosen-ciphertext attack)-similar cu atacul adaptiv bazat pe text în clar ales dar folosit în general la descifrare (vezi descrierea atacului precedent).
- **Atacul bazat pe alegerea cheii** (chosen-key attack)-atac care se bazează pe relațiile care pot exista în funcție de diferitele chei.
- **Atacul prin forță brută** (brute force attack) este atacul prin care se încearcă spargerea unui cod prin iterarea și testarea tuturor valorilor din spațiul cheilor, cu alte cuvinte în acest caz se vor testa toate variantele posibile până se va găsi cea

dorită. De exemplu, în cazul în care avem un algoritm care se bazează pe existența unei chei secrete de 128 de biți, atacul prin forță brută asupra acestui algoritm presupune testarea tuturor cheilor posibile până la găsirea celei corecte (maximum 2^{128} variante).

Totuși există și niște condiții în care atacul prin forță brută se poate folosi și anume:

- când algoritmii de criptare și decriptare sunt cunoscuți;
- când spațiul cheilor posibile este suficient de mic;
- când limbajul folosit în cadrul textului în clar este cunoscut și ușor de recunoscut.

1.2.10. Soluții de securitate la nivelul rețea

Avantajul aplicării soluțiilor de securitate la nivelul rețea îl constituie faptul că această abordare le face invizibile nivelelor superioare, acestea fiind eliberate de o sarcină suplimentară.

Până în prezent sunt menționate două mecanisme de securitate care pot fi folosite atât separat cât și în conjuncție și un protocol de gestiune a cheilor la nivelul IP [45], [47]:

Antetul de autentificare (AH-Authentication Antet)-asigură integritatea datelor și autentificarea acestora și a emițătorului lor. Este independent de algoritmii folosiți.

Învelișul de securitate (ESP-Encapsulating Security Payload)-nu se impun algoritmii care se vor folosi și se asigură confidențialitatea, autentificarea și integritatea datelor.

Protocolul de gestiune a cheilor (ISAKMP-Internet Security Association and Key Management Protocol)-este un protocol venit să rezolve la acest nivel problema distribuției cheilor pe baza unui algoritm asemănător cu Diffie-Hellman.

1.2.11. Soluții de securitate la nivelul transport

La nivelul transport se pot menționa două protocoale și anume Nivel de Securitate Socl (SSL-Secure Sockets Layer) și Nivel Securitate Transport (TLS-Transport Layer Security). Dacă ar fi să plasăm aceste protocoale în modelul de referință OSI, locul acestora ar fi la nivelul sesiune pentru că ele oferă servicii de securitate deasupra protocoalelor de nivel transport cum ar fi TCP. Microsoft a propus de asemenea un protocol la acest nivel asemănător cu SSL pe care l-a denumit PCT (Private Communication Technology) [69].

Soluțiile de la nivelul aplicație pot fi protocoale independente sau protocoale care se bazează pe alte protocoale de acest nivel existente, ale căror performanțe le îmbunătățesc. După natura aplicațiilor lor, protocoalele de securitate pot fi referitoare la serviciul terminal (SSH-Secure Shell), la poșta electronică (PEM-Privacy Enhanced Mail, PGP-Pretty Good Privacy, S/MIME-Secure Multipurpose Internet Mail Extensions, MOSS-MIME Object Security Services) sau la aplicațiile Web (S-HTTP-Secure HTTP).

Protocolul SSL (Secure Sockets Layer) a fost propus inițial de către firma Netscape și a devenit între timp specificație publică Internet ajunsă la versiunea 3.0. Este un protocol la nivel transport situat imediat deasupra protocolului TCP și sub protocoalele de nivel aplicație. Acest lucru îl face să poată sta la baza oricărei aplicații Internet indiferent dacă aceasta este de tip TELNET, FTP sau Web. În cazul utilizării

SSL se criptează întreaga sesiune și nu mesajele separate. Cele două concepte fundamentale care stau la baza comunicației SSL sunt cele de sesiune și conexiune.

Sesiunea SSL este o asociere între un server și un client și se creează în urma algoritmului de negociere (SSL Hand-shaking Protocol). De-a lungul unei sesiuni vor exista mai multe conexiuni. Conform specificațiilor SSL, starea unei sesiuni este definită de următorii parametri:

- Identificatorul sesiunii-un identificator unic generat de către server și păstrat doar în cazul sesiunilor care mai sunt încă active sau mai pot fi repornite;
- Certificatul digital al partenerului-formatul certificatului este X.509 și poate lipsi pe partea de server în cazul în care nu se cere autentificarea clientului;
- Metoda de compresie-identificatorul algoritmului de compresie ce se va folosi;
- Algoritmii folosiți-se vor preciza algoritmul criptografic simetric ce se va folosi la criptarea datelor și funcția hash-code utilizată la calcularea codului de autentificare a mesajelor (MAC–Message Authentication Code);
- Cheia principală-cheia secretă comună serverului și clientului;
- Indicatorul de repornire-are o valoare booleană și indică dacă se mai pot crea sau nu conexiuni în sesiunea curentă.

Conexiunea SSL este o relație capăt-la-capăt între server și client care oferă un anumit nivel de securitate ales. Conexiunile sunt temporare și nu pot exista independent de o sesiune. Starea unei conexiuni este definită de:

- Secvența aleatoare-o secvență aleatoare de biți aleasă de către server și client pentru fiecare sesiune;
- Cheia secretă a server-ului de scriere a MAC-cheia secretă folosită de către server în operații legate de codurile de autentificare a mesajelor (MAC);
- Cheia secretă a clientului de scriere a MAC-corespondenta în cazul clientului cheii de mai sus;
- Cheia de scriere a serverului-cheia secretă ce se folosește în criptarea mesajelor de către server și decriptarea de către client;
- Cheia de scriere a clientului-cheia secretă ce se folosește în criptarea mesajelor de către client și decriptarea de către server;
- Vectorii de inițializare-se folosesc de către algoritmii simetrici utilizați;
- Numerele de secvență-în cazul fiecărei conexiuni, atât serverul cât și clientul păstrează un număr de secvență care se tot incrementează cu fiecare operație efectuată.

SSL este compus din 4 subprotocoale: cel de înregistrare, de negociere, de alertare și de schimbare a specificațiilor cifrului care vor fi prezentate pe scurt în continuare. Pentru detalii suplimentare cu privire la SSL se recomandă [66], [69].

Protocolul de înregistrare SSL (SSL Record Protocol) este protocolul prin care mesajul inițial este adus în forma în care va fi trimis pe canal către partener. Același protocol dar urmărind pașii în ordinea inversă va fi utilizat pentru a reface apoi la destinație mesajul în clar. Asupra unui mesaj se efectuează următoarele operații înainte de a fi transmis pe canal:

- Fragmentare-mesajul inițial se va fragmenta în blocuri mai mici sau egale ca și dimensiune decât 2^{14} octeți;
- Compresie-se aplică o compresie fără pierderi care n-are voie să crească dimensiunea blocului cu mai mult decât 1 kB;
- Adăugarea MAC-se adaugă la final codul de autentificare al mesajului;
- Criptare-se folosește la criptare unul dintre următorii algoritmi simetrici: IDEA, RC2, DES, T-DES, RC4 sau Fortezza [11], [16], [18];
- Adăugare antet SSL-ca și un ultim pas se va adăuga un antet ce va conține identificatorul protocolului de nivel aplicație ce se aplică peste SSL, versiunea

majoră și minoră a protocolului SSL folosit la prelucrare și dimensiunea unui bloc.

Protocolul de negociere SSL (SSL Hand-shaking Protocol) este cel care urmează de fiecare dată când o sesiune este creată. Prin acesta server-ul și clientul se vor autentifica și vor cădea de acord asupra algoritmilor și cheilor care vor fi folosite în schimbul propriu-zis de date. Acest protocol constă de fapt în 4 operații mari care vor fi efectuate în ordinea următoare:

- Stabilirea capabilităților criptografice-în această etapă atât clientul cât și serverul prezintă partenerului algoritmi care sunt capabili să-i folosească și se va cădea de acord asupra acelor dintre aceștia care vor fi folosiți în continuare;
- Autentificarea serverului și schimbul de chei: serverul își va trimite certificatul digital și va avea loc schimbul de chei;
- Autentificarea clientului și schimbul de chei: acest pas este facultativ și prin el clientul va trimite propriul certificat digital pentru a fi autentificat;
- Finalizarea protocolului:în urma acestui pas se va crea sesiunea și o conexiune sigură între client și server.

Protocolul de schimbare a specificațiilor cifrului SSL (SSL Change Cipher Specification Protocol) este cel mai simplu protocol din suita SSL. Constă în retransmiterea unui simplu octet cu valoarea 1 în urma căruia se vor schimba specificațiile cifrului care se folosește în prezent și se vor reseta numerele de secvență ale conexiunii curente [21], [26].

Protocolul de alertare SSL (SSL Alert Protocol) se folosește pentru a alerta interlocutorul cu privire la apariția unei erori în fluxul normal al SSL. Mesajele vor indica în primul octet dacă este vorba despre un simplu avertisment sau o eroare fatală. În cazul de pe urmă conexiunea curentă va fi imediat întreruptă.

Protocolul TLS (Transport Layer Security) reprezintă o variantă ușor modificată a protocolului SSL 3.0 care a fost standardizată de către IETF. Deosebirile apar în modul de generarea a codurilor de autentificare a mesajelor (MAC), în definirea unei ordini mai stricte a mesajelor și în numărul mai mare de alerte. Astfel, singura modificare în protocolul de înregistrare față de SSL este schimbarea numărului de versiune minoră din antetul care se adaugă în ultimul pas. Ca urmare a acestei modificări versiunea va fi 3.1 în loc de 3.0. În protocolul de alertare pe lângă numărul mai mare de mesaje de alertă se va modifica și nivelul de gravitate a unora dintre cele existente ele devenind din avertismente erori fatale.

Protocolul S-HTTP (Secure HTTP) a fost propus de către EIT (Enterprise Integration Technologies) și este de fapt o variantă a clasicului protocol HTTP (Hyper-Text Transfer Protocol) care stă la baza www [65]. Această variantă oferă în sfârșit HTTP nivelul de securitate cerut în ziua de astăzi.

Dacă SSL și TLS care au fost amintite anterior erau protocele de nivel transport, S-HTTP acționează la nivelul aplicație putând fi teoretic folosit împreună cu oricare dintre acestea. De asemenea, dacă SSL criptează întreaga sesiune, prin intermediul S-HTTP se criptează mesajele individuale ceea ce constituie un avantaj.

Criptările simetrice se pot face folosind unul dintre algoritmi DES, T-DES cu 2 sau 3 chei, DES-X, IDEA, RC2 sau CDMF (Commercial Data Masking Facility-varianta comercială cu cheie redusă a DES). Modul de operare va fi CBC (Cipher Block Chaining) în cazul mesajelor propriu-zise și ECB (Electronic Codebook) în cazul antetelor.

Distribuția cheii se poate face folosind metodele cunoscute din criptografia asimetrică, tichetele Kerberos dar se pot folosi și chei distribuite în prealabil prin alte metode independente de protocol. Mai multe detalii despre S-HTTP pot fi găsite în [47], [61].

1.2.12. Securitatea prin firewall

Un firewall nu este un simplu ruter sau un calculator gazdă care asigură securitatea unei rețele. În linii mari, un firewall (numit uneori și pasarelă de securitate) este un sistem care impune o politică de control al accesului între două rețele. Un firewall reprezintă implementarea acestei politici în termeni de configurare a rețelei, unul sau mai multe sisteme gazdă și router-e cu funcțiuni speciale, autentificarea prin metode criptografice a clienților [47].

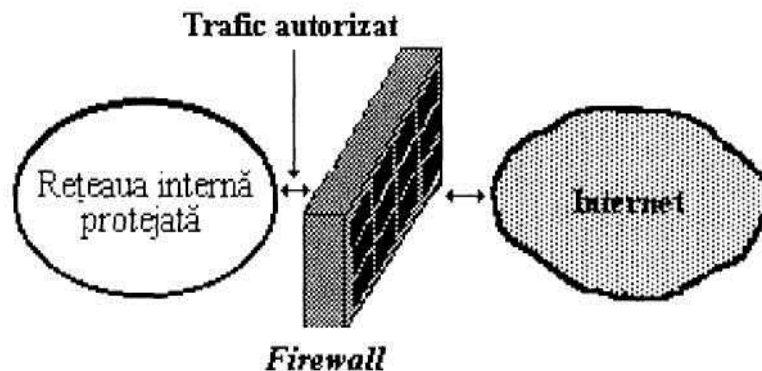


Fig.1.9. Dispunerea unui firewall [47]

Un firewall, Fig.1.9, este un mecanism folosit pentru a proteja o rețea sigură din punctul de vedere al securității de una nesigură, în care nu putem avea încredere.

În mod tipic, o rețea sigură este cea internă, a unei organizații, în timp ce cealaltă, nesigură, este Internet-ul (în care nu avem încredere din punctul de vedere al securității). Ultimele statistici referitoare la Internet arată că în compunerea sa intră peste 50.000 de rețele, cu un total de peste 2,5 milioane de sisteme gazdă, creșterea fiind estimată la 4.000 de noi domenii și 150.000 de noi sisteme gazdă pe lună. Dat fiind numărul și mai mare de utilizatori mulți dintre aceștia având, din nefericire, statutul de hacker (cracker sau vandal) folosirea unui firewall are sens, deoarece probabilitatea "izbucnirii unui foc" undeva în internet este foarte mare.

Deși cele mai multe firewall-uri sunt, în mod curent, interpuse între rețelele interne și Internet, conceptul de firewall nu vizează numai acest aspect, existând suficiente motive pentru folosirea firewall-urilor în oricare rețea, inclusiv în rețelele cu arie largă (WAN) ale diferitelor companii. Deoarece un firewall este dispus la intersecția dintre două rețele, acesta poate fi folosit și în alte scopuri decât acela de control al accesului:

- pentru a monitoriza comunicațiile dintre o rețea internă și o rețea externă. De exemplu, un firewall poate jurnaliza (monitoriza, înregistra)

serviciile folosite și cantitatea de date transferată prin conexiuni TCP/IP între propria organizație și lumea exterioară;

- un firewall poate fi folosit pentru interceptarea și înregistrarea tuturor comu-

nicațiilor dintre rețeaua internă și exterior. O linie închiriată, care permite viteze de până la 128 Kbps, în condițiile în care ar fi folosită 100% din timp, ar transfera zilnic circa 1,4 GB, ceea ce ar permite ca traficul pe câteva zile să încapă pe o singură bandă magnetică digitală de 8 mm;

- dacă o organizație are mai multe rețele, separate din punct de vedere geografic, fiecare având câte un firewall, există posibilitatea programării acestor firewall-uri pentru a cripta automat conținutul pachetelor transmise în-treele. În acest fel, pe suportul internet, organizația își poate realiza propria rețea virtuală privată [2], [12].

Teza este legată de analiza protocoalelor utilizate în telefonie IP, identificarea slăbiciunilor și propunerea soluțiilor de îmbunătățire a sistemului de securitate. De asemenea urmărește și reducerea întârzierilor la inițierea unei sesiuni de apel vocal bazat de protocolul SIP. Munca implică două părți: una teoretică și una practică. Partea teoretică explică tehnologia din spatele telefoniei IP și a securității, analizează protocoalele aplicate în arhitectura VoIP și propune un cadru de securitate. Partea practică constă în implementarea rezultatelor într-un centru de telefonie VoIP.

1.3. Actualitatea temei

Rețelele de telefonie IP PBX (Private Branch eXchange) sunt din ce în ce mai frecvent folosite în cadrul companiilor de dimensiuni medii și mari. Printre motivele răspândirii acestora merită amintite costurile mult diminuate comparativ cu, conectarea fiecărui aparat telefonic din companie la o linie externă precum și folosirea în comun de către sute de utilizatori a câtorva linii externe pentru efectuarea de apeluri în afara companiei. În plus, comunicarea internă este mai facilă deoarece numerele sunt formate din 3 sau 4 cifre.

Analiztii estimează că până la sfârșitul anului 2009, o cotă de 90% din piața va aparține rețelelor IP PBX. Totuși, înainte de a implementa o rețea VoIP, trebuie cunoscute riscurile la care acestea sunt expuse și măsurile care pot fi luate pentru a le contracara.

Prin implementarea și supravegherea politicilor de securitate se dorește evitarea unor incidente de genul:

- Sniffing: folosirea unor programe care monitorizează traficul efectuat într-o rețea în scopul sustragerii de informații. Aceste programe sunt aproape imposibil de detectat și se pot insera în orice punct;
- Folosirea neautorizată a serviciului prin intermediul unui computer și/sau a altor dispozitive care pot induce în eroare un sistem de telefonie în scopul efectuării de apeluri gratuite sau care să fie taxate unui alt utilizator;
- Spam prin telefonie internet (SPIT) presupune transmiterea de apeluri nedorite către căsuțele vocale ale utilizatorilor;
- Troieni cu acces de la distanță (Remote acces trojan) oferă atacatorului acces în sistemul afectat pentru a sustrage informații stocate pe acesta sau pentru a lansa atacuri asupra altor sisteme;
- Flux de distribuție (Broadcast storm) ce implică ocuparea întregii lățimi de bandă prin transmiterea simultană a unui mare număr de mesaje prin rețea și care solicită dispozitivelor receptoare transmiterea ca răspuns a altor mesaje similare;
- Falsificarea certificărilor Wi-Fi (wireless fidelity) pentru accesul neautorizat în rețelele fără fir. Acestea sunt emise de Wi-Fi Alliance și garantează că dispozitivele fără fir sunt interoperabile chiar dacă provin de la producători diferiți.

Astfel se poate obține fraudulos accesul într-un punct de acces (Access Point-AP) la o stație de bază care este conectată la rețelele fixe și se oferă astfel acces de tip internet fără fir pe o rază de 50 m.

Utilizatorii VoIP sunt vulnerabili la atacurile îndreptate împotriva serviciilor tradiționale de telefonie fixă sau mobilă, care au ca scop obținerea de informații, furtul de identitate sau comiterea unor fraude. Centralele VoIP, responsabile de procesarea apelurilor, a numerelor și a datelor de autentificare, utilizează sisteme de operare, protocoale internet, aplicații și interfețe de configurare care sunt vulnerabile la viruși, viermi, spyware, tentative de acces neautorizat sau atacuri de tipul refuzului serviciului (Denial of Service-DoS).

VoIP utilizează Protocolul de Inițializare Sesiune (SIP-Session Initiation Protocol) și Protocolul în Timp Real (RTP-Real-time Transport Protocol) pentru transmiterea mesajelor vocale. Acestea nu asigură identificarea corespunzătoare a participanților la apel, nu protejează confidențialitatea și integritatea datelor transmise și recepționate pentru inițierea apelurilor și transmiterea datelor (spre deosebire de fluxurile media ce conțin semnal audio comprimat și criptat). Până când aceste cerințe de securitate vor fi implementate atacatorii ar putea identifica numeroase vulnerabilități care pot fi exploatate.

Deoarece protocoalele SIP și RTP nu criptează apelul și fluxurile de semnal audio (voce), atributele de identificare (nume/parola) și numerele de telefon SIP ale utilizatorilor pot fi interceptate prin rețele locale fără fir folosind sniffer-e. Un atacator poate folosi informațiile sustrase pentru a contacta un reprezentant al furnizorului de servicii VoIP (prezentându-se drept utilizator legitim) sau pentru a accesa interfața de configurare web și a modifica setările pentru a permite apeluri la numere cu taxare specială sau în străinătate, pentru a accesa mesageria vocală a clientului sau pentru a schimba numărul de telefon spre care sunt direcționate apelurile nepreluete. Furtul de identitate în aceste cazuri este folosit pentru a efectua apeluri costisitoare la mare distanță sau pentru a obține informații sensibile de natură financiară sau personală.

Supraîncărcarea prin inundare a rețelelor VoIP cu mesaje SIP (prin simularea diverselor faze ale apelurilor inițiere, încheiere sau transmiterea de fluxuri de date media RTP) pot diminua calitatea serviciului, pot provoca întreruperea apelurilor sau pot forța echipamentele să nu mai proceseze toate apelurile primite. Echipamentele VoIP sunt de asemenea vulnerabile la atacuri TCP SYN sau ping of death. Sistemele de operare și comunicațiile TCP/IP folosite de echipamentele VoIP sunt vulnerabile la atacuri ce vizează încetarea funcționării lor sau preluarea controlului de la distanță. Transmiterea și execuția de cod arbitrar prin intermediul aplicațiilor softphone poate afecta calculatoarele și dispozitivele mobile (laptop, PDA) pe care acestea sunt instalate. Prin spam de multe ori sunt transmise aplicații spyware sau de control de la distanță sau mesaje de publicitate nedorite. Din aceste motive este necesar ca înainte de implementarea VoIP să fie evaluate riscurile pe care o astfel de inițiativă le presupune și să fie elaborată o strategie de combatere a acestora.

Transmisiunile de voce constituie sursa principală de venit a companiilor de telefonie tradiționale, o piață în plină dezvoltare pentru furnizorii de servicii VoIP și un serviciu absolut necesar desfășurării activității de afaceri. Din acest motiv, principalul risc pe care trebuie să îl înfrunte operatorii VoIP este întreruperea serviciului. Clienții se așteaptă la aceeași disponibilitate pe care o oferă furnizorii tradiționali de servicii de telefonie fixă și mobilă. Planul de implementare a VoIP trebuie să conțină măsuri de combatere a atacurilor de tip Denial of Service (DOS), care vizează încetarea funcționării echipamentelor [20], [26].

O altă prioritate o constituie prevenirea furtului de identitate și a folosirii abuzive de către atacatori a conturilor clienților. Operatorii VoIP sunt confrunțați cu amenințări mai grave decât furnizorii de servicii de telefonie fixă sau mobilă deoarece adresele IP de proveniență ale mesajelor nu sunt verificate în centralele VoIP și încă nu au fost adoptate la scară largă metode de certificare coordonată între furnizori și de verificare a validității identităților SIP. Prin urmare operatorii trebuie să fie precauți în colaborarea cu alți furnizori VoIP și să nu stabilească relații cu aceștia fără să se asigure în prealabil că sunt respectate procedurile de validare a identității și a integrității centralelor VoIP prin care sunt vehiculate apelurile.

Atacurile interne sunt în general mai frecvente decât cele din afara organizației. Operatorii VoIP trebuie să ia în considerare posibilitatea furtului de identitate chiar și atunci când își desfășoară activitatea izolat de alți furnizori. Din acest motiv managerii companiilor VoIP trebuie să pună la punct metode de combatere a furtului de identitate și să monitorizeze metodele de audit intern pentru depistarea abuzurilor și identificarea celor responsabili. De asemenea, în comparație cu rețelele publice, rețelele private VoIP vor fi vizate mai frecvent de acțiuni de culegere de informații legate de activitățile de afaceri.

Furtul de identitate în scopul utilizării frauduloase sau abuzive a serviciilor VoIP (efectuarea de apeluri costisitoare în detrimentul unor clienți) sunt probleme foarte serioase cu care serviciul de relații cu clienții se poate confrunța. Rezolvarea reclamațiilor și continuarea asigurării serviciilor pentru clienții care au căzut victime ale unor astfel de atacuri vor solicita intens resursele companiei și vor afecta negativ productivitatea. Efectele negative pe care incidentele le au asupra consumatorilor, utilizatorilor, managementului sau chiar a încrederii propriilor acționari pot fi de lungă durată [33], [61].

În teza de doctorat s-a studiat de asemenea și posibilitatea reducerii sesiunii de inițializare a protocolului SIP prin introducerea unui contor adaptiv pentru retransmisie cu rolul de a reduce cozile de așteptare prin ajustarea mărării pachetelor de semnalizare implicate în inițierea unei apel VoIP. De asemenea a fost studiată și propusă o soluție bazată pe reducerea timpului de transmitere a datelor prin controlul numărului de apeluri admise în lista de interogare a punctelor de acces (AP). A fost făcut un studiu experimental al întârzierilor în rețelele fără fir, pentru situația unei distribuții multiple (multicasting). Pentru acest caz rata maximă de transfer care poate fi atinsă este de 1.78 Mbps, pentru rețelele cu trafic de 2 Mbps. Suplimentar trebuie implementate mecanisme de reducere a pierderilor cadrelor la nivelul MAC.

Majoritatea serviciilor VoIP sunt găzduite de sisteme de operare comerciale instalate pe servere. Întărirea securității acestora și implementarea unor aplicații profesionale de detectare a intrușilor vor diminua considerabil șansele de succes ale atacurilor la care sunt expuse. În teză a fost propusă o nouă soluție de securitate bazată pe conceptul de client-server. Studiul este motivat de faptul că nivelul de control al accesului al mediu (MAC-Medium Access Control) al standardului IEEE 802.11 suportă retransmiteri ale pachetelor, impuse de erorile de transmisie ale celor două moduri, PFC și DCF, în care operează acest standard [41]. În urma unui studiu comparativ al performanțelor protocoalelor de semnalizare SIP, H.323 și IAX, am optat pentru IAX, un protocol de tip open source, ușor de utilizat și modificat. Prezintă avantajul că folosește lățime de bandă minimă atât pentru transferul datelor cât și pentru semnalizare și are suport nativ pentru translatarea adreselor de rețea.

Dintre măsurile de securitate a server-elor aplicabile și celor care deservește rețelele VoIP enumerăm:

- Actualizarea permanentă a sistemelor de operare și a programelor VoIP cu ultimele aplicații corectoare de tip patch lansate de producători;

- Menținerea pe server doar a aplicațiilor necesare derulării în bune condiții a serviciilor VoIP;
- Reguli de autentificare solide pentru accesul administratorilor și a utilizatorilor pe server garantarea accesului pe server pentru un număr minim de conturi de utilizator necesare asigurării întreținerii și funcționării în bune condiții a acestuia;
- Implementarea de proceduri de autentificare complexe pentru a preveni accesul neautorizat la serviciile VoIP sau la datele de identificare ale clienților;
- Derularea de activități de audit intern privind operațiunile desfășurate de administratori și utilizatori;
- Instalarea și întreținerea programelor firewall și a aplicațiilor antivirus pentru a combate atacurile de tip refuz al serviciului (DOS);
- Configurarea corespunzătoare a aplicațiilor VoIP, spre exemplu utilizarea unei liste a codurilor de țară apelabile, poate evita unele tentative de utilizare neautorizată sau abuzivă a serviciilor.

1.4. Structura tezei de doctorat

Capitolul 1 „Motivație” prezintă o privire de ansamblu a problemelor securității rețelelor fără fir care sunt relativ mai puțin sigure decât cele cablate, datorită accesului mai facil la rețea al persoanelor neautorizate aflate în zonele de acoperire ale punctelor de acces. Totodată sunt prezentate pe scurt structura unei rețele, protocolul de transport al Internet-ului și diverse soluții de securitate implementate până în prezent. Tot în cadrul acestui capitol sunt prezentate motivele care au condus la tratarea acestei teme de cercetare ce face obiectul tezei.

Capitolul 2 „Stadiul actual al securității VoIP în rețelele fără fir bazate pe standardul IEEE 802.11” prezintă stadiul actual privind măsurile adoptate pentru asigurarea securității aplicațiilor VoIP. Este făcută o evaluare a riscurilor utilizării VoIP din perspectiva furnizorilor și utilizatorilor de voce prin rețelele fără fir. Sunt menționate tipurile de atacuri și algoritmii de criptare utilizați pentru a asigura securitatea comunicațiilor fără fir. De asemenea sunt prezentate măsurile de securitate a server-elor care deservește rețelele VoIP.

Capitolul 3 „Modalități de reducerea a întârzierilor la inițializarea unei sesiuni bazate pe protocolul SIP în rețelele fără fir” are caracter de noutate și prezintă un contor adaptiv pentru retransmitere, menit să optimizeze performanțele protocoalelor de semnalizare din sesiunea de inițializare. În acest capitol se prezintă:

- întârzierile din sesiunea de inițializare SIP;
- protocoalele de transport TCP, UDP și RLP;
- analiza semnalizărilor SIP din legăturile fără fir;
- rezultatele numerice și relevanța contorului adaptiv pentru retransmitere;
- suportul pentru serviciile VoIP, arhitectura, întârzierile survenite în transmiterea și recepția datelor, precum și soluția propusă;
- descrierea rezultatelor numerice;
- analiza erorilor.

Capitolul 4 „Soluții pentru asigurarea securității în rețelele fără fir” are de asemenea un caracter de noutate și prezintă două contribuții personale, una descrie un prototip de software pentru securitatea și mobilitatea sistemelor VoIP, iar

cea de-a doua implementează un sistem criptografic pentru o comunicație sigură client-server. Acest capitol descrie:

- standardul IEEE 802.11. Este prezentată o imagine de ansamblu a securității lui și a extinderii mecanismelor de control al accesului;
- expunerea motivelor alegerii IAX ca și protocol pentru o transmisie sigură VoIP;
- Un sistem care utilizează diverse moduri de criptare pentru a determina care este cel mai adecvat pentru a asigura atât calitatea apelului cât și utilizarea cât mai redusă a procesorului.

Acest capitol prezintă de asemenea un studiu experimental al performanței și fiabilității transmisiei cu destinații multiple în subnivelul de acces la mediu al rețelelor fără fir bazate pe standardul IEEE 802.11. În multe cazuri, distribuția multiplă permite o utilizare mult mai eficientă a rețelelor, deoarece elimină nevoia de a trimite mai multe pachete identice la destinații diferite. Acest studiu experimental are ca scop determinarea gradului de utilizare a distribuției multiple a vocii la nivelul substratului de control al accesului la mediu (MAC) pentru două situații. Prima situație este utilizarea distribuției multiple pentru fluxurile de voce din link-ul de coborâre (downlink) și este destinată mai mult celor aflați în aceeași celulă a unei rețele fără fir, cum ar fi teleconferințele, emisiuni audio în întreprinderi sau situații de urgență. A doua situație este utilizarea în regim de walkie-talkie unde numai unul din participanți are permisiunea de a accesa rețeaua la un moment dat.

Capitolul 5 face o sinteză a principalelor contribuții teoretice și a rezultatelor experimentale obținute în cadrul cercetării expuse în teză.

1.5 Lucrări publicate de doctorand

Soluțiile și metodele noi dezvoltate în cadrul acestei teze au fost publicate în următoarele articole:

1. Ioaneșiu M., *An Experimental Analysis of Performance of MAC Multicast Distribution in 802.11 Networks for VoIP Traffic*, Lucrările sesiunii de comunicări științifice „Doctor Etc 2009”, Timișoara, Universitatea „Politehnica” din Timișoara, Facultatea de Electronică și Telecomunicații, Departamentul Comunicații, pp.49-54, ISSN 2066-883X, Timișoara, September 2009.
2. Ioaneșiu M., Toma C.I., *Optimization of SIP session setup delay for VOIP in 3G wireless networks*, Proceedings of the 4th International Conference on Engineering Technologies–ICET 2009, pp. 367-375, ISBN 978-86-7892-227-5, Novi Sad, Serbia, April 2009.
3. Ioaneșiu M., Toma C.I., *Support of Voice services in IEEE 802.11 wireless LANs*, Proceedings of the 4th International Conference on Engineering Technologies–ICET 2009, pp. 379-385, ISBN 978-86-7892-227-5, Novi Sad, Serbia, April, 2009.
4. Ioaneșiu M., *Security of Mobile VoIP*, International Symposium on Electronics and Telecommunications, ETC 2008, Eight Editions, Buletinul Științific al Universității „Politehnica” din Timișoara, Tom 53 (67), Fascicola 2, 2008, pp. 36-41, ISSN 1583-3380, Seria Electronică și Telecomunicații, Timișoara, September 2008.
5. Ioaneșiu M., *The security in wireless networks based on 802.11 standards. Problems and solutions. Developments of 802.11 standards in connection with security problems*, Lucrările sesiunii de comunicări științifice „Doctor Etc 2007”, Universitatea „Politehnica” din Timișoara, Facultatea de Electronică și Telecomunicații, Departamentul Comunicații, pp. 88–93, ISBN 978–973–625–494-9, Timișoara, September, 2007.
6. Ioaneșiu M., *Securitatea datelor prin criptare*, Referatul 3 pentru doctorat, Universitatea „Politehnica” din Timișoara, Facultatea de Electronică și Telecomunicații, Departamentul Comunicații, 2006.
7. Ioaneșiu M., *Stadiul actual și de perspectivă al securității rețelelor de calculatoare*, Referatul 2 pentru doctorat, Universitatea „Politehnica” din Timișoara, Facultatea de Electronică și Telecomunicații, Departamentul Comunicații, 2005.
8. Ioaneșiu M., *VPN și securitatea datelor*, Referatul 1 pentru doctorat, Universitatea „Politehnica” din Timișoara, Facultatea de Electronică și Telecomunicații, Departamentul Comunicații, 2004.

2. STADIUL ACTUAL AL CALITĂȚII TRANSMISIEI VOCII ÎN REȚELELE FĂRĂ FIR BAZATE PE STANDARDUL IEEE. 802.11

Acest capitol este structurat pe 9 subcapitole și urmărește prezentarea stadiului actual al calității serviciilor VoIP în rețelele fără fir bazate pe standardul IEEE 802.11. În primul paragraf sunt prezentate și discutate deficiențele legate de securitatea transmisiei vocii prin Internet utilizând protocolul IP. În paragrafele 2.2-2.5 se prezintă structura rețelelor fără fir, protocoalele utilizate, factorii care afectează performanța VoIP și straturile protocolului. În paragraful 2.6 sunt prezentate tipurile de atacuri asupra protocolului SIP. Mecanismele de securitate existente în rețelele fără fir sunt prezentate în paragraful 2.7. Metodele propuse în teză, de îmbunătățire a calității transmisiei vocii în rețelele fără fir sunt prezentate în paragraful 2.8. Paragraful final face o trecere în revistă a concluziilor rezultate din studiul prezentat în acest capitol.

2.1. Considerații generale

Standardul IEEE 802.11 al rețelelor fără fir (Wireless Local Area Network-WLAN) acoperă substratul de control al accesului la mediu (Media Access Control-MAC) și stratul fizic (PHY-Physical Layer), din suita de straturi de rețea definită de sistemul de interconectare deschis (OSI) [15], [46], [65].

Comunicațiile fără fir prezintă un risc mai mare de atac în comparație cu cele efectuate prin cablu, fapt ce a impus aplicarea unor măsuri de securitate speciale, conform protocolului AAA (authentication, authorization, accounting). Sistemul de autentificare al standardului IEEE 802.11 are definite trei componente: solicitantul, autentificatorul și server-ul de autentificare. Multiplele aplicații care folosesc acest mediu, au anumite constrângeri legate de asigurarea calității. Aceste constrângeri sunt pentru majoritatea aplicațiilor cerințele legate de rata de transfer, de întârziere și de livrarea pachetelor. Pe măsură ce tot mai multe dispozitive de genul telefoanelor fără fir și bluetooth accesează același canal nelicențiat ca și rețelele fără fir, nu se mai pune problema neglijării pierderii pachetelor [32].

Complexitatea serviciului de transmitere a vocii prin Internet (VoIP) creează un număr mare de vulnerabilități care afectează trei mari domenii de securitate a informațiilor: confidențialitatea, integritatea și disponibilitatea [1], [2].

S-au efectuat studii privind robustețea protocoalelor de securitate pe diverse niveluri ale modelului OSI și s-a ajuns la concluzia că unele sunt mai robuste pentru o mobilitate mai redusă a rețelei, față de cazul în care mobilitatea crește [1], [3], [9], [15], [20], [22].

Comunicarea într-un mediu fără fir se face prin stații client, care utilizează modemuri radio pentru a comunica cu punctele de acces, AP. Stațiile client sunt echipate în general cu plăci de rețea pentru mediul fără fir care au în componență un emițător-receptor radio și logică pentru a permite interacțiunea dintre hardware și software. Punctele de acces conțin în esență același emițător-receptor și în plus, o

punte (bridge) conectată la nucleul rețelei cablate. Punctul de acces este un dispozitiv staționar care face parte din rețeaua locală-LAN și este similar unei celule (stație de bază) din comunicațiile celulare. Toate comunicațiile dintre stațiile client și dintre clienți și rețelele cablate trec printr-un punct de acces Fig.2.1 [1].

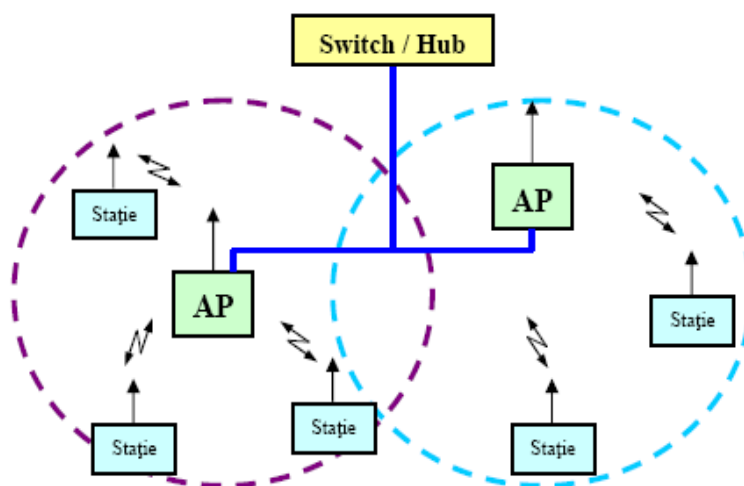


Fig.2.1 Topologia fundamentală a unei rețele fără fir 802.11 [1].

Viteza este aspectul cel mai important al comunicațiilor VoIP. Foarte puține rețele își pot permite întârzieri datorită congestiei traficului, iar furnizarea de lățime de bandă suficientă nu este de multe ori soluția. Bianchi [9], Cheriton, Faria [21], Rughiniș [67] au semnalat faptul că în numeroase rețele VoIP apare problema asigurării unei translații corecte a adresei la granița dintre rețele (Network Address Translation-NAT) și au recomandat rutarea prin cât mai puține noduri.

Aplicațiile actuale, folosite pentru transmiterea vocii în rețelele fără fir, nu utilizează întotdeauna, în mod eficient, resursele acestora. Datorită supraîncărcării pachetelor mici ce se transmit într-o rețea fără fir (WLAN), lățimea de bandă disponibilă pentru traficul VoIP este mult sub rata maximă de transfer a datelor, de 11 Mbps pe care în mod normal o suportă o rețea de fără fir. Această supraîncărcare se datorează transmiterii de octeți suplimentari, adăugați la parcurgerea diferitelor straturi ale rețelei (antetele pachetelor) și întârzierilor impuse de cele două variante de organizare a rețelelor fără fir (Funcția de Coordonare Distribuită-DCF și Funcția de Coordonare prin Punct-PCF).

În prezent, noul standard are posibilitatea unor intrări și ieșiri multiple (Multiple Input Multiple Output-MIMO), fapt ce permite o rată maximă de transfer de 600 Mbps, îmbunătățirea transmisiei datelor prin utilizarea mai multor antene, a unor mecanisme de codare care să asigure securitatea datelor și să poată transmite punctelor de acces informații referitoare la datele conținute atât pe link-ul de upstream cât și pe cel de downstream [64].

2.2. Structura rețelelor fără fir

Pentru reducerea ratei erorilor pe canalele rețelelor fără fir au fost și sunt elaborate în continuare seturi de servicii care să asigure calitatea transmisiei. Pentru a veni în sprijinul traficului care se desfășoară atât în timp real cât și în timp nereal, Hong Hou, Borkar și Kumar [32], au studiat problema asigurării calității în rețelele fără fir, iar în lucrarea lor sunt amintite:

1. studiile efectuate de Johnsson și Cocs care au propus o politică de reducere a timpului de întârziere a pachetelor concomitent cu mărirea ratei de transfer la utilizator;
2. sistemul proiectat de Dua și Bambos care face un compromis între corectitudinea datelor la utilizator și performanța sistemului;
3. studiile făcute de Stolyar și Ramanan vizează oferirea de garanții de calitate serviciilor implementate la client. Acest tip de abordare oferă însă un optim numai pentru o perioadă mare de timp.

Hong Hou, Borkar și Kumar [32], s-au concentrat mai mult pe probleme de punere în aplicare și consolidare a calității transmisiei pentru mecanismele aferente standardului IEEE 802.11. Simulările lor au fost efectuate într-un mediu controlat, în cazul în care pierderile de pachete sunt rare. Comparativ cu politicile de scanare rețea, care au fost mai mult studiate, există mai puține studii analitice privind controlul admisiei în rețelele fără fir. Garg, Zhai, Shin și Schulzrinne [69] au folosit diferite metrice pentru a prevedea, din punct de vedere statistic, performanțele rețelei. Au propus controlul admisiei pe bază de algoritmi pentru a garanta o anumită lățime de bandă pentru fiecare utilizator, fără a lua în considerare latența.

Practic, intervalul de timp necesar asamblării pachetelor spre a fi transmise este considerat a fi factorul determinant în calitatea transmiterii datelor prin rețelele fără fir. În plus, supraîncărcarea impusă de cele două variante de organizare a rețelelor fără fir nu este fixă, ci crește, pe măsură ce numărul de stații care doresc acces la mediu crește.

Acceptarea unui apel suplimentar, față de numărul maxim de apeluri acceptate, în curs de desfășurare, poate avea consecințe dezastruoase dacă se depășește lățimea de bandă disponibilă. Prin experimente cu diverse codec-uri și sisteme de încapsulare a pachetelor, s-au stabilit relații între calitatea convorbirilor și resursele rețelelor fără fir utilizate. În cazul în care lățimea de bandă efectiv disponibilă este aproape de zero, calitatea convorbirii poate deveni inacceptabilă pentru toate apelurile în curs de desfășurare. Utilizarea resurselor poate fi monitorizată de programe (sniffer-e) care urmăresc pasiv pachetele din trafic, la nivelul stratului 2 (L2/MAC) al mediului fără fir și furnizează informații despre cele trei componente care consumă lățimea de bandă (încărcarea, accesul și eliberarea mediului). Informațiile oferite de programele mai sus amintite sunt necesare pentru asigurarea calității transmisiei și recepției datelor.

În prezent rețelele fără fir folosesc un sistem criptografic cu o variabilă permanentă fixă sau o cheie de criptare sau nici un fel de criptare. Acest lucru, cuplat cu faptul că pot oferi puncte de acces la rețea pentru orice intrus (dincolo de nivelul fizic și dincolo de controalele de securitate ale organizației) creează probleme de securitate. Legat de acest aspect este faptul că accesul la mecanismele de control al punctelor de acces conține erori, creând o breșă pentru orice adversar [1].

În contextul rețelelor fără fir, solicitantul este de obicei un nod mobil având implementat clientul standardului IEEE 802.11. Punctul de acces, AP, joacă rolul de autentificator. Chen Ling, Jian de Lu, [19], folosesc pentru server-ele de autentificare, autorizare și taxare-AAA (authentication, authorization and accounting) proto-

34 Stadiul actual al calității transmisiei vocii în rețelele fără fir bazate pe standardul IEEE 802.11-2

colul RADIUS (Remote Authentication Dial In User Service). Puteau opta și pentru succesorul acestuia, DIAMETER.

În prezent, sunt implementate scheme de tip open-source, cunoscute sub denumirea de Xsupplicant, pentru Linux și WIRE1x, pentru Windows. Una dintre problemele comune constă în faptul că aceste scheme sunt concepute numai pentru Linux sau Windows, neacordând suficientă atenție protocolului de extensie a autorizării pentru rețelele fără fir (Extensible Authentication Protocol over Wireless EAPoW) și taxării, Chang Chin Cheng [17], Chen Ling [19].

În rețelele fără fir, datorită mediului prin care se propagă informația, nu se poate ști dacă un telefon VoIP sau un calculator transmit date pe legătura (link-ul) de upstream sau downstream. Pentru link-ul de upstream nu se pot aplica măsuri de calitate a serviciului. Conform Ross Rehart [66], singura posibilitate rămâne pentru cel de downstream, prin introducerea unor porți (gateway) sau routere de încredere care să analizeze pachetele recepționate, ca în Fig.2.2.

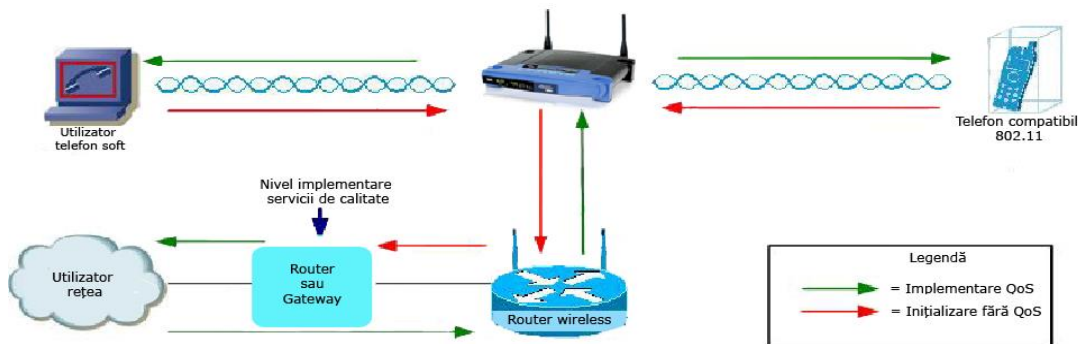


Fig.2.2 Arhitectură pentru implementarea serviciilor de calitate(QoS) [66]

Agarwal, Wang [1] și Albers&Co [2] au efectuat experimente care arată influența protocoalelor de securitate asupra parametrilor de calitate, QoS. De exemplu, dacă timpul de autentificare, cuprins între 0,11 s și 6,28 s, nu este asigurat, se poate ajunge la o pierdere dramatică de pachete. De asemenea, pentru același protocol de transfer de securitate, în afara serviciului de roaming, timpul alocat pentru el poate fi de până la două ori mai mare decât în roaming.

În [19] este descrisă arhitectura unei multiplatforme integrate (IMEWAS-A Integrate Multiplatform EAPoW-based WLAN AAA Solution) care se bazează pe standardul IEEE 802.11, pe protocolul de autentificare extins (EAP) și un server de tip AAA, ce folosește protocolul RADIUS. Acesta utilizează bibliotecile WinPcap /Libpcap pentru Windows respectiv Linx, ca suport de bază pentru interacțiunea dintre cadrele de autentificare ale standardului IEEE 802.11 și porturile de control al accesului în punctele de acces AP [19].

Platforma IMEWAS este o platformă flexibilă, sigură și poate fi modulată. Este o structură la care se pot adăuga servicii și poate fi ușor de depanată.

Protocolul de autentificare extensibil pentru rețele fără fir, WLAN-EAP, permite implementarea mai multor metode de autentificare cum ar fi funcția de autentificare hash MD5 (bazată pe algoritmul Message-Digest Algorithm 5) sau protocolul pentru securitatea stratului de transport-TLS (Transport Layer Security).

Prin utilizarea bibliotecilor WinPcap/Libpcap și Libnet se asigură rularea pe mai multe platforme. În plus, parola utilizatorului și sesiunea sunt securizate prin certificate de autentificare datorate protocoalelor utilizate [18].

Substratul MAC (Media Access Control) al standardului 802.11 oferă funcții de control al accesului la mediul fără fir, cum ar fi coordonarea, adresarea sau trimiterea de secvențe de cadre de verificare. Substratul MAC definește două funcții de acces la mediu pentru a rezolva problemele legate de transmisie [1], [65]:

1. **Funcția de bază, de coordonare distribuită** (Distributed Coordination Function DCF) care este similară organizării din rețelele cu, comutare de pachete și este destinată transferului asincron de date;
2. **Funcția de coordonare prin puncte** (Point Coordination Function-PCF) care se bazează pe interogări controlate de punctele de acces (**AP**) și care este destinată transmisiunilor sensibile la întâzieri.

Conform standardului IEEE 802.11 se disting două tipuri de rețele locale:

1. **rețele ad-hoc;**
2. **rețele infrastructurale.**

O rețea ad-hoc este o grupare a stațiilor într-o singură arie de bază (Basic Service Area-BSA) cu scopul comunicării inter-rețele fără ajutorul unei rețele infrastructurale.

Orice stație poate stabili o sesiune de comunicație directă cu altă stație fără a fi necesară direcționarea traficului printr-un punct de acces (AP) centralizat.

În opoziție cu rețelele ad-hoc, rețelele infrastructurale au scopul de a servi utilizatorii cu servicii specifice și de a permite extinderea zonei. Aceste rețele se constituie utilizându-se un punct de acces (AP).

În rețele fără fir cauza principală pentru scăderea numărului de apeluri este coliziunea. Evitarea pierderilor de pachete datorită acestui fapt se poate face dacă nu se lucrează în modul saturație când probabilitatea unor coliziuni este foarte mare în acest caz.

2.3. Protocoale utilizate la transmiterea vocii prin Internet

În prezent sunt utilizate mai multe protocoale menite să rezolve problemele de securitate [1], [2], [8]:

1. Confidențialitatea echivalentă cu cea din rețelele cablate (Wired Equivalent Privacy-WEP);
2. Portul pentru control al accesului în rețelele fără fir care are înglobat Protocolul de Autentificare Extensibil (EAP);
3. Protocolul pentru Inițializarea Sesiunii (SIP-Session Initiation Protocol);
4. Protocolul pentru Transport în Timp Real (Real Time Transport Protocol-RTP);
5. Protocolul H.323;
6. Protocolul Internet Securizat (IPsec) utilizat în rețelele cablate este de asemenea considerat ca alternativă pentru rețelele fără fir [2].

Aceste protocoale nu asigură identificarea corespunzătoare a participanților la apel, nu protejează confidențialitatea și integritatea datelor transmise și recepționate pentru inițierea și transmiterea apelurilor, respectiv datelor [14], [15], [21], [33], [34], [59].

Datorită faptului că protocoalele SIP și RTP nu criptează apelul și fluxurile de semnal audio (voce), atributele de identificare (nume/parolă) și numerele de telefon SIP ale utilizatorilor pot fi interceptate prin LAN sau wireless LAN folosind programe de interceptare (sniffer-e) potrivit Cheriton și Faria [21].

Un atacator poate oricând să folosească informațiile sustrase pentru a contacta un reprezentant al furnizorului de servicii VoIP (prezentându-se drept utilizator legitim) sau pentru a accesa interfața de configurare web și a modifica setările. În felul acesta poate efectua apeluri la numere cu taxare specială sau în străinătate, poate accesa mesageria vocală a clientului sau poate schimba numărul de telefon spre care sunt direcționate apelurile nepreluat. Furtul de identitate în aceste cazuri este folosit pentru a efectua apeluri costisitoare la mare distanță sau pentru a obține informații sensibile de natura financiară sau personală potrivit Agarwal [1], Wang, Lin, Liu [78].

Protocolul H.323 a fost cel mai răspândit și utilizat protocol, însă datorită problemelor care apar la utilizarea lui între diferite rețele (rutare prin NAT, probleme cu firewall-uri, etc.), acest protocol a cedat primul loc protocolului SIP (Session Initiation Protocol). Protocolul SIP se adaptează mult mai bine cerințelor și problemelor diferiților utilizatori casnici, motiv pentru care se bucură de o răspândire tot mai largă. Protocolul H.323 este folosit acolo unde totul este sub control și supraveghere, ca de exemplu în cadrul rețelelor de voce a diferitelor companii care furnizează servicii VoIP. În ultimul timp, îmbunătățirile aduse protocolului H.323 (care de fapt este o umbrelă peste mai multe protocoale ca H.225.0, H.245, H.450, H.235, H.239), reduc problemele întâmpinate de H.323 la traversarea diferitelor rețele, ceea ce ar putea readuce utilizarea acestui protocol în prim plan, conform celor spuse de Kuhn [50] și Wright [81].

2.4. Factori care afectează performanța VoIP

Există mai mulți factori majori care afectează calitatea serviciilor de voce transmise prin rețelele cu comutare de pachete. Aceștia sunt:

1. întârzierea;
2. latența întârzierii dată de un pachet (funcție de dimensiune) pentru a parcurge distanța de la emițător la receptor și retur. ;
3. jitter-ul (întârzierea variabilă între pachete);
4. bruiatul;
5. limitări ale benzii de frecvență;
6. pierderea de pachete;
7. inundarea.

1. În sistemele VoIP întârzierea este dată în principal de timpii de prelucrare a semnalului: timpii de eșantionare, acumulare și codare de la transmisie, apoi timpii de așteptare în cozile ruterelor de pe traseu și timpii de procesare la recepție. Întârzierea între 2 puncte terminale (end-to-end) nu afectează în mod direct calitatea vocii, ci fluxul de date transmise, ducând astfel la suprapuneri ale convorbirilor. Recomandarea ITU-T G.114 [50] prevede limitări de timp pentru transmiterea într-o direcție (one-way transmission time). Dacă întârzierea prin rețea este mai mică de 150 ms, utilizatorii nu vor fi afectați. Atunci când întârzierea este cuprinsă între 150 ms și 400 ms, se percep întreruperi frecvente ale conversației. Dacă întârzierea depășește 400 ms conversația devine practic imposibilă [20], [22], [50].

Într-o rețea fără fir, utilizatorii concurează pentru accesarea mediului de transport partajat. În timp ce legăturile (link-urile) se interferează reciproc, în timpul transmisiei, stratul de acces la mediu (MAC) trebuie să programeze cu atenție accesarea acestora pentru ca pachetele să poată fi transmise cu coliziuni minime. Au fost studiate multe politici de planificare la nivelul substratului MAC, cu scopul de a maximiza productivitatea. Aceste sisteme sunt deseori numite scheme de programare pentru productivitatea optimă.

Pentru determinarea limitelor superioare și inferioare ale întârzierii a fost propusă o schemă pentru estimarea exactă a întârzierii numită adaptarea maximă ponderată (Maximum Weighted Matching-MWM). În acest caz s-au luat în calcul rețele de tip ad-hoc cu un singur nod (hop). Gupta [29] a pornit de la premiza că pachetele sunt generate de o sursă externă și a căutat reducerea cozilor de așteptare pentru legături.

În rețelele fără fir s-au obținut valori mari ale întârzierilor datorită interacțiunilor complexe dintre sosirea pachetelor, serviciile de rețea, up-link și down-link. S-a demonstrat faptul că adaptarea ponderată maximă (MWM) este optimă în regim de trafic intens [29], [30], [49], [50]. Rezultatele nu oferă însă nici o estimare a întârzierii. De asemenea nu se știe dacă aceste politici continuă să fie optime pentru o încărcare arbitrară.

Diverse modele de mobilitate au fost studiate în literatura de specialitate de Kuhn [50], Le Boudec [51], Lewis [52], Schulzrinne [69], pentru a determina relația între întârziere și capacitate. Rezultatele indică faptul că există disensiuni între întârziere și capacitate, iar natura acestor compromisuri este puternic influențată de alegerea modelului de mobilitate.

Pentru a putea stabili un compromis între capacitate și întârziere a fost introdusă noțiunea de întârziere critică. Scopul a fost de a se putea studia cât de mult trebuie să fie tolerată întârzierea pentru o anumită formă de mobilitate a nodului rețelei fără fir pentru a duce la îmbunătățirea capacității acesteia. În literatură sunt propuse două clase diferite de modele de mobilitate și s-a arătat că ambele prezintă întârzieri critice care sunt de fapt situații extreme. Întârzierea critică este invers proporțională cu lungimea căii caracteristice, care este definită ca distanța între noduri. Aceste rezultate, oferă o înțelegere clară a motivului pentru care întârzierea critică este mai mare decât întârzierea critică aflată sub modelul punctului de mobilitate aleatoare. În realitate, este de așteptat ca numărul de noduri sau densitatea de noduri să aibă o influență mică sau de loc asupra mișcării nodurilor. Corespunzător, ar fi de așteptat ca și lungimea caracteristică să aibă o dependență destul de slabă sau deloc asupra numărului de noduri sau densității acestora [29], [63], [71], [72], [76].

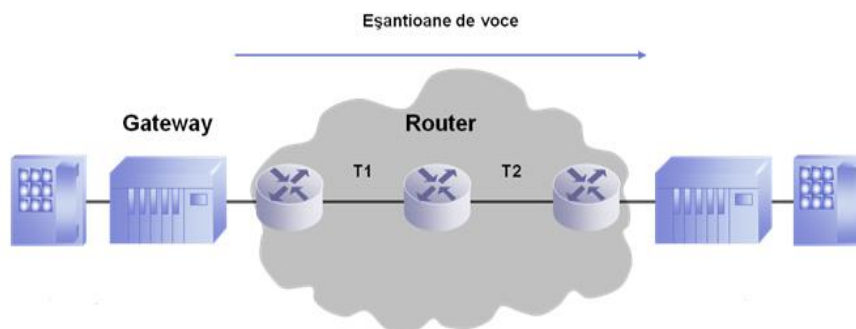


Fig.2.3 Punctele dintr-o rețea unde se produc întârzieri [50]

Întârzierile în rețelele VoIP se datorează algoritmilor de încapsulare a pachetelor, a serializării lor, a propagării lor prin rețea, a componentelor hardware ale rețelei, a așteptării, retransmisiei și a procesării în momentul recepționării lor, Fig.2.3 [50]. De asemenea se poate observa din Fig.2.3 că și multiplexările de la 1.544 Mbit/s (T1) la 6.312 Mbit/s (T2) sunt o posibilă sursă de întârzieri.

Prelucrarea semnalului analogic în formatul codec-ului utilizat se face pe blocuri a căror lungime poate varia între 10 ms și 30 ms, în funcție de codec-ul folosit. De exemplu, în cadrul codec-ului G.729 lungimea blocului este de 10 ms, față de cazul codec-ului G.723.1, care folosește lungimi de 30 ms. La blocuri mai mari de 30 ms, întârzierea introdusă de codec poate deveni sesizabilă și chiar supărătoare la ascultător.

Wei Liu, Wenjing Lou, Yuguang Fang [79], au făcut o clasificare a întârzierilor din rețea în două mari categorii:

1. **întârzieri fixe**-din această categorie fac parte întârzierile codorului datorită prelucrării semnalelor pe cadre, întârzierile datorate împachetării informației în pachete IP, (ținând cont că un pachet poate conține mai mult decât un cadru), întârzierile necesare compensării jitter-ului, întârzierea introdusă de decodor (mult mai mică decât cea introdusă de codor).
2. **întârzieri variabile**-din această categorie fac parte: întârzierea de propagare între nodurile rețelei, întârzierea datorată așteptărilor în cozile de așteptare a nodurilor rețelei și întârzierile de comutație.

Întârzierile fixe nu sunt atât de periculoase ca și cele variabile, cu toate că valoarea acestora este semnificativ mai mare decât a celor variabile, datorită faptului că o decalare a momentului de început al convorbirii, la ascultător, de câteva secunde, este insesizabilă. Pe de altă parte o variație a întârzierii cu câteva sutimi de secundă poate deveni deranjantă.

Dacă sunt cunoscute, întârzierile lanțului de comunicație pot fi controlate, iar dacă se ține cont de aceste întârzieri în timpul proiectării rețelei și aplicațiilor, efectele acestora pot fi înlăturate sau micșorate până la limita observabilității.

2. Latența definită ca timpul necesar unui pachet de a ajunge la receptor și înapoi la emițător, este un alt factor generator de întârzieri. Este nevoie de mai puțin de 150 ms de latență pentru o bună calitate, iar tipurile de conexiuni existente în prezent nu ating încă această medie. În cazul unei rețele VoIP, orice latență mai mare de 150-200 ms, un bruiaj mai mare de 20-40 milisecunde vor determina o rată de pierdere a pachetelor mai mare de 1-3%, afectând astfel calitatea semnalului vocal.

3. Jitter-ul este abaterea întârzierii (pozitivă sau negativă) la transmiterea pachetelor de voce. Apare în primul rând datorită modului de transfer al pachetelor pe diferite rute, fiind cauzat de cozile de așteptare din nodurile rețelei și de serializare.

Prin instituirea unor discipline de control a cozilor de așteptare, prin prioritizarea pachetelor de voce, prin rezervarea benzii de frecvențe și prin dezvoltarea unor legături (link-uri) de mare viteză, cum ar fi SDH și E3/T3 se poate controla jitter-ul îmbunătățindu-se astfel calitatea serviciului (QoS).

Jitter-ul poate fi redus, prin utilizarea unor buffer-e la punctele terminale. Buffer-ele jitter-ului rețin astfel pachetele un timp suficient de lung pentru a permite și celui mai lent pachet să ajungă la timp și să poată fi reasamblat în ordinea corectă. Lungimea acestui buffer influențează direct întârzierea dus-întors (deci mărimea bufferului nu poate fi foarte mare). De aceea jitterul trebuie să fie mic astfel încât redarea sunetului la recepție să rămână lină.

4. Bruiajul apare datorită unor interferențe nedorite ale semnalelor din banda de frecvență, producând întârzieri care pot varia foarte mult în rețelele fără fir. Dacă nivelul de bruiaj crește dincolo de ceea ce un tampon de bruiaj este proiectat să suporte, semnalul audio va fi redat fără pachetele care nu au sosit. Astfel, rezultatele unui bruiaj excesiv pentru voce este similar cu cel ce afectează pierderea de pachete. Deoarece nu există nici o dimensiune maximă a buffer-ului tampon, nu poate fi specificat un nivel maxim de bruiaj pentru toate sistemele.

5. Limitările de bandă pot avea un efect sever asupra calității vocale într-un sistem [75]. Lățimea de bandă, necesară pentru transmisia de voce într-o rețea IP depinde de codec-ul audio folosit. În plus, față de informațiile de voce, diverse informații din antet cresc cerințele de lățime de bandă [33], [34], [35], [75].

Codec-ul ITU-T G.711, denumit PCM, este cel mai frecvent codec utilizat în prezent de sistemele telefonice. Există două variante ale metodelor de codificare: μ -law, utilizate în SUA și în Japonia și a-law utilizat în celelalte țări. Fiecare din aceste metode transmit 8000 de eșantioane pe secundă, ceea ce înseamnă că un total de 64000 biți pot fi transmiși pe secundă. Prin urmare, pentru a transmite semnal vocal codat digital, se folosește codec-ul G.711, cu o lățime de bandă disponibilă de 64 kbps. În utilizarea reală există o încărcare suplimentară, în afară de traficul de voce, ceea ce duce la o lățime de bandă reală utilizată de 87.2 kbps. Această lățime de bandă este utilizată în ambele direcții. Aceasta înseamnă că un minim de 128 Kbps pe canal este necesar pentru acest codec să funcționeze normal.

6. Pierderea de pachete se răsfrânge are de asemenea un efect negativ asupra calității vocii recepționate. Un procent relativ scăzut (5-10%) al pachetelor de date pierdute va provoca o scădere a calității vocii. În cazul în care procentul de pierderi de pachete se ridică la 10 %, calitatea va deveni inacceptabilă [33], [64]. Pierderea pachetelor trebuie să fie mică, deoarece fluxul de voce este sensibil la pierderea de pachete (pierderea unor pachete duce la pierderea unor bucăți din semnalul primit de la microfonului transmițătorului și astfel redarea la recepție se face cu întreruperi.) Din păcate pierderea de pachete în rețelele IP este corelată, deoarece pierderile apar în timpul congestiilor și aceste pierderi continue de pachete reduc substanțial inteligibilitatea vocii.

7. Inundarea este o tehnică ce permite unui atacator să trimită un număr mare de pachete, pe care ținta le acceptă și încearcă să le proceseze, întârzie sau să întrerupă traficul, rezultând astfel refuzul serviciului (Denial of Service-DoS).

Primul pas într-o încercare reușită de a ataca o rețea VoIP este colectarea de informații și profile. După descoperirea dispozitivelor SIP prezente în rețea, prin scannare, enumerare și amprentare, se pot face o varietate de teste de securitate cum ar fi: inundarea UDP cu mesaje de tip INVITE pentru a ataca sesiunea, a intercepta traficul sau a asculta [52], [53].

Colectarea de informații se poate face prin detectarea online a gazdelor, iar apoi se determină care dintre ele utilizează protocolul SIP.

Toate protocoalele SIP suportă protocoale de tip datagramă (User Datagram Protocol-UDP), astfel că atacurile de inundare prin intermediul acestui protocol au o probabilitate ridicată de apariție. Inundarea se face prin solicitările de mesaje INVITE ulterioare, astfel că SIP va interpreta fiecare dintre ele ca apeluri independente și va iniția un dialog pentru fiecare. Deoarece este un atac specific SIP, inundarea prin mesaje INVITE se consideră o metodă de atac la nivel de sesiune și aplicație [1], [60].

Manipularea semnalizărilor SIP poate duce la unele forme foarte periculoase de încălcare a securității. Un atacator poate folosi astfel mesaje de înregistrare false (REGISTER), putând adăuga sau substitui utilizatori falși. În SIP, cererile de mesaje BYE trimise între telefoane SIP anunță terminarea convorbirii. Dacă un atacator va trimite un mesaj de BYE unui telefon SIP angajat într-o conversație, acesta va determina întreruperea ei imediată [3], [5].

Protocoalele SIP sunt vulnerabile de asemenea la atacuri de tip media în timp real, mesajele audio se pot insera în convorbiri și pot fi ascultate simultan de mai mulți utilizatori de telefoane SIP.

Mediul SIP este vulnerabil de asemenea la atacuri de interceptare. Fluxul de date poate fi interceptat în timp real și pot fi extrase informațiile audio (eavesdropping).

Inundare (flood) rețelelor VoIP cu mesaje SIP (prin simularea diverselor faze ale apelurilor de inițiere, încheiere sau transmiterea de fluxuri de date media RTP) poate diminua calitatea serviciului, poate provoca întreruperea apelurilor sau poate forța echipamentele să nu mai proceseze toate apelurile primite.

Echipamentele VoIP sunt de asemenea vulnerabile la atacuri de tip TCP-SYN sau ping-ul morții, un tip de comenzi ping modificate în scopul de a compromite conversația (Ping of Death) [52].

Sistemele de operare și comunicațiile TCP/IP folosite de echipamentele VoIP sunt vulnerabile la atacuri ce vizează încetarea funcționării lor sau preluarea controlului de la distanță.

Transmiterea și execuția de instrucțiuni modificate de diverși intruși, prin intermediul aplicațiilor softphone, pot afecta calculatoarele și dispozitivele mobile (laptop, PDA) pe care acestea sunt instalate. Prin trimiterea de mesaje nesolicitate (spam) de multe ori sunt transmise aplicații de spionare (spyware) sau de control de la distanță sau mesaje de publicitate nedorite [77].

Algoritmii de criptare, interferența frecvențelor radio (RFI) și limitările de infrastructură influențează și ei calitatea vocii în rețelele fără fir, Wu & Co [81].

2.5. Straturile protocolului VoIP

Rețelele IP care transmit pachetele de voce ca datagrame, sunt tot mai des utilizate ca o alternativă la rețeaua clasică de telefonie. Deoarece conversațiile private sunt efectuate prin rețele publice nesigure, securitatea comunicațiilor VoIP este tot mai importantă. În [16], se prezintă componentele stivei protocolului cu ajutorul căruia se transmite vocea prin Internet. Ele sunt:

1. Protocolul pentru Inițializarea Sesiunii (SIP-Session Initiation Protocol SIP);
2. protocolul pentru descrierea sesiunii (SDP);
3. cheia de criptare (SDS, Mikey și ZRTP);
4. protocolul de securitate pentru transportul în timp real (SRTP) Fig.2.4 [30].

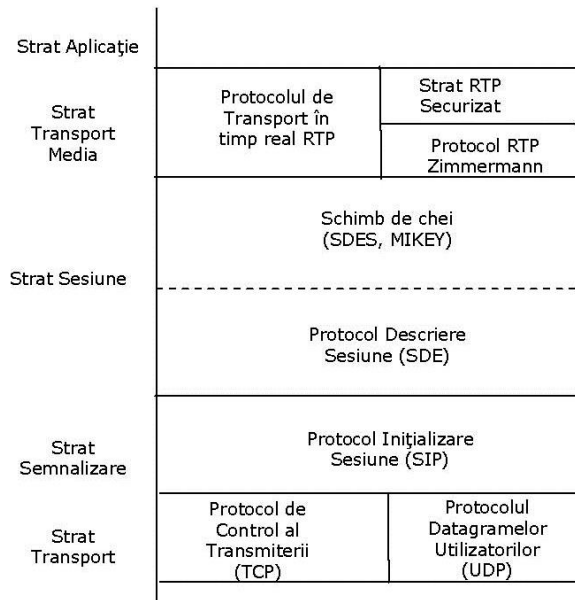


Fig.2.4. Setul de protocoale implicate în transmiterea vocii prin Internet [30]

Majoritatea breșelor de securitate ale stivei protocolului VoIP sunt cauzate de faptul că între protocoalele din diferitele straturi ale stivei nu se transmit informații suficiente referitoare la starea lor [14].

Traficul de media este transportat de către mai puțin sigurul protocol UDP și include 2 protocoale definite de ITU-T în RFC 1889: Protocolul în timp real-RTP (Real Time Protocol) care transportă chiar informația și protocolul de control în timp real-RTCP (Real Time Control Protocol) care transmite mesaje periodice de control și de stare. Informația este transportată de protocolul UDP deoarece nu ar avea sens să fie retransmisă (așa cum ar proceda TCP de exemplu). Dacă un fragment de sunet, pierdut, ar fi retransmis, probabil ar ajunge prea târziu și nu ar mai putea fi folosit la reconstruirea vocii. Mesajele RTP sunt transmise prin porturile UDP impare, iar cele RTCP prin cele pare, imediat alăturate.

RTCP permite schimbul periodic de informație între participanți privind calitatea legăturii și se folosește pentru detecția și eventual corecția erorilor care apar pe parcursul convorbirii.

2.6. Tipuri de atacuri asupra SIP

Refuzul Serviciului (Denial of Service-DoS). Acest tip de atac se focalizează pe transmiterea ca indisponibil a unui anumit serviciu de rețea, de obicei direcționând spre el un volum mare de trafic. Prin aceasta clienții legitimi își pierd încrederea în el. Un refuz al unui serviciu distribuit permite unui singur utilizator să provoace inundaarea gazdelor țintă de către rețelele gazdă multiple, Herculea [55].

Arhitectura SIP permite deosebit de ușor distribuția unui serviciu de tipul DoS. Un atacator poate pune adresa IP a victimei în antetul unui router de mani-

pulare (spoofed Router) care o trimite apoi unor routere intermediare de bifurcare (forking proxies), amplificând astfel numărul de mesaje returnate către victimă.

Reflecția este o altă modalitate de a refuza un serviciu. Un atacator poate trimite cereri modificate (spoofed request) de la un număr mare de elemente SIP și servere intermediare (proxy-uri), punând adresa IP a victimei în câmpul sursă. Fiecare dintre beneficiari va genera un răspuns, copleșind astfel victima [55].

O protecție limitată împotriva solicitărilor SIP falsificate poate fi asigurată de IPsec. Implementarea IPsec end-to-end, într-un mediu tipic VoIP, unde punctele finale sunt dinamice nu este încă bine pusă la punct. Nu reiese clar din specificațiile pentru protocolul SIP modul de inter-operare cu protocolul IPsec [1], [2], [26], [27], [48], [55], [65].

Autentificarea și autorizarea sunt alte vulnerabilități importante în SIP. Cererile BYE, de terminare sesiune, nu sunt autentificate, până nu sunt confirmate. În schimb, o cerere BYE este implicit autentificată în cazul în care este primită de la același element de rețea (pe aceeași cale) ca și cererea de INVITE anterioară. Un atacator poate determina, prin ascultare, (eavesdropping), parametrii unui mesaj INVITE și apoi poate introduce o cerere de BYE în sesiune. Odată ce, cererea BYE este primită de către țintă, sesiunea se va termina. Atacuri asemănătoare pot fi lansate și pentru mesajele de re-INVITE utilizate pentru schimbarea parametrilor sesiunii [30].

O mare varietate de atacuri de negare a serviciului, pot fi posibile în cazul în care cererile de înregistrare nu sunt autentificate și autorizate de către server-ul de înregistrare. Dacă un utilizator rău intenționat este capabil să anuleze o parte sau pe toți ceilalți utilizatori din rețea și să își înregistreze propriul dispozitiv în numele lor, el poate refuza cu ușurință accesul oricărui dintre acei utilizatori/servicii. Atacatorii pot încerca de asemenea, să epuizeze resursele de stocare ale server-ului de înregistrare prin crearea unui număr foarte mare de legături [30], [76], [77].

Autentificarea este destul de dificil de realizat în cazul protocolului SIP, deoarece sunt un număr de elemente intermediare cum ar fi server-ele proxy care pot modifica conținutul unui mesaj înainte ca acesta să ajungă la destinație. Toate aceste elemente intermediare trebuie securizate potrivit Gupta, [30].

Înregistrările SIP nu cer câmpului **From Field** al unui mesaj să fie la fel ca și antetul header-ului câmpului **TO** al cererii, permițând astfel unei a treia părți să schimbe, în numele altui utilizator, adresa atașată înregistrării.

În cazul în care atacatorul poate modifica utilizatorii, în numele unuia autorizat, fără a fi identificat, el poate modifica astfel, în mod arbitrar, adresa înregistrărilor asociate câmpului TO al mesajului SIP. Deoarece autentificarea SIP se bazează pe autentificarea server-ului și a celor intermediare (proxy), atacatorul, dacă nu este depistat la timp, poate produce daune arbitrare, inclusiv refuzul serviciului pentru client sau lansarea unui atac de tipul refuzului de servicii distribuite. Acest lucru necesită existența unor metodologii de autentificare a server-ului și/sau proxy-urilor pentru clienți. Din păcate în documentația RFC (Request for Comment) pentru SIP nu e specificat nici un mecanism în acest sens.

SIP este o platformă foarte accesibilă și prin definiție deschisă pentru toată lumea, fiind un protocol al cărui potențial poate fi ușor exploatat de către operatorii de botnet (colecție software, de cele mai multe ori asociat cu cel al atacatorilor) [8]. În ansamblu, dezvoltarea unei aplicații SIP de tipul botnet este greu de depistat. În cel mai rău caz poate fi detectată de către sistemele de protecție ca un atac prin inundare [8].

Omul în mijlocul atacului (Man in the Middle Attack MitM) este un alt tip de amenințare. Atacatorul sau o persoană nedorită poate trage cu urechea la conversație [14], [15]. Un atac de acest tip asupra protocolului în timp real-RTP, permite

ataca-torului să convingă părțile care comunică că au pierdut cheia secretă comună. Dacă sunt folosite dispozitive VoIP fără ecran de afișare nu se poate executa autentificarea "umană", acestea fiind obligate să comunice nesecurizat sau să nu comunice de loc. Astfel apare un atac de negare al serviciului (DoS) [30].

Repudierea este într-un fel similară cu modificarea atacului deoarece ambele afectează integritatea și responsabilitatea sistemului. Repudierea se produce atunci când cineva declină faptul că s-a întâmplat ceva sau trimite informații falsificate despre ce s-a întâmplat [13], [14].

2.7 Mecanisme de securitate

Rețelele fără fir sunt relativ mai puțin sigure decât cele cablate, datorită accesului mai facil la rețea al persoanelor neautorizate aflate în zonele de acoperire ale punctelor de acces. Există implicit în implementarea rețelelor fără fir diferite bariere care formează așa numita securitate de bază a rețelelor fără fir și care împiedică accesul neintenționat al persoanelor străine de rețea, aflate în aria de acoperire a unui punct de acces. Barierele de securitate (securitatea de bază) care au fost prevăzute în protocoalele rețelelor fără fir (Wireless Fidelity-Wi-Fi) asigură un nivel relativ scăzut al securității acestor rețele, ceea ce le-a frânat întrucâtva dezvoltarea. Securitatea de bază a acestor rețele este asigurată de următoarele funcții implementate:

1. Identificatori ai Setul de Servicii (Service Set Identifiers-SSID);
2. Confidențialitatea echivalentă cu cea din rețelele cablate (Wired Equivalent Privacy-WEP);
3. Verificarea adresei controlului de acces la mediu (Media Acces Control-MAC).

Toate dispozitivele fără fir (wireless) care vor să comunice într-o rețea trebuie să aibă un identificator propriu (SSID), setat la aceeași valoare cu valoarea identificatorului (SSID) punctului de acces, pentru a se realiza conectivitatea. În mod normal un punct de acces își transmite identificatorul (SSID-ul) la fiecare câteva secunde. Acest mod de lucru poate fi stopat, astfel încât o persoană neautorizată să nu poată descoperi automat SSID-ul și punctul de acces. SSID-ul este inclus în pachetele de date transmise continuu de un punct de acces pentru a-și face cunoscută prezența și pentru a asigura managementul rețelei (beacon-ul). Astfel este ușor pentru un hacker dotat cu echipament de monitorizare să-i descopere valoarea SSID-ului și să se lege în rețea [46], [47].

Algoritmul de securitate al standardului IEEE 802.11, confidențialitatea echivalentă cu cea din rețelele cablate-WEP, poate fi folosit pentru a ameliora problema transiterii continue a SSID-ului prin criptarea traficului dintre clienții rețelelor fără fir și punctul de acces. Se realizează prin aceasta o autentificare printr-o cheie partajată (shared-key authentication). Punctul de acces transmite clientului wireless o provocare pe care acesta trebuie s-o returneze criptată. Dacă punctul de acces poate decripta răspunsul clientului, are dovada că acesta posedă cheia validă și are dreptul de a intra în rețea. WEP dispune de două posibilități de criptare-cu cheie de 64 de biți sau de 128 de biți.

Desigur, WEP nu asigură o securitate prea mare. Hacker-ul dotat cu echipament de monitorizare poate recepționa și înregistra întâi provocarea plecată de la punctul de acces apoi răspunsul criptat al clientului și pe baza unor procesări se poate determina cheia pe care apoi o poate folosi pentru a intra în rețea.

Verificarea adresei plăcilor de rețea, MAC, poate spori securitatea rețelei, dacă administratorul de rețea utilizează filtrarea adreselor MAC, adică punctul de acces este configurat cu adresele MAC ale clienților cărora le este permis accesul în rețea.

Din nefericire, nici această metodă nu asigură o securitate prea mare. Un hacker poate să înregistreze secvențe din trafic și în urma unor analize, poate să extragă o adresă MAC pe care ulterior o poate folosi pentru a intra în rețea [49].

Comunitatea internațională Internet Engineering Task Force-IETF a sugerat unele mecanisme, bazate fie pe HTTP Digest sau S/MIME (Secure/Multipurpose Internet Mail Extensions) pentru asigurarea unei securități selective la nivelul protocolului SIP. Ambele mecanisme nu garantează însă un nivel ridicat al acestuia, doar primul prevede un mecanism de autentificare pentru agentul utilizator (User Agent) atât în faza de înregistrare (spre un proxy) cât și în faza de comunicare (față de un alt User Agent) [14], [25].

O altă soluție interesantă propusă de IETF, se bazează pe provocarea/răspunsul protocolului de autentificare RADIUS (Remote Authentication Dial In User Service), care este folosit frecvent de către numeroși furnizori de servicii Internet (ISP). Un server RADIUS este un al treilea element de încredere (Third Trusted Party) pentru toate componentele SIP care se autentifică reciproc înainte și în timpul unei sesiuni SIP datorită unor secrete împărtășite cu server-ul RADIUS. Acesta are rolul de gestiune a lor (ar putea fi considerat ca un centru de management al cheilor, o cale de altfel comună pentru a face față securității în infrastructurile distribuite) [14].

RADIUS este mai ușor de utilizat, folosește mecanisme mai simple pentru schimbul de parole ale utilizatorilor sau pentru parola de autentificare. Utilizează pentru criptarea mesajelor algoritmul de criptare MD5 [10]. Mai sunt și alte alternative, cum ar fi utilizarea mecanismului Kerberos bazat pe Infrastructura de chei publice (Public Key Infrastructure-PKI), pentru furnizarea securității end-to-end clienților SIP. Odată ce clientul este autentificat și cheia Kerberos este generată, clienții SIP pot utiliza cheia furnizată pentru criptarea și autentificarea unuia cu altul [14].

Pentru transmiterea în timp real a datelor, audio sau video, este utilizat de obicei protocolul de transmisie în timp real RTP, considerat a fi nesigur. O soluție mai bună, este utilizarea variantei securizate, SRTP (Secure-RTP), pentru a face ca protocolul de transport în timp real (RTP) și protocolul de control al transportului în timp real (RTCP) să fie mai sigure prin criptarea și autentificarea fluxurilor și furnizarea de mesaje de autentificare securizate. SRTP este foarte flexibil și nu depinde de modul de gestionare al cheilor. Standardul avansat pentru criptare-AES (Advance Encrption Standard) este algoritmul utilizat implicit pentru criptare având cheia de criptare pe 128 de biți [13], [67].

2.7.1 Asigurarea securității SIP în sistemele multimedia implementate sub diverse sisteme de operare

Analiza influenței măsurilor de securitate asupra diverselor sisteme de operare Windows (Server 2003, Windows XP și Windows Vista), Linux și Unix, care rulează în rețelele fără fir este studiată în Kolahi & Co, [49]. S-au folosit diverse tehnici de criptare (WEP-64, WEP și WPA-128), pentru ambele protocele TCP și UDP. Capacitatea de transfer și timpul de răspuns sunt doi parametri influențați de mecanismele de securitate implementate [61], [62].

Fig.2.5 prezintă arhitectura unei rețele fără fir folosite pentru teste de invadare în două situații: când receptorul este în furcă, poziția on hook și după ce s-a terminat o convorbire. Este o schemă obișnuită pentru diverse simulări în rețele fără fir.

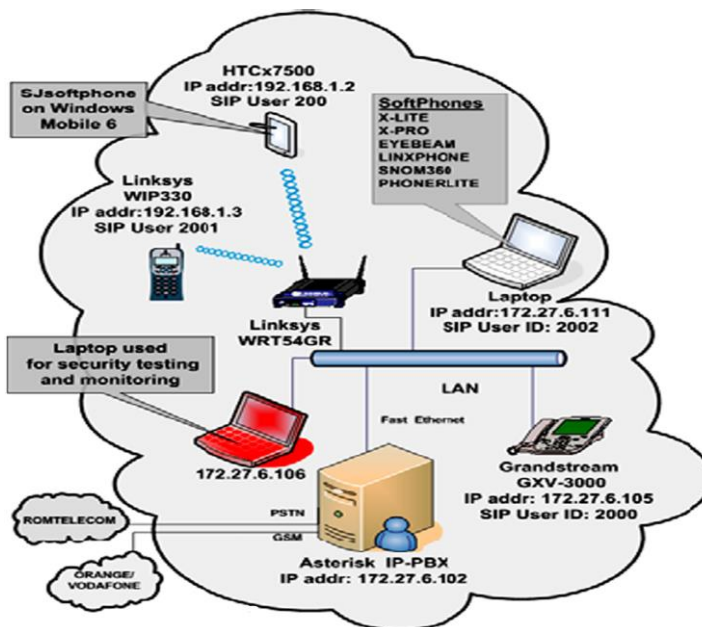


Fig.2.5. Arhitectură testare rețea fără fir [54]

Cu ajutorul programului de test, Wireshark, pachetele RTP au fost interceptate și apoi procesate pentru a se extrage datele audio transmise între cele două puncte finale. Această metodă este utilă doar în cazul în care atacatorul are acces la rețea. Parametrii SRTP (chei de criptare, chei de autentificare) sunt trimiși prin mesaje INVITE cu mesaje de semnalizare SDP (Protocol Descriere Sesiune). Pentru Asterisk se poate instala un modul care conține protocolul SRTP și care va fi plasat în calea fluxului de comunicare mass-media, între clienții SIP, ca nod intermediar [55].

Etapa de evaluare a securității a relevat faptul că cele mai periculoase atacuri sunt la nivelul aplicațiilor. Inundarea cu mesaje de tip INVITE s-a dovedit devastatoare pentru clienții SIP, precum și pentru Asterisk, ducând la refuzul serviciului, DoS. Testarea rețelei bazate pe SIP are și alte avantaje, deoarece furnizează informații despre terminalele care sunt cele mai fiabile în timpul atacurilor. Utilizarea SRTP pentru traficul mass-media a îmbunătățit problema confidențialității, dar nu a rezolvat-o în totalitate. Un canal securizat de comunicare pentru semnalizare (cum ar fi TLS) este necesară. Programul Snort, un program ce oferă posibilitatea depistării intrușilor la nivel de rețea, oferă o îmbunătățire a securității pentru alertarea sau blocarea unor tipuri de atacuri, în timp ce un număr de probleme rămân în continuare nesoluționate (probleme cum ar fi alarmele false). Testele au arătat că mesajele SIP ilegale sunt greu de detectat datorită asemănării lor cu cele legitime. Soluțiile propuse reușesc să ridice nivelul de securitate pentru arhitecturile SIP, dar nici una dintre tehnologii, instrumente sau metode utilizate nu oferă o soluție completă.

Performanțele capacității de transfer a datelor și întârzierea datorată traseului parcurs de semnal de la sursă la destinație și înapoi (round trip time-RTT) depind de tehnica de criptare folosită, în special pentru cheia secretă similară cu cea din rețelele fixe (Wired Equivalent Privacy-WEP). După cum se știe WEP adaugă valoarea inițială

a cheii simetrice de criptare la datele pe care urmează să le trimită și utilizează restul de biți ai cheii pentru a iniția un algoritm care să genereze un flux de chei pentru fluxul de date ce urmează a fi codificat și trimis. Ca rezultat, WEP introduce o oarecare întârziere pentru trimiterea/primirea datelor și pentru criptarea/decriptarea lor [81], [82], [83].

Testele au scos în evidență faptul că Windows Vista, nu are performanțe mai bune în ceea ce privește lățimea de bandă și timpul de răspuns dus-întors (Round Trip Time-RTT), față de predecesorii săi. Utilizarea algoritmului de criptare WEP-128 a avut cel mai mare impact pentru Windows Server 2003, în timp ce pentru Windows XP sau Vista a fost nesemnificativ. Windows 2003 a înregistrat cea mai mare lățime de bandă, pentru atât TCP și UDP, în toate sistemele de criptare studiate.

Pentru a face schimbări minime la infrastructura rețelelor fără fir existente, unele firme folosesc arhitectura rețelei cu translația inversă a adresei (RAT-Reverse Address Translation), utilizând adresa de translație rețea (Network Address Translation-NAT) [81]. În astfel de arhitecturi, un nod mobil se înregistrează la server-ul de înregistrare din rețeaua de domiciliu, după care se mută în rețeaua străină. Server-ul de înregistrare la rândul său, notifică dispozitivul RAT din rețeaua de domiciliu, care este responsabil pentru redirecționarea pachetelor între nodul corespondent și nodul mobil. Deoarece RAT este propusă ca o soluție de tranziție pentru migrarea către protocolul IP mobil, protocolul mesajelor RAT respectă protocolul IP mobil. Spre deosebire de metoda clasică de abordare unde nodul mobil trebuie să trimită în mod explicit un mesaj de înregistrare la server-ul din rețeaua de domiciliu, după schimbarea adresei IP, în [82], Wu&Co propune o arhitectură prin care mobilitatea nodului este detectată automat. Detecția se face de către server-ul proxy, prin interceptarea mesajelor de atribuire adresă nodului mobil, de către protocolul de atribuire dinamică a adresei (Dynamic Host Configuration Protocol-DHCP). Acest prototip de arhitectură a fost propus în [81] pentru sprijinirea mobilității IP în campusurile universitare, centrele comerciale, etc. Într-o astfel de arhitectură de rețea timpul de întârziere este de aproximativ 1s. Acest lucru permite asigurarea unor servicii de calitate (Quality of Service QoS) unor aplicații sensibile la întârzieri cum ar fi VoIP și aplicații multimedia.

Subsistemele IP multimedia (IMS) sunt considerate a fi principala soluție pentru următoarea generație de comunicații multimedia. În [77] este prezentat un studiu al acestor subsisteme bazate de cozi de așteptare Petri. Este un studiu pentru introducerea partiției de securitate cu examinări multiple (multi-view security partition) prin care se pot asigura servicii de securitate multistrat diverșilor utilizatori și diverselor aplicații, asigurându-se cel mai bun compromis între cerințele de securitate și performanțele sistemelor [77].

În [17] este descrisă o implementare practică a securității VoIP utilizând Java și sistemul de operare pentru dispozitive mobile Android. Au fost efectuate teste utilizând atât protocolul SIP cât și H.323. Protocolul de semnalizare H.323 a fost creat pentru rețele LAN (Local Area Network) și nu suportă un număr mare de adrese. Protocolul de semnalizare SIP, conceput pentru rețele de WAN (Wide Area Network), are capacitatea unui număr mai mare de adrese. Din acest punct de vedere SIP este considerat mult mai scalabil decât H.323.

2.8 Soluții de îmbunătățire a calității transmisiei vocii prin rețelele fără fir propuse în cadrul tezei de doctorat

Soluțiile de îmbunătățire a calității transmisiei în rețelele fără fir, propuse în această teză, se referă la cazul particular al aplicațiilor de **transmitere a vocii prin Internet (VoIP)**. Am pornit de la faptul că până acum, în literatura de specialitate, s-a acordat o atenție mult mai mare studiilor legate de asigurarea calității semnalului vocal și în mai mică măsură reducerii timpului de inițializare a sesiunii unui apel vocal VoIP transmis în rețelele fără fir. În lucrarea [38] eu am analizat factori precum întârzierile, pierderea pachetelor și încărcarea server-elor SIP, în vederea optimizării întârzierilor sesiunii de inițializare în rețelele fără fir. În prezent, sunt utilizate pentru semnalizarea sesiunii de inițializare a unui apel vocal mai multe protocoale cum ar fi H.323, SIP, IAX. Spre deosebire de protocolul H.323, protocolul SIP este definit numai pentru rețele care utilizează protocolul Internet (IP). **În teza de doctorat am propus o soluție nouă de optimizare a întârzierilor sesiunii de inițializare a unui apel vocal prin Internet. Soluția constă în realizarea și implementarea unui contor adaptiv pentru retransmiterea datelor. Are rolul de ajustare, funcție de timp, a tranzacțiilor SIP efectuate pentru inițierea unei convorbiri. Soluția este prezentată în capitolul 3, paragrafele 3.3 și 3.4.** Tot în scopul reducerii întârzierilor din sesiunea de inițializare a unui apel vocal am studiat și modalitatea optimă de transport a datelor. **În capitolul 3, paragrafele 3.3.2-3.3.5, am făcut un studiu comparativ al întârzierilor din sesiunea de inițializare utilizând mai multe variante de transport a protocolului pentru inițializarea sesiunii SIP: prin intermediul protocolului de control a transmisiei-TCP (Transmission Control Protocol), a protocolului utilizatorilor de datagrame-UDP (User Datagram Protocol) și a protocolului legăturii prin unde radio-RLP (Radio Link Protocol).** Pentru protocolul legăturii prin unde radio am luat în considerare două scheme RLP (1,1,1,1,1,1) și RLP (1,2,3), pentru a determina care oferă cei mai buni timpi de transmisie. Factorii de care am ținut cont sunt rata de eroare a cadrelor (FER), aferentă legăturii aeriene și cozile de așteptare a pachetelor, datorită încărcării diferite a server-elor SIP implicate în transferul acestora. Am calculat timpii de răspuns și procentul cadrelor eronate care nu trebuie să depășească 3%. Varianta cea mai bună pentru transport este cea prin intermediul protocolului RLP, bazat pe schema RLP(1,2,3) Contorul de timp are rolul de a ajusta mărimea pachetelor de semnalizare implicate în stabilirea sesiunii de inițializare apel vocal, astfel încât să se reducă dimensiunea cozilor de așteptare. Tot în scopul reducerii timpului aferent inițializării sesiunii, se pot utiliza suplimentar algoritmi de comprimare a mesajelor SIP. Din păcate mesajul de INVITE al protocolului SIP, prin care se inițiază o sesiune nu poate fi comprimat mai mult de 9%.

O abordare din alt punct de vedere a îmbunătățirii calității transmisiei vocii prin rețelele fără fir, bazate pe standardul IEEE 802.11, este reducerea timpului de transmitere a datelor prin controlul numărului de apeluri admise în lista de interogare a punctelor de acces (AP). Substratul de control al accesului la mediu (Media Access Control-MAC), al standardului IEEE 802.11, are definite două funcții de control, una de coordonare distribuită și alta de coordonare prin punct. Am analizat capacitatea funcției de coordonare prin punct (PCF) de a suporta traficul de voce, datorită faptului că transmisia în acest caz se realizează prin comutarea de pachete. Acest fapt ar permite multiplexarea între ele a fragmentelor vocale, provenite de la convorbiri diferite, datorită perioadelor de pauză dintr-o convorbire. **Spre deosebire de alte publicații, în care s-au prezentat doar rezultatele simulărilor efectuate pentru**

optimizarea modului de interogare a stațiilor din lista atașată punctului de acces, în teză am făcut o analiză a interogărilor și am indicat modul în care trebuie setați parametrii pentru a suporta apeluri vocale. Descrierea analizei și simulările au dus la concluzia că cel mai simplu mod de transfer al datelor, în modul de funcționare cu coordonare prin puncte de acces, este cel cu rata de transfer constantă (Contant Bit Rate-CBR). În capitolul 3, paragrafele 3.5-3.7 am descris analitic și am experimentat un nou algoritm, care să monitorizeze numărul maxim de apeluri admise în listă, pentru a evita coliziunile și a asigura o întârziere garantată a rețelei care să fie luată în considerare la receptor.

La subnivelul controlului de acces la mediu (MAC-Medium Access Control) al standardului IEEE 802.11 sunt necesare retransmiteri ale pachetelor, pentru a putea acoperi erorile de transmisie ale celor două funcții ale standardului IEEE 802.11 de coordonare prin punct (PFC) și coordonare distribuită (DCF). În mod normal retransmiterile trebuie evitate pentru traficul în timp real datorită întârzierilor pe care le implică. **Datorită acestor retransmiteri am făcut un studiu, capitolul 3, paragraful 3.7, care indică necesitatea corecției erorilor pentru traficul de voce. Am luat în calcul trei cazuri posibile legate de starea canalului la transmiterea unui pachet de voce și de tranzițiile din timpul transmisiei. Experimentele au arătat că erorile sunt mari de 10^{-3} , deci ce impune necesitatea corecției lor.**

Lucrarea [37] conține un studiu experimental al întârzierilor în rețelele fără fir, pentru situația utilizării controlului pentru accesul la mediu cu distribuție multiplă (multicasting) în rețelele fără fir. **Trimiterea unui apel vocal spre mai mulți utilizatori în rețelele fără fir a fost mai puțin studiată. Studiul, prezentat în teză, în capitolul 4, paragrafele 4.5-4.9, arată că pentru astfel de situații rata maximă de transfer care poate fi atinsă este de 1.78 Mbps, pentru rețele cu trafic de 2 Mbps. Experimentele arată că, deși traficul VoIP tolerează unele pierderi, distribuția multiplă poate, în general, să fie utilizată în rețelele fără fir bazate pe standardul IEEE 802.11 numai dacă vor fi implementate mecanisme suplimentare în straturile superioare ale rețelei pentru a atenua pierderile de cadre de la nivelul MAC.**

Standardul IEEE 802.11 oferă suport limitat de confidențialitate, prin utilizarea protocolului Wired Equivalent Privacy (WEP), care nu a fost conceput să fie singurul mecanism de securitate din rețelele fără fir ci în asociere cu altele să asigure protecția rețelelor fără fir [40], [41]. Multe din organizațiile care utilizează rețelele fără fir folosesc fie un sistem criptografic cu o variabilă permanentă fixă sau o cheie de criptare sau nici un fel de criptare (util pentru destinații multiple când se face numai autentificarea).

Securitatea transmisiei datelor, deci implicit și a vocii, în rețelele fără fir, este un alt parametru care trebuie asigurat pentru a îmbunătăți calitatea unei convorbiri ce folosește ca infrastructură Internet-ul [40], [41], [42], [44]. **În teza de doctorat am pornit de la analizele efectuate în lucrările [40], [41], [44] și am propus o nouă soluție de securitate bazată pe conceptul de client-server.** Am făcut o comparație între protocoalele cel mai des utilizate în transmisiile VoIP: H.323, SIP și IAX. **Am optat pentru IAX deoarece este un protocol de tip open source dedicat semnalizării, ușor de utilizat și modificat. Prezintă avantajul că folosește lățime de bandă minimă atât pentru transferul datelor cât și pentru semnalizare și are suport nativ pentru translatarea adreselor de rețea. În capitolul 4, paragraful 4.4 este prezentată propunerea mea pentru un client VoIP securizat, care utilizează protocolul de semnalizare IAX.** Pentru testare am folosit

un laptop. Utilizarea toolkit-ului Cryptlib a permis experimentarea diferitelor metode de criptare. Kiax este un telefon soft ce dispune de o interfață grafică, prin intermediul căreia am putut modifica setările. Am putut astfel modifica nucleul de securitate al protocolului IAX prin adăugarea unei etape suplimentare de codificare, criptare și încapsulare a datelor înainte de a fi trimise, urmând ca la receptor ele să fie decodate. Prototipul care a fost creat pentru client poate fi utilizat cu succes în orice aplicație VoIP.

Un mecanism des folosit pentru a furniza securitate este și utilizarea listelor de control al accesului pe baza adresei Ethernet a plăcii de rețea a clientului (MAC) [41]. Fiecare punct de acces poate limita clienții rețelei la cei enumerați în listă. Dacă un client are adresa plăcii de rețea (MAC) pe listă, acesta are acces la rețea. Dacă adresa nu se regăsește în listă, accesul la rețea este împiedicat.

O altă soluție pentru asigurarea securității rețelelor fără fir este configurarea lor sub forma unor rețele virtuale private-VPN, blocând astfel interceptarea [44].

2.9. Concluzii rezultate din teză

În acest capitol am trecut în revistă principalele probleme legate de asigurarea calității transmiterii de semnal vocal prin rețelele fără fir bazate pe standardul IEEE 802.11. M-am oprit asupra unora din factorii care afectează calitatea transmisiilor și am argumentat necesitatea dezvoltării unor soluții care să îmbunătățească calitatea transmisiilor vocale prin rețelele fără fir. Ca domeniu de aplicabilitate al acestor soluții este asigurarea securității în rețelele fără fir, respectiv în punctele de acces, reducerea întârzierilor la sesiunea de inițializare a apelurilor, la transmisia și recepția pachetelor de date și corecția erorilor pachetelor.

Având în vedere aceste lucruri am realizat următoarele contribuții teoretice și practice pe care nu le-am găsit în alte lucrări.

1. Am identificat întârzierile semnificative care afectează calitatea sesiunii de inițializare a protocolului SIP în rețelele fără fir. Am analizat rata de eroare a cadrelor FER (frame error rate) funcție de protocolele de transport utilizate: TCP, UDP și RLP. Întârzierile produse de fiecare dintre ele depind de mărimea pachetelor de semnalizare implicate în stabilirea sesiunii și de numărul de server-e pe care acestea le traversează până la destinație. Pentru reducerea timpului de inițializare a convorbirii am **propus un contor adaptiv pentru retransmitere**. Funcție de numărul de cadre trimise și confirmate ca recepționate, inițial, contorul reduce timpul dintre cadre prin reducerea numărului și a mărimii acestora. De asemenea întârzierile din cozile de așteptare și cele datorate Internet-ului influențează sesiunea de inițiere a unei apel VoIP [38]. În lucrarea [37] am făcut un studiu experimental al întârzierilor în rețelele fără fir, pentru situația unei distribuții multiple (multicasting). Pentru acest caz rata maximă de transfer care poate fi atinsă este de 1.78 Mbps, pentru rețele cu trafic de 2 Mbps. Suplimentar trebuie implementate mecanisme de reducere a pierderilor cadrelor la nivelul MAC.
2. Tot în vederea îmbunătățirii transmisiilor vocale prin rețelele fără fir, bazate pe standardul IEEE 802.11, **am studiat și am propus o soluție bazată pe reducerea timpului de transmitere a datelor prin controlul numărului de apeluri admise în lista de interogare a punctelor de acces (AP)**. În lucrarea [39] am făcut o analiză a capacității funcției de coordonare prin punct (PCF) de a suporta traficul de voce, și am indicat modul în care trebuie setați parametrii pentru a suporta apeluri vocale. Concluzia ce se desprinde este că, pentru o rată constantă de transmitere a biților (Constant Bit Rate-CBR),

cu toate că se limitează numărul de apeluri care pot fi admise, în realitate, prin limitarea jitter-ului și prin aceasta a întârzierii maxime admise, modul CBR permite un număr rezonabil de apeluri care urmează să fie efectuate. În mod normal retransmiterile sunt evitate pentru traficul în timp real datorită întârzierilor pe care le implică. Numărul maxim de apeluri care pot fi admise este determinat de lungimea super-cadrului. Variind lungimea supercadrului, aceasta determină variații ale întârzierilor apelurilor, fapt ce trebuie evitat. Pentru aceasta am calculat numărul maxim de apeluri și am determinat o întârziere implicită care se ia în calcul la receptor. Analiza erorilor pentru voce arată că e necesară și o formă de corecție a erorilor. Există trei opțiuni pentru aceasta: redirecționarea corecției erorilor (forward error correction-FEC), retransmiterea și livrarea pachetelor de eroare procesorului de semnal.

Prin redirecționarea corecției erorilor-FEC, la emisie se codează informația cu coduri corectoare de erori, ECC (Error Correcting Codes) și se transmite forma codată (cu biții redundanți rezultați) pentru a permite receptorului să regăsească informația inițială. Informația se codează anterior transmisiei. Corecția se face datorită ECC. La schemele ARQ (Automatic Repeat Request) codarea se face cu coduri detectoare de erori și corecția se face prin retransmitere. Se mai numesc "backward error correction".

- 3. Am propus o nouă soluție de securitate bazată pe conceptul de client-server**, care este publicată în lucrarea [40]. Studiul este motivat de faptul că nivelul MAC (Medium Access Control) al standardului IEEE 802.11 suportă retransmiteri ale pachetelor, impuse de erorile de transmisie ale celor două moduri, PFC și DCF, în care operează acest standard. În urma unui studiu comparativ al performanțelor protocoalelor de semnalizare SIP, H.323 și IAX, am optat pentru IAX, un protocol de tip open source, ușor de utilizat și modificat. Prezintă avantajul că folosește lățime de bandă minimă atât pentru transferul datelor cât și pentru semnalizare și are suport nativ pentru translatarea adreselor de rețea. În capitolul 4, paragraful 4.4 este prezentată propunerea mea pentru un modul de program **software**, bazat pe protocolul de semnalizare IAX și care răspunde următoarelor cerințe :

- permite alegerea a 5 metode diferite de criptare;
- traversarea cu succes a NAT (Network Address Translation);
- permite simularea de chei de schimb prin utilizarea cheilor de sesiune pre-partajate (pre-shared);
- securitate foarte bună;
- nici o modificare la cerințele de lățime de bandă;
- cerințe reduse pentru procesorul calculatorului utilizat [40].

3. MODALITĂȚI DE REDUCERE A ÎNTÂRZIERILOR LA INIȚIALIZAREA UNEI SESIUNI BAZATE PE PROTOCOLUL SIP ÎN REȚELELE FĂRĂ FIR

Față de rețelele fixe, rețelele fără fir prezintă avantajul că nu au nevoie de cablu pentru transmisia de date. Rata de transfer a datelor în cadrul unor astfel de rețele locale (LAN-uri) este de ordinul a 11 Mbps, ceea ce este considerabil mai mare decât cea a serviciilor de date oferite de telefonia mobilă.

La inițializarea unei sesiuni VoIP, datorită infrastructurii (transmiterea datelor prin Internet având ca suport rețele fără fir) apar întârzieri. În acest capitol aduc ca noutate două modalități de reducere a întârzierilor la inițializarea unei sesiuni bazate pe protocolul SIP în rețelele fără fir.

Înainte ca un utilizator să poată iniția un apel VoIP, trebuie să stabilească sesiunea folosind unul din protocoalele de semnalizare, H.323 sau SIP și să negocieze parametrii mass-media. Intervalul de timp necesar pentru a inițializa sesiunea se numește timp pentru inițializarea sesiunii. Acesta este afectat de calitatea link-ului wireless, măsurat prin rata de eroare a cadrelor (FER). Acest lucru duce la re-transmisii de pachete pierdute și prelungeste timpul de inițializare. Prin urmare, protocoalele trebuie să optimizeze timpul de inițializare a sesiunii împotriva pierderilor. În această teză, m-am concentrat asupra întârzierii sesiunii de configurare a SIP și am propus optimizarea acesteia prin implementarea unui contor adaptiv pentru retransmitere. Pentru a reduce rata de eroare a cadrelor am evaluat, de asemenea performanțele sesiunii de inițializare SIP funcție de diverse protocoale utilizate cum ar fi protocolul de control al transmisiei (TCP), protocolul utilizatorilor de datagrame (UDP) și protocolul legăturii radio (RLP).

Protocolul accesului la mediu (MAC) al standardului IEEE 802.11 suportă două moduri de funcționare, un mod cu acces aleator pentru aplicații care nu sunt în timp real și un mod de funcționare cu liste de interogare și invitare la emisie pentru aplicații în timp real. În acest capitol am studiat și implementat un sistem care utilizează liste de interogare și invitare la emisie pentru traficul de voce interactiv. Cu perioade între listele de interogare și invitare la emisie mai mari, mai multe apeluri de voce pot fi acceptate, dar acest lucru duce la creșterea timpului de inițializare, deci implicit la întârzieri mai mari. Rezultatele de aici vor putea fi aplicate la orice schemă de interogare și invitare la emisie. Am plecat pentru acest studiu de la faptul că modul de coordonare prin punct (PCF) se bazează pe comutarea de pachete orientată pe conexiune, "packet-switched connection-oriented", care este bine adaptată traficului telefonic și am stabilit condițiile în care poate suporta trafic de voce. Traficul telefonic s-a dovedit a avea perioade alternative de semnal și pauză [66], [82]. Soluția de tip comutație de pachete profită de pauzele dintr-un apel vocal și permite multiplexarea pachetelor de date provenite și de la alte apeluri. Se utilizează astfel, în mod mult mai eficient, lățimea de bandă decât în cazul circuitelor comutate.

Capitolul este structurat în opt paragrafe. În primul paragraf 3.1, sunt prezentate succint principalele probleme ale VoIP, protocoalele existente și măsurile de securitate care ar trebui luate pentru o comunicație sigură. Paragraful 3.2 descrie

întârzierile din sesiunea de inițializare SIP. Sunt prezentate protocoalele de transport TCP, UDP și RLP.

Analiza semnalizărilor SIP din legăturile fără fir este prezentată în paragraful 3.3. Rezultatele numerice și relevanța contorului adaptiv pentru retransmisie constituie subiectul paragrafului 3.4. O altă modalitate de reducere a timpului de inițializare a unei sesiuni SIP este controlul numărului de apeluri acceptate în listele de interogare și invitare la emisie aferente punctelor de acces. Fundametarea teoretică și soluția propusă pentru sunt prezentate în paragraful 3.5. În paragraful 3.6 sunt descrise rezultatele numerice, iar în paragraful 3.7 este făcută o analiză a erorilor. Concluziile capitolului sunt incluse în paragraful final 3.8.

3.1. Protocolul pentru inițializarea sesiunii (SIP) în subsistemele IP multimedia (IP Multimedia Sub-Systems-IMS)

Arhitectura de bază a protocolului SIP se bazează pe modelul client-server. Funcțiile principale ale protocolului SIP în rețelele IP multimedia (IP Multimedia Sub-systems-IMS) sunt asigurate de servere SIP cu funcții variate, unele de control a sesiunii de apel (Call Session Control Function-CSCF), iar altele pe post de porți (gateway-uri). Prin funcția de control a sesiunii de apel (CSCF) se supervizează sesiunea multimedia, funcția de traducere a adresei, de negociere a codului de voce pentru comunicațiile audio și de gestionare a profilului abonatului. CSCF are trei roluri: cea de server proxy CSCF (P-CSCF), care este primul punct de contact mobil în rețelele IP multimedia (IMS), cea de server de control al accesului (S-CSCF), responsabil de gestionarea sesiunii și cea de interogare CSCF (I-CSCF), care este responsabilă pentru găsirea celui mai apropiat server S-CSCF, funcție de încărcarea sau capacitatea acestuia.

Un agent utilizator sau un punct final (endpoint) SIP este de obicei identificat folosind un cont de e-mail cum ar fi adresa de utilizator@domeniu.

SIP lucrează împreună cu protocolul de descriere al sesiunii (SDP), care are sarcina de a descrie sesiunea care va fi deschisă. Mesajele SIP pot fi transportate de protocolul UDP sau TCP.

Atunci când transportul mesajelor este efectuat de către protocolul TCP, nivelul de transport oferă siguranță. Atunci când mesajele SIP sunt transportate de către UDP, asigurarea securității este realizată de către SIP. UDP este protocolul de transport larg utilizat de către SIP.

SIP este un protocol tranzacțional, în sensul că o tranzacție SIP este alcătuită dintr-o singură solicitare și orice răspuns la această solicitare. Stabilirea unei sesiuni, folosind SIP constă din diferite tranzacții. Fig.3.1 ilustrează inițializarea sesiunii între doi agenți utilizator.

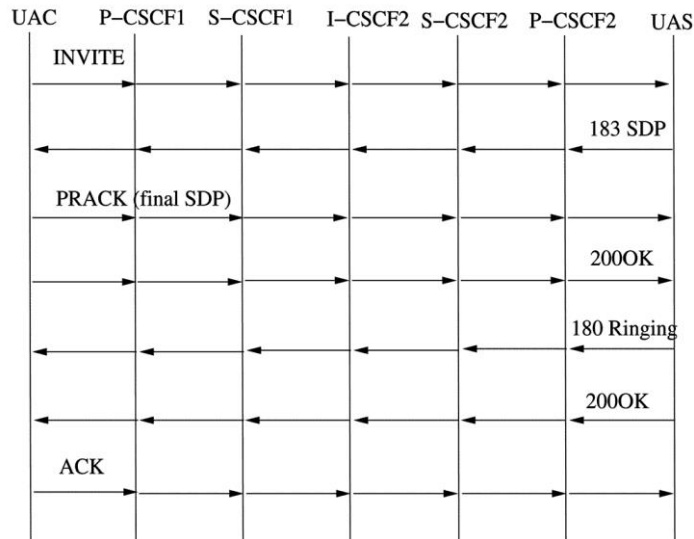


Fig.3.1. Inițializarea sesiunii SIP [34]

Pentru a asigura un transfer sigur al cererilor și răspunsurilor SIP, implicate în diverse tranzacții, sunt necesare mecanisme de retransmisie atât la clientul agentului utilizator (User Agent Client-UAC) cât și la server-ul agentului utilizator (User Agent Server-UAS). Scopul protocolului SIP este de a inițializa legătura între cei doi agenți. Agentul utilizator conține atât o aplicație client care trimite cereri SIP cât și o aplicație server care acceptă cererile. Clientul inițiază tranzacția trimițând o cerere de INVITE și primește ca răspuns mesajul 183 SDP (Session Progress with Session Description Protocol), adică cererea a ajuns la agentul utilizator al server-ului și este în curs de procesare. Astfel agentul utilizator al clientului (User Agent Client) este conștient de transmiterea cu succes a cererii de INVITE de îndată ce a primit răspunsul 183 SDP. Agentul utilizator al clientului trimite un mesaj de confirmare provizorie (Provisional Respons Acknowledgement-PRACK) care îmbunătățește fiabilitatea rețelei prin adăugarea unui sistem de confirmare a răspunsurilor provizorii de tipul 183 SDP. UAC trimite un răspuns 200 OK pentru rezervarea resurselor de-a lungul căii și primește un sunet de apel, împreună cu răspunsul 180. Atunci când partea chemată decide să accepte apelul (de exemplu, ridică receptorul) este trimis un răspuns final 200 OK. Ultimul pas este de a confirma sesiunea, cu o cerere confirmare ACK. Apoi, sesiunea este stabilită.

Dacă pentru transmiterea mesajului SIP este folosit protocolul UDP, agentul utilizator al clientului retransmite cererea de INVITE, după un interval care durează $Tr.(1)$ secunde și care se dublează după fiecare retransmitere. Contorul de timp $Tr.(1)$ estimează timpul necesar pachetului de date să străbată distanța de la sursă la destinație și înapoi și are o valoare implicită de 500 ms, dar este recomandat să fie mai mare în cazul unei latențe mari de acces a link-ului [34]. Retransmisiile încetează la recepționarea unui răspuns de progres al sesiunii 183 SDP de către agentul clientului utilizator (UAC) sau după șapte transmisii de cerere de INVITE. Pentru protocoale de transport sigure, cum ar fi TCP, nu există nici un mecanism de retransmisie la nivelul aplicației. Aceasta cade în sarcina nivelului transport. Fiecare utilizator final

54 Modalități de reducere a întârzierilor la inițializarea unei sesiuni bazate pe protocolul SIP în rețele fără fir-3

trebuie să confirme datele pe care le primește de la celălalt capăt. Pot să apară însă pierderi de date la nivel de segment de date sau de semnal de confirmare recepție date. TCP tratează aceste pierderi prin inițializarea unui contor de timp care se declanșează când se trimit date. În cazul în care timpul expiră și nu se primește semnalul de confirmare recepție date, retransmiterea datelor se reia [34]. Valoarea implicită pentru retransmisie este, de obicei între 1-1,5 secunde [35]. Indiferent de tipul de protocol de transport utilizat, retransmiterea cererilor încetează în cazul în care se depășește o valoare de $2^6 \times Tr.(1)$ secunde [35]. Pentru server, partea de tranzacție constă în trimiterea de către agentul utilizator al server-ului UAS (User Agent Server) a semnalului 200 OK și recepționarea unui răspuns de confirmare ACK (Acknowledgement) .

3.2 Întârzierea sesiunii de inițializare

În studiile legate de calitatea transmiterii vocii prin Internet s-a dat o mai mică atenție întârzierilor care apar în sesiunea de inițializare în rețelele fără fir. În această teză am investigat întârzierea sesiunii de inițializare, definită ca perioada de timp în care agentul utilizator al clientului inițiază sesiunea printr-un semnal de INVITE și momentul în care semnalul de confirmare recepție ACK, de la agentul utilizator al server-ului, ajunge la client. Întârzierea sesiunii de inițializare depinde de un anumit număr de factori. Cei mai importanți sunt următorii: întârzierea la transmiterea prin rețea, fapt ce poate produce pierderi și cozile de așteptare. Această întârziere poate fi cauzată de protocoalele de transport utilizate și de erorile din strategiile de recuperare a datelor.

3.2.1. Protocoale de transport

Protocoalele de transport utilizate cel mai des pentru inițializarea sesiunii sunt TCP și UDP. Dacă pentru transportul mesajelor SIP este folosit protocolul UDP, este necesar doar un schimb de mesaje, ilustrate în Fig.3.1, pentru a inițializa o sesiune VoIP. Retransmisiile sunt asigurate prin utilizarea unui contor de regresie exponențial (de timp). Prin urmare, totalul timpului de întârziere pentru sesiunea de inițializare pentru acest caz este timpul necesar tuturor mesajelor implicate în diverse tranzacții să fie recepționate cu succes atât de către UAC cât și de UAS. Dacă mesajele SIP sunt transportate de protocolul TCP, conexiunea TCP ar trebui mai întâi să fie stabilită prin schimbul de semnale de sincronizare SYN/SYN-ACK/ACK. Apoi, mesajele SIP sunt schimbate, după cum este ilustrat în Fig.3.2.

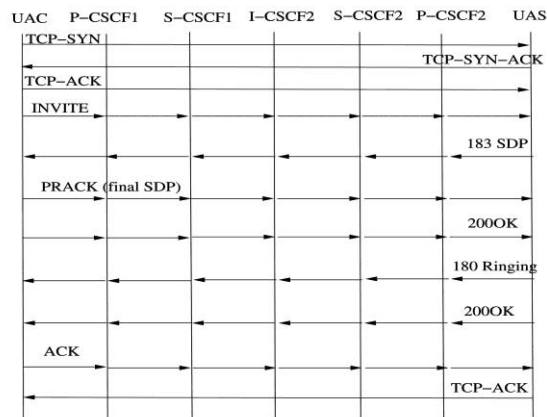


Fig.3.2 Inițializarea sesiunii SIP prin utilizarea protocolului TCP [34]

Valoarea totală a întârzierii pentru sesiunea de inițializare pentru mesajele SIP transportate de TCP se obține prin suma dintre timpul de inițializare al unei sesiuni TCP și cel de transmitere cu succes a tuturor mesajelor necesare pentru stabilirea cu succes a unei sesiuni VoIP.

3.2.3. Protocol pentru Legături Radio (RLP-Radio Link Protocol)

Transportarea mesajelor SIP de către protocolul pentru legături prin unde radio RLP, poate reduce efectul ratei de eroare per cadru (FER-Frame Error Rate) din sesiunea de inițializare și poate crește astfel fiabilitatea nivelului legăturii în rețelele fără fir [66].

RLP este un protocol care folosește tehnica ARQ la interfața cu legătura radio (wireless air interface). Majoritatea acestor interfețe sunt reglate astfel încât să ofere pierderi de pachete de 1% și respectiv vocoderul sunt astfel proiectate încât calitatea vocii să fie bună la aceste pierderi. Dar pierderi de 1% sunt intolerabile pentru TCP și trebuie luate măsuri de corectare. RLP detectează pierderile și face retransmisii, astfel încât pierderile scad sub 0,1% sau chiar sub 0,001%, convenabile pentru aplicațiile TCP/IP. De asemenea RLP fragmentează și reassemblează fluxul și uneori face o livrare ordonată. Noile forme de RLP fac cadrul (adaugă cadrelor delimitatori de început și sfârșit) și compresia (acțiuni care mai de mult erau realizate de protocolul PPP-Point to Point Protocol). La transportul RLP, interfeței radio nu i se poate pretinde o anumită dimensiune a încărcăturii utile (payload), dar planificatorul (scheduler) determină dimensiunea pachetului în funcție de starea canalului și emite un „upcall” RLP cu dimensiunea necesară a payload-ului, chiar înaintea transmisiei. Multe alte protocoale care fac fragmentarea (802.11b sau IP) folosesc dimensiunea payload-ului stabilită în nivelurile superioare și apelează nivelul MAC care să creeze payload-ul de o anumită dimensiune. Aceste protocoale nu sunt atât de flexibile ca RLP și eșuează în transmisii prin mediile afectate de fading (fluctuație) mare. Deoarece RLP-payload poate fi mic (11 octeți) trebuie ca și antetele RLP să fie mici-numere de secvență de pe 6 biți (variable sequence number).

56 Modalități de reducere a întârzierilor la inițializarea unei sesiuni bazate pe protocolul SIP în rețele fără fir-3

RLP se poate baza pe confirmări pozitive ACK și negative NAK, dar de obicei se lucrează cu NAK pentru a reduce încărcarea legăturii pe retur (ineficientă spectral și cu latență mare). Dacă legătura e „idle” (în repaos) se retransmite dublicatul ultimului NAK pentru a menține rata de pierderi a pachetelor sub 0,1%. Acțiunea e controlată de un „flush timer” (contor de umplere), ce e pornit la 200-500 msec după ce canalul devine idle, Fig. 3.3.

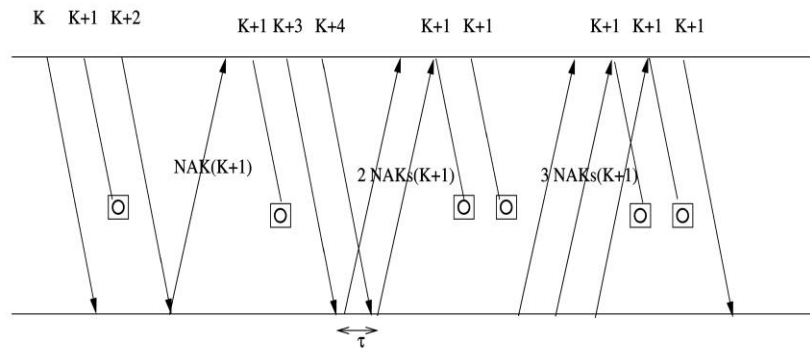


Fig.3.3 Schema RLP (1,2,3) [51]

RLP clasifică cadrele în trei clase de prioritate. Acestea sunt: cadre RLP de control (cum ar fi NAK), cadre de retransmitere date și cadre noi de date. În scopul reducerii întârzierilor, în RLP, numărul de semnale NAK se aproximează astfel că numărul de mesaje NAK care pot fi trimise se poate alege. În această lucrare sunt investigate protocoalele RLP (1, 2, 3) și RLP (1, 1, 1, 1, 1, 1). Numărul total de retransmisii pentru cele două scheme este același (șase), cu diferența că (1, 2, 3) execută șase retransmisii cu trei aproximări, în timp ce RLP (1, 1, 1, 1, 1, 1) realizează acest lucru cu șase aproximări NAKs. Informații detaliate cu privire la RLP, se găsesc în [18].

3.3. Analiza semnalizărilor protocolului SIP la parcurgerea stratului legăturii de date al rețelelor fără fir

Pentru analiză, am luat în considerare un flux de mesaje SIP care se schimbă în mod normal la inițierea unei sesiuni. Aceste mesaje sunt cele prezentate în Fig.3.1 pentru UDP și Fig.3.2 pentru TCP. De asemenea am pornit de la următoarele ipoteze referitoare la o sesiune SIP end to end:

1. controlul admisiei, posibilele erori ale server-elor și disponibilitatea conexiunii rețelei nu sunt luate în calcul;
2. protocolul TCP am presupus că operează într-un mod interactiv;
3. modul „întârzieri de confirmat” (delay acknowledgment) de către TCP este dezactivat;
4. TCP răspunde cu un mesaj de timp expirat (time out) ori de câte ori un pachet se pierde. De exemplu un agent utilizator, după ce a transmis un mesaj SIP (INVITE) așteaptă o confirmare (200 OK), înainte de a transmite următorul mesaj SIP (ACK).

3.3.1 Contor adaptiv pentru retransmisia mesajelor SIP de către protocolul UDP

Contorul de decrementare al protocolului SIP, după a i-a transmisie, dublează valoarea contorului $Tr(i)$. Astfel $Tr(i)$ este dat de formula de mai jos :

$$Tr(i) = 2^{i-1}Tr(1) \quad (3.1)$$

Valoarea contorului inițial de retransmisie $Tr(1)$ este un parametru crucial care trebuie optimizat, deoarece are un impact direct asupra întârzierii în sesiunea de inițializare. Nu ar trebui să fie prea mic, deoarece pachetele vor fi retrimise în timp ce un răspuns este pe cale de a fi primit și nu ar trebui să fie prea lung, pentru a evita creșterea în mod inutil a sesiunii de inițializare, în caz că se produce o pierdere. Prin urmare, acesta trebuie să fie proporțional cu timpul de transmitere a mesajelor implicate în tranzacție. Este în funcție de numărul de cadre k cuprinse în diagrama UDP, de întârzierea D de propagare end to end, de timpul de transmisie dintre două cadre consecutive τ . Pentru partea de tranzacție client transmiterea unei cereri INVITE (conținând k_1 cadre) e confirmată de răspunsul 183 (conținând k_2 cadre). **Prin urmare, contorul adaptiv pentru retransmisie, pe care îl propun pentru partea de client este:**

$$Tr(1) = D + (k_1 - 1) \cdot \tau + D + (k_2 - 1) \cdot \tau + \hat{\text{întârziere}}_{\text{cozi asteptare/proces}} \quad (3.2)$$

Pentru server valoarea lui $Tr(1)$ se modifică, reflectând numărul de cadre conținute de răspunsul 200 OK (k_2) și de cel de confirmare ACK (k_3).

$$Tr(1) = D + (k_2 - 1) \cdot \tau + D + (k_3 - 1) \cdot \tau + \hat{\text{întârziere}}_{\text{cozi asteptare/proces}} \quad (3.3)$$

3.3.2. Întârzierea de transmitere fără Radio Link Protocol

Să presupunem că p este probabilitatea unui cadru de a fi eronat într-o legătură fără fir. Ca atare $(1-p)$ este probabilitatea unui cadru de a nu fi eronat. Cu k cadre conținute într-un pachet UDP, $((1-p)^k)$ este probabilitatea ca pachetele UDP să nu fie eronate. Prin urmare, rata de pierdere a pachetelor este $(1-(1-p)^k)$. Considerăm q probabilitatea ca o tranzacție să eșueze. Aceasta înseamnă că primul pachet trimis (cererea de INVITE care conține cadrul k_1) s-a pierdut sau că primul pachet s-a recepționat dar răspunsul (183 care conține cadre k_2) s-a pierdut. Prin urmare, probabilitatea de a avea o retransmisie a unei cereri INVITE în timpul unei tranzacții la client este :

$$q = 1 - \left((1-p)^{k_1+k_2} \right) \quad (3.4)$$

Pentru partea de tranzacție la server, valoarea q se schimbă, reflectând numărul de cadre conținând răspunsuri 200 OK (k_2) și ACK (k_3).

Fie N_m numărul maxim de transmisii (pentru SIP, $N_m=7$). Media întârzierilor pentru o tranzacție cu succes este media întârzierilor pentru transmiterea cu succes a unei datagrame UDP care conține un mesaj SIP și a recepționării cu succes a răspunsului de confirmare. Aceasta se datorează faptului că expeditorul (de exemplu, UAC)

știe că pachetul expedit (de exemplu, INVITE) a fost recepționat cu succes atunci când se primește mesajul 183.

Prin urmare, întârzierea de transmisie totală pentru inițializarea sesiunii este suma întârzierilor pentru transmiterea tuturor mesajelor N necesare pentru a inițializa o sesiune VoIP folosind transmiterea mesajelor SIP prin protocolul UDP. Media întârzierii sesiunii de inițializare este dată de Tt_{UDP} și este:

$$Tt(i)_{UDP} = D + (k - 1)\tau - Tr(1) + \frac{(1 - q)(1 - (2q)^{Nm})}{(1 - q^{Nm})(1 - 2q)} \cdot Tr(1) \quad (3.5)$$

$$Tt_{UDP} = \sum_{i=1}^N Tt(i)_{UDP} \quad (3.6)$$

unde $Tt(i)_{UDP}$ este întârzierea pentru transmiterea cu succes a celei de-a i -a datagrame UDP.

3.3.3. Întârzierea de transmitere prin protocolul RLP (1,2,3)

Protocolul legăturii radio (Radio Link Protocol-RLP) retransmite datele la nivel de cadru. Pentru prima încercare de retransmisie, un mesaj NAK este trimis la punctul final, care declanșează mecanismul de retransmitere al cadrului lipsă. În cea de-a doua încercare, sunt trimise două mesaje NAK și fiecare din ele determină retransmiterea cadrului lipsă. În final, în cea de-a treia încercare, trei mesaje NAK sunt trimise și declanșează trei retransmisii consecutive ale aceluiași cadru lipsă. Pentru această analiză, similar cu [18], trebuie să fie definiți următorii termeni:

X_{ij} =al i -lea cadru retransmis la a j -a încercare și recepționat în mod corect la destinație;

Y_{ij} =al i -lea cadru NAK retransmis la a j -a încercare și recepționat în mod corect la sursă;

C_{ij} =primul cadru primit corect la destinație, care este al i -lea cadru retransmis la a j -a încercare de retransmisie;

A_j =cadrul lipsă nerecepționat corect la a j -a încercare de retransmitere;

B_j = cadrul lipsă nerecepționat corect până la sfârșitul celei de-a j -a încercare de retransmitere.

Presupunând că aceste cadre sunt independente unele de altele avem:

$$P(X_{ij})=P(Y_{ij})=1-p \quad (3.7)$$

unde p este rata de eroare/cadru FER (frame error rate). Astfel, în cazul în care un cadru nu este recepționat corect la a j -a retransmisie, toate retransmisiile cuprinzând a j -a încercare se vor pierde și atunci:

$$P(A_j) = ((2 - p)p)^j \quad (3.8)$$

În cazul în care după n încercări, retransmiterea cadrului eșuează, înseamnă că acest cadru nu a fost recepționat corect, până la sfârșitul celui de-al n proces de retransmitere și acest lucru este exprimat în următorii termeni:

$$P(B_n) = p((2-p)p)^{\frac{n(n+1)}{2}} \quad (3.9)$$

Dacă primul cadru recepționat corespunde cu al i-lea cadru retransmis al încercării j, înseamnă că acel cadru lipsă a fost pierdut până la a (j-1) încercare de retransmitere și până la a (i-1) retransmitere din încercarea j.

$$P(C_{ij}) = p(1-p)^2 \cdot ((2-p) \cdot p)^{\frac{j(j+1)}{2} + i - 1} \quad (3.10)$$

Prin urmare, probabilitatea de a transmite un cadru cu succes la nivelul stratului de control a legăturii radio (RLC) este dată de formula:

$$Pf = 1 - P(B_n) = 1 - p \cdot ((2-p) \cdot p)^{\frac{n(n+1)}{2}} \quad (3.11)$$

Retransmiterea la nivelul stratului legăturii de date mărește durata de propagare a întârzierii de la D la D'. Dacă considerăm că dintr-un pachet care are k cadre, l cadre au fost recepționate corect, obținem următoarea întârziere D':

$$D' = \frac{1}{(1 - P(B_n))^k} \left[\sum_{l=0}^k \binom{k}{l} (1-p)^{k-l} \left(\sum_{j=1}^n \sum_{i=1}^j P(C_{ij}) \right)^l \left(D + (k-l)\tau + \frac{l}{1 - P(B_n)} \left[\sum_{j=1}^n \sum_{i=1}^j P(C_{ij}) \left(2jD + \left(\frac{j(j+1)}{2} + i \right) \tau \right) \right] \right) \right] \quad (3.12)$$

Considerând că vor fi maxim trei încercări de retransmitere la nivelul protocolului legăturii radio, avem în acest caz n=3. Având în vedere că sunt tranzații SIP, contorul adaptiv al protocolului legăturii radio-RLP, se va modifica și el pe partea de client:

$$Tr(1) = D_1 + D_2 + \hat{Întârziere}_{\text{cozi așteptare proces}} \quad (3.13)$$

unde D₁ corespunde întârzierii pentru INVITE (cadre k₁), iar D₂ pentru răspunsul 183 (cadre k₂). Întârzierile de tipul Cozi așteptare proces sunt calculate cu formula:

$$q = 1 - Pf^{k_1 + k_2} \quad (3.14)$$

Pentru partea de server contorul este similar. Expresiile Tt(i) și Tt rămân neschimbate.

3.3.4. Întârzierea de transmitere utilizând protocolul RLP (1,1,1,1,1,1)

RLP (1, 1, 1, 1, 1, 1) efectuează șase încercări de retransmitere și fiecare din ele implică declanșarea unui NAK. Am presupus că:

$$P(X_{ij}) = P(Y_{ij}) = 1 - p \quad (3.15)$$

unde p este rata de eroare/cadru-FER. Probabilitatea ca un cadru să nu fie recepționat corect la a j -a încercare de retransmitere este:

$$P(A_j) = ((2 - p)p)^j \quad (3.16)$$

Dacă un cadru este abandonat (aborted) după a n -a încercare de retransmisie, acest lucru denotă faptul că până la sfârșitul celei de-a n -a retransmisii el nu a fost recepționat corect. Modelul teoretic este exprimat de ecuația (3.17):

$$P(B_n) = p((2 - p)p)^{\frac{n(n+1)}{2}} \quad (3.17)$$

Dacă primul cadru recepționat corespunde retransmiterii cadrului corespunzător încercării j avem situația:

$$P(C_j) = p(1 - p)^2 \cdot ((2 - p) \cdot p)^{j-1} \quad (3.18)$$

Prin urmare, probabilitatea de a transmite cu succes un cadru la nivelul controlului legăturii radio este dată de :

$$Pf = 1 - P(B_n) = 1 - p \cdot ((2 - p) \cdot p)^n \quad (3.19)$$

Pentru protocolul RLP(1,2,3) întârzierea de propagare a cadrului crește de la D la D' :

$$D' = \frac{1}{(1 - P(B_n))^k} \left[\sum_{l=0}^k \binom{n}{k} (1-p)^{k-l} \left(\sum_{j=1}^n \sum_{i=1}^j P(C_{ij}) \right)^l \left(D + (k-1)\tau + \frac{l}{1 - P(B_n)} \left[\sum_{j=1}^n \sum_{i=1}^j P(C_{ij}) \left((2j)D + \left(\frac{j(j+1)}{2} + i\tau \right) \right) \right] \right) \right] \quad (3.20)$$

Pentru studiu am limitat numărul maxim de încercări de retransmisie ale protocolului legăturii radio la $n=6$.

3.3.5. Întârzierea de transmitere a SIP utilizând protocolul TCP

Contorul adaptiv utilizat pentru retransmisa mesajelor în cazul protocolului TCP se bazează pe timpul necesar unui fragment de a parcurge distanța de la emițător la receptor și înapoi. Pentru analiza protocolului TCP voi folosi un contor adaptiv similar cu cel folosit pentru protocolul UDP:

$$Tr(I) = 2D + (K_1 - 1) \cdot \tau + D + (K_2 - 1) \cdot \tau + \hat{\text{Întârziere}}_{\text{coziasteptare}\phi\text{proces}} \quad (3.21)$$

K_1 este numărul de cadre conținute în pachetele de date și K_2 este numărul de cadre trimise receptorului împreună cu, confirmările de recepție ale emițătorului (de exemplu 183).

Dacă transmisia mesajelor SIP prin protocolul TCP se face fără a utiliza protocolul pentru legături radio, agentul utilizator al protocolului SIP va executa specificațiile de retransmitere a mesajelor date de protocolul TCP până când va fi recepționat un mesaj de confirmare. Segmentele TCP transportă mesajele SIP în câmpul de informație utilă. Valoarea totală a întârzierii sesiunii de inițializare este dată de:

- întârzierea transmiterii mesajelor necesare pentru a stabili o sesiune TCP (SYN /SYN-ACK/ACK);
 - întârzierea transmiterii mesajelor SIP necesare inițializării sesiunii VoIP.
- Suma întârzierilor sesiunii de inițializare este dată mai jos:

$$Tt_{TCP} = \sum_{i=1}^N Tt(i)_{TCP} \quad (3.22)$$

3.3.6 Întârzierile în cozile de așteptare

În această secțiune voi determina întârzierile în cozile de așteptare ale mesajelor SIP la terminalul utilizatorului, la server-ul intermediar de control al funcției de inițiere sesiune (CSCF) și la destinație. Pentru aceasta voi considera pentru terminalul sursă și server-ul CSCF modelul M/M/1, al lui Markov, iar pentru destinație modelul M/G/1. Am ales aceste două modele ale lui Markov deoarece terminalul sursă și server-ul execută operații prestabilite dar momentul de început e aleator, pe când la destinație se pot executa o varietate de operații non SIP cu un timp de serviciu de distribuție general. De asemenea am presupus că mai multe terminale sursă sunt servite de server-e cu funcție de control al apelului. Astfel rata de sosire a mesajelor SIP la terminalul sursă, λ_M , este o fracțiune din rata de sosire a mesajelor la serverele de control a funcției de inițiere apel, $\lambda: \lambda_M \leq \lambda$.

Utilizând rezultatele din teoria cozilor de așteptare [62], media întârzierii datorate cozilor de așteptare, pentru agentul utilizator al clientului este dată de formula:

$$Tq_{ST} = \frac{1}{\mu - \lambda_M} \quad (3.23)$$

unde μ este rata de serviciu pentru mesajele SIP de la terminalul sursă. Media întârzierii în cozile de așteptare pentru server-ele proxy, de interogare și de servire ale funcției de apel sesiune (P/I/S-CSCF) definite pe parcursul capitolului este:

$$Tq_{P-CSCF} = Tq_{I-CSCF} = Tq_{S-CSCF} = \frac{\rho_S}{\lambda(1 - \rho_S)} \quad (3.24)$$

unde ρ_S ($\rho = \lambda/\mu$) reprezintă destinația și încărcarea server-elor CSCF. În final întârzierea cozilor de așteptare la destinație se obține utilizând rezultatul bazat pe modelul cozilor M/G/1 ale lui Markov. Pentru a evalua întârzierea mesajului SIP datorită cozii voi lua în considerare numai mesajele care au prioritate mai mare decât cele SIP și voi ignora pe cele cu o prioritate mai scăzută. Întârziere de așteptare la destinație este următoarea:

$$Tq_{DT} = \frac{\frac{1}{\mu_S} (1 - \rho_0 - \rho_S) + R}{(1 - \rho_0) + (1 - \rho_0 - \rho_S)} \quad (3.25)$$

unde ρ_0 este sarcina de la destinație pentru mesaje non SIP, μ_s rata de serviciu pentru mesajele SIP de la destinație. Valoarea R este un răspuns al server-ului de la destinație ca urmare a unui mesaj anterior și care determină trecerea lui aleatoare într-o stare nouă ce trebuie iarăși evaluată. Este egală cu:

$$R = \lambda_0 \overline{X_I^2} + \frac{\lambda_s \overline{X_S^2}}{2} \quad (3.26)$$

unde $\overline{X_I^2}$, $\overline{X_S^2}$ sunt momentele secundare ale lui μ_s și respectiv rata de servire a mesajelor non SIP de la destinație.

3.3.7 Expresia întârzierii sesiunii de inițializare

Întârzierea sesiunii de inițializare este o sumă de întârzieri datorate transmisiei, cozilor de așteptare și Internetului. Astfel media sesiunii de inițializare cu N mesaje este următoarea:

$$T_{\text{sesiune}} = N * T_{q_{ST}} + T_{t_{\text{Transm}}} + N * T_{q_{P-CSCF}} + N * T_{q_{I-CSCF}} + N * T_{q_{S-CSCF}} + N * T_{\text{Internet}} + N * T_{q_{DT}} \quad (3.27)$$

unde $T_{t_{\text{Transm}}}$ variază, în funcție de protocoalele de transport și cel pentru legături radio folosite pentru a transmite mesaje SIP. T_{Internet} este întârzierea dată de Internet. Întârzierea introdusă de Internet depinde de numărul de rutere și de tipul de legături pe care le parcurge datagrama transmisă. Este foarte greu să se standardizeze astfel de transmisii heterogene și să se calculeze întârzierile. Pentru acest motiv întârzierea prin rețelele fixe este presupusă a fi constantă și egală cu 100 ms [69].

3.4. Rezultate numerice obținute ca urmare a experimentelor efectuate pentru studiul întârzierilor SIP

Această secțiune prezintă rezultatele experimentale ale studiului referitor la media întârzierilor sesiunii de inițializare SIP utilizând protocoale de transport și legătură radio. **Modelul introdus în paragraful precedent, 3.3., implică creșterea exponențială a mediei întârzierilor sesiunii de inițializare cu rata de eroare a cadrelor (FER). Numărul și dimensiunea mesajelor schimbate afectează media întârzierilor din sesiunea de inițializare.** Reducerea acestor factori conduce la o diminuare a lor. Pentru evaluare, dimensiunea aproximativă pentru fiecare mesaj SIP am obținut-o din pachetele capturate de analizorul de protocol Ethereal din testele experimentale. A fost nevoie de numărul de cadre, în fiecare caz și de aceea au fost luate în considerare două tipuri de canale: 9.6 kbps și 19.2 kbps. Durata fiecărui cadru radio am presupus a fi de 20 ms, ceea ce corespunde la 24 de octeți într-un canal 9.6 kbps și 48 de octeți într-un canal de 19.2 kbps. Valorile întârzierii D de propagare end to end și a intervalului de timp dintre cadre τ , sunt setate la 100 ms, respectiv 20 ms. Numărul maxim de transmisiuni N_m , stabilit în paragraful 3.3.2 este setat la șapte pentru mesaje SIP cu TCP respectiv UDP [69].

Referitor la întârzierile din cozile de așteptare, am presupus că rata de sosire a mesajelor SIP (λ), rata de serviciu a server-elor intermediare și cea de la destinație sunt la fel ($\mu_s = \mu$). Calculul întârzierilor pentru cozile de așteptare de la destinație implică al doilea moment al ratei de servire. De asemenea am presupus că $\lambda_M = 0,1\lambda$ și

deviația standard σ , a acestor rate de servicii este de 5% din valoarea medie. Acum avem potrivit [62], relațiile:

$$\overline{X_I^2} = E[X_I]^2 \text{ și } \overline{X_S^2} = E[X_S]^2 \quad (3.28)$$

$$\text{unde } E[X_I]^2 = \sigma_I^2 + (E[X_I])^2 \text{ și } E[X_S]^2 = \sigma_S^2 + (E[X_S])^2 \quad (3.29)$$

Înlocuind μ_s și μ_0 în $E[X_I]$ și $E[X_S]$, vom avea expresia

$$R = 0,501 \left[\rho_0^2 + \rho_S^2 \right] \quad (3.30)$$

Pentru experimente am considerat prima dată rata de eroare a cadrelor (FER) variabilă și am menținut rata de sosire a mesajelor SIP la sursă $\lambda_M = 50$ cereri/s. Menținând acum rata de eroare a cadrelor constantă la 1%, am modificat valoarea lui λ_M . Pentru ceilalți parametri ai sistemului avem următoarele valori:

$$\mu = 4 \cdot 10^{-4} \text{ s}$$

$$\rho_S = \frac{\lambda}{\mu}$$

$$\rho_0 = 0,7$$

$$T_{\text{Internet}} = 100 \text{ ms}$$

Tabelul 1 arată dimensiunea datagramelor UDP și numărul de cadre per datagramă pentru ambele canale.

Tabelul 1. Mărimea mesajelor și numărul de cadre pentru sesiunea de inițializare SIP cu protocolul UDP

Mesaje	Mărime informație utilă (octeți)	Mărime mesaj (octeți)	Cadre (9.6kbps)	Cadre (19.2kbps)
SIP INVITE	700	728	37	19
SIP 183	835	863	44	23
SIP PRACK	558	586	30	16
SIP 200OK	545	573	29	15
SIP 180	349	377	19	10
SIP ACK	300	328	17	9

Am presupus că fiecare datagramă UDP este încapsulată într-un cadru IP de 28 octeți (20 octeți pentru header-ul IP și 8 octeți pentru header-ul UDP). Media întârzierilor sesiunii de configurare utilizând un contor adaptiv pentru retransmisia mesajelor este calculată pentru ambele canale și este prezentată în fig.3.4.

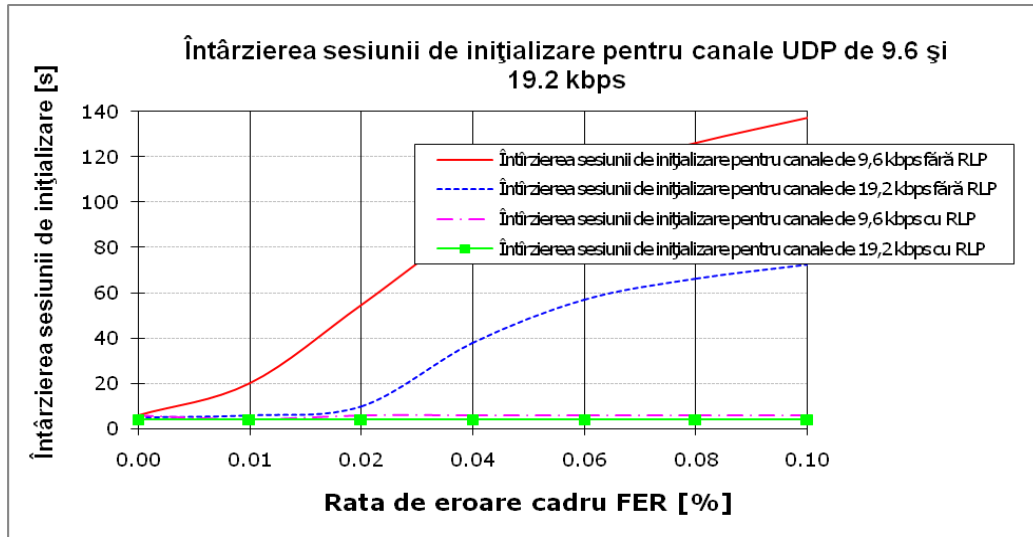


Fig.3.4. Media întârzierilor sesiunii de inițializare SIP cu UDP pentru canale de 9.6 kbps și 19.2 kbps cu/fără RLP (1,2,3)

Au fost luate în calcul cadre cu rate de erori variate, cuprinse între 0-10 %. Având în vedere că sesiunea este stabilită pentru VoIP, serviciile de voce sunt suportate pentru erori de ale cadrelor (FER) cuprinse între 1 și 3%. Rezultatele pentru procentul de 1 % a ratei de eroare a cadrelor sunt prezentate în Tabelul 2.

Analizând valorile vedem că întârzierea unei sesiuni SIP este conformă cu recomandările ITU-T [34], dacă este utilizat protocolul pentru legături radio sau dacă lățimea de bandă este mai mare de 19.2 kbps. În Fig.3.4 am făcut o evaluare a întârzierii sesiunii de inițializare pentru mesaje SIP transmise prin protocolul UDP cu RLP (1, 2, 3) sau RLP (1, 1, 1, 1, 1, 1). Din figură rezultă faptul că prin utilizarea protocolului pentru legături radio se obține cea mai mică întârziere a sesiunii de inițializare. RLP permite configurarea numărului de runde NAK și a confirmărilor NAK trimise într-o rundă, în scopul de a optimiza recuperarea erorilor.

Întârzierea datorată cozilor de așteptare din sesiunea de inițializare este relativ mică: 0,6136 s pentru mesaje SIP transmise prin protocolul UDP pentru ambele canale.

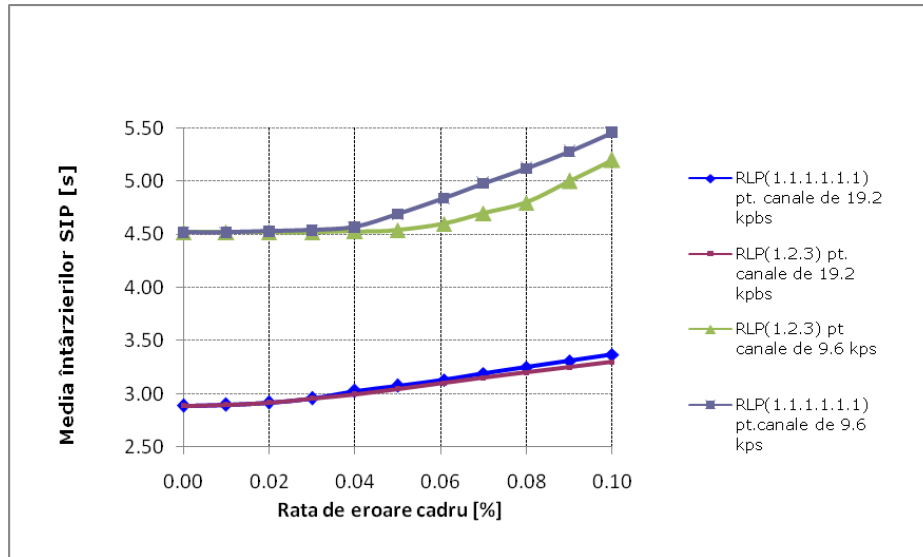


Fig.3.5 Media întârzierilor sesiunii de inițializare pentru canale de 9,6 și 19,2 kbps pentru mesaje SIP prin UDP și RLP diferite

Fig. 3.5 compară schemele RLP(1, 2, 3) și RLP(1, 1, 1, 1, 1, 1) pentru ambele canale. RLP (1, 2, 3) surclasează RLP (1, 1, 1, 1, 1, 1), pentru rate de erori ale cadrelor mai mari de 3 %, independent de lățimea de bandă a canalului. Întârzierea sesiunii de inițializare este cu până la 5 % mai mare în cazul protocolului RLP(1, 1, 1, 1, 1, 1) datorită timpului suplimentar de recuperare pentru confirmarea celor șase semnale NAK. Dublarea vitezei de transmisie a canalului, adică a debitului de la 9,6 la 19,2 kbps, reduce întârzierea cu 40 %. Cu toate acestea, reducerea este de 0,5 s, o diferență care nu este importantă pentru percepția la utilizator. Utilizarea oricărei scheme de retransmisie prin protocolul RLP reduce considerabil întârzierea acolo unde rata de eroare a cadrelor (FER) este mai mare de 1 %. Se poate alege un sistem sau altul atâta timp cât diferența între scheme este de maxim 200 ms. Utilizarea oricăruia dintre protocoalele RLP optimizează întârzierea sesiunii de inițializare și este o soluție mult mai bună decât creșterea lățimii de bandă pentru erori ale cadrelor mai mari de 1 %.

Tabelul 2. Comparație între UDP și TCP, pentru o rată de eroare a cadrului de 1%

Protocoale	Întârzierea sesiunii de inițializare pentru canale de 9.6 kbps	Întârzierea sesiunii de inițializare pentru canale de 19.2 kbps
UDP fără RLP	20.65	5.6
UDP cu RLP(1,2,3)	4.61	2.9
UDP cu RLP (1,1,1,1,1,1)	4.61	2.9
TCP fără RLP	23.8	6.9

Protocoale	Întârzierea sesiunii de inițializare pentru canale de 9.6 kbps	Întârzierea sesiunii de inițializare pentru canale de 19.2 kbps
TCP cu RLP(1,2,3)	5.9	3.9
TCP cu RLP(1,1,1,1,1,1)	5.9	3.9

3.4.1 Relevanța contorului adaptiv pentru retransmisie

Contorul de timp inițial, utilizat pentru retransmisia mesajelor SIP prin protocoalele UDP și TCP, se comportă după modelul unei funcții exponențiale. Își dublează, după fiecare retrimiteră de pachete valoarea. Este foarte important să se ia în considerare o valoare inițială relevantă pentru contor.

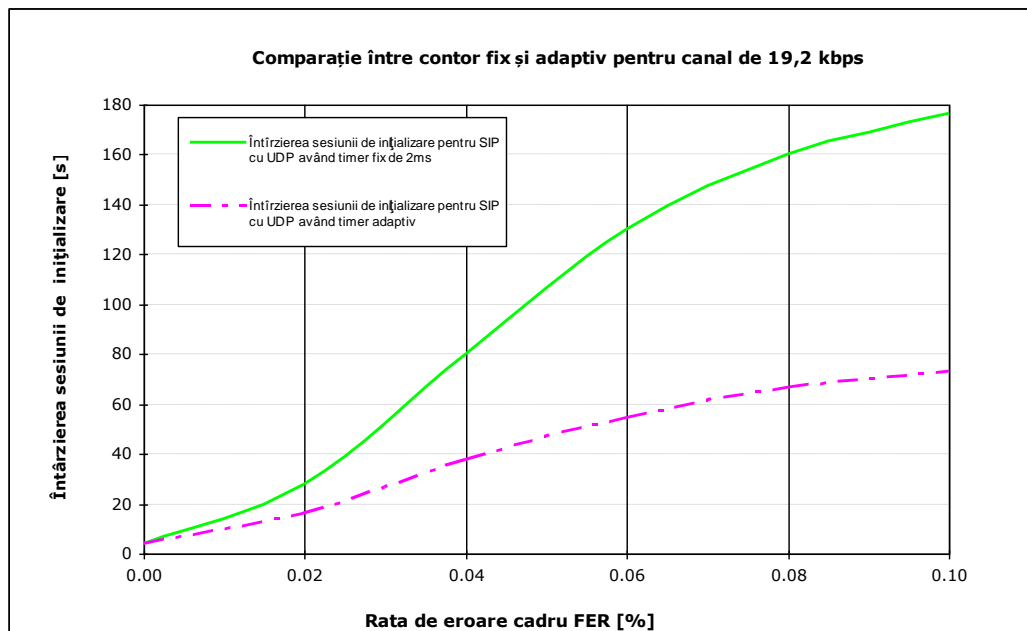


Fig.3.6 Compararea mediei sesiunii de inițializare SIP cu UDP între contor adaptiv pentru retransmisie și contor fix de 2s pentru canale de 19.2 kbps

Fig.3.6 arată rezultatele comparației dintre întârzierea sesiunii de inițializare cu un contor de timp fix de 2 ms și un contor adaptiv pentru retransmisie. Contorul adaptiv pentru retransmisie reduce în timp întârzierile sesiunii de configurare cu o medie de 46%. Utilizarea contorului adaptiv pentru retransmisie este relevantă pentru minimizarea costurilor de întârziere pentru orice transmitere în general și a sesiunii de inițializare în special, deoarece aceasta din urmă afectează în mod direct cerințele utilizatorilor.

Fig.3.7 ilustrează media valorilor întârzierilor sesiunii de inițializare pentru cele două canale de 9,6 și 19,2 kbps. Dublarea lățimii de bandă a canalului reduce întârzierile în sesiunea de configurare cu o medie de 37%. Întârzierea sesiunii de confi-

3.4 Rezultate numerice pentru studiul întârzierilor SIP 67

gurare cauzate de cozile de așteptare este mai mare pentru mesajele transmise prin protocolul TCP decât pentru UDP: este de 1.0227 s pentru ambele canale. Acest lucru se datorează numărului mare de mesaje implicate în inițializarea unei sesiuni cu TCP și a dimensiunii lor mai mari.

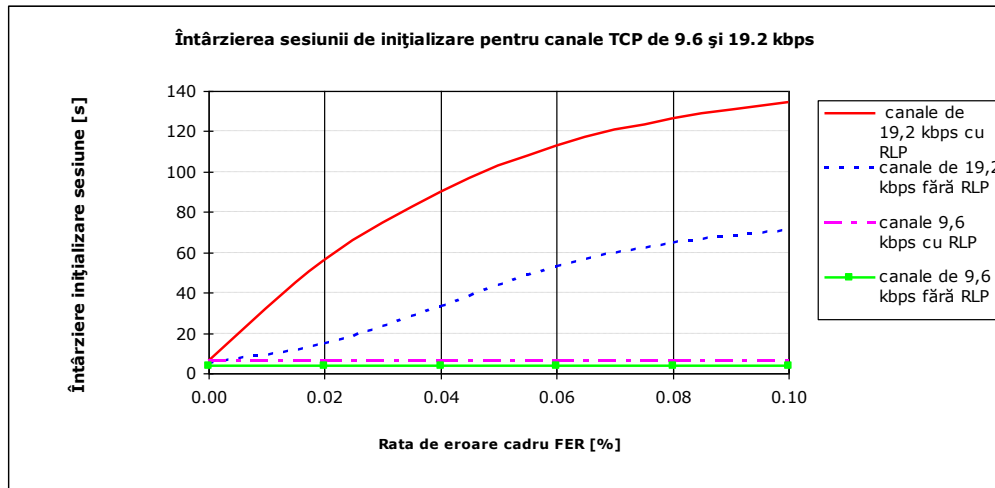


Fig.3.7. Întârzieri medii ale sesiunilor de configurare pentru canale de 9.6 și 19.2 kbps pentru mesaje SIP încapsulate în protocolul TCP cu sau fără protocolul pentru legături radio RLP

În cazul în care rata de eroare a cadrelor este mai mică de 2 % întârzierea sesiunii de inițializare a mesajelor SIP transmise prin protocolul TCP este sensibil egală cu cea pentru UDP. Acest lucru se datorează utilizării contorului adaptiv pentru retransmitere care ajustează dimensiunea mesajelor la cea a celor implicate în inițializare, iar TCP trimite mesaje relativ mici pentru conexiunile de inițializare.

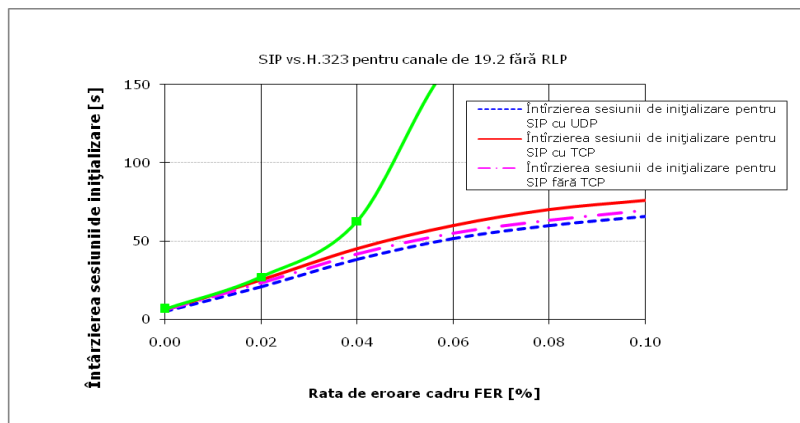


Fig.3.8. Întârzierile din sesiunea de inițializare cu protocoale SIP și H.323 pentru canale de 19.2 kbps prevăzute cu contor adaptiv pentru retransmitere

Protocolul H.323 este concurentul lui SIP pentru stabilirea sesiunilor VoIP. În Fig.3.8 am făcut o comparație a celor două protocoale pentru cazul utilizării contorului adaptiv pentru retransmisie și a unei rate de eroare a cadrelor descrisă anterior. Mesajele H.323 sunt transmise prin protocoalele TCP și IP. Testele le-am făcut pentru un număr maxim de 10 retransmisii. Pentru întârzierea sesiunii de inițializare cu o rată de eroare a cadrelor (FER) mai mică de 2 % rezultatele sunt la fel. Dacă rata de eroare crește peste 2 %, SIP surclasează H.323.

Aceste rezultate se datorează contorului adaptiv pentru retransmisie utilizat pentru stabilirea sesiunii H.323, care are 19 mesaje mai mici decât cele SIP. În plus, la H.323 întârzierea crește exponențial deoarece sunt permise 10 retransmisii în timp ce pentru SIP doar șapte. Această comparație arată o influență considerabilă a contorului de timp și a numărului maxim de retransmisii permise asupra performanțelor întârzierilor din protocolul de semnalizare.

Pentru contorul de timp fix numai numărul de mesaje necesare pentru a inițializa o sesiune influențează întârzierea acesteia, pe când la contorul adaptiv pentru retransmitere, dimensiunea mesajelor este factorul cel mai semnificativ care o influențează. Prin urmare, pentru a optimiza și mai mult întârzierea sesiunii de inițializare SIP, unele scheme de compresie ar putea utiliza compresia de semnalizare (SigComp) sau compresia bazată pe text. Compresia bazată pe text poate comprima între 30-50% din dimensiunea celor mai multe mesaje SIP prin eliminarea antetelor redundante și a informației utile. Cererea inițială INVITE nu poate fi comprimată decât la circa 9% [20].

Numărul de utilizatori pot afecta de asemenea întârzierile din sesiunea de inițializare: prin modul de admitere a unui utilizator într-o celulă și disponibilitatea server-elor SIP. În această teză, disponibilitatea server-elor este legată de încărcarea lor și de rata de sosire a mesajelor SIP. Controlul admisiei nu face obiectul de studiu al acestei lucrări. Rata de sosire afectează în mai mică măsură întârzierea sesiunii de inițializare, independent de lățimea de bandă a canalului. Este de ordinul a 10 ms pentru mesaje SIP, crescând o dată cu creșterea numărului de cereri de la 50 cereri/s la 150 de cereri/s.

3.5. Suport pentru servicii VoIP

Conform standardului IEEE 802.11 se disting două tipuri de rețele fără fir:

- ad hoc;
- rețele infrastructurale cu punct de acces (AP) .

Punctele de acces (AP) au rolul unor punți între stațiile fără fir (wireless), precum și între stațiile fără fir și cele fixe. Standardul IEEE 802.11 specifică două funcții la nivelul controlului de acces la mediu (MAC), una de coordonare distribuită (DCF-Distributed Coordination Function) și alta de coordonare prin punct (PCF-Point Coordination Function) și trei opțiuni pentru nivelul fizic: spectru împrăștiat cu salt de frecvență (Frequency Hopping Spread Spectrum-FHSS), spectru împrăștiat cu secvență directă (Direct Sequence Spread Spectrum-DSSS) și infra-roșu (Infra Red-IR) [39].

Prin funcția de coordonare distribuită se asigură accesul la mediu din subnivelul MAC de control al accesului la mediul și se bazează pe accesul multiplu cu detecția purtătoarei (Carrier Sens Multiple Access cu evitarea coliziunii-CSMA/CA). Perioada de timp în care o rețea locală funcționează în modul DCF este cunoscută sub numele de perioada concurențială (Contention Period-CP) când își adjudecă accesul la mediul de transmisie. Prioritățile de acces la mediu sunt controlate prin utilizarea intervalului de timp dintre cadre (Inter-Frame Spaces-IFS). Există trei tipuri de perioa

de de timp între cadre: perioada scurtă (Short Interframe Space-SIFS), perioada funcției de coordonare prin punct a IFS (Point Coordination Function IFS-PIFS) și perioada funcției de coordonare distribuită a IFS (Distributed Coordination Function-DIFS).

Intervalul cel mai scurt dintre cadre (SIFS) este folosit pentru transmiterea de mesaje de confirmare. Stațiile răspund la interogările punctelor de acces și între mesaje, dacă o unitate pentru date de serviciu (MAC Service Data Unit-MSDU) este fragmentată. Transmisiile care trebuie să aștepte doar un interval scurt au cea mai mare prioritate față de mediu. Transmisiile care trebuie să aștepte un interval de timp egal cu un cadru DIFS, au prioritatea cea mai scăzută de acces la mediu.

Funcția de coordonare prin punct (PCF) asigură transferul cadrelor neconcurențiale și perioada de timp în care o rețea locală (LAN) funcționează în modul PCF este cunoscută sub numele de perioadă neconcurențială (Contention Free Period-CFP). Punctele de acces, AP, îndeplinesc funcția de punct coordonator, câștigând controlul asupra mediului la începutul unei perioade neconcurențiale, după ce primește informația prin care i se comunică, că mediul urmează să fie inactiv pentru o perioadă scurtă de timp PIFS. În timpul perioadei inactice, stațiile care sunt incluse în listă pot răspunde la mesaje, pot fi chestionate de către punctele de acces-AP. La primirea unui mesaj stația transmite datele sale după un interval scurt SIFS. În scopul de a sonda stațiile active, un punct de acces trebuie să mențină o listă a lor, care este dependentă de modul ei de implementare. Perioada de pauză trebuie să alterneze cu cea de dispută a accesului la mediu. Suma celor două perioade este numită "supercadru" și este prezentată în Fig. 3.9. Se poate întâmpla ca o stație să înceapă să transmită un cadru, chiar înainte de sfârșitul perioadei concurențiale, CP, măbind astfel perioada supercadru curent și scurtând astfel următorul CFP așa cum este arătat în Fig. 3.9:

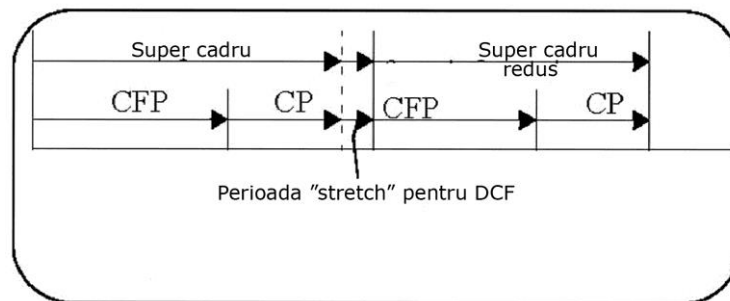


Fig.3.9. Diagrama de timp pentru transmisie supercadru [35]

Mărirea duratei supercadru curent și scurtarea următorului CFP este cunoscută sub denumirea de stretching. Pentru a înțelege efectul de stretching al CFP, ar trebui să admitem că, pentru unitatea pentru date de serviciu a substratului de acces la mediu (MAC Service Data Unit-MSDU), dimensiunea maximă a cadrului, de 2304 octeți, să fie trimisă înainte de sfârșitul supercadru. Dacă pragul de fragmentare (parametru setabil), nu este egal cu această dimensiune maximă, atunci depășirea duratei va fi inevitabilă datorită fragmentării MSDU. Toate fragmentele unității de serviciu a mediului, MSDU, sunt trimise ca intervale scurte (SIFS), ceea ce înseamnă că un punct de acces, în așteptarea unui interval PIFS, pentru a iniția un CFP, nu poate accesa mediul între transmisiile fragmentelor. Astfel, în cel mai rău caz, perioa-

da de stretching ar dura atâta timp cât ar fi necesar pentru a trimite 2304 de octeți conținând fragmente cu informații utile. Punctele de acces inițiază perioade de neconcurențialitate, CFP, prin transmiterea unui cadru de balizaj (beacon). Dacă traficul în timpul perioadei de neconcurențialitate (CFP) este redus și/sau un AP a finalizat de interogare toate stațiile din lista de acces, CFP se poate termina prin transmiterea unui cadru CF-End. Punctul de acces, AP, preia apoi controlul mediului și începe interogarea stațiilor din listă. Retransmisiile sunt utilizate în standardul IEEE 802.11 pentru corectarea erorilor atât în modul DCF cât și în modul PCF. Pentru a sprijini corectarea erorilor sunt folosite confirmări (ACKs). O confirmare a unui cadru este încapsulată în cadrul următor, chiar dacă aceasta din urmă nu este destinată aceleiași stații de către expeditorul din cadrul anterior. Nu există nici un mecanism pentru a opri retransmisiile în modul PCF sau de a folosi diferite contoare de reluare pentru modulele PCF și DCF.

Mesajele de balizaj (beacon) sunt generate periodic, în funcție de intervalul stabilit. Stațiile mobile ascultă mediul la anumite intervale, multipli ai intervalului de balizaj, pentru a detecta aceste mesaje. Un mesaj este trimis la începutul unei perioade neconcurențiale-CFP, dar în cazul în care durata CFP este mai mare decât cea a mesajului, vor fi trimise mai multe mesaje în timpul unui CFP. Durata maximă a unei perioade neconcurențiale (CFP MaxDuration) este de asemenea, setabilă și indicată în mesajele de balizaj. Pentru semnalele de balizaj care sosesc în mijlocul unui CFP, durata rămasă indică de cât timp a fost inițiată perioada de neconcurențialitate. Astfel, dacă o stație de telefonie mobilă e inactivă și se trezește la intervalele ei de ascultare, acestea ar putea să nu coincidă cu începutul unei CFP, însă se poate stabili perioada scursă de când CFP-ul a fost inițiat.

3.5.1. Soluția propusă

Specificațiile standardului IEEE 802.11 nu prevăd o metodă pentru crearea și menținerea listelor de interogare și invitare la emisie (polling lists). Această teză aduce ca noutate o procedură prin care se controlează admisia în liste. Soluția propusă prezintă arhitectura aleasă, definirea acțiunilor utilizatorului pentru transmiterea de date vocale și planul de acțiuni pentru controlul admisiei conexiunii (Connection Admission Control-CAC), în scopul admiterii unui număr limitat de utilizatori în lista de interogare și invitare la emisie și inițializarea variabilelor pentru managementul bazei de informații (Management Information Base-MIB) .

3.5.2. Arhitectura rețelei

Arhitectura de rețea folosită pentru experimente este prezentată în fig.3.10

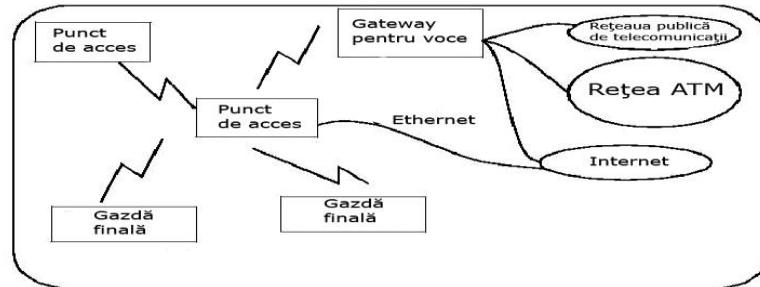


Fig.3.10. Arhitectura de rețea

Punctele de acces au în prezent, doar două interfețe, o interfață IEEE 802.11 și o interfață Ethernet. Interfața Ethernet suportă traficul de date trimise prin modul de funcție distribuită de la stațiile mobile la punctele de acces (AP). Pe de altă parte, deoarece Ethernet nu furnizează servicii de calitate diferențiale (Quality of Service-QoS), nu este potrivit pentru traficul în timp real. Modul de funcționare cu coordonare prin puncte de acces (PCF) poate să fie folosit ca legătură între un punct de acces la o poartă (gateway) vocală (vezi fig.3.10.), care suportă interfețe pentru rețele de telefonie clasică (PSTN), transmisii asincrone (Voice over ATM) și Internet (Voice over IP). Gateway-ul vocal convertește straturile protocolului standardului IEEE 802.11 în cadre PCM pentru a le putea transmite prin rețele de telefonie fixă, rețele cu transmisie asincronă (ATM Adaption Layer pentru ATM-uri) sau rețele de voce în timp real (Voice over Real-Time Transport Protocol-RTP/UDP/IP) pentru rețelele IP. Această arhitectură oferă garanții pentru întârzierile între două puncte terminale (end-to-end) dat fiind faptul că atât rețelele clasice cât și rețelele de transmisie asincronă (ATM-uri) sunt orientate pe conexiune.

În această arhitectură care utilizează modul de coordonare prin punct pentru traficul de voce între punctele de acces și porțile vocale, un apel vocal către o rețea de telefonie fixă, asincronă sau IP utilizează aceleași resurse în cadrul unei rețele locale fără fir ca și un apel între două puncte de acces. Astfel, atât pentru apelurile între două puncte cât și cele între utilizatorii unei rețele fără fir și rețeaua fixă/asincronă/IP, cele două capete sunt adăugate în lista de interogare a unui punct de acces. Pentru apeluri între utilizatori din rețele diferite, porțile destinate apelurilor vocale extrag semnalele vocale din cadrele IEEE 802.11 recepționate și le trimit prin protocoale dedicate către utilizatorii din celelalte tipuri de rețele. Pot fi prevăzute extensii care să permită mai multor puncte de acces sau a altor arhitecturi în care funcționalitatea porților pentru apeluri vocale este localizată în punctele de acces, accesul în rețeaua fără fir.

În rețelele fără fir pachetele de voce sunt transportate în conformitate cu unul din cele două moduri de funcționare ale standardului: rată constantă (Constant Bit Rate-CBR) în care apelurile au alocat tot intervalul de timp și rată variabilă (Variable Bit Rate VBR), în care este folosită multiplexarea, pauzele din cadrul apelurilor vocale sunt folosite de către alte apeluri de voce sau trafic de date.

În această lucrare am luat în considerare ambele posibilități de a trimite pachete de voce atât de dimensiune fixă cât și de dimensiune variabilă. Având în vedere faptul că dispozitivele de codare-decodare a vocii (codec-uri) produc de obicei un anumit număr de octeți la fiecare câteva msec (de exemplu, pentru voce un codec produce 32 de octeți la fiecare 30ms), s-ar putea implementa un sistem cu pachete

mărime fixă. Acestea ar duce la supraîncărcarea straturilor protocolului (doar antetul substratului de acces la mediu-MAC este de 34 octeți). În ambele moduri de operare, cu rată constantă sau variabilă, vor fi create pachete de lungime variabilă.

Se impune astfel necesitatea determinării intervalului de timp optim necesar transmiterii pachetelor de voce. Cele două alternative care pot fi utilizate sunt cu scheme de sincronizare cu informare completă de timp (CTI) sau cu scheme cu informare nulă de timp (NTI) [13] [15]. Schema cu informare completă de timp utilizează protocolul în timp real (RTP). Folosește o metodă relativă de amprentare a timpului, care funcționează bine în rețelele în care pachetele utilizate sunt de lungime variabilă și variația întârzierilor este mare pentru traficul în timp real. În rețelele de transport asincrone este utilizată schema cu informare nulă (NTI). În cadrul schemelor cu informare nulă de timp, fiecare pachet nu are un timp prestabilit. În schimb, dacă valoarea jitter-ului între terminale este cunoscută, primul pachet de voce este întârziat cu un timp egal cu durata jitter-ului, iar pachetele ulterioare sunt trimise la intervale de timp egale cu cel de asamblare a pachetelor (packetization interval). Deoarece celulele ATM sunt de dimensiune fixă, întârzierea de asamblare a pachetelor este fixă. Prin urmare, chiar dacă cadrele ulterioare au întârzieri diferite față de primul cadru, trimiterea lor la intervale T , egale cu întârzierea de asamblarea a pachetelor, permit reconstruirea lor. Deci, o combinație de rețele de ATM orientate pe conexiune și mărime a celulelor ATM fixă, cu valoarea jitter-ului stabilită, permite utilizarea schemelor temporale de sincronizare cu informare nulă (NTI) [15]. În rețelele fără fir, chiar dacă valoarea jitter-ului este cunoscută pentru funcția de coordonare prin punct-PCF, dimensiunea pachetelor nu este fixă. Dat fiind faptul că exact de durata între interogări depinde dacă se va mări sau nu perioada de acces la mediu, ipoteza generării unor pachete la intervale constante nu poate fi făcută, prin urmare nu poate fi utilizată în acest caz schema de sincronizare cu informare nulă (NTI). Prin urmare, este indicat utilizarea unui sistem cu o schemă de sincronizare cu informare completă (CTI). Deoarece majoritatea apelurilor utilizatorilor din rețelele fără fir pleacă din rețea spre alte tipuri de rețele, am presupus că toate pachetele de voce sunt trimise prin puncte de acces, chiar dacă în unele cazuri, ambele capete se află în aria de acoperire a unei punct de acces și ar fi putut fi trimise direct. În modul de coordonare prin punct, un punct de acces controlează datele trimise, dar datele ar putea ajunge direct de la stație mobilă la stație mobilă.

Stiva pentru protocol utilizată în scopul de a transporta cadre trebuie să fie de asemenea specificată. Având în vedere că cerințele de întârziere limitează dimensiunea pachetelor de voce, am încercat să evit supraîncărcarea protocolului. Pentru acest scop, am utilizat protocolul de transport în timp real (RTP).

Punctul de acces ar putea parcurge lista sa de interogare și invitare la emisie numai parțial, pe durata unui supercadru, o dată sau de mai multe ori. În modul cu rată de biți constantă, sondajul este făcut o dată pe durata unui supercadru. Toate cele trei opțiuni amintite mai înainte vor fi luate în considerare pentru modul cu rată de biți variabilă.

Pentru terminarea unui apel trebuie ținut cont de cele două moduri de funcționare ale rețelei fără fir, cea de neconcurențialitate la mediu și cea de concurențialitate. În modul de transfer prin rată de biți constantă, dat fiind faptul că fiecare apel vocal are alocat o durată fixă de timp, lungimea perioadei de acces la mediu va fi determinată de numărul de apeluri vocale admise. În modul de transfer prin rată de biți variabilă, atunci când punctul de acces termină de interogare toate stațiile din listă, acesta trimite un sfârșit de interogare și începe una nouă, chiar dacă durata maximă nu s-a terminat. Acest lucru impune ca încărcarea pachetelor să se facă la niveluri acceptabile.

Pentru ambele moduri, lungimea supercadrlui este fixă. Numărul maxim de apeluri care pot fi admise este determinat de lungimea supercadrlui. Variind lungimea supercadrlui, aceasta determină variații ale întârzierilor apelurilor admise, lucru ce trebuie evitat. Analiza erorilor pentru voce arată că e necesară o formă de corecție a erorilor. Există trei opțiuni pentru aceasta: trimiterea mai departe a erorii pentru corecție (forward error correction FEC), retransmiterea și livrarea pachetelor de eroare procesorului de semnal.

3.5.3. Calculul numărului maxim de apeluri vocale

Când un utilizator mobil inițiază un apel vocal, un mesaj de semnalizare este trimis către un punct de acces (prin funcția de coordonare distribuită) cerând să fie adăugat în lista de interogare. Punctul de acces ține evidența numărului maxim apeluri admise care nu trebuie să depășească valoarea maximă admisă. Punctul de acces trimite mai departe un mesaj de semnalizare către stația mobilă apelată (pentru apeluri în aria de acoperire a punctului de acces) sau la o poartă vocală (voice gateway) pentru apeluri în rețeaua de telefonie PSTN/ATM/IP, specificând întârzierea pentru pachetele de voce recepționate. Calculul reconstrucției acestei întârzieri este prezentat mai jos. La acceptarea apelului partea apelată sau poarta (gateway) trimite un răspuns punctului de acces. Acesta include cele două terminale în lista de interogare și trimite un răspuns apelatului împreună cu reconstrucția întârzierii care trebuie folosită la recepționarea pachetelor care vin de la apelant. La terminarea convorbirii, punctul de acces primește un mesaj de eliberare (release) și scoate din listă cele două terminale. Tabelul 3 prezintă lista de notații utilizată pentru demonstrație.

Tabelul 3. Lista de notații utilizate pentru optimizarea numărului maxim de apeluri admise într-o lista de invitare la emisie (polling)

Parametru	Simbol	Valoare
Durata maximă a unui super cadru	T_{SF}	Variază
Intervalul de balizaj (beacon)	T_b	Variază
Rata de transmisie în kbits/s	R	2 (FHSS) și 11 (DSSS)
Rata de codare voce în kbits/s	c	8,5
Supraîncărcare Antet (RTP, LLC, MAC cu WEP) în biți	h	57*8
Mărime antet strat fizic în biți	P	16*8 și 24*8
Numărul maxim de apeluri vocale în modul de operare CBR	N_p	Se calculează
Numărul maxim de apeluri vocale în modul de operare VBR	N_s	Se calculează
Valoarea minimă a supercadrlui	T_{SF-min}	Se calculează
Valoarea minimă a perioadei concurențiale CP	T_{cp-min}	Se calculează
Valoarea minimă a perioadei neconcurențiale CFP s	$T_{cfp-min}$	Se calculează
Valoarea maximă a pragului de fragmentare în biți	f	1100*8 și 2304*8
Mărimea cadrului de balizaj (beacon) în biți	B	40*8
Dimensiune Terminare CF în biți	CF_{end}	24*8
Intervalul SIFS	T_{sifs}	0.028m
Timp slot	T_{slot}	0.050ms
Întârzierea de asamblare pachete mi-	P_{min}	30ms

Parametru	Simbol	Valoare
nimă		
Timpul de trimitere pachete de voce pe durata unui supercadru T_{SF}	T_v	Se calculează
Timpul pentru trimiterea CTS (14 octeți)	T_{cts}	Se calculează
Timpul pentru trimiterea RTS (20 octeți)	T_{rts}	Se calculează
Timpul pentru trimiterea unui cadru de confirmare fără date (14 octeți)	T_{ack}	Se calculează

Pentru a determina timpul necesar unui apel transmis cu o rată de biți constantă (CBR), trebuie determinată dimensiunea maximă a pachetelor de voce. Timpul maxim între două interogări este T_{SF} în secunde. La acest timp trebuie adăugat $P_{min} = 30$ ms, pentru a ține cont de posibilitatea că un pachet de date vocale se termină după o interogare (poll). Astfel, dimensiunea cea mai mare a pachetului de voce creat va fi $c \cdot (P_{min} + T_{SF})$ biți. Ținând cont de faptul că în modul cu rată de biți constantă, CBR, acest interval de timp este alocat pentru fiecare apel vocal chiar dacă se generează sau nu un pachet, timpul pentru a menține o convorbire este dată de relația:

$$T_v = \frac{(c \times (P_{min} + T_{SF}) + h + P) \times 4}{R} + 4T_{sisf} \quad (3.31)$$

Pentru a determina numărul maxim de apeluri, este necesar găsirea duratei minime de acces concurențial și apoi prin diferența între durata maximă a unui supercadru T_{SF} minus această durată minimă se obține durata care se ia în calcul pentru perioada de timp necurențială. Valoarea minimă a perioadei concurențiale, T_{cp-min} , include timpul minim necesar transmiterii unui cadru. În afară de acest minim trebuie prevăzută și posibilitatea măririi duratei cadrului (stretching). După un schimb de semnale de tip cerere de trimitere/ștergere (RTS-CTS) schimbate între intervalele de cadre de scurtă durată corespondente (SIFS), este trimisă o unitate de servire date (SDU) de dimensiune maximă, în perioada de prelungire, ca un flux continuu de fragmente fără erori fără necesitatea de a fi trimise înapoi.

Toate fragmentele și confirmările ACK, sunt trimise doar cu intervale SIFS între ele. Fiecare fragment este confirmat. T_{max} este intervalul de trimitere a unui SDU (Service Data Unit) de dimensiune maximă. Pentru a calcula numărul maxim de apeluri avem:

$$T_{cp} = T_{cp-min} + T_{cp-stretch}, \text{ unde} \quad (3.32)$$

$$T_{cp-min} = 2T_{sifs} + 2T_{slot} + 8T_{ack} + T_{max} \quad (3.33)$$

$$T_{cp-stretch} = T_{rts} + 2T_{sisf} + T_{cts} + T_{max} \quad (3.34)$$

$$T_{max} = (m - 1) \left(\left[\frac{f + h + P}{R} \right] + T_{ack} + 2T_{sisf} \right) + T_{last} \quad (3.35)$$

Unde
$$m = \left\lceil \frac{S_{maxSDU}}{f} \right\rceil \quad (3.36)$$

și
$$T_{last} = \frac{S_{maxSDU} - f(m - 1) + h + P}{R} + T_{ack} + 2T_{sisf} \quad (3.37)$$

Pentru a calcula numărul maxim de apeluri vocale care pot fi admise, am împărțit timpul scurs pentru o perioadă de neconcurențialitate la mediu (CFP), după ce a fost acceptată mărirea duratei de acces la mediu (CP) și supraîncărcarea cadrelor de balizaj și a semnalelor de sfârșit acces la mediu, la timpul necesar pentru un apel VoIP. În cazul unei perioade de acces la mediu lungi, perioada de inactivitate (CFP) este scurtată pentru ca numărul de cadre de balizaj (beacon) să fie $(T_{SF} - T_{CP})/T_b$. Astfel numărul maxim de apeluri care pot fi admise utilizând modul de transmisie cu rată constantă (CBR) este:

$$Np = \frac{T_{SF} - T_{CP} - T_{ovhd}}{T_v}, \text{ unde} \quad (3.38)$$

$$T_{ovhd} = \left(\frac{B+P}{R} + T_{sisf} \right) \cdot \left[\frac{T_{sf} - T_{cp}}{T_b} \right] + \frac{CF_{end} + P}{R} \quad (3.39)$$

Pentru modul de funcționare cu transmitere cu rata de timp variabilă (VBR), am calculat numărul maxim de apeluri pentru două modele de voce: modelul Brady's și Zebo's [39]. Ambele modele sunt ON-OFF Markov-Modulated-Fluid (MMF), unde în starea ON datele sunt generate cu rata codec-ului de voce. Cele două modele diferă prin timpul mediu de așteptare al celor două stări, așa cum se arată în tabelul 4.

Tabelul 4. Modele Vocale

Mod	Perioada Medie ON	Perioada Medie OFF	p
Model Brady's [39]	1 sec	1.35 sec	0.43
Model May and Zebo [39]	352ms	650ms	0.35

Prin admiterea mai multor apeluri vocale am demonstrat statistic că pierderile vor fi mai mici decât numărul ϵ . N_s este dat de (3.38)

$$\frac{1}{2pN_s} \sum_{k=2N_p-1}^{2N_s} (k - 2N_p) \left(\frac{2N_s}{k} \right) p^k (1-p)^{2N_s-k} \leq \epsilon \quad (3.40)$$

unde p este probabilitatea ca un dispozitiv de trimitere să fie activ. Ecuația (3.38) se bazează pe presupunerea că, dacă un apel vocal nu este interogată într-un supercadru este mai bine să fie distrus, decât să fie transmis în supercadru următor din considerente de întârziere.

3.5.4. Calculul întârzierii

Pentru calculul întârzierii acumulate pe parcursul transmiterii unui pachet am ales o schemă cu o informare completă pentru intervalul de timp (CTI), iar pentru transport protocolul de transport în timp real (RTP). Un receptor folosește întârzierea rezultată pe parcursul transmiterii mesajului la reconstruirea acestuia. Întârzierea acumulată trebuie să fie cât mai mică posibil. Mai întâi precizez că întârzierea trebuie să fie diferența maximă posibilă a întârzierii între două pachete, Fig.3.11.

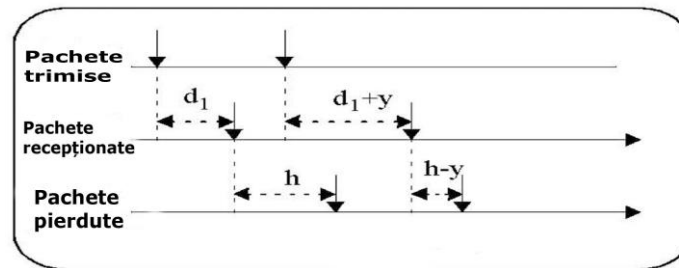


Fig.3.11. Calculul întârzierii

De exemplu, primul pachet presupunem că are nevoie de un timp d_1 secunde (necunoscut) până ajunge la destinație și d , întârzierea totală acumulată de la împachetare și până la receptor, care trebuie să fie în intervalul $d_{min} \leq d \leq d_{max}$. **În baza calculului teoretic și a experimentelor în această lucrare am oferit o soluție de determinare a timpului de menținere a acestui prim pachet la receptor înainte de a fi decodat.** Să presupunem că acesta ar fi h după cum se arată în Fig. 3.11. Astfel, întârzierea totală a primului pachet este d_1+h . Dacă al doilea pachet a avut nevoie de d_1+y secunde (unde y este cunoscut prin intermediul amprentei de timp relative), atunci acest pachet ar trebui să fie întârziat cu $h-y$ secunde, astfel încât să aibă aceeași întârziere totală d_1+h ca primul pachet de date, $h-y \geq 0$, ceea ce înseamnă cea mai mică valoare a lui h este egală cu valoarea maximă a lui y . Valoarea maximă a lui y este $d_{max}-d_{min}$ și prin urmare întârzierea acumulată este setată la valoarea jitter-ului. Chiar dacă $y < 0$, acest rezultat se menține. În această secțiune, voi stabili valoarea jitter-ului pentru pachetele de voce ale acestei soluții.

Pentru a determina jitter-ul, este necesar să se identifice modul în care cele două capete ale unui apel vocal sunt introduse pe lista de interogare. De exemplu, dacă un apel, să zicem A, are două capete A1 și A2, A1 este introdus pe lista de interogare imediat urmat de A2. Pachetele de la A1 la A2 au întârzieri mici, deoarece în răspunsul primit de la A2 se indică faptul că datele pot fi livrate imediat. Cu toate acestea, pachetele de la A2 la A1 vor avea o întârziere mai mare. În modul CBR, toate apelurile vor avea aceeași întârziere. Întârzierea se calculează în două direcții $k1 \rightarrow k2$ și $k2 \rightarrow k1$, presupunând că sfârșitul lui $k1$ este pus pe lista de interogare înainte de sfârșitul $k2$.

$$P_{min} + \frac{T_v}{2} \leq D_{k1 \rightarrow k2} \leq P_{min} + T_{SF} + \frac{T_v}{2} \quad (3.41)$$

Cel mai bun caz este cel în care un pachet scurt este creat în intervalul de timp $P_{min}=30$ ms și întârzierea acumulată se termină înainte de o nouă interogare. Având în vedere că în modul de transmisie cu rată constantă CBR, chiar dacă pachetul este scurt, timpul alocat pentru emisie și răspuns este $T_v/2$. Propagarea de întârziere este neglijată, dacă durata legăturii radio este scurtă.

Limita superioară am determinat-o plecând de la faptul că o interogare tocmai a pierdut crearea unui pachet de voce (P_{min}). Terminalul $k1$ așteaptă un interval T_{SF} pentru o nouă interogare (acesta include și perioada de prelungire). La următoarea interogare, atunci când terminalul $k1$ trimite pachetul de date, acesta este livrat

imediat terminalului k2. Timpul de transmisie este $T_v/2$. În direcția opusă, k2->k1 întârzierea va fi mai mare. Această întârziere este delimitată de

$$P_{min} + T_{SF} - T_{cp-stretch} \leq D_{k2 \rightarrow k1} \leq P_{min} + 2T_{SF} \quad (3.42)$$

Limita inferioară este stabilită din nou, luând în calcul întârzieri mici ale pachetelor. În continuare, în cel mai bun caz, nu va fi nici o perioadă de prelungire, caz în care, intervalul de timp pentru terminalul k2 este $T_{SF} - T_{cp-stretch}$. Terminalul k1 va fi interogată mai repede cu intervalul $T_v/2$ față de terminalul k2, la cea de-a doua interogare. Aceasta înseamnă că intervalul de timp pentru interogarea celor două terminale k1 și k2 este de $T_{SF} - T_{cp-stretch} - T_v/2$. Timpul de transmisie adaugă $T_v/2$.

Limita superioară este atinsă atunci când o interogare a pierdut timpul alocat (P_{min}). Aceasta este urmată de un interval de așteptare T_{SF} pentru următoarea interogare a terminalului k2. Aceste date așteaptă apoi un alt interval de timp $T_{SF} - T_v/2$ pentru a fi livrate terminalului k1 în următorul supercadru. Timpul de transmisie este $T_v/2$.

Având în vedere valorile jitter-ului (întârziere maximă-întârziere minimă) pentru cele două direcții ale apelului vocal, punctul de acces poate determina întârzierea pentru fiecare terminal implicat. Astfel valoarea maximă a întârzierii totale pentru ambele direcții este dată de (3.43) și (3.44):

$$TD_{k1 \rightarrow k2}^{max} = D_{k1 \rightarrow k2}^{max} + (D_{k1 \rightarrow k2}^{max} - D_{k1 \rightarrow k2}^{min}) \quad (3.43)$$

și

$$TD_{k2 \rightarrow k1}^{max} = D_{k2 \rightarrow k1}^{max} + (D_{k2 \rightarrow k1}^{max} - D_{k2 \rightarrow k1}^{min}) \quad (3.44)$$

unde valorile max sunt limitele superioare, ale ecuațiilor 3.39 și 3.40, iar min sunt limitele inferioare ale aceluiași ecuații.

Deoarece apelurile pleacă, un apel programat pe lista de interogare într-o anumită poziție k, poate fi deplasat în sus în listă pentru a aduce toate apelurile vocale în faza de perioadă neconcurențială. Acest lucru ar crește timpul disponibil pentru perioada de acces la mediu.

Întârzierile acumulate la receptor și datorate tranziției vor trebui să fie gestionate prin semnalizări corespunzătoare.

Pentru modul de funcționare cu rată de timp variabilă (VBR), calculul întârzierilor este mult mai complex, deoarece în cazul unei pauze din cadrul apelului, un alt apel vocal sau alte pachete de date, pot profita de lipsa de semnal. Acest lucru face ca perioada să poată varia foarte mult și să fie chiar mai mare decât T_{SF} (spre deosebire de cazul CBR, când durata unei interogări este maximum T_{SF}). Trei factori controlează întârzierea: valoarea T_{SF} , poziția apelului în lista de interogare și numărul de apariții ale unui apel într-un supercadru. Pentru apelurile care au ca destinație terminale de tip ATM/IP, intervalul de timp al cererii unui utilizator dintr-o rețea fără fir pentru o poartă destinată apelurilor vocale, trebuie să fie păstrat cât mai mic.

3.6. Rezultate experimentale

Pentru a asigura funcționarea optimă a punctelor de acces și a stațiilor mobile este necesară inițializarea unor variabile de management a bazei de informații (MIB). Câteva variabile relevante pentru managementul bazei de informații (MIB) sunt: dot11CFPPeriod, dot11CFPMAxDuration și dot11BeaconPeriod.

dot11CFPPeriod este valoarea intervalului de repetiție (supercadru). În lucrarea [39] am specificat minimul perioadei CFP ca având valoarea:

$$T_{cfp-min} = T_B + T_{CF-end} + 3T_{sifs} + (T_V / 2) \quad (3.45)$$

unde $T_V / 2$ este timpul necesar pentru a trimite un pachet de voce și a primi răspuns. Dacă adun relația (3.45) cu T_{cp-min} dată de relația (3.33) obținem

$$T_{SF-min} = T_{cfp-min} + T_{cp-min} \quad (3.46)$$

Durata supercadruului am ales-o astfel încât $T_{SF} \geq T_{SF-min}$. Perioada de repetiție a intervalului dot11CFPPeriod este cunoscută a fi $T_{SF} - T_{cp-stretch}$, astfel că punctul de acces poate câștiga acces la mediu pentru perioada de neconcurență la sfârșitul intervalului de repetiție a acestei perioade. Prin aceasta durata supercadruului include și timpul de prelungire (stretching).

Numărul maxim de supercadre este de fapt un compromis între numărul de apeluri pentru care a fost proiectată rețeaua și constrângerile legate de întârzierile pachetelor de voce.

Având setată perioada de neconcurențialitate CFP, am stabilit valoarea variabilei dot11CFPPeriod la valoarea dot11CFPMaxDuration minus T_{cp-min} .

Dot11BeaconPeriod, intervalul de timp între 2 cadre de balizaj consecutive transmise de punctele de acces este egal cu variabila dot11CFPPeriod. Aceasta limitează numărul de cadre de balizaj generate în cadrul unei perioade de neconcurență la mediu la 1, reducând astfel depășirea capacității acestora.

În continuare am determinat valorile numerice pentru diferiți parametri descriși până în prezent, numărul maxim de apeluri utilizate în algoritmul CAC (Connection Admission Control) pentru punctele de acces și întârzierea totală în modul de transmisie cu rată constantă. Tabelul 3 prezintă valorile anumitor parametri necesari pentru setările variabilei pentru managementul bazei de informații MIB. Acestea sunt determinate atât pentru viteze de 2 Mbps cât și 11 Mbps.

Tabelul 5. Valori ale parametrilor pentru inițializarea variabilei MIB (ms)

Viteza de transmisie (R) Mbps	T_{cp-min}	$T_{cp-stretch}$	T_{SF-min}
2	11,9	10,7	14,9
11	4,4	3,2	5,8

Fig. 3.12. arată numărul maxim de apeluri vocale, care pot fi efectuate în cazul transmisiei cu rată de biți constantă pentru fluxuri de 2 Mbps și 11 Mbps, pentru două valori ale pragului de fragmentare

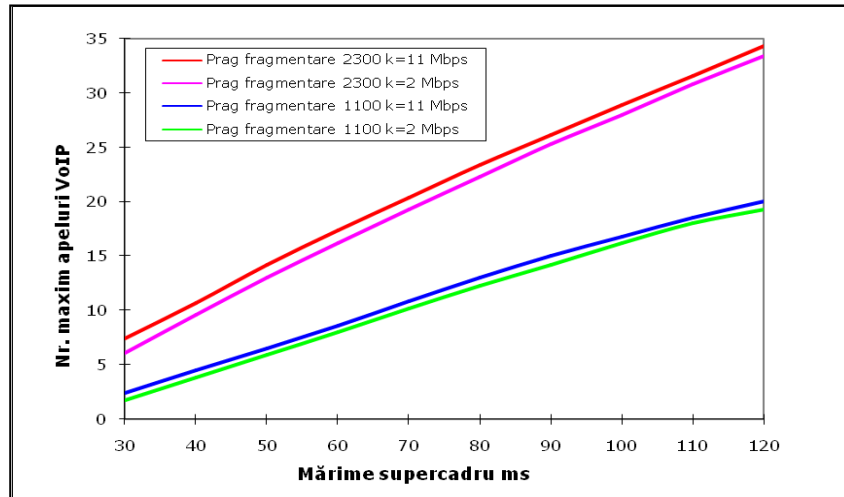


Fig.3.12. Numărul maxim de apeluri

De exemplu, pentru durata supercadruului de 90 ms, pot fi admise 14 respectiv 26 apeluri într-o rețea locală (LAN) de 2 Mbps respectiv 11 Mbps. Am observat că pragul de aplicare al fragmentării nu are un efect semnificativ asupra numărului maxim de apeluri vocale, care pot fi admise pentru fragmente care utilizează dimensiuni relativ mari, Fig.3.12. Tabelul 6 compară numărul maxim de apeluri admisibile în modul CBR (N_p) și VBR mod (N_s) utilizând atât modelul Brady cât și modelele de voce Zebo pentru supercadre de 75 ms și 90 ms. Cu astfel de mărimi ale supercadrelor, presupunerea că un pachet ar trebui declarat pierdut dacă nu a servit într-un supercadru se menține.

Tabelul 6. Numărul maxim de apeluri vocale B (model Brady), MZ (May and Zebo)

T_{SF} (ms)	FH (2Mbps)			DS (11Mbps)		
	N_p	N_s (B)	N_s (MZ)	N_p	N_s (B)	N_s (MZ)
75	12	22	27	22	41	51
90	14	26	32	27	52	65

Având în vedere că modul de transmisie cu rată variabilă (VBR) exploatează pauzele dintr-o convorbire, dimensiunea maximă a unui pachet de voce este mai mare decât valoarea $c^*(T_{SF}+P_{min})$ pe care am presupus-o. De asemenea, în timp ce numărul maxim de apeluri care poate fi efectuat în modul VBR este aproximativ dublu față de cele ce pot fi efectuate în modul CBR, întârzierile sunt mai mari în modul VBR. Întârzierile pentru ambele direcții $k1 \rightarrow k2$ și $k2 \rightarrow k1$, pentru ambele fluxuri, 2 Mbps și 11 Mbps, sunt prezentate în Fig. 3.13.

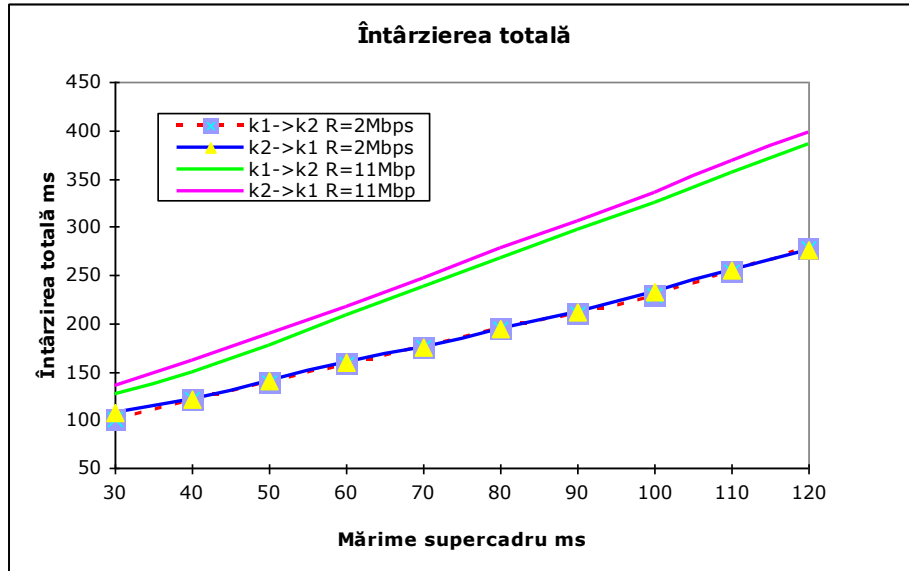


Fig.3.13. Întârzierea totală

De exemplu, în cazul în care este utilizată o dimensiune de supercadru de 90 ms, întârzierile totale de 121 și 303 ms se vor reflecta în sensurile de la $k1 \rightarrow k2$ și $k2 \rightarrow k1$, pentru această porțiune de apel vocal a standardului IEEE 802.11 (într-un LAN de 11 Mbps).

3.7. Analiza erorilor în protocolul MAC 802.11

Protocolul MAC 802.11 retransmite datele pentru a gestiona erorile din ambele moduri PCF și DCF. Cu toate acestea, retransmisia este de obicei evitată pentru traficul în timp real, datorită constrângerilor impuse de întârzieri. În această lucrare voi argumenta necesitatea unei forme de corecție a erorilor pentru traficul de voce. Această analiză ia în considerare cele două modele de atenuare a erorilor. Ambele sunt de tipul unor lanțuri Markov cu două intervale de timp continuu, după cum se arată în Fig. 3.14 [39]. Parametrii pentru cele două modele sunt prezentate în tabelul 6.

Tabelul 7. Parametrii pentru simulare modele de eroare

Model	BER_G	BER_B	α	λ
1	10^{-10}	10^{-5}	10/sec	30/sec
2	10^{-4}	10^{-2}	20/sec	10/sec

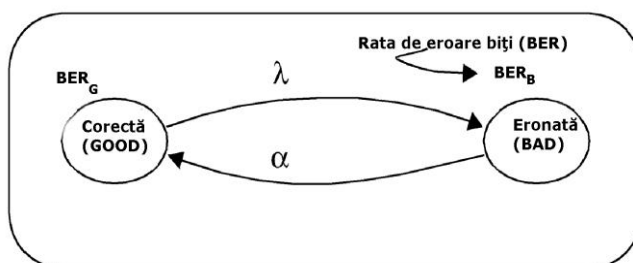


Fig.3.14. Model de canal pentru rețele fără fir

Primul model de eroare utilizat pentru a caracteriza atenuarea de semnal este prezentat în Fig.3.14, [39]. Al doilea model este mai realist, cu o rată de eroare a biților mai mare. Timpul de menținere este estimat grosier.

Timpul necesar pentru a transmite un pachet de voce cu informații utile de v biți este dat de ecuația de mai jos

$$T_{v-pkt} = \frac{(v + h + P)}{R} \quad (3.47)$$

Sunt posibile trei cazuri:

Cazul 1: Când începe transmiterea unui pachet de voce canalul este în stare bună și nu există nici o tranziție înainte de a se termina transmisia;

Cazul 2: Când începe transmiterea unui pachet de voce canalul nu este în stare bună și nu există nici o tranziție înainte de a se termina transmisia;

Cazul 3: Toate celelalte posibilități; începe transmiterea unui pachet de voce canalul fiind în stare bună sau nu și există una sau mai multe tranziții înainte de a se termina transmisia.

Utilizând proprietatea distribuției exponențiale de a nu ține cont de evenimente trecute și neglijând întârzierea de propagare, probabilitățile din cele trei cazuri pot fi derivate astfel:

$$p_{caz1} = p_G P(G > T_{v-pkt}) = \frac{\alpha}{\alpha + \lambda} e^{-\lambda T_{v-pkt}} \quad (3.48)$$

$$p_{caz2} = p_B P(B > T_{v-pkt}) = \frac{\alpha}{\alpha + \lambda} e^{-\lambda T_{v-pkt}} \quad (3.49)$$

$$p_{caz3} = 1 - p_{caz1} - p_{caz2} \quad (3.50)$$

unde p_G și p_B sunt probabilități de începere a unei transmisii de pachete în cazul în care canalul este în stare bună sau rea și sunt date de:

$$p_G = \frac{\alpha}{\alpha + \lambda} \quad p_B = \frac{\lambda}{\alpha + \lambda} \quad (3.51)$$

Probabilitatea de eroare a pachetelor pentru cele cazuri este aproximată de:

$$\varepsilon_{caz1} = 1 - (1 - BER_G)^{(v+h+P)} \quad (3.52)$$

$$\varepsilon_{caz2} = 1 - (1 - BER_B)^{(v+h+P)} \quad (3.53)$$

$$\varepsilon_{caz2} \leq \varepsilon_{caz3} \quad (3.54)$$

Combinând probabilitățile din cele trei cazuri, date de relațiile (3.40) la (3.42), cu probabilitatea de eroare a pachetelor, în cele trei cazuri, rezultă probabilitatea totală de eroare a pachetelor conform inegalității de mai jos:

$$p_e \leq \left(p_{caz1} \varepsilon_{caz1} + p_{caz2} \varepsilon_{caz2} + p_{caz3} \varepsilon_{caz3} \right) \quad (3.55)$$

Cazul cel mai dezavantajos este cel în care rata de eroare este cea mai mare iar toți biții sunt supuși BER_B .

În modul de transmisie CBR mărimea cea mai mare a pachetelor este dată de:

$$v = c(T_{SF} + P_{min}) \quad (3.56)$$

Fig.3.15. reprezintă limita superioară a probabilității p_e față de T_{SF} pentru modelele de eroare 1 și 2.

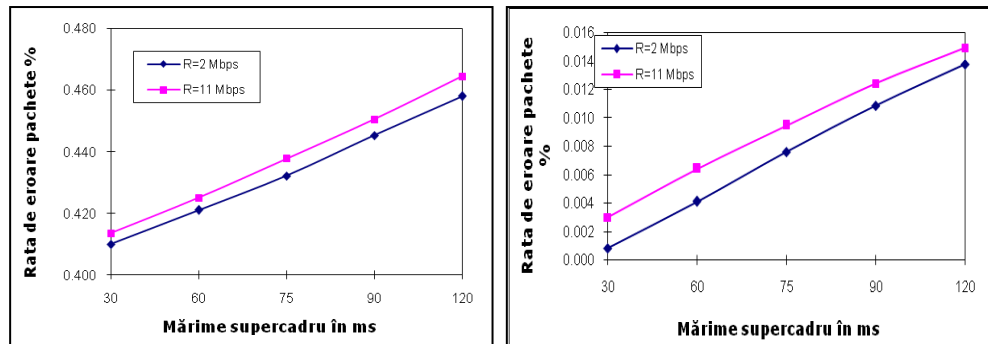


Fig.3.15. Rata de eroare a pachetelor

Rețeaua de 11 Mbps prezintă o rată de eroare mai mare a pachetelor, chiar dacă timpul de transmisie al pachetelor ar fi de așteptat să fie mai scurt datorită ratei mai mari a datelor. Acest lucru se datorează faptului că pachetele care folosesc transmisia prin spectrul cu secvență directă DS (direct sequence) au un preambul mai mare decât cele prin FHSS (frequency hopping).

Pentru T_{SF} egal cu 90 ms, avem o rată de eroare a pachetelor de aproximativ 10^{-2} pentru modelul 1 și 0.44 pentru modelul 2, fapt ce se poate observa chiar din grafice. Pentru voce, cu o toleranță de pierdere de 10^{-3} , aceste rate de erori sunt mari. Acest lucru indică necesitatea corecției erorilor.

3.8. Concluzii

Deoarece capabilitatea funcției de coordonare prin punct (PCF) a protocolului MAC al standardului IEEE 802.11 de a transporta trafic telefonic a fost mai puțin analizată, în acest capitol am prezentat o cercetare referitoare la acest aspect. **Folosind o conexiune cu un algoritm pentru controlul admiterii care să gestioneze numărul de apeluri vocale admise pe lista de interogare, rețeaua poate asigura întârzieri garantate. Cel mai simplu mod de funcționare al unui LAN în timpul funcției de coordonare distribuită (PCF) este cel cu o rată constantă de biți (CBR).** În acest mod, dacă de la un utilizator vocal nu există semnal, timpul alocat nu este repartizat unei alte convorbiri sau pentru un transfer de date. Evident, acest lucru limitează numărul de apeluri care pot fi admise, dar în realitate limitează jitter-ul de întârziere și prin aceasta întârzierea maximă admisă, modul CBR permițând un număr rezonabil de apeluri care urmează să fie efectuate. De exemplu, cu o viteză de 11 Mbps într-un LAN IEEE 802.11 pot fi admise 26 apeluri vocale, în cazul în care dimensiunea supercadrului este de 90 ms, la o întârziere maximă de 303 ms. De asemenea, în acest mod, apelurile vocale cu timpi de întârziere diferiți (de exemplu, apeluri intra-LAN sau apeluri către utilizatorii din rețelele fixe (PSTN) către telefoane VoIP) pot fi posibile prin modificarea numărului de prezență al apelului într-o lista de interogare. De asemenea am făcut o analiză a erorilor, care indică faptul că pachetele de voce pot avea o rată mare de eroare, fapt ce impune retransmisia datelor.

Tot în acest capitol am prezentat și un studiu axat pe propunerea unui nou contor adaptiv pentru retransmisie, care este reglabil la dimensiunea pachetelor de semnalizare implicate în stabilirea unei sesiuni de apel vocal. Folosind un model analitic, am evaluat timpul mediu necesar sesiunii de configurare SIP în funcție de rata de eroare (FER) a legăturii radio și de puterea de procesare a serverelor și sursa/destinația terminalelor (cozile de așteptare). Alegerea protocolului datagramă (UDP) sau TCP pentru transportul mesajelor SIP influențează sesiunea de inițializare pentru o rată de eroare a cadrelor (FER) mai mare de 2 %. Folosirea UDP în loc de TCP poate reduce sesiunea de inițializare cu 10 % pentru erori ale cadrelor mai mari de 4 %.

Mecanismele de retransmisie de la nivelul straturilor inferioare, cum ar fi protocolul pentru legături radio RLP, îmbunătățesc considerabil întârzierile sesiunii de inițializare. În medii cu rată de eroare mare, întârzierea sesiunii de inițializare pentru protocolul pentru legături radio rămâne mică (4-7s).

RLP(1,2,3) surclasează RLP(1,1,1 ,1,1,1) numai pentru rate ale erorilor mai mari de 3-4 %. **Cu ajutorul contorului adaptiv pentru retransmisie, SIP prezintă întârzieri mai mici decât H.323 pentru rate de erori mai mari de 2%. Pentru rate de erori mai mici sau egale cu 2% protocolul H.323 este mai performant decât SIP datorită contorului adaptiv pentru retransmitere, ajustabil cu mărimea mesajului. Prin urmare, contorul adaptiv pentru retransmitere este eficient în general pentru optimizarea performanțelor protoalelor de semnalizare.** Performanța SIP folosind contorul adaptiv pentru retransmitere ar putea fi îmbunătățită suplimentar și prin utilizarea unor sisteme de compresie, pentru a reduce mărimea mesajelor SIP. De asemenea, mecanisme de corecție a erorilor ar putea îmbunătăți performanța timpului de inițializare al unei sesiuni VoIP prin corecția mesajelor SIP și evitarea retransmisiilor pe legătura fără fir.

4. SOLUȚII PENTRU ASIGURAREA SECURITĂȚII ÎN REȚELELE WIRELESS

O comunicație sigură între două părți, printr-un mediu nesigur așa cum este Internet-ul este una dintre cele mai importante probleme de securitate.

Pachetele de date conținând informații legate de transmiterea vocii în timpul unui apel VoIP sunt rutate, în general, nesecurizat prin rețeaua publică de telecomunicații fixă sau mobilă. Există software care poate capta, reconstrui și/sau modifica aceste apeluri.

Standardul IEEE 802.11 oferă suport limitat de confidențialitate, prin utilizarea protocolului cu cheie partajată preluat din rețelele fixe (Wired Equivalent Privacy WEP), care conține erori semnificative în proiectare [35].

Datorită faptului că rețelele fără fir pot oferi puncte de acces în rețea pentru orice intrus (dincolo de nivelul fizic și dincolo de controalele de securitate ale organizației), se impun măsuri de securitate sporite care să evite astfel de situații. Prin limitarea conexiunilor externe la câteva, bine securizate, se poate asigura o protecție mai bună. Din păcate, desfășurarea traficului printr-o rețea fără fir permite unui atacator accesul fizic în afara perimetrului de securitate al unei organizații. Ca rezultat, un atacator poate pune în aplicare un atac de tip "parking lot" ca în Fig.4.1, adică atacatorul stă în exteriorul clădirii, în așa numita "parcare-parking lot" și accesează gazdele (host) din intranet. Acest tip de atac este acela în care un intrus încearcă să înregistreze și să observe traficul de rețea din afara perimetrului unui imobil, în scopul de a fura informații sensibile și de valoare.

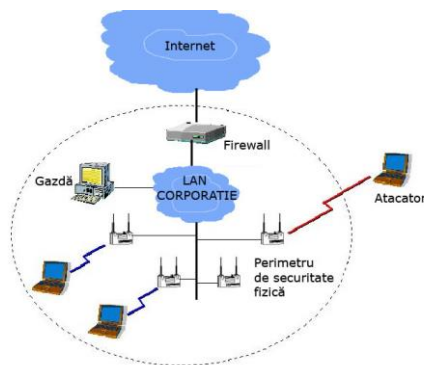


Fig.4.1. Atacul prin ascultare din exteriorul unei clădiri [26]

Pornind de la necesitatea de a asigura securitatea datelor în sistemele care utilizează rețelele fără fir ca suport pentru transmiterea VoIP, în acest capitol, sunt prezentate două contribuții care conduc la îmbunătățirea securității și mobilității aplicațiilor VoIP. Prima contribuție vizează un software pentru securitatea și mobilita

tea sistemelor VoIP, iar cea de-a doua contribuție implementează un sistem criptografic pentru o comunicație sigură client-server.

Capitolul este structurat în cinci paragrafe. În primul paragraf sunt prezentate succint principalele probleme ale VoIP, protocoalele existente și măsurile de securitate care ar trebui luate pentru o comunicație sigură. Paragraful 4.2 descrie standardul IEEE 802.11. Este prezentată o imagine de ansamblu a securității standardului IEEE 802.11 și a extinderii mecanismelor de control al accesului.

Expunerea motivelor alegerii IAX ca și protocol pentru o transmisie sigură VoIP este prezentată în paragraful 4.3. În paragraful 4.4 este dezvoltat un sistem care utilizează diverse moduri de criptare pentru a determina care este cel mai adecvat pentru a asigura atât calitatea apelului cât și utilizarea cât mai redusă a resurselor procesorului. Paragrafele 4.5 prezintă o aplicație particulară a utilizării serviciilor VoIP, distribuția multiplă a vocii cu mai multe salturi. În paragrafele 4.6-4.9 sunt investigate avantajele unei distribuții multiple a vocii în cazul conferințelor cu mai mulți participanți, aflați în locații diferite. Sunt analizate limitările datorate transmisiei prin mai multe puncte cu stații ascunse. Concluziile capitolului sunt incluse în paragraful final.

4.1 Securitatea VoIP

Pachetele de date conținând informații legate de transmiterea vocii în timpul unui apel VoIP sunt rutate, în general, nesecurizat prin rețeaua publică de telecomunicații fixă sau mobilă. Există software care poate capta, reconstrui și/sau modifica aceste apeluri. Standardele VoIP oferă numeroase oportunități de implementare a unor softuri care să permită hackerilor interceptarea conversațiilor cum ar fi:

- ascultarea și înregistrarea apelurilor telefonice;
- urmărirea apelurilor;
- furtul de informații confidențiale;
- modificarea apelurilor telefonice;
- efectuarea de apeluri telefonice gratuite;
- trimiterea de spam (voce sau e-mail).

În acest moment există pe piață mai multe standarde VoIP (SIP, IAX și H.323) și foarte puține standarde de securitate disponibile pentru ele. Instalarea standard a VoIP, folosind protocoalele SIP, H.323 sau IAX nu oferă nici un fel de securitate pentru traficul de voce. Pentru a evita acest lucru, este necesar să se adauge o formă de protecție, cum ar fi criptarea, la nivel de rețea sau de transport. Pentru transmisia sigură a VoIP prin rețelele fără fir ar trebui ca fiecare strat de rețea să aibă mecanisme care să asigure securitatea informațiilor. Dispozitivele VoIP ar trebui de asemenea securizate, rețeaua ar trebui izolată, traficul criptat, precum și introducerea unor sisteme de detecție a intrușilor [21]. Incorporarea de sisteme de securitate la fiecare nivel de rețea, ar face mult mai dificil succesul hackerilor. Astfel, crearea unei breșe de securitate la un nivel al rețelei nu va expune întreaga rețea. Vor fi necesare mai multe breșe pentru a compromite sistemul de protecție al rețelei.

Este esențial ca astfel de soluții să fie integrate în VoIP-ul standard. Deoarece protocoalele VoIP utilizează deja opțiuni de negociere pentru a stabili parametrii de apel (de exemplu codec-uri), este rezonabil ca parametrii de securitate să poată fi stabiliți în mod asemănător.

Pentru a oferi servicii VoIP pe dispozitive mobile, este necesar să se ia în considerare restricțiile impuse de sistemele fără fir. Dispozitivele mobile au limitată

puterea de procesare, durata de funcționare (depind de acumulator), de memorare, de stocare, de conectivitate la rețea și performanță.

4.2 Soluții de securitate pentru rețelele fără fir

Rețelele fără fir funcționează în una din cele două moduri ad-hoc sau infrastructură. Standardul IEEE 802.11 definește modul ad-hoc, ca set de servicii de bază independente (Independent Basic Service Set-IBSS) și modul infrastructură ca Set de Servicii de Bază (Basic Service Set BSS). În modul ad-hoc, fiecare client comunică direct cu alți clienți din cadrul rețelei, a se vedea Fig.4.2. Modul ad-hoc este conceput astfel că numai clienții din aceeași celulă pot comunica între ei.



Fig.4.2 a) Exemplu de rețea ad-hoc b) Exemplu de infrastructură de rețea

În cazul în care un client dintr-o rețea ad-hoc, dorește să comunice în afara celei, un membru al celei trebuie să funcționeze ca o poartă și să efectueze rutarea. În modul infrastructură, fiecare client trimite toate informațiile de comunicații la o stație centrală sau punct de acces (AP). Punctul de acces acționează ca o punte de legătură Ethernet și redirectionează comunicațiile la o rețea apropiată fixă sau mobilă, a se vedea Fig.4.2.

Înainte de a comunica date, clienții rețelelor mobile și punctele de acces trebuie să stabilească o relație sau o asociere. Numai după ce o asociere este stabilită cele două stații de radio pot face schimbul de date. În modul infrastructură, clienții sunt asociați punctelor de acces. Procesul de asociere este un proces care implică trei stări:

1. neautentificat și neasociat;
2. autentificat și neasociat;
3. autentificat și asociat.

Pentru a tranzita între stări, părțile care comunică fac un schimb de mesaje numit management de cadre. Un client al rețelei fără fir va căuta și va fi asociat unui punct de acces. Toate punctele de acces transmit un cadru de management pentru ascultare, la intervale fixe de timp. Pentru a se asocia cu un punct de acces și a se alătura unei BSS, un client ascultă mesajele din rețea până identifică cadrul de date ce conține informații legate de punctul de acces în a cărui rază de acoperire intră. Clientul selectează BSS pentru a se alătura într-o manieră independentă. De exemplu la rețele de tipul Apple-Macintosh, toate numele de rețea (sau set de servicii de identificare SSID), sunt, de obicei, conținute în cadrul de balizaj și sunt prezentate utilizatorilor, astfel încât aceștia să poată alege rețeaua la care să se alăture. Un client poate, de asemenea, trimite un cadru de balizaj pentru a găsi un punct de acces afiliat cu un SSID dorit. După identificarea unui punct de acces, clientul și punctul de acces vor efectua o autentificare prin schimbul reciproc de mai multe cadre de management, ca parte a procesului. După succesul autentificării, clientul tre-

ce în cea de-a doua stare, autentificare și neasociere Trecerea de la cea de-a doua stare la cea de-a treia și finală, autentificare și asociere, presupune ca, clientul să trimită un cadru de cerere de asociere, iar punctul de acces să răspundă cu un cadru de asociere. După ce se parcurg pașii descriși mai sus, conform procesului descris anterior, clientul devine parte a rețelei fără fir, și poate transmite cadre de date prin rețea.

Standardul IEEE 802.11 oferă mai multe mecanisme pentru un mediu de operare sigur cum ar fi cele descrise mai jos [65]:

4.3. Alegerea protocolului IAX ca și soluție pentru securitatea VoIP

Au fost mai multe încercări de securizare a serviciilor oferite de protocoalele VoIP, dar, din păcate, au existat următoarele probleme:

- sunt complicate pentru a fi implementate și menținute;
- se bazează pe soluții oferite de una sau un grup restrâns de firme care își arogă drepturi de proprietate asupra lor, iar orice altă variantă nu este compatibilă cu cea furnizată;
- au nevoie de existența unei infrastructuri pentru cheile publice Public Key (PKI) și/sau alte resurse;
- probleme de rutare la trecerea prin translatarea adreselor de rețea NAT.

Inter-Asterisk Exchange Protocol (IAX) este un nou protocol care a fost dezvoltat pentru softul open source al centralelor PABX (Centrale telefonice de abonat) cunoscut sub numele de Asterisk [66]. Acest protocol a fost creat ca o alternativă de semnalizare la protocolul SIP și H.323. În prezent câștigă tot mai mult teren pe piața VoIP și promite o spectaculoasă ascensiune în viitorul apropiat. Principalele caracteristici ale IAX sunt [66]:

- se poate optimiza foarte bine, funcție de cerințele existente ale VoIP;
- eficiență superioară față de H.323 și SIP pentru traficul VoIP;
- utilizează eficient lățimea de bandă atât pentru semnalizare cât și pentru transferuri mass-media;
- suport nativ pentru tehnologia de translație a adreselor de rețea (Network Address Translation-NAT). Are capacitatea de a partaja un singur număr de port și de a transfera toate datele printr-un port UDP cunoscut;
- protocol unic de transfer mass-media. Toate apelurile de semnalizare pentru informații, secvențiere și temporizare sunt incluse în cadrele IAX transferate;
- scris într-o manieră ușoară;
- proiectat pentru a fi ușor de pus în aplicare;
- poate fi folosit cu orice tip de flux media de date (inclusiv video).

Inter-Asterisk eXchange (IAX) este un protocol IP care transportă fluxuri de date media. Pentru a inițializa o conversație între doi utilizatori via IP, se folosește protocolul IAX ca metodă de transport semnal audio.

Pentru a crea un canal IAX a fost nevoie de inițierea unei comunicații IAX în fișierul de configurare `iax.conf`. În primul caz am inițializat pentru IAX parametrii globali, Fig.4.5.

```
[general]
port=4569 ; What port to bind to (4569 is the default for IAX2)
bindaddr=192.168.1.2; Which IP address on your server to bind to (if
; you have multiple NICs on your sever, you can
; restrict IAX2 to only one of them. 192.168.1.2 will
; allow it to work on all NICs in your system.
deny=all; You want to disallow the use of all audio
; codecs to ensure that
; your system won't tell the far end that it can
; support just any codec. Then, you specifically ALLOW
; the codecs that your system supports.
allow=alaw; The rest of the world's companding standard for G.711
```

Fig.4.5. Secvență stabilire canal comunicație

4.3.1. Definirea canalelor IAX

După ce am definit parametrii globali ai interfeței protocolului IAX spre exterior, am putut crea canalele IAX care sunt foarte flexibile și se pot conecta cu succes la orice tip de punct final. Deși nu este un protocol standard, este extrem de mult utilizat Fig.4.6. Mulți prevăd că IAX va înlocui SIP.

```
[general]
port=4569 ; What port to use
bindaddr=192.168.1.2; What IP address to bind to
allow=all; Allow the use of all audio codecs
register=> username:secret@kiax.com ;
replace username:secret with your credentials, kiax-out
type=peer; Allow connections out
username=username; TYour KiaxTel username
secret=password; Your secrepassword
deny=192.168.1.2/192.168.1.2; Not just anyone can be Kiax
permit=216.207.245.47/255.255.255.255 ; This is a server at Kiax
permit=69.73.19.178; This is a server at Kiax
[kiax-in]
type=user; Allow connections to come in
context=default ; Route calls to this context; in the dialplan
username=username; The IAX username
secret=password; The secret password
```

Fig.4.6. Secvența de cod de negociere conexiune Kiax și utilizator

După cum se vede sunt necesare 2 intrări pentru a putea comunica cu serviciile oferite de Kiax. Kiax este un serviciu VoIP de apel gratuit și este folosit ca su-

port de test pentru Asterisk și ca un sistem comun de comunicare. Prima schimbare care se observă este în secțiunea generală. Este o linie care îi spune KiAx unde este apelantul, iar apelurile către utilizatorul IAX trebuie rutate prin server-ul asterisc.

Sunt 2 tipuri diferite de conexiuni ale KiAx, una de tip pereche (peer) și alta de tip utilizator. Acest lucru permite să se poată decide dacă pentru apelurile de intrare se utilizează un server și pentru cele de ieșire alt server. Acest lucru este extrem de util atunci când se manipulează o rețea mare de servere Asterisk și este utilizat IAX pentru departajarea lor.

4.3.2. Securitatea IAX

S-a demonstrat că IAX este un protocol mult mai eficient față de SIP și H.323 atunci când rulează nesecurizat [66]. Noutatea care o prezintă această teză este inserarea unui modul de securitate suplimentar în softphon-ul KiAx pentru asigurarea securității la translatarea adreselor (NAT).

4.3.3. VoIP–considerații de calitate

Parametrii care sunt asociați în mod normal cu noțiunea de calitate sunt cunoscuți sub denumirea de caracteristicile de calitate ale serviciului. Datele care conțin informațiile de voce traversează o rețea cu, comutare de pachete. Prin aceasta se va produce un trafic la diferite nivele, necesitând astfel asigurarea anumitor indicatori de performanță operațională. Întârzierile, bruiatul și pierderea de pachete sunt folosite ca măsuri intrinseci ale QoS (Quality of Service) [65].

4.3.4. Codec-uri audio

Toate tehnologiile VoIP se bazează pe un codec care transformă semnalele analogice în semnale digitale sub formă de pachete de voce. Alegerea codec-ului este un compromis între calitatea vocii, puterea de procesare și cerințele de lățime de bandă. O selecție de codec-uri VoIP frecvent utilizate este dată în Tabelul 8 de mai jos [16]:

Tabelul 8. Comparație caracteristici codec-uri [16]

	Rata eșantionare (kHz)	Viteza de transmitere (kbps)	Multiplificare	VBR	PLC	Licența
Speex	8, 16, 32	2.15; 24.6;	Da	Da	Da	Sursa liberă/deschisă
iLBC	8	15.2; 13,3	Nu	Nu	Da	Sursa liberă/deschisă
AMR	8	4.75 or 12.2	Da	Nu	Da	Proprietar
G.729	8	8	Nu	Nu	Da	Proprietar
GSM	8	13	Nu	Nu	No	Patent
G.723.1	8	5.3 or 6.3	Nu	Nu	Da	Proprietar

	Rata eșantionare (kHz)	Viteza de transmitere (kbps)	Multiplificare	VBR	PLC	Licența
G.728	8	16	No	Nu	Nu	Proprietar

În scopul de a oferi siguranță transmiterii de date este necesar a se asigura confidențialitatea și autentificarea lor. Cu alte cuvinte, datele trebuie să fie sigure și să nu fie dezvăluite decât unei părți autorizate. Pentru a putea utiliza diferite codec-uri, algoritmii de criptare trebuie să fie capabili să suporte cadre de date cu informații utile transmise la o frecvență mare (aproximativ 30-100 octeți de 50 de ori pe secundă). Deoarece informația utilă este de lungime relative mică ar fi avantajos să se folosească o metodă de criptare care să nu crească dimensiunea datelor ce urmează a fi trimise. Orice creștere nesemnificativă a informației utile se va adăuga ca un plus la transmisie.

4.3.5. Clienți mobili

În această lucrare am realizat un client VoIP sigur, care să poate fi rulat pe un dispozitiv mobil, cum ar fi un PDA sau telefon inteligent. Deoarece nu există în prezent un client mobil IAX Open Source, adecvat pentru testare, am folosit un laptop. În tabelul de mai jos se compară un laptop cu dotare minimă cu un PDA de nivel înalt [40].

Tabelul 9. Comparatie CPU laptop și PDA

Nume dispozitiv:	IBM X30 Laptop	DellAxim X51PDA
Producător CPU:	Intel	Intel
Viteza CPU:	800 MHz	624 MHz
RAM disponibil:	512MB	64MB
Rata MIPS:	2142	800
Comparație MIPS:	1.0	0.37

Deși utilizarea MIPS (milioane de instrucțiuni pe secundă) nu ia în considerare diferitele seturi de instrucțiuni ale procesoarelor, este adesea folosită pentru a indica un rating de performanță aproximativ. Pe baza unei simple comparații a MIPS, un PDA Dell Axim X51 este capabil să execute 37% din operațiunile pe care le poate face un laptop IBM X30.

4.4. Proiectarea și implementarea unor măsuri de securitate suplimentare protocolului IAX

Această teză aduce ca noutate implementarea unor măsuri de securitate la nivelul protocolului IAX, înainte de a fi implementat clientul VoIP. Pentru aceasta am selectat un client open source, am examinat codul și identificat un punct de inserție

pentru a adăuga codul de securitate. Instrumentele și metodologia de realizare a acestui lucru sunt descrise mai jos.

4.4.1. Kiax Client-VoIP

Kiax este un softphone open source conceput pentru a utiliza exclusiv IAX. Ca la mulți alți clienți IAX pentru open-source, Kiax se bazează pe biblioteca "libiax" pentru asigurarea funcțiilor aferente nivelurilor de jos ale unei rețele. Această bibliotecă a fost construită de către factorii de decizie ai Asterisk și este frecvent folosită de către clienții IAX open source. Modificările de cod necesare pentru a sprijini algoritmi de criptare sunt cerințele cele mai des solicitate bibliotecilor libiax.

4.4.2. Cryptlib

Cryptlib este un pachet criptografic OpenSource, de uz general, fiind conceput să ofere servicii de securitate pentru aplicații.

Cryptlib oferă o interfață standardizată pentru o serie algoritmi de criptare populari. Permite ascunderea în cea mai mare parte a detaliilor de implementare și folosește un sistem de codare independent de sistemul de operare, fapt ce facilitează transferul de date securizate de la un mediu de operare la altul.

La cel mai de jos nivel sunt componentele de bază, cum ar fi rutinele de criptare și autentificare, care sunt, de obicei, folosite în aplicațiile software, dar pot fi, de asemenea, incluse în partea de hardware (ca urmare a vitezei componentele software folosite în Cryptlib sunt de obicei mai rapide decât hardware-ul dedicat). La nivelul următor sunt componentele dedicate și adesea, destul de complexe, care oferă funcționalitate și asigură portabilitatea datelor pentru orice tip de platformă utilizată. Aceste funcții se referă de obicei la domenii care implică crearea unei semnături digitale sau a unei chei de criptare de schimb. La cel mai înalt nivel sunt foarte puternice și ușor de utilizat, funcții cum ar fi: criptează un mesaj, semnează un mesaj, deschide o legătură securizată și creează un certificat digital. Nu necesită cunoștințe de tehnici de criptare și totodată gestionează procesele complexe cum ar fi cheia de management, codificarea datelor, criptarea și decriptarea și semnătura digitală.

Managementul interfeței Cryptlib asigură posibilitatea de a adăuga capacități de criptare și de autentificare la o aplicație fără a fi nevoie să se știe toate detaliile de nivel inferior ale criptării sau autentificării. Rutina de lansare automată a managementului se ocupă de problemele de codificare și de portabilitatea pentru diverse platforme (cross-platform). Are funcții care pe de o parte codează și criptează datele la un capăt iar la celălalt le recrează așa cum au fost ele inițial. Acest lucru oferă un avantaj considerabil față de alte unelte (toolkit-uri) de criptare care necesită adesea sute de linii de cod și de manipulări complexe de criptare a datelor pentru a obține același lucru.

Principalul său scop este de a furniza funcții criptografice care pot fi integrate în aplicații. Modelul Cryptlib se bazează pe o structură de straturi care să poată oferi diferite niveluri de control utilizatorului. Prin utilizarea Cryptlib, au fost posibile o varietate de experimente cu metode de criptare diferite pentru a evalua impactul acestora asupra performanței. Arhitectura completă a unei astfel de diagrame este prezentat în Fig.4.7, de mai jos [40]:

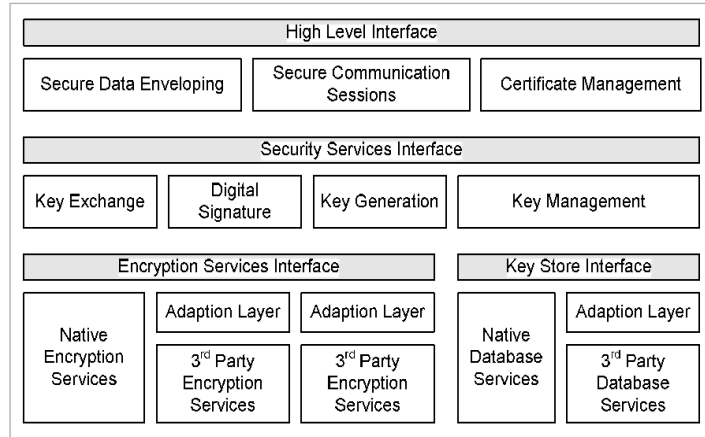


Fig.4.7. Arhitectura diagramei Cryptlib [40]

4.4.3. Descrierea soluției

Diagrama bloc de mai jos oferă o descriere pe straturi a soft-ului de bază, aferent unei structuri Kiax. Fig.4.8 de mai jos, arată arhitectura inițială a Kiax.

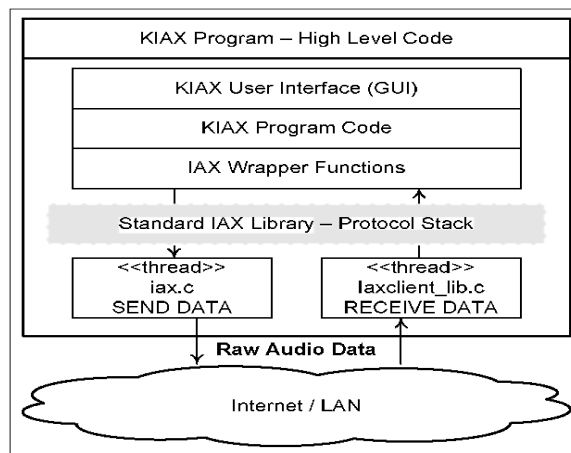


Fig.4.8. KiAX-Arhitectura standard [67]

KiAX oferă o interfață de tip grafic utilizatorului, care comunică setările și preferințele codului sursă al KiAX.

Programul protocolului de nivel inferior al IAX este furnizat sub forma unei biblioteci standard, cunoscută sub denumirea de bibliotecă libiax.c. Această bibliotecă este de asemenea responsabilă pentru codarea și transportul datelor audio capturate de la utilizatori. Versiunea modificată a KiAX, care constituie noutatea adusă clientului KiAX, adaugă un strat suplimentar de prelucrare a fluxului audio. Datele

audio au fost codificate prin intermediul codec-ului audio, încapsulate și criptate înainte de a fi transmise prin rețea. La receptor semnalul audio este decriptat și apoi prelucrat de stiva de protocoale a KiAx, conform Fig.4.9.

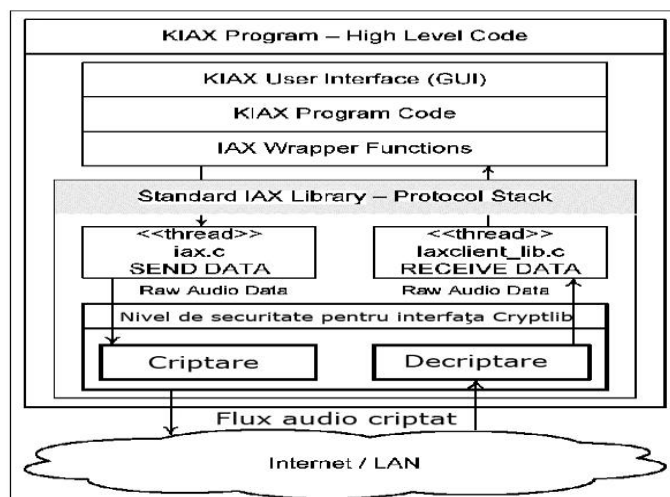


Fig.4.9. KiAx–Arhitectura modificată [40]

Cryptlib este construit în jurul unui nucleu de securitate. Acest nucleu asigură interfața între utilizator și arhitectura obiectelor (securitate intra-obiect), precum și între obiecte ele însele (securitate inter-obiect). Nucleul de securitate este baza întregii arhitecturi cryptlib. Toate obiectele sunt accesate și controlate prin intermediul acesteia, precum și toate atributele obiectelor sunt manipulate prin ea. Nucleul este implementat ca un strat de interfață situat în partea de sus a obiectului, monitorizând toate accesările și manipulând toate funcțiile de protecție. Fiecare obiect cryptlib este conținut în întregime în cadrul perimetrului de securitate, astfel că datele și informațiile de control pot doar să intre și să iasă într-o manieră foarte bine controlată, obiectele fiind izolate unele de altele în perimetrul de securitate de către nucleu. De exemplu, o dată ce informațiile au fost trimise la un obiect, nu pot fi aduse de către utilizator înapoi decât în conformitate cu niște condiții de excepție bine controlate. În general informația nu este vizibilă pentru utilizator, deoarece este generată în interiorul obiectului și nu iese din perimetrul de securitate.

Asociat fiecărui obiect este un set de liste de control al accesului (ACL-uri) obligatorii care determină cine poate accesa un anumit obiect și condițiile în care accesul este permis. În cazul în care sistemul de operare permite aceasta, toate informațiile sensibile vor fi de tipul page-locked pentru a se asigura că acestea nu vor fi copiate niciodată pe disc cu ajutorul unui editor de disc. Toată memoria alocată securității datelor este gestionată de cryptlib și va fi în mod automat gestionată și eliberată, atunci când acesta se închide, chiar și în cazul în care un program care l-a apelat uită să elibereze memoria.

În cazul în care sistemul de operare suportă, cryptlib va aplica caracteristicile de securitate ale sistemului de operare la orice obiect pe care îl creează sau gestionează. De exemplu, sub Windows XP fișierul pentru cheile private ale cryptlib va fi creat cu o listă de control al accesului (ACL) care permite accesul la folder doar

cheii de acces a proprietarului. Sub UNIX fișierul cu permisiunile va fi stabilit astfel încât să se obțină același rezultat.

Pentru criptare am folosit secvența de mai jos cu o cheie publică de criptare Fig.4.10

```

/* Create an envelope for the message */
cryptCreateEnvelope( &cryptEnvelope,cryptUser, CRYPT_FORMAT_SMIME );
/* Push in the message recipient's name */
cryptSetAttributeString(cryptEnvelope,CRYPT_ENVINFO_RECIPIENT,recipientName, recipientNameLength );
/* Push in the message data and pop out the signed and encrypted result */
cryptPushData(cryptEnvelope,message,messageSize,&bytesIn);
cryptFlushData(cryptEnvelope);
cryptPopData(cryptEnvelope, encryptedMessage, encryptedSize, &bytesOut );
/* Clean up */
cryptDestroyEnvelope(cryptEnvelope );

```

Fig.4.10. Secvență de cod pentru criptare mesaj utilizând o cheie publică

Prin secvența de cod de mai sus se execută următoarele acțiuni menite a mări securitatea datelor vehiculate:

- generează o cheie de sesiune aleatoare pentru algoritmul de criptare (de obicei, triple DES sau AES);
- caută cheia publică a destinatarului într-o bază de date de chei;
- criptează cheia de sesiune folosind cheia publică a destinatarului;
- criptează datele semnate cu cheia de sesiune;
- trimite rezultatul înapoi la utilizator.

Pentru a stabili o sesiune sigură am utilizat următoarea secvență de cod, Fig.4.11:

```

CRYPT_SESSION cryptSession;
/* Create the session */
cryptCreateSession( &cryptSession,
cryptUser, CRYPT_SESSION_SSL );
/* Add the server name and activate the session */
cryptSetAttributeString(cryptSession,
CRYPT_SESSINFO_SERVER_NAME, serverName, serverNameLength );
cryptSetAttribute( cryptSession, CRYPT_SESSINFO_ACTIVE, 1 );

```

Fig.4.11. Secvență cod pentru stabilirea unei sesiuni sigure

Dacă în loc de SSL (Secure Socket Layer) se dorește utilizarea SSH (Secure Socket Shell) se va înlocui SSL cu SSH în CRYPT_SESSION_SSL și se adaugă un utilizator și o parolă la log on.

După cum se poate vedea mai sus, cryptlib prevede o singură interfață pentru mecanismul de securitate al sesiunii, astfel încât nu trebuie investit efort în special în adăugarea de mecanisme de securitate suplimentare pentru diferite protocoale.

Server-ul corespunzător SSL/TLS (sau SSH) este în cazul acesta Fig.4.12:

```

CRYPT_SESSION cryptSession;
/*Create the session */cryptCreateSession(&cryptSession,
cryptUser, CRYPT_SESSION_SSL_SERVER );
/* Add the server key / certificate and
activate the session */cryptSetAttribute( cryptSession,
CRYPT_SESSINFO_PRIVATEKEY, privateKey );
cryptSetAttribute( cryptSession,
CRYPT_SESSINFO_ACTIVE, 1 );

```

Fig.4.12. Secvență cod pentru o sesiune sigură prin server-ul SSL

Pentru interfața plug&play PKI (Public Key Infrastructure) am utilizat următorul cod cryptlib , Fig.4.13:

```

CRYPT_SESSION cryptSession;
/*Create the CMP session and add the server name/ address*/
cryptCreateSession( &cryptSession,
cryptUser, CRYPT_SESSION_CMP );
cryptSetAttributeString( cryptSession,
CRYPT_SESSINFO_SERVER, server, serverLength );
/* Add the username and password*/
cryptSetAttributeString( cryptSession,
CRYPT_SESSINFO_USERNAME, userName,
userNameLength );
cryptSetAttributeString( cryptSession,
CRYPT_SESSINFO_PASSWORD, password,
passwordLength ); cryptSetAttribute( cryptSession,
CRYPT_SESSINFO_CMP_PRIVKEYSET, cryptDevice );
/* Activate the session */cryptSetAttribute( cryptSession,
CRYPT_SESSINFO_ACTIVE, TRUE );

```

Fig.4.13. Secvență de cod pentru interfața PKI

Secvența de cod din Fig.4.13, generează separat cheile de criptare și autentificare și utilizează acestea pentru a obține cheia de criptare.

Prin comparație cu alte servicii de securitate cryptlib face acest lucru într-un mod facil, fără a mai fi nevoie scrierea a sute sau chiar mii de linii de cod care să facă același lucru.

Cele mai multe biblioteci de criptare sunt furnizate sub forma de totul în una (all-in-one) unde sunt cuprinse toate capacitățile lor într-o singură aplicație și care trebuie să se comporte ca o singură unitate. Actualmente sunt trei versiuni de cryptlib, se poate folosi oricând una din ele:

Versiune	Caracteristică
cryptlib lite	Criptare convențională, semnătură, hashing, algoritmi MAC și funcții aferente pentru a prelucra chei și parole.
cryptlib cert	Ca și cryptlib lite dar cu certificat de management X.509, operații CA și certificate de memorare.
cryptlib pro	CA și cryptlib cert dar cu structură digitală și suport S/MIME, SSL, TLS și sesiune sigură ssh.

Fig.4.14. Versiuni Cryptlib

4.4.4. Evaluare și rezultate

Testarea a fost realizată pentru a evalua impactul pe care îl au modificările de securitate asupra programului pentru KiAx. După configurarea rețelei locale și a clientului, au fost efectuate apeluri și au fost analizate datele colectate. Toate testele au fost repetate și au furnizat un pachet consistent de date. Un rezumat al rezultatelor este prezentat în tabelele de mai jos:

Tabelul 10. Rezultate test 1 LAN

Client VoIP	KiAx	KiAx	KiAx	KiAx
Criptare	Nu	IDEA/CBC	IDEA/CFB	RC4
Utilizare min. CPU	5.812 %	17.818 %	16.132 %	17.635 %
Utilizare max. CPU	10.020 %	28.629 %	26.226 %	27.756 %
Utilizare medie CPU	7.935 %	24.158 %	22.756 %	23.090 %
Lățime de bandă maximă	1.75 kByte / s	2.08 kByte / s	1.75 kByte / s	1.75 kByte/s
Întârziere	16-58 ms	16-58 ms	16-58 ms	16-58 ms
Jitter	26-28 ms	26-28 ms	26-28 ms	26-28 ms

Tabelul 11. Rezultate test 2 LAN

Client VoIP	Kiax	Kiax	Firefly
Criptare	AES/CBC	AES/CFB	None
Utilizare min. CPU	17.818 %	14.629 %	8.719 %
Utilizare max. CPU	27.427 %	27.227 %	13.123 %
Utilizare medie CPU	23.447 %	22.592 %	11.364 %
Lățime de bandă maximă	2.48 kByte /s	1.75 kByte / s	1.69 kByte / s
Întârziere:	16-58 ms	16-58 ms	2-3 ms
Jitter:	26-28 ms	26-28 ms	2-4 ms

Utilizând Kiax fără criptare, media de utilizare a procesorului este de 7,9 %, iar lățimea de bandă de este aproximativ 1,75 Kbytes pe secundă. Aceasta asigură o bază pentru performanța Kiax. Făcând o analiză a diverselor metode de criptare utilizate avem următoarele situații:

1. dacă se utilizează algoritmul IDEA (International Data Encryption Algorithm)- în modul înlănțuirii blocurilor de cifru (CBC-Cipher Block Chaining), calitatea apelului a rămas similară cu cea în care nu s-a folosit criptarea, însă lățimea de bandă utilizată a crescut. Acest lucru era de așteptat, deoarece dimensiunea datelor a crescut de la 33 la 40 octeți. Când se folosește algoritmul IDEA în modul cifru cu feedback (CFB-Cipher Feedback), deși lățimea de banda a fost identică cu cea inițială, calitatea apelului a fost mai frecvent întreruptă de pierderi ale semnalului audio.
2. dacă se utilizează algoritmul AES (Advanced Encryption Standard) în modul înlănțuirii blocurilor de cifru (CBC) procentul de utilizare al procesorului este ușor mai mic, comparativ cu IDEA/CBC, aceasta datorită algoritmului AES care este mult mai eficient. Aceasta metodă a utilizat cea mai mare valoare a lățimii de bandă, adăugând aproximativ 0.7 Kbyte/s. Creșterea lățimii de bandă este mai mare pentru AES decât pentru IDEA. În timp ce algoritmul AES are dimensiunea blocului de 128 biți, IDEA folosește doar 64 biți. AES, folosind CFB, are cea mai mică medie de utilizare a procesorului pentru metoda de criptare testată și nu are nevoie de lățime de bandă suplimentară.
3. algoritmul RC4 (Rivest Cipher 4) are cele mai slabe rezultate, față de AES/CFB. Acest lucru este surprinzător, având în vedere că este cifru nativ pentru flux.

În ansamblu, rezultatele atât pentru calitatea apelului cât și a utilizării procesorului sunt similare pentru diferiți algoritmi de criptare. Cu toate acestea, AES în modul CFB ar trebui să fie considerată ca metodă preferată, deoarece oferă cea mai mică medie de încărcare a procesorului, nu adăuga cerințe de lățime de bandă suplimentare și introduce un minim de probleme în fluxul audio.

4.5 Distribuția multiplă a vocii în substratul de control al accesului la mediu în rețelele fără fir bazate pe standardul IEEE 802.11

În acest capitol este realizat un studiu experimental al performanței și fiabilității transmisiei cu destinații multiple în subnivelul de acces la mediu al rețelelor fără fir bazate pe standardul IEEE 802.11. În multe cazuri, distribuția multiplă permite o utilizare mult mai eficientă a rețelelor, deoarece elimină nevoia de a trimite mai multe pachete identice, la destinații diferite. Acest studiu experimental are ca scop determinarea gradului de utilizare a distribuției multiple a vocii la nivelul substratului de control al accesului la mediu (MAC) pentru două situații. Prima situație este utilizarea distribuției multiple pentru fluxurile de voce din link-ul de coborâre (downlink) și este destinată mai mult celor aflați în aceeași celulă a unei rețele fără fir, cum ar fi teleconferințele, emisiuni audio în întreprinderi sau situații de urgență. A doua situație este utilizarea în regim de walkie-talkie unde numai unul din participanți are permisiunea de a accesa rețeaua la un moment dat. Spre deosebire de rețelele fixe unde transmisia cadrelor la nivelul substratului de acces la mediu se face identic indiferent dacă e distribuție multiplă sau nu, în rețelele locale fără fir, bazate pe standardul IEEE 802.11 există diferențe semnificative între cele două tipuri de transmisie. Pentru a face față pierderii de cadre și a coliziunilor în rețeaua fără fir în comparație cu cea fixă, protocolul de acces la mediu așteaptă confirmări de recepție a cadrelor și le retransmite pe cele neconfirmate. Valorile contorului pentru retransmitere sunt alese astfel încât protocoale de transport din straturile superioare, în particular TCP, nu sunt afectate de pierderea cadrelor. În cazul transmisiei cu distribuție multiplă cadrele nu se mai retransmit cu excepția celor către punctele de acces. Prin urmare, rata de pierdere este mult mai mare față de transmisia unicast. În plus, funcția de coordonare distribuită a standardului IEEE 802.11 are implementat un schimb de cadre pentru cerere de trimitere/anulare (RTS/CTS) pentru a proteja traficul unicast de interferențele datorate încercărilor simultane de transmisie a două stații care nu se sesizează reciproc (stații ascunse). Funcția de coordonare distribuită nu permite utilizarea de cereri de trimitere/anulare RTS/CTS pentru traficul distribuției multiple cu excepția celui pentru punctele de acces. În consecință, în astfel de scenarii, ne putem confrunta cu o pierdere mare de cadre.

După cum s-a subliniat mai sus, avantajele utilizării trimiterii de mesaje cu distribuție multiplă la nivelul substratului de acces la mediu ar fi convingătoare în cazul în care calitatea fluxurilor de voce ar fi acceptabilă, la majoritatea sau toți abonații. În plus, spre deosebire de majoritatea traficului de date în care fiecare cadru pierdut este de obicei obiectul retransmisiei la nivelul straturilor superioare, traficul de voce poate tolera pierderea unui cadru "din când în când". Astfel, lipsa de recunoaștere și retransmisia pentru traficul cu distribuție multiplă ar putea fi tolerabilă. Cu toate acestea, dacă pierderea depășește un anumit prag, calitatea vocii poate degenera până la un punct în cazul în care conexiunea este inutilă. În afară de pierderi, calitatea unei conexiuni este caracterizată de asemenea de o întârziere de conectare dus-întors și de jitter. **Cele mai multe studii de simulare a transmisiei cu distribuție multiplă în rețelele fără fir au studiat mecanismele de distribuție din straturile superioare. Această teză se concentrează pe studierea comportamentului canalului fără fir al standardului IEEE 802.11 în distribuția multiplă. Proprietățile distribuției multiple ale substratului de acces la mediu al standardului IEEE 802.11 nu au fost studiate încă suficient.** Deoarece, așa cum s-a subliniat mai sus, transmisia cu distribuție multiplă este

4.6 Distribuția multiplă a vocii în substratul de control al accesului la mediu în rețelele fără fir bazate pe standardul IEEE 802.11 99

foarte diferită de cea unicast pentru standardul IEEE 802.11. Un studiu experimental este necesar pentru a determina proprietățile reale ale distribuției multiple în substratul de acces la mediu, în special atunci când este utilizat pentru transmiterea vocii. În timp ce în rețelele cu o topologie variată, simulările sunt mai ușor de configurat, controlat și modificat, datele prezentate în această lucrare nu pot fi obținute prin simulări. În concluzie acest studiu experimental al proprietăților transmisiei distribuției multiple în rețelele fără fir este bine motivat.

Pentru experimente, am utilizat PC-uri (laptop-uri, Desktop-uri) pe care au rulat Linux 7.4. Toate experimentele descrise au fost realizate în modul Ad-hoc. Cardurile radio utilizate pentru toți clienții au fost de la același furnizor. Standardul IEEE 802.11 precizează că în toate transmisiile cu distribuție multiplă cadrele sunt transmise la o rată care este suportată de toate seturile de servicii de bază ale stațiilor. Cu alte cuvinte, rata de transfer utilizată trebuie să fie cea anunțată prin cadrul de balizaj (beacon). Toate experimentele au fost făcute pentru o rată de transfer de 2 Mbps.

4.6 Pierderile și rata de transfer în distribuția multiplă la nivelul substratului de acces la mediu

Primul experiment măsoară rata de transfer disponibilă la nivelul stratalui transport pentru trimiterea multiplă, prin intermediul protocolului Internet sau datagramă IP/UDP, printr-un singur punct intermediar. Am folosit Skype ca și program care trimite în mod constant, către mai multe destinații ale unei rețele fără fir cadre UDP, asemănător unui experiment cu trimitere spre o singură destinație. Fluxul a fost recepționat de un punct final al unei rețele fără fir care, în urma ascultării a identificat adresa de destinație ca fiind a lui. Pentru măsurarea capacității, transmițătorul și receptorul au fost amplasate unul lângă celălalt, în scopul de a minimiza pierderile.

Rezultatele indică faptul că rata maximă de transfer a cadrelor cu informație utilă, care poate fi transmisă cu destinație multiplă este de aproximativ 1.76 Mbps și este atinsă atunci când fiecare pachet UDP are 1472 octeți (pentru pachete mai mari de 1472 octeți datele ajung fragmentate). Când cei 62 de octeți ai standardului IEEE 802.11 și antetul protoalelor IP/UDP (34+20+8) din fiecare cadru trimis sunt contabilizate, rata de transfer prin rețea este de aproximativ 1.83 Mbps. Între 0,1% și 0,35% din pachete nefragmentate au fost pierdute cu o medie de 0,15%. Pierderea a fost independentă de dimensiunea informației utile conținute de cadre.

Fig. 4.15 arată măsurătorile pentru o rată de transfer funcție de mărimea sarcinii utile pentru o singură transmisie cu distribuție multiplă. Căderea bruscă se datorează unor pachete mai mari de 1472 octeți deoarece informația este fragmentată.

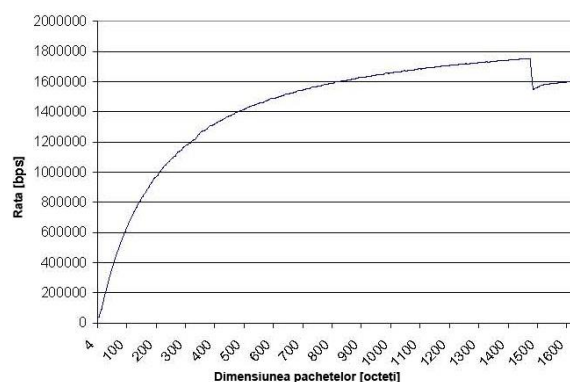


Fig.4.15 Rata de transfer în funcție de mărimea pachetului pentru traficul cu distribuție multiplă a standardului IEEE 802.11 la 2 Mbps.

Ținând cont de numărul de cadre pe secundă și de faptul că pentru acest caz fiecare cadru este transmis cu o rată de 2 Mbps, se poate calcula capacitatea maximă pentru transmiterea fiecărui cadru. Pentru măsurători, capacitatea maximă a fost evaluată pentru o medie de aproximativ 815 μs per cadru, echivalent cu transmiterea de aproximativ 200 octeți la 2 Mbps.

Sistemul de acces la mediu, pentru Funcția de Coordonare Distribuită (DCF), în conformitate cu standardul IEEE 802.11 este protocolul de acces multiplu cu sesizarea purtătoarei cu evitarea coliziunii (Carrier Sense Multiple Access/Collision Avoidance-CSMA/CA). O prezentare a imaginii acestui mecanism și structura cadrului de transmisie sunt prezentate în fig.4.16.

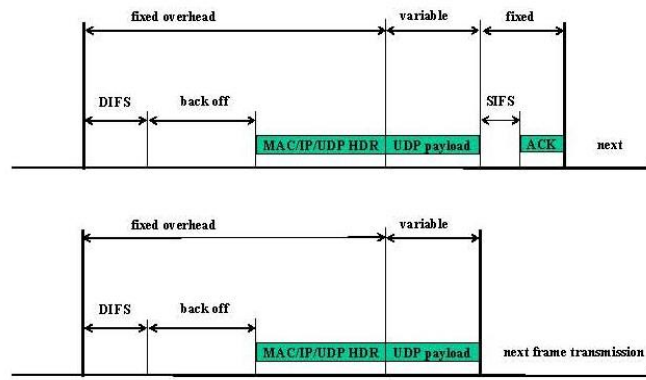


Fig.4.16 Sistemul de acces la mediu pentru cadre cu destinație multiplă (jos) sau unică (sus) al standardului IEEE 802.11 bazat pe protocolul CSMA/CA [35]

După cum a fost precizat, transmiterea cu destinație multiplă pentru funcția de coordonare distribuită nu este confirmată. Dacă R este rata de transfer în bps și b dimensiunea cadrului de date în octeți, timpul necesar pentru transmiterea cadrelor componente poate fi calculat după cum se arată în tabelul următor.

Tabelul 12. Calculul timpului pentru transmitia cadrelor

Reper	Timp
Cadre de date	$192ns + 8b/R$
SIFS	10ns
ACK	$192ns + 112/R$
DIFS	50ns

În plus, pentru cazul transiterii, în mod constant pentru un singur client, timpul mediu aleator de revenire (back-off) este 310μs

Pentru cadrul actual de date avem 34 octeți pentru antetul accesului la mediu al standardului IEEE 802.11, 20 octeți pentru antetul protocolului IP și 8 octeți

antetul protocolului UDP, în total 62 octeți plus informația utilă a datagramei UDP. Adunând aceste valori, putem stabili valoarea maximă admisă pentru traficul multi-punct, cu o rată de 2 Mbps, la 800 μ s.

Această valoare se potrivește cu cea determinată prin experiment. Valorile experimentale sunt ceva mari datorită faptului că periodic sunt trimise cadre de balizaj de către stațiile din rețeaua ad-hoc a căror valoare nu este inclusă în calcule. Deoarece în transmisia cu destinație multiplă cadrele nu includ și transmiterea unui semnal de confirmare, durata acestora este mai mică cu 258 μ s față de transmiterea obișnuită la aceeași rată de 2Mbps. Acest lucru a fost, de asemenea verificat experimental. În condiții de rată de trafic identică cu transmisia simplă, cu 1472 octeți de informație utilă ai datagramei UDP, se atinge o rată maximă de 1.68 Mbps, spre deosebire de transmisia cu destinație multiplă unde rata de trafic este de 1,76 Mbps.

4.7 Redirecționarea distribuției multiple a vocii cu salturi multiple

Un alt experiment studiat în această teză este și cel al traficului VoIP, cu distribuție multiplă, redirecționat prin mai multe puncte. Rezultatele obținute sunt de reținut de asemenea și pentru cazul în care traficul este transmis între puncte de acces care formează un sistem de distribuție fără fir (wireless distribution system-WDS) cu distribuție multiplă prin intermediul substratului de control al accesului la mediu. Am utilizat cinci laptop-uri așa cum se arată în fig. 4.17.



Fig.4.17 Configurare schematică a laptop-urilor pentru multisalt

Laptop-urile au fost instalate într-un birou cu distanța între ele de 25 m și 30 m. Stațiile neadiacente nu s-au putut vedea reciproc fiind despărțite de pereți. Astfel, fiecare stație a putut comunica doar cu vecinul alăturat ca în Fig.4.17. Puterea semnalului între stațiile vecine a fost excelentă.

Expeditorul a sintetizat un flux de trafic echivalent unui flux VoIP generat de un codec ITU G.729 cu o durată a datelor audio de 30 ms/pachet trimis (42 octeți UDP sarcină utilă/pachet). Am folosit acest codec deoarece este folosit frecvent în rețelele fără fir. Experimentele cu alte tipuri de codec-uri conduc la rezultate similare. Pentru a ajunge la receptorul din dreapta (a 4 a stație), cadrul este necesar a fi transmis de către toate stațiile. Pentru direcționarea cadrului și sintetizarea vocii, am utilizat un cadru în care inundarea este utilizată pentru distribuirea pachetelor cu distribuție multiplă din rețea. Cu alte cuvinte, fiecare stație care recepționează un cadru cu distribuție multiplă îl direcționează mai departe dacă l-a primit pentru prima dată. O aglomerare este evitată prin memorarea pachetelor care au fost deja transmise. Pachetele transmise sunt stocate pentru o secundă într-o memorie de 245 KB la o rată de 2 Mbps.

Am ales inundarea întrucât aceasta constituie cea mai simplă modalitate de a facilita experimentarea cadrelor. Această alegere nu are nici o influență asupra rezultatelor experimentale. Orice altă dirijare multipunct a cadrelor la nivelul substratului MAC trebuie să direcționeze astfel cadrele încât să nu modifice nici un alt mecanism de dirijare.

În scopul de a calcula timpul dus-întors, stațiile receptoare răspund la întâmplare la fiecare al 50-lea pachet vocal primit. Fiecare experiment a durat 105 secunde și a constat din 3500 de pachete de voce. La fiecare receptor, am calculat pierderile și jitter-ul. Timpul dus-întors de la toate receptoarele a fost calculat la expeditor pe baza răspunsurilor de la receptori. Am realizat acest experiment de 12 ori. În afară de fluxul de voce și răspunsurile sporadice de la receptori, nici un alt trafic nu a fost prezent. Valorile obținute pentru pierderi, bruij și transmisie dus-întors sunt date de tabelul 13

Tabelul 13. Valori rată pierderi, jitter și timp dus-întors

Caracteristică	Primul salt	Al doilea salt	Al treilea salt	Al patrulea salt
Media ratei de pierderi. Rata de pierderi pt. dev.std.	0.007 0.003	0.012 0.004	0.015 0.006	0.017 0.007
Media valorii jitter-ului Valoarea jitter pt. dev.std	0.18 0.06	0.21 0.09	0.47 0.22	0.80 0.16
Media RTT [ms] Valoare pt. dev.std. RTT.	2.96 1.55	6.46 0.95	9.79 0.44	13.04 1.58

Fig. 4.18 arată rata pierderilor din toate experimentele pentru toate receptoarele. Valorile pentru întârzieri, pierderi și jitter au crescut o dată cu numărul de stații parcurse. În acest scenariu cu patru stații, timpul dus-întors și jitter-ul sunt mai mult decât acceptabile pentru traficul VoIP. Rata de pierdere de 1,7% de la a patra stație poate fi considerată acceptabilă pentru VoIP. În configurația studiată, este clar că fiecare cadru pierdut la o stație nu poate fi transmis mai departe și prin urmare figurează ca pierdut ulterior. Raportul pierdere per stație este între 0,2% și 0,7%. Acesta este semnificativ mai mare decât în experimentul anterior în care emițătorul și receptorul au fost situate imediat unul lângă altul. Am obținut valori identice de pierdere pentru fiecare stație atunci când am verificat legătura individuală a pierderilor.

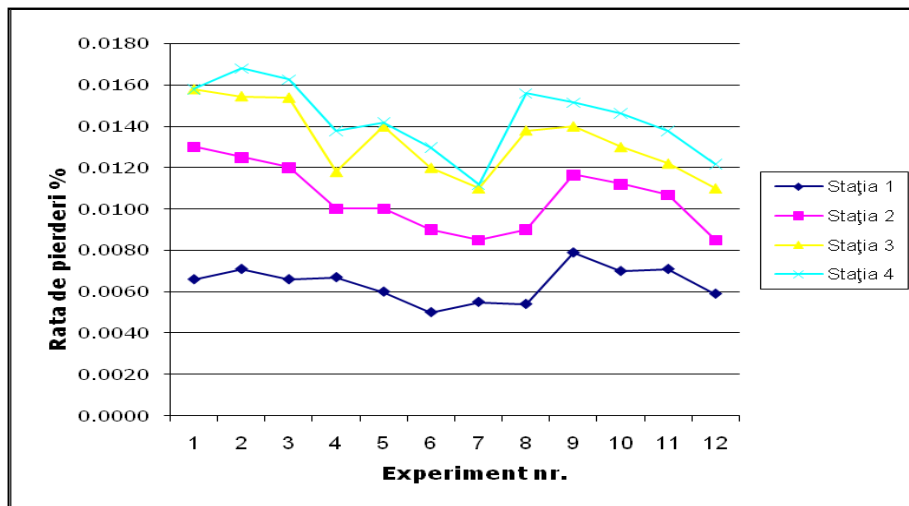


Fig.4.18 Rata de pierderi pentru multisalt

Rata pierderilor în cazul acestui experiment a variat semnificativ. Creșterea timpului dus-întors de la 3 ms la 4 ms pe stație era de așteptat. Timpul de transmisie pentru un cadru este de aproximativ 1 ms care se ridică la un timp minim dus-întors de 2 ms pe stație. Timpul suplimentar se datorează procesului suplimentar de prelucrare pentru expediere. Valorile de bruij observate cresc odată cu numărul de stații; acestea sunt foarte mici la toate patru receptoarele. În concluzie, calitatea fluxului de date pentru distribuția multiplă a vocii (VoIP) a fost acceptabilă pentru cele patru receptoare. Presupunând o creștere similară per stație în raport cu pierderile (între 0,2% și 0,7%), calitatea traficului VoIP nu va mai fi suficientă sau cel puțin critică la a 5 a stație. Această ipoteză nu poate fi confirmată experimental, deoarece locul în care experimentele au fost efectuate nu au permis instalarea unui alt laptop care ar putea primi transmisiile numai printr-un vecin imediat.

4.8 Redirecționarea multisalt cu distribuție multiplă a vocii în cazul stațiilor ascunse

O altă posibilitate de transmitere a vocii este cea multisalt (multihop) cu stații ascunse. Pentru acest experiment au fost utilizate patru laptop-uri.

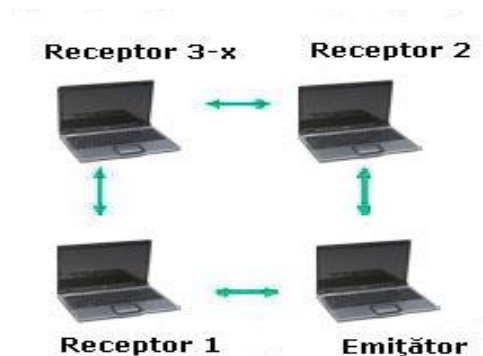


Fig.4.19 Configurarea laptop-urilor pentru direcționarea multisalt cu stații ascunse

Emitătorul poate trimite direct la stațiile 1 și 2. Receptoarele 1 și 2 nu pot să își trimită reciproc mesaje. Până la trei laptop-uri, receptoarele 3-1, 3-2 și 3-3 au fost situate într-o astfel de poziție încât ele puteau asculta receptoarele 1 și 2, dar nu puteau asculta emițătorul. Receptoarele 3-1, 3-2 și 3-3 pot primi mesaje unul de

la altul. Toate stațiile direcționează fiecare pachet o singură dată exact așa cum este descris în experimentul anterior.

Eu am realizat trei variante ale acestui experiment. În experimentul 1, doar receptorul 3-1 a fost activ. În experimentul 2, receptoarele 3-1 și 3-2 au fost active și în experimentul 3, toate receptoarele (3-1, 3-2 și 3-3) au fost active. Fiecare experiment a constat din 3500 cadre trimise și a fost repetat de 50 de ori. Fig.4.19.

Pentru întârziere și jitter, am observat o valoare medie a jitter-ului de 0,3 s pentru toate stațiile din toate experimentele, iar timpul de răspuns dus-întors a variat între 3 și 8 ms, în funcție de numărul de salturi. Deoarece aceste valori sunt excelente pentru transmiterea vocii, cum era de altfel și de așteptat, mă voi concentra asupra pierderilor observate. Tabelul 14 de mai jos indică rata pierderilor pentru toate stațiile. Fig. 4.20 arată rata pierderilor pentru trei instanțe ale fiecărui experiment 1, 2 și 3.

Tabelul 14. Rata pierderi [%]

Exp. nr.	Caracteristica	Receptor 1	Receptor 2	Receptor 3-1	Receptor 3-2	Receptor 3-3
1	Media ratei de pierderi%	0.0187	0.0154	0.137		
	Media ratei de pierderi pt. dev.std. %.	0.043	0.041	0.125		
2	Media ratei de pierderi%	0.006	0.005	0.021	0.021	
	Media ratei de pierderi pt. dev.std.%	0.0023	0.029	0.615	0.614	
3	Media ratei de pierderi %	0.002	0.001	0.009	0.012	0.008
	Media ratei de pierderi pt. dev. std.%	0.002	0.002	0.009	0.009	0.009

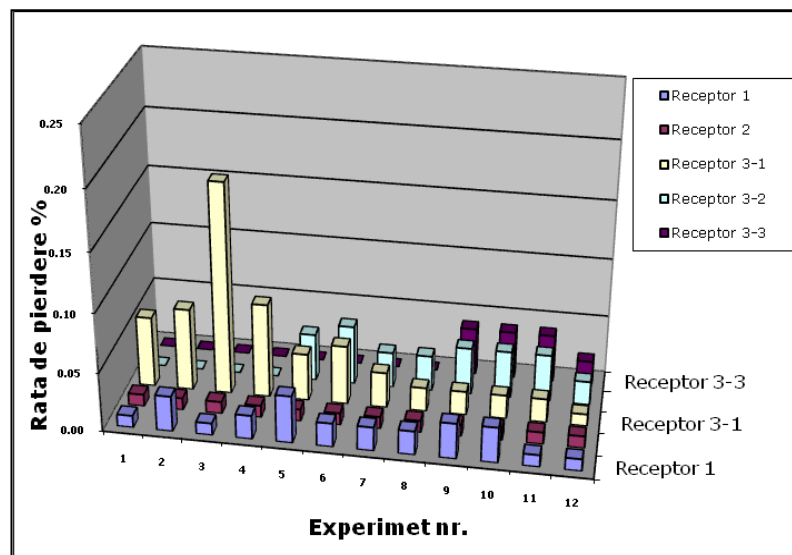


Fig.4.20 Rata de pierdere în distribuția multisalt cu stații ascunde

În experimentul 1, rata de pierdere pentru receptoarele 1 și 2 este 1,9%, respectiv 1,5%, iar pentru receptorul 3-1 aproximativ 14%. Ratele de pierdere la receptoarele 1 și 2 sunt mai mari decât în experimentul precedent. Acest lucru se datorează a cinci experimente în serie căror rată de pierdere este foarte mare la receptoarele 1 și 2 (până la 26%). Dacă aceste efecte sunt reduse, rata de pierdere de la receptoarele 1 și 2 este comparabilă cu pierderea de la primul salt din experimentul anterior. Motivul unei rate a pierderilor foarte mare la receptorul 3-1 (în experimentul anterior, rata de pierdere la saltul al doilea a fost doar de 1,2%) este legată de detectarea unei stații ascunse. Receptoarele 1 și 2 au primit același pachet de la emițător pe care trebuie să îl transmită mai departe. Deoarece receptoarele 1 și 2 nu pot detecta când transmit fiecare din ele, încep să transmită simultan.

Mecanismul de decrementare pentru protocolul de detecție a purtătoarei cu acces multiplu și evitarea coliziunii al standardului IEEE 802.11 nu ajută, pentru că poate preveni numai coliziunile între transmisiile stațiilor care se pot identifica reciproc. Dacă stațiile nu se pot vedea una pe alta, în funcție de valoarea aleasă pentru contorul de decrementare, fiecare stație amână transmisia între 0 și 0,62 ms, dar transmiterea unui cadru ia în jur de 1 ms. Astfel, receptoarele 1 și 2 transmit practic întotdeauna simultan, ceea ce duce la interferențe la receptorul 3-1. Această stație este capabilă să recupereze aproximativ 74% din cadrele transmise (nu orice interferență duce la pierderea de cadre) dar 26% din trafic nu în poate recupera.

Experimental s-au confirmat aceste presupuneri. Într-o variantă a experimentului cu receptorul 1 respectiv 2, oprite, rata de pierdere la receptorul 3-1 a fost în același interval ca rata de pierdere pentru saltul al doilea din experimentul precedent. În alte variante, am testat cât de sensibilă este rata de pierdere la mișcări minore ale receptoarelor/emițătoarelor, prin înclinarea antenelor. Acest fapt a dovedit că efectul produs de direcționările multiple a rămas sau chiar a crescut, pierderile la receptorul 3-1 variind semnificativ (de la 10% la 39%, fiecare variație a fost testată doar o dată). În toate cazurile testate, pierderile au fost inacceptabile pentru fluxuri VoIP.

Având în vedere natura nedeterministă a interferențelor, am studiat efectele de amplasare a stațiilor pentru receptorul 3-1 în experimentele 2 și 3. Am dorit să văd dacă stațiile care au același amplasament vor pierde aceleași cadre datorită interferențelor. Pentru stațiile amplasate într-o locație comună cadrele recepționate au fost trimise mai departe. Prin urmare, un receptor care a pierdut un cadru transmis de la receptorul 1 și 2 ar putea totuși să îl primească atunci când e retransmis de către unul din ele. În cazul în care cadre diferite, provenind de la receptoare diferite s-au pierdut, raportul general de pierdere ar trebui să scadă. Într-adevăr, experimentele 2 și 3 au confirmat această ipoteză. Când o stație are același amplasament cu receptorul 3-1, rata de pierdere la stațiile 3-1 și 3-2 ajunge la aproximativ 2%. Când două stații au același amplasament ca și receptorul 3-1, rata de pierdere scade în continuare pentru a atinge 1% pentru toate stațiile.

Tabelul de mai sus arată sursele imediate ale cadrelor nou primite de către receptoarele 3-1, 3-2 și 3-3 din experimentul 3. Receptoarele 3-1 și 3-3 primesc cele mai multe pachete de la receptorul 1, receptorul 3-2 primește atât de la receptorul 1 cât și 2 în mod egal. Fiecare dintre stații primește cel puțin 5% din cadre de la una din perechea ei, iar rata de recepție a ambelor perechi este comparabilă pentru toate receptoarele. După cum se poate observa, rata de pierdere pentru receptoarele 3-1, 3-2 și 3-3 variază între 5% și 13% atunci când pachetele recepționate de perechi se reduc.

Calitatea fluxului de voce VoIP nu poate fi luată în considerare în acest experiment, pentru nici unul din receptoarele 3-x, fără retransmisia de la perechile

vecine. Cu toate acestea calitatea VoIP în experimentul 3 este suficientă pentru toate receptoarele.

În mod evident, acest experiment arată că redirectionarea aleatoare a traficului cu distribuție multiplă la nivelul substratului MAC nu este întotdeauna recomandabilă. O abordare gen structură arborescentă (urmărită de majoritatea protocoalelor de rutare cu distribuție multiplă) ar putea evita cu ușurință pierderea la receptorul 3 din scenariul de mai sus datorită interferențelor. Cu toate acestea, considerăm un scenariu extins cu două stații suplimentare 4 (respectiv 5), care pot recepționa doar de la receptorul 1 (2). În acest caz, atât receptorul 1 cât și 2 trebuie să fie în structură arborescentă. După cum se poate dovedi, în afară de receptoarele 1 și 2, ambele direcționând imediat datele ce au fost recepționate de la emițător, doar două variante suplimentare sunt posibile și anume secvențele de expediere S-1-3-2 și S-2-3-1. Aceste secvențe de transport ar duce în mod semnificativ la creșterea timpului dus-întors și a jitter-ului, precum și la o rată de pierdere mai mare la receptorul 5 (4), deoarece traficul de la emițătorul 5 (4) este transmis prin trei salturi, spre deosebire de situația de dinainte. Nu este dificil de construit și alte configurații cu stații ascunse, care duc însă la probleme similare, mai puțin evidente, care trebuiesc rezolvate. Putem concluziona că prevenirea fenomenului de stație ascunsă prin structuri arborescente, pentru transmiterea multiple este dificilă.

4.9 Efectul întârzierilor redirectionate aleator

În distribuția multiplă cu unul sau mai multe salturi un rol important îl au întârzierile. Am studiat efectul întârzierilor redirectionate aleator din rata de pierdere, timpul dus-întors și jitter-ul. În general, ideea este să se evite coliziunile datorate transmiterii pe mai multe căi printr-un mecanism de revenire aleatoriu, similar celui folosit pentru controlul accesului la mediu la standardului IEEE 802.11. Mă voi referi la acest abordare ca "revenire suplimentară" (AL-backoff).

Cu excepția traficului sursei, fiecare stație ajunge la o valoare aleatoare între 0 și valoarea de AL-backoff (care este similară cu valoarea ferestrei de conflict Contention Window-CW a standardului IEEE 802.11). Această valoare, în milisecunde, este timpul de așteptare al stației înainte de a transmite mai departe pachetele. Valorile de sincronizare sunt alese astfel că două cadre cu timpi de revenire (back-off) diferiți sunt transmise la intervale de timp diferite Fig. 4.21.

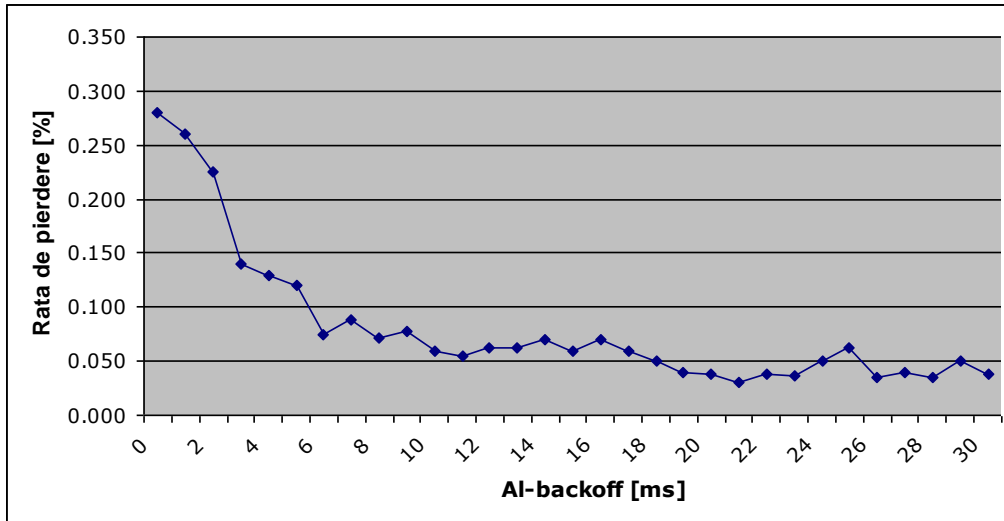


Fig.4.21 Rata de pierdere în distribuția multisalt cu stații ascunse cu revenire suplimentară

Fig.4.21 arată rata de pierdere în funcție de valoarea de revenire suplimentară (AL-backoff) utilizată într-un experiment de inițializare, similar cu distribuția multiplă multisalt cu stații ascunse experimentale. Trebuie reținut că plasarea de stații în acest experiment nu a fost identică cu cea descrisă în secțiunea anterioară și că rata de pierderi fără reveniri suplimentare din acest experiment este ceva mai mare. Următorul tabel arată de asemenea jitter-ul și timpul dus-întors.

Tabelul 15. Valori jitter și timp dus-întors pentru distribuția multisalt cu stații ascunse cu revenire suplimentară

AL-Backoff [ms]	Rata de pierderi %	Jitter [ms]	RTT [ms]
0	0.292	0.12	6.47
5	0.123	0.93	7.64
10	0.059	2.57	9.04
15	0.054	3.83	11.00
20	0.039	5.33	13.37
25	0.031	6.50	15.85

Rata de pierdere din experiment scade de la 29% la sub 5% prin creșterea valorii AL-backoff. Cele mai semnificative scăderi ale ratei de pierdere sunt pentru valori mici ale AL-backoff. Așa cum ar fi de așteptat, jitter-ul și timpul dus-întors cresc odată cu creșterea valorii AL-backoff. Deci, în acest scenariu, folosind valorile AL-backoff am putea ajuta la scăderea ratei de pierdere împiedcând în același timp creșterea la valori inacceptabile a timpului dus-întors sau a jitter-ului.

Am studiat, de asemenea, efectul valorilor AL-backoff în scenariile de redirecționare pentru distribuții multiple cu salturi multiple. Rezultatele acestui experimentului sunt prezentate în Fig. 4.22, Fig.4.23 și Fig.4.24.

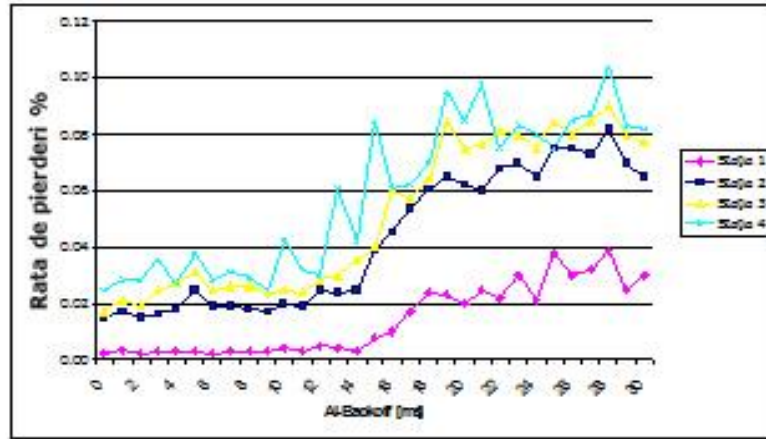


Fig.4.22 Rata de pierdere cu revenire suplimentară în redirecționarea distribuției multiple multisalt

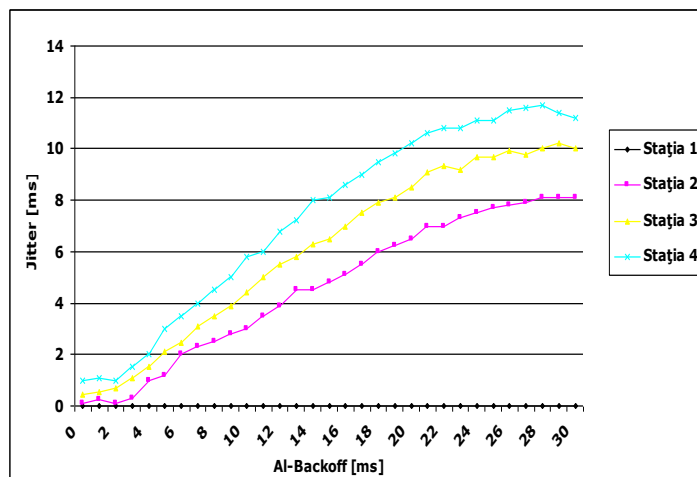


Fig.4.23 Jitter cu revenire suplimentară în redirecționarea distribuției multiple multisalt

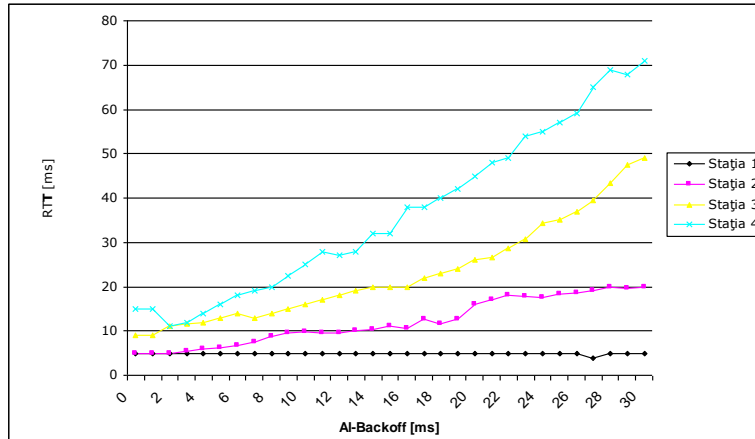


Fig.4.24 Timp dus-întors cu revenire suplimentară în redirecționarea distribuției multiple multisalt

Utilizarea valorilor AL-backoff duc la creșterea jitter-ului și a timpului dus-întors, crescând rata de pierdere. Un salt particular în rata de pierdere poate fi sesizat ca și cum s-ar comasa timpii de așteptare reali și ar rezulta o coliziune între două pachete consecutive VoIP.

După cum arăta cele două scenarii, un mecanism care să reducă efectele valorii AL-backoff poate fi de ajutor, în special pentru valori mici ale acestuia. Rata de pierdere se poate îmbunătăți în mod semnificativ atunci când este folosit un astfel de mecanism pentru transmițeri multiple.

4.10 Concluzii

Acest capitol se adresează problemelor de securitate și mobilitate prin integrarea, sub formă de nouitate, a unor caracteristici de securitate robuste protocolului IAX. **Au fost analizate din punct de vedere teoretic proprietățile de securitate și mobilitate ale standardului IEEE 802.11 și pe baza acestor rezultate a fost dezvoltat un modul software. Modulul software creat pentru a evalua această abordare a avut următoarele proprietăți:**

- **a permis alegerea a 5 metode diferite de criptare;**
- **a traversat cu succes translatorul de adrese de rețea (NAT-Network Address Translator);**
- **a simulat schimbul de chei prin utilizarea cheilor de sesiune pre-partajate;**
- **securitate puternică;**
- **nici o modificare pentru cerințele de lățime de bandă;**
- **cerințe relativ mici în utilizarea procesorului.**

Am selectat Softphon-ul Kiax ca bază pentru sistemul propus, deoarece a fost la dispoziție ca și licență open-source. Rezultatele de performanță testate demonstrează în mod clar fezabilitatea acestei abordări.

Am folosit ca și algoritm de securitate Cryptlib, un modul open source care este conceput să ofere servicii de securitate pentru aplicații.

Cryptlib oferă o interfață standardizată pentru o serie algoritmi de criptare populari. Permite ascunderea în cea mai mare parte a detaliilor de implementare și

folosește un sistem de codare independent de sistemul de operare, fapt ce facilitează transferul de date securizate de la un mediu de operare la altul.

Folosind acest algoritm am creat un modul de program pe care l-am înglobat apoi în softphon-ul Kiax pentru a asigura o comunicație sigură client/server.

Asigurarea confidențialității și autentificării în cadrul comunicației dintre client și server se realizează folosind un sistem criptografic ce utilizează chei publice și private pentru distribuția cheilor de sesiune și chei simetrice pentru criptarea datelor ce se transmit pe canal.

O parte importantă a sistemului o constituie protocolul de conectare prin care se realizează autentificarea părților, distribuția cheilor de sesiune și inițializarea conexiunii. De asemenea am urmărit și performanțele legate de utilizarea procesorului și a lățimii de bandă.

În ansamblu, rezultatele atât pentru calitatea apelului cât și a utilizării procesorului sunt similare pentru diferiți algoritmi de criptare. Cu toate acestea, algoritmul de criptare avansată standard (AES) în modul de feedback al cifrului (CFB) ar trebui să fie considerată ca metodă preferată, deoarece oferă cea mai mică medie de încărcare a procesorului, nu adăuga cerințe de lățime de bandă suplimentare și introduce un minim de probleme în fluxul audio.

Toate rețelele fără fir sunt expuse riscului de compromitere oferind un punct de acces la rețelele fizice interne, dincolo de controalele de securitate ale nivelului fizic. Din păcate, problema nu este ușor de rezolvat nici în viitor. O soluție intermediară de reducere a riscurilor de securitate, pe termen scurt, (nu este o soluție completă) este un sistem de management robust al cheilor pentru WEP și utilizarea unor mecanisme de nivel mai ridicat de securitate, de exemplu, IPsec. Cu toate acestea, aceste mecanisme, atenuează doar problema, dar nu o rezolvă. Stabilirea unui algoritm care să fie încapsulat în standardul IEEE 802.11 este misiunea comisiunii de standarde. Până atunci pachetele falsificate vor fi în continuare o problemă. Singura soluție bună pe termen lung este o revizuire majoră a standardelor actuale, care pot solicita înlocuirea punctului de acces curent (cu toate că în unele cazuri, o actualizare a firmware-ului nu ar putea fi posibil). Din fericire, se lucrează în prezent la îmbunătățiri semnificativă a standardului IEEE 802.11 [34]. Cu toate acestea, este prea târziu pentru rețelele existente și pentru cele pe cale de a fi extinse. O serie de furnizori, care oferă puncte de acces, susțin că investesc enorm pentru creșterea securității. Din păcate, puține din produse furnizează suficiente informații pentru a putea trage concluzia că se asigură o securitate a rețelei sută la sută. Mai rău, multe din produsele care nu furnizează suficiente informații utilizează un algoritm de autentificare Diffie-Hellman care suferă de cunoscutul 'man in the middle of attack'. Utilizarea de autentificări bazate pe algoritmul Diffie-Hellman introduce o mai mare vulnerabilitate în organizarea rețelei. Creșterea riscurilor se produce când un atacator se poate insera personal în mijlocul schimbului de chei între client și punctul de acces și poate obține cheia de sesiune K. Acest fapt este semnificativ mai rău decât în situația curentă unde atacatorul trebuie să stabilească mai întâi un flux pseudo aleator produs pentru o anumită cheie, K și vector public IV, și apoi să utilizeze fluxul pentru a falsifica pachetele.

Un alt studiu prezentat în acest capitol este pentru traficul la nivelul substratului de acces la mediu cu distribuție multiplă din rețelele fără fir bazate pe standardul IEEE 802.11. Rezultatele arată că într-o topologie liniară simplă, rata de pierdere a cadrelor/salt este între 0,2% și 0,7%. Prin urmare, chiar și atunci când se utilizează astfel de rețele, exclusiv pentru trafic VoIP cu distribuție multiplă, pierderea de cadre devine critică dacă traficul trece prin mai mult de patru stații. **Problema stațiilor ascunse poate duce la pierderea semnificativă de**

cadre, făcând traficul VoIP inutilizabil. Experimentele sugerează că, deși traficul VoIP tolerează unele pierderi, distribuția multiplă poate, în general, să fie utilizată numai dacă mecanisme suplimentare vor fi implementate în straturile superioare ale rețelei pentru a atenua pierderile de cadre de la nivelul substratului de acces la mediu.

În pofida rezultatelor obținute în acest studiu experimental, transmisia cu distribuție multiplă poate încă să fie "suficient de bună" în multe scenarii, în special dacă densitatea stațiilor este mare. În activitatea viitoare, îmi propunem să efectuăm simulări care utilizează rezultatele experimentelor descrise în acest document ca intrare și să investighez astfel de situații. În plus, am în plan analiza calității traficului de voce atunci când se utilizează tehnici de securitate pentru distribuția multiplă și tehnici de rutare sofisticate. De asemenea, doresc să experimentez utilizarea distribuției spre un singur punct și puncte multiple pentru distribuția traficului VoIP prin rețele fără fir bazate pe standardul IEEE 802.11.

5. CONTRIBUȚII ȘI CONCLUZII

Asigurarea calității în sistemul de telefonie VoIP bazat pe standardul IEEE 802.11 implică interacțiunea mai multor factori cum ar fi: sistemul de operare, interoperarea între rețele, protocoalele VoIP, criptografia și securitatea întregului sistem.

Din punct de vedere al securității, sunt aceleași probleme de rezolvat ca și în rețelele fixe. Singura diferență este cea legată de securizarea legăturii fără fir.

Deoarece mediul de transmitere este aerul, comunicațiile pot fi mai ușor interceptate. Atacatorii pot să se conecteze ilegal la aceste rețele și să lanseze atacuri. În plus, atacatorii pot să se mascheze în puncte de acces legale, păcălind astfel utilizatorii.

Pentru securizarea unei conexiuni VoIP fără fir se impun măsuri de securitate suplimentare față de o conexiune dintr-o rețea fixă. Standardul IEEE 802.11 reglementează această problemă. Deși măsurile de securitate nu pot elimina în totalitate posibilitatea producerii unor incidente, probabilitatea de reușită a atacurilor poate fi diminuată substanțial. Prin implementarea și supravegherea politicilor de securitate se dorește evitarea unor incidente.

În lucrarea de doctorat s-au evidențiat breșele din mecanismele de securitate utilizate de majoritatea punctelor de acces ale rețelelor fără fir bazate pe standardul IEEE 802.11. Barierele de securitate (securitatea de bază) care au fost prevăzute în protocoalele rețelelor fără fir asigură un nivel relativ scăzut al securității acestor rețele, ceea ce le-a frânat întrucâtva dezvoltarea.

Securitatea de bază a rețelelor fără fir este asigurată prin implementarea următoarelor funcții: set de servicii de identificare (SSID-Service Set Identifiers), chei secrete partajate și verificarea adresei mediului de acces (MAC-Media Access Control).

În practică, mecanismele de securitate bazate pe un secret partajat nu sunt foarte robuste și nu asigură protecție atât la utilizare cât și la distribuție. Din păcate, mai multe mesaje de management conțin numele rețelei sau funcția SSID. Aceste mesaje sunt difuzate în clar de către punctele de acces și de clienți. Mesajul real, care conține funcția SSID, depinde de furnizorul punctului de acces. Rezultatul final este că un atacator poate depista numele rețelei, stabilind astfel cheia partajată și putând astfel pătrunde în rețeaua utilizatorului. Acest aspect există chiar și cu funcția WEP, pentru că mesajele de management sunt difuzate în clar.

O aplicație VoIP este alcătuită din două părți componente: aplicația *Client*, aplicația *Server*. Cele două funcționează ca niște automate cu stări finite ce comunică prin semnale.

Rezultatele experimentale au confirmat că asigurarea confidențialității și autentificării în cadrul comunicației dintre client și server se poate realiza folosind un sistem criptografic hibrid ce utilizează chei publice și private pentru distribuția cheilor de sesiune și cheilor simetrice pentru criptarea datelor ce se transmit pe canal.

O parte importantă a sistemului o constituie protocolul de conectare prin care se realizează autentificarea părților, distribuția cheilor de sesiune și inițializarea conexiunii.

În lucrarea de doctorat se pot evidenția un număr de 10 contribuții teoretice și experimentale, cu caracter de noutate în domeniul inițializării și securității protocolului SIP în rețelele fără fir, prezentate sintetic în continuare, fiind însoțite de referințe bibliografice, cu referire la articolele publicate.

5.1 Contribuții teoretice

(1) Efectuarea de cercetări privind numărul maxim de apeluri admise în listele de interogare ale punctelor de acces bazate pe standardul IEE 802.11.

Am cercetat fundamentele teoretice ale funcției de coordonare prin punct ce permite accesul centralizat în rețeaua fără fir. Am descris un model analitic și am experimentat un algoritm de control al numărului de apeluri vocale admise în lista de interogare și invitare la emisie a punctelor de acces din rețele fără fir, pentru a reduce întârzierile în momentul transmiterii și recepționării pachetelor de date, (capitolul 3, paragraful 3.5.3), [39].

(2) Efectuarea de cercetări privind întârzierile din sesiunea de inițializare a protocolului de semnalizare SIP, folosit pentru a stabili, modifica și iniția apelurile telefonice VoIP.

Am determinat principalii parametri care produc întârzieri semnificative ale sesiunii de inițializare a protocolului SIP în rețelele fără fir și care afectează calitatea acestuia. Aceștia sunt: întârzierea la transmiterea prin rețea, fapt ce poate produce pierderi și cozile de așteptare, (capitolul 3, paragraful 3.2), [38].

(3) Analiza comparativă a performanțelor sesiunii de inițializare a protocolului SIP funcție de protocolul de transport utilizat.

Această analiză comparativă mi-a permis evaluarea ratei de eroare a cadrelor (FER-Frame Error Rate) funcție de protocoalele de transport utilizate: TCP, UDP și RLP. Întârzierile produse de fiecare dintre ele depind de mărimea pachetelor de semnalizare implicate în stabilirea sesiunii și de numărul de servere pe care acestea le traversează până la destinație, (capitolul 3, paragrafele 3.3.2-3.3.5), [38].

(4) Realizarea unui studiu comparativ al mecanismelor de control al accesului în punctele de acces, AP, ale rețelelor fără fir.

Acest studiu comparativ, evidențiază breșele din mecanismele de securitate utilizate de marea majoritate a punctelor de acces care au la bază standardul IEEE 802.11.

Concluzia finală este ca toate rețelele fără fir bazate pe standardul IEEE 802.11 sunt expuse riscului deoarece accesul la rețelele fizice, ale utilizatorilor se face după implementările de securitate ale acestora. Din păcate, problema nu este ușor de rezolvat. Singura soluție bună pe termen lung este o revizuire majoră a standardelor actuale și introducerea unui sistem robust de management al cheii partajate și utilizarea unor mecanisme de nivel mai ridicat de securitate, de exemplu, IPsec, (capitolul 4, paragraful 4.2), [41].

(5) Justificarea necesității corecției erorilor pachetelor în rețelele fără fir bazate pe standardul IEEE 802.11

Necesitatea corecției erorilor este motivată de faptul că subnivelul accesului la mediu (MAC-Medium Access Control) al standardului IEEE 802.11 suportă retransmiteri ale pachetelor, impuse de erorile de transmisie ale celor două funcții ale standardului IEEE 802.11 de coordonare prin punct (PFC) și coordonare distribuită (DCF). În mod normal retransmiterile sunt evitate pentru traficul în timp real datorită întârzierilor pe care le implică, (capitolul 3, paragraful 3.7), [41].

(6) Efectuarea de cercetări privind performanța și fiabilitatea transmisi-ei vocii către destinații multiple în subnivelul de acces la mediu al rețelelor fără fir bazate pe standardul IEEE 802.11.

Experimentele arată că pentru o transmisie către destinații multiple pachetele ajung la destinație și pot fi reasamblate dacă nu trec prin mai mult de 4 stații, eroarea fiind între 0,2-0,7 %. Stațiile ascunse pot conduce la rate de eroare mult mai mari. Chiar dacă traficul VoIP acceptă erori mai mari, controlul de acces la mediu pentru astfel de situații necesită corecții de pachete la nivelul straturilor superioare, (capitolul 4, paragraful 4.6), [37].

(7) Analiza comparativă privind performanțele celor două protocoale de semnalizare SIP și H.323.

Această comparație mi-a permis să definesc o direcție prin care să se poată reduce întârzierile în inițializarea unei sesiuni de inițializare SIP, (capitolul 3, paragraful 3.4), [38].

5.2 Contribuții aplicative

(8) Implementare unui contor adaptiv pentru retransmitere în scopul reducerii timpului de inițializare SIP.

Bazându-mă pe analiza comparativă privind performanțele celor 2 protocoale de semnalizare SIP și H.323 am realizat un contor adaptiv pentru retransmitere care să se poată adapta la mărimea pachetelor de semnalizare implicate în stabilirea conexiunii, (capitolul 3, paragraful 3.3.1.), [38].

(9) Implementarea unui modul de program software care să asigure securitatea și mobilitatea aplicațiilor VoIP.

Această implementare mi-a permis crearea unui modul de program software care să răspundă următoarelor cerințe, (capitolul 4, paragraful 4.3), [40].

- permite alegerea a 5 metode diferite de criptare;
- translatarea cu succes a adreselor dintr-o rețea privată în publice (NAT-network Address Translation);
- simularea de cheie de schimb prin utilizarea cheilor de sesiune partajate;
- securitate foarte bună;
- nici o modificare la cerințele de lățime de bandă;
- cerințe reduse pentru procesorul calculatorului utilizat.

(10) Implementat unui sistem criptografic pentru o comunicație sigură client-server

Criptografia și securitatea datelor sunt baza fără de care nu se poate discuta despre securitatea transmiterii prin Internet a informațiilor. Contribuția originală constă în realizarea unui sistem criptografic pentru o comunicație sigură client / server, (capitolul 4, paragraful 4.3), [40].

5.3 Considerații finale

Toate rețelele fără fir dezvoltate pe baza standardul IEEE 802.11 sunt expuse riscului de compromitere, oferind un punct de acces la rețelele fizice interne, dincolo de controalele de securitate ale nivelului fizic. Din păcate, problema nu este ușor de rezolvat nici în viitor. O soluție intermediară de reducere a riscurilor de securitate pe termen scurt (nu este o soluție completă) este un sistem de management robust al cheilor partajate și utilizarea unor mecanisme de nivel mai ridicat de securitate, de exemplu IPsec. Cu toate acestea, aceste mecanisme, doar atenuază problema, dar nu o rezolvă. Stabilirea unui algoritm care să fie încapsulat în standardul IEEE 802.11 este misiunea comisiei de standarde. Până atunci pachetele falsificate vor fi în continuare o problemă. Singura soluție bună pe termen lung este o revizuire majoră a standardelor actuale, care pot solicita înlocuirea punctului de acces (AP acces point) curent (cu toate că în unele cazuri, o actualizare a firmware-ului nu ar putea fi posibil). Din fericire, se lucrează în prezent la îmbunătățiri semnificative a standardului IEEE 802.11. Cu toate acestea, este prea târziu pentru rețelele existente și pentru cele pe cale de a fi extinse. O serie de furnizori, care oferă puncte de acces, susțin că investesc enorm pentru creșterea securității. Din păcate, puține din produse furnizează suficiente informații pentru a putea trage concluzia că se asigură o securitate sută la sută a rețelei. Mai rău, multe din produsele care nu furnizează suficiente informații utilizează un algoritm de autentificare Diffie-Hellman care suferă de cunoscutul *"man in the middle of attack"*. Utilizarea de autentificări bazate pe algoritmul Diffie-Hellman introduce o mai mare vulnerabilitate în organizarea rețelei. Creșterea riscurilor se produce și când un atacator se poate insera personal, în mijlocul schimbului de chei între client și punctul de acces și poate obține cheia de sesiune.

Lucrarea de doctorat aduce soluții originale ce permit creșterea securității schimbului de mesaje într-o aplicație VoIP, bazată pe o conexiune client/server. Soluțiile de securitate propuse în cadrul lucrării de doctorat completează soluțiile de securitate cunoscute, putând fi aplicate concomitent cu acestea.

Lucrarea de doctorat vine de asemenea cu o soluție originală de reducere a întârzierilor în sesiunea de inițializare a unei conexiuni VoIP, printr-un contor adaptiv pentru retransmitere a pachetelor. Tot în scopul reducerii timpului de inițializare a unei sesiuni VoIP am făcut și un studiu comparativ al protocoalelor utilizate. Pentru o rată de eroare mai mare de 2% este de preferat protocolul SIP în locul lui H.323.

Îmbunătățiri ale transmiterii vocii prin rețelele fără fir pot fi aduse în toate straturile acesteia. Această teză stabilește un număr de convorbiri care pot fi admise în lista de interogare și invitare la emisie a funcției de coordonare prin punct la nivelul substratului de acces la mediu al unei rețele fără fir. Astfel, pentru o rată de 11 Mbps, sunt admise în lista de interogare 26 de convorbiri pentru o mărime a supercadrelor nu mai mare de 90 ms și o întârziere maximă de 303 ms. Tot din motive

de limitare a întârzierilor se preferă modul de transmitere cu rată de biți constantă (CBR).

O altă propunere cu caracter de noutate este utilizarea în transmisiile VoIP a protocolului IAX și a unei interfețe prevăzută cu un modul de securitate pentru transmiterea și recepționarea pachetelor de date.

Această teză aduce ca noutate și un studiu al distribuției multiple a traficului de voce în rețelele bazate pe standardul IEEE 802.11. Rezultatele arată că pentru o rețea cu o rată de 2 Mbps, rata maximă de transfer este de 1,76 Mbps. De asemenea numărul maxim de stații prin care se poate face redirectionarea este limitat la patru, altfel se depășește raportul de pierdere a cadrelor/obstacol ce trebuie să fie între 0,2% și 0,7%. Prin urmare, chiar și atunci când se utilizează astfel de rețele exclusiv pentru trimiterea multiplă a traficului de voce, pierderea de cadre devine critică dacă traficul este transmis prin mai mult de patru stații. Problema stațiilor ascunse poate duce de asemenea la pierderea semnificativă de cadre, făcând imposibilă refacerea semnalului. Experimentele au arătat, că deși traficul VoIP tolerează unele pierderi, trimiterea multiplă (MAC distribuția multiplă) poate, în general, să fie utilizată numai dacă mecanisme suplimentare sunt prevăzute la nivelurile superioare. Rolul acestora este de a atenua pierderea de cadre din substratul de acces la mediu (MAC). În pofida rezultatelor obținute în acest studiu experimental, transmisiile multiple pot fi suficient de bune în multe scenarii, în special dacă densitatea stațiilor este mare.

BIBLIOGRAFIE

- [1] Agarwal A.K., Wang W. , *On the impact of quality of protection in wireless local area networks with IP mobility*, Mobile Networks and Applications Journal, Volume 12, Issue 1, pp.93-110, ISSN 1383-469X, Kluwer Academic Publishers, Hingham, MA, USA, January 2007.
- [2] Albers J., Hahn B., McGann S., Park S., Zhu R., *An Analysis of Security Threats and Tools in SIP-Based VoIP Systems*, <http://www.colorado.edu/cs/policylab/>, University of Colorado, Boulder, April 2005.
- [3] An Chan, Liew S. C., *Performance of VoIP over Multiple Co-Located IEEE 802.11 Wireless LANs*, Mobile Computing, IEEE Transactions 2009, Volume 8, Issue 8, pp. 1063-1076, ISSN 1536-1233, IEEE Computer Society, August 2009.
- [4] Balachandran A., Voelker G.M., Bahl P., *Wireless Hotspots: Current Challenges and Future Directions*, Mobile Networks and Applications, Volume 10, Number 3, pp.265-274, ISSN 1383-469X, Springer Netherlands, June 2005.
- [5] Bandyopadhyay S., Coyle E.J., Falck T., *Stochastic Properties of Mobility Models in Mobile Ad Hoc Networks*, Mobile Computing, IEEE Transactions on, Volume 6, Issue 11, pp.1218-1229, ISSN 1536-1233, November 2007.
- [6] Barker E., Roginsky A., *DRAFT Recommendation for the Transitioning of Cryptographic Algorithms and Key Sizes*, National Institute of Standards and Technology, Special Publication SP 800-131, Gaithersburg, MD, USA, January 2010.
- [7] Benini M., Sicari S., *Assessing the risk of intercepting VoIP calls Source*, The International Journal of Computer and Telecommunications Networking, Volume 52, Issue 12, pp.2432-2446, ISSN 1389-1286, Elsevier North-Holland, Inc. New York, NY, USA, August 2008.
- [8] Berger A., Hefeeda M., *Exploiting SIP for botnet communication*, Secure Network Protocols 2009. NPsec 2009. 5th IEEE Workshop on, pp.31-36, ISBN 978-1-4244-4866-1, Princeton, New Jersey, USA, October 2009.
- [9] Bianchi G., *Performance analysis of the IEEE 802.11 distributed coordination function*, *IEEE Journal of Selected Areas in Communications*, Vol. 18, pp.535-547, 2000.
- [10] Binet D., Martin A., Gaabab B., *A Proactive Authentication Integration for the Network Mobility*, Third International Conference on Wireless and Mobile Communications (ICWMC'07), pp. 53-59, ISBN 0-7695-2796-5, Guadeloupe, French Caribbean, March 2007.
- [11] Boyle D., Newe T., *Security Protocols for Use with Wireless Sensor Networks: A Survey of Security Architectures*, Wireless and Mobile Communications, 2007. ICWMC'07. Third International Conference, pp.54-60, ISBN 0-7695-2796-5, Guadeloupe, French Caribbean, March 2007.
- [12] Camilo T., Pinto P., Rodrigues A., Sa Silva J., Boavida F., *Mobility management in IP-based Wire-less Sensor Networks*, Proceedings of the 2008 International Symposium on a World of Wireless, Mobile and Multimedia Networks, pp. 1-8, ISBN 978-1-4244-2099-5, Newport Beach, California, USA, June 2008.

- [13] Canberk B., Oktug S., *Self Similarity Analysis and Modeling of VoIP Traffic under Wireless Heterogeneous Network Environment*, Telecommunications, 2009. AICT'09. Fifth Advanced International Conference on, pp.76-82, ISBN 978-1-4244-3840-2, Venice, Italy, May 2009.
- [14] Casola V., Mazzeo A., Mazzoccca N., Rak M., *Security design and evaluation in a VoIP secure infrastructure*, Proceedings of ITCC'05, volume 1, pp.727-732, ISBN 0-7695-2315-3, Las Vegas, Nevada, USA, April 2006.
- [15] Celik Guner D., Zussman G., Khan Wajahat F., Modiano E., *MAC for Networks with Multipacket Reception Capability and Spatially Distributed Nodes*, IEEE Transactions on Mobile Computing Volume 9, Issue 2, pp. 226-240, ISSN:1536-1233, Piscataway, New Jersey, USA , February 2010.
- [16] Chan Yeob Yeun, Salman Mohammed Al-Marzouqi, *Practical Implementations for Securing VoIP Enabled Mobile Devices*, 2009 Third International Conference on Network and System Security 2009, pp.409-414, ISBN 978-0-7695-3838-9, Gold Coast, Queensland, Australia, October 2009.
- [17] Chang Chin-Chen, Chiu Yen-Chang, Tsai Hao-Chuan, *A Simple and Robust Authenticated Multiple Key Agreement Scheme*, International Conference on Security Technology, SECTECH '08, pp. 214-218, ISBN 978-0-7695-3486-2, Hainan Island, China, December 2008.
- [18] Chen Lin, Leneutre J.A, Puig J.-J., *Secure and Efficient Link State Routing Protocol for Ad Hoc Networks*, Wireless and Mobile Communications, 2006. ICWMC'06. International Conference on, pp.36-42, ISBN 0-7695-2629-2, Bucharest, Romania, July 2006.
- [19] Chen Ling, Lu Jian-de, *IMEWAS--A Integrated Multi-platform EAPoW-Based WLAN AAA Solution*, Wireless and Mobile Communications, 2007. ICWMC'07. Third International Conference on, pp.17-21, ISBN 0-7695-2796-5, Guadeloupe, French Caribbean, March 2007.
- [20] Chen Z., Wang L., Wang X., Chen Hsiao-Hwa, *Voice over Internet Protocol over IEEE 802.11 Wireless Local Area Networks and effective admission control with transmission interval adaptation*, International Journal of Autonomous and Adaptive Communications Systems, Volume 1, Issue 1, pp.82-105, ISSN 1754-8632, Inderscience Publishers, Geneva, Switzerland, July 2008.
- [21] Cheriton D.R., Faria D.B., *Detecting Identity-Based Attacks in Wireless Networks Using Signal Prints*, Proceedings of the 5th ACM workshop on Wireless security, SESSION: Radio-layer security, pp.43-52, ISBN 1-59593-557-6, Los Angeles, California, September 2006 .
- [22] Choi S., Prado J., Mangold S., Shankar S., *IEEE 802.11e Contention-Based Channel Access (EDCF) Performance Evaluation*, Proceedings of the IEEE International Conference on Communications (ICC), pp.1151-1156, 2003.
- [23] Cole R.G., Rosenbluth J.H., *Voice over IP performance monitoring*, ACM SIGCOMM Computer Communication Review, Volume 31, Issue 2, pp.9-24, ISSN 0146-4833, ACM, New York, NY, USA, 2001.
- [24] Cuppens F., Cuppens-Boulahia N., Nuon S., Ramar T., *Property Based Intrusion Detection to Secure OLSR*, Wireless and Mobile Communications, 2007. ICWMC'07. Third International Conference on, pp.52-60, ISBN 0-7695-2796-5, Guadeloupe, French Caribbean, March 2007.
- [25] D.Binet, A.Martin, B.Gaabab, *A Proactive Authentication Integration for the Network Mobility*, Wireless and Mobile Communications, 2007. ICWMC'07. Third International Conference on, ISBN: 0-7695-2796-5, pp:53-53, Guadeloupe, French Caribbean, March 2007.

- [26] Degabriele J.P., Paterson K.G., *Attacking the IPsec Standards in Encryption-only Configurations*, *Security and Privacy*, 2007. SP '07. IEEE Symposium on, pp.335-349, ISSN 1081-6011, Berkeley, California, USA, May 2007.
- [27] Garg S., Kappes M. 'Can I add a VoIP call?', Paper presented in the Proceedings of the *IEEE International Conference on Communications (ICC)*, Anchorage, Alaska, May, 2003.
- [28] Guillen E. P., Chacon D. A., *VoIP Networks Performance Analysis with Encryption Systems*, World Academy of Science, Engineering and Technology, Volume 58, art.119, pp.688-696, ISSN 2070-3724, Venice, Italy, October 2009.
- [29] Gupta G.R., Shroff N.B, *Delay analysis of scheduling policies in wireless networks*, *Signals, Systems and Computers*, 2008 42nd Asilomar Conference on, pp.2137-2141, ISSN 1058-6393, Pacific Grove, CA ,USA, October 2009.
- [30] Gupta P., Shmatikov V., *Security Analysis of Voice-over-IP Protocols*, Computer Security Foundations Symposium, 2007. CSF '07. 20th IEEE, pp.49-63, ISSN 1063-6900, Venice, Italy, July 2007.
- [31] Hayajneh T., Krishnamurthy P., Tipper D., *De Worm: A Simple Protocol to Detect Wormhole Attacks in Wireless Ad Hoc Network*, *Network and System Security 2009, NSS'09*. Third International Conference on, pp.74-80, ISBN 978-0-7695-3838-9, Gold Coast, Queensland, Australia, October 2009.
- [32] Hong Hou, Borkar V., Kumar P.R., *A Theory of QoS for Wireless*, *Proceedings of Infocom 2009*, pp.486-494, ISSN 0743-166X, Rio de Janeiro, Brazil, April, 2009.
- [33] Hu X., Morely Mao Z., *Accurate Real-time Identification of IP Prefix Hijacking*, *Security and Privacy*, 2007. SP '07. IEEE Symposium on, pp.3-17, ISSN 1081-6011, Berkeley, California, USA, May 2007.
- [34] IEEE 802 Standards and the Committee (1999) *IEEE Standard for Wireless LAN Medium Access Control (MAC) and Physical Layer (PHY) Specifications*, ISO/IEC 8802-11: 1999(E).
- [35] IEEE 802 Standards and the Committee (2004) *Draft Supplement to Part 11: Medium Access Control (MAC) Enhancements for Quality of Service (QoS)*, IEEE STD 802.11e/D8.0, February.
- [36] Intel Co., Ltd. (2007) *Enhance Collaboration and Communication through VoIP*. Available at: <http://www.intel.com/netcomms/>.
- [37] **Ioaneşiu M.**, *An Experimental Analysis of Performance of MAC Multicast Distribution in 802.11 Networks for VoIP Traffic*, *Lucrările sesiunii de comunicări științifice „Doctor Etc 2009”*, Timișoara, Universitatea „Politehnica” din Timișoara, Facultatea de Electronică și Telecomunicații, Departamentul Comunicații, pp.49-54, ISSN 2066-883X, Timișoara, September 2009.
- [38] **Ioaneşiu M.**, Toma C.I., *Optimization of SIP session setup delay for VOIP in 3G wireless networks*, *Proceedings of the 4th International Conference on Engineering Technologies-ICET 2009*, pp. 367-375, ISBN 978-86-7892-227-5, Novi Sad, Serbia, April 2009.
- [39] **Ioaneşiu M.**, Toma C.I., *Support of Voice services in IEEE 802.11 wireless LANs*, *Proceedings of the 4th International Conference on Engineering Technologies-ICET 2009*, pp. 379-385, ISBN 978-86-7892-227-5, Novi Sad, Serbia, April, 2009.
- [40] **Ioaneşiu M.**, *Security of Mobile VoIP*, *International Symposium on Electronics and Telecommunications, ETC 2008*, Eight Editions, Buletinul Științific al Universității „Politehnica” din Timișoara, Tom 53 (67), Fascicola 2, 2008, pp.

36-41, ISSN 1583-3380, Seria Electronică și Telecomunicații, Timișoara, September 2008.

- [41] **Ioaneșiu M.**, *The security in wireless networks based on 802.11 standards. Problems and solutions. Developments of 802.11 standards in connection with security problems*, Lucrările sesiunii de comunicări științifice „Doctor Etc 2007”, Universitatea „Politehnica” din Timișoara, Facultatea de Electronică și Telecomunicații, Departamentul Comunicații, pp. 88–93, ISBN 978–973–625–494-9, Timișoara, September, 2007.
- [42] **Ioaneșiu M.**, *Securitatea datelor prin criptare*, Referatul 3 pentru doctorat, Universitatea „Politehnica” din Timișoara, Facultatea de Electronică și Telecomunicații, Departamentul Comunicații, 2006.
- [43] **Ioaneșiu M.**, *Stadiul actual și de perspectivă al securității rețelelor de calculatoare*, Referatul 2 pentru doctorat, Universitatea „Politehnica” din Timișoara, Facultatea de Electronică și Telecomunicații, Departamentul Comunicații, 2005.
- [44] **Ioaneșiu M.**, *VPN și securitatea datelor*, Referatul 1 pentru doctorat, Universitatea „Politehnica” din Timișoara, Facultatea de Electronică și Telecomunicații, Departamentul Comunicații, 2004.
- [45] Izquierdo A., Sierra J.M., Torres J., *An analysis of conformance issues in implementations of standardized security protocols*, Computer Standards & Interfaces, Volume 31 , Issue 1, pp.246-251, ISSN 0920-5489, Elsevier Science Publishers B.V. Amsterdam, Netherlands, January 2009.
- [46] Johnston A., Sparks R., Cunningham C, Donovan S., Summers K., *Session Initiation Protocol Service Examples*, Network Working Group Request for Comments:5359, <http://tools.ietf.org/html/rfc5359>, October 2008.
- [47] Juniper Networks, *Enterprise VoIP security*, White papers, Part Number 200179-001, Juniper Networks, Inc., USA, 408 745 2000 or 888 JUNIPER, www.juniper.net, April 2006.
- [48] Khan K.M., Han J., *Specifying Security Goals of Component Based Systems: An End-User Perspective*, Composition-Based Software Systems, 2008. ICCBSS 2008. Seventh International Conference on, pp. 101-109, ISBN 978-0-7695-3091-8, Madrid, Spain, February 2008.
- [49] Kolahi S.S., Mani P., Narayan S., Nguyen D.D.T., Sunarto Y., *The impact of wireless LAN security on performance of different Windows operating systems*, IEEE Symposium on Computers and Communications, ISCC 2008, pp.260–264, ISSN 1530-1346, Marrakech, Maroc, July 2008.
- [50] Kuhn D.R., Walsh T.J., Fries S., *Security Considerations for Voice Over IP Systems*, National Institute of Standards and Technology, Special Publication SP 800-58, Gaithersburg, MD, USA, January 2005.
- [51] Le Boudec J.-Y., Vojnovic M., *The Random Trip Model: Stability, Stationary Regime, and Perfect Simulation*, Networking, IEEE/ACM Transactions on, pp.1153-1166, Volume 14, Issue 6, ISSN 1063-6692, San Francisco, California, USA, December 2006.
- [52] Lewis N., Foukia N., *An Efficient Reputation-Based Routing Mechanism for Wireless Sensor Networks: Testing the Impact of Mobility and Hostile Nodes*, Proceedings of the 2008 Sixth Annual Conference on Privacy, Security and Trust, pp.151-155, ISBN 978-0-7695-3390-2, Fredericton, New Brunswick, Canada, October 2008.
- [53] Liang W., Wang W., *A quantitative study of authentication and QoS in wireless IP networks*, INFOCOM 2005. 24th Annual Joint Conference of the IEEE Com-

- puter and Communications Societies. Proceedings IEEE, Volume 2, pp. 1478-1489, ISSN 0743-166X, Miami, Florida, USA, March 2005.
- [54] Manivannan N., Neelameham P., *Alternative Pair-wise Key Exchange Protocols (IEEE 802.11i) in Wireless LANs*, Wireless and Mobile Communications, 2006. ICWMC'06. International Conference on, pp.52-60, ISBN 0-7695-2629-2, Bucharest, Romania, July 2006
- [55] Marius HERCULEA, Tudor Mihai BLAGA, Virgil DOBROTA, *Evaluation of Security and Countermeasures for a SIP-based VoIP Architecture*, 7th RoEduNet International Conference 2008, Cluj Napoca, Romania, August 2008.
- [56] Marshall P.F., *Recent progress in moving cognitive radio and services to deployment*, World of Wireless, Mobile and Multimedia Networks, 2008. WoWMoM 2008. 2008 International Symposium on, pp. 1-8, ISBN 978-1-4244-2099-5, Newport Beach, California, USA, June 2008.
- [57] Melnyk M., Jukan A., *On Signaling Efficiency for Call Setup in all-IP Wireless Networks*, ICC apos;06. IEEE International Conference, Volume 5, pp.1939-1945, Istambul, Turkey, June 2006.
- [58] Moon Jong-Sik, Lee Sun-Ho, Park Jong-Hyuk, Lee Deok-Gyu, Lee Im-Yeong, *Admissible Bilinear Map Based Key Management Technology in Heterogeneous Mobile Networks*, International Conference on Security Technology, 2008, SECTECH apos;08, pp.242-247, ISBN 978-0-7695-3486-2, Hainan Island, China, December 2008.
- [59] Morvan M., Sené S., *A Distributed Trust Diffusion Protocol for Ad Hoc Networks*, Wireless and Mobile Communications, 2006. ICWMC'06. International Conference on, pp. 87-83, ISBN 0-7695-2629-2, Bucharest, Romania, July 2006.
- [60] Myakotnykh E.S., Thompson R.A., *Adaptive Speech Quality Management in Voice-over-IP Communications*, Fifth Advanced International Conference on Telecommunications 2009, pp.64-71, ISBN 978-1-4244-3840-2, Venice/Mestre, Italy, May 2009.
- [61] Ng Ching Yu, *Contributions to Security in Wireless Ad-Hoc Networks*, Computing Science Department, University of Wollongong, Australia, 2005. <http://ro.uow.edu.au/theses/38>.
- [62] Niculescu G., Bărbălău S., *Analiza și modularea sistemelor de comunicații*, Editura MatrixRom, București, 1997;
- [63] Papadimitriou A., Le Fessant F, Viana A.C., Sengul C., *Cryptographic protocols to fight sinkhole attacks on tree-based routing in Wireless Sensor Networks*, Secure Network Protocols, 2009. NPSec 2009. 5th IEEE Workshop on, pp. 43-48, ISBN 978-1-4244-4866-1, Princeton, New Jersey, USA, October 2009.
- [64] Paterson K.G., Yau A.K.L., *Lost in Translation: Theory and Practice in Cryptography*, IEEE Security and Privacy, Vol.4, No.3, pp.69-72, ISSN 1540-7993, May-June 2006.
- [65] POTORAC, A. D., *Considerations on VoIP Throughput in 802.11 Networks*, Advances in Electrical and Computer Engineering Volume 9, Issue 3, pp. 45-50, Year: 2009, ISSN 1582-7445, Suceava, Romania, October 2009.
- [66] Rehart R., *Securing Voice Traffic Over Wireless Packet Networks*, <http://www.docstoc.com/docs/12874303/Voice-security-of-Wireless-Networks/>, February 20, 2006
- [67] Rughinis R. Iconaru C., *A Practical Analysis of Asterisk SIP Server Performance*, 7th RoEduNet International Conference 2008, Cluj Napoca Romania, August 2008.

- [68] Saltuk Aksahin, *Security Implications of Converged Networks and Protecting them, without Comprising Efficiency*, Volume abs/cs/0702110, Journals CoRR, <http://arxiv.org/abs/cs/0702110>, February 2007
- [69] Sangho S., Schulzrinne H., *Call Admission Control in IEEE 802.11 WLANs Using QP-CAT*, INFOCOM 2008. The 27th Conference on Computer Communications. IEEE, pp.726-734, ISSN 0743-166X, Phoenix, Arizona, USA, April 2008.
- [70] Shankesi R., Alturki M., Sasse R., Gunter Carl A., Meseguer J., *Model-Checking DoS Amplification for VoIP Session Initiation*, Symposium on Research in Computer Security (ESORICS '09), Volume 5789, pp.390-405, ISSN 0302-9743, Saint Malo, France, September 2009.
- [71] Sharma G., Mazumdar R., Shroff Ness B., *Delay and Capacity Trade-Offs in Mobile Ad Hoc Networks: A Global Perspective*, IEEE/ACM Transactions on Networking (TON), Volume 15, Issue 5, pp.981-992, ISSN 1063-6692, San Francisco, California, USA October 2007.
- [72] Shi E., Bethencourt J., Chan T.-H.H., Dawn Song Perrig A., *Multi-Dimensional Range Query over Encrypted Data*, Security and Privacy, 2007. SP '07. IEEE Symposium on, pp.350-364, ISSN 1081-6011, Berkeley, California, USA, May 2007.
- [73] Shin Won-Yong, Chung Sae-Young, Lee Yong H., *Improved Power-Delay Trade-off in Wireless Ad Hoc Networks Using Opportunistic Routing*, Information Theory, 2007. ISIT 2007. IEEE International Symposium on, PP. 841-845, ISBN 978-1-4244-1397-3, Nice, France, June 2007.
- [74] Silva R.M.S., Pereira N.S.A., *Applicability Drawbacks of Probabilistic Key Management Schemes for Real World Applications of Wireless Sensor Networks*, Wireless and Mobile Communications, 2007. ICWMC'07. Third International Conference on, pp.51-58, ISBN 0-7695-2796-5, Guadeloupe, French Caribbean, March 2007.
- [75] Srivatsa M., Liu Ling , Iyengar A., *Preserving Caller Anonymity in Voice-over-IP Networks*, IEEE Symposium on Security and Privacy, 2008. SP 2008, pp. 50-63, ISSN 1081-6011, Oakland, California, USA, May 2008.
- [76] Tao S., Xu K., Estepa A., Gao T.F.L., Guerin R., Kurose J., Towsley D., Zhang Z.-L., *Improving VoIP quality through path switching*, INFOCOM 2005. 24th Annual Joint Conference of the IEEE Computer and Communications Societies. Proceedings IEEE, Volume 4, pp. 2268-2278, ISSN 0743-166X, Miami, Florida, USA; March 2005.
- [77] Vaidya B., Choi D-Y., Park J., Han S., *Investigation of Secure Framework for Multipath MANET*, International Conference on Multimedia and Ubiquitous Engineering (mue 2008), pp.182-185, ISBN: 978-0-7695-3134-2, Busan, Korea, April, 2008.
- [78] Wang K., Lin C., Liu F., *Quality of protection analysis and performance modeling in IP multimedia subsystem*, Computer and Information Science, 2009. ICIS 2009. Eighth IEEE/ACIS International Conference on, pp.234-239, ISBN 978-0-7695-3641-5, Shanghai, China, June 2009.
- [79] Wei Liu, Wenjing Lou, Yuguang Fang, *An efficient quality of service routing algorithm for delay-sensitive applications*, The International Journal of Computer and Telecommunications Networking, Volume 47, Issue 1, pp. 87-104, ISSN 1389-1286, Elsevier North-Holland, Inc. New York, NY, USA, January 2005.

- [80] Wilhelm M., Martinovic I., Schmitt J.B., *On key agreement in wireless sensor networks based on radio transmission properties*, Secure Network Protocols, 2009. NPSec 2009. 5th IEEE Workshop on, pp. 37-42, ISBN 978-1-4244-4866-1, Princeton, New Jersey, USA, October 2009.
- [81] Wright C.V., Ballard L., Coull S.E., Monroe F., Masson G.M., *Spot Me if You Can: Uncovering Spoken Phrases in Encrypted VoIP Conversations*, IEEE Symposium on Security and Privacy 2008, SP 2008, pp. 35-49, ISSN 1081-6011, Oakland, California, USA, May 2008.
- [82] Wu W., Nilanjan B., Kalyan B., Sajal K. D., *Network Assisted IP Mobility Support in Wireless LANs*, Second IEEE International Symposium on Network Computing and Applications, NCA 2003, pp.257-264, ISBN: 0-7695-1938-5, Cambridge, Massachusetts, USA, May 2003
- [83] Yaghmaee M.H., Adjeroh D., *New priority based congestion control protocol for Wireless Multimedia Sensor Networks*, World of Wireless, Mobile and Multimedia Networks, 2008. WoWMoM 2008, International Symposium on, pp. 1-8, ISBN: 978-1-4244-2099-5, Newport Beach, California, USA, June 2008.
- [84] Zahran A.H., Liang B, Saleh A., *Mobility Modeling and Performance Evaluation of Heterogeneous Wireless Networks*, IEEE Transactions on Mobile Computing, Volume 7, Issue 8, pp.1041-1056, ISSN 1536-1233, August 2008.

ANEXA-ARTICOLE PERSONALE PUBLICATE ȘI CITATE ÎN TEZĂ



4th INTERNATIONAL CONFERENCE ON ENGINEERING TECHNOLOGIES - ICET 2009
Novi Sad, April 28-30, 2009

OPTIMIZATION OF SIP SESSION SETUP DELAY FOR VOIP IN 3G WIRELESS NETWORKS

Mirela Ioanesiu^{1*}, Corneliu Toma^{2*}

¹Politehnica⁹⁹ University of Timisoara, Faculty of Electronics and Telecommunications, Timisoara, Romania

²Politehnica⁹⁹ University of Timisoara, Faculty of Electronics and Telecommunications, Timisoara, Romania

*Contact person: ioanesium@yahoo.com

*Contact person: corneliu.toma@etc.upt.ro

Abstract: *Wireless networks beyond 2G aim at supporting real-time applications such as VoIP. This paper focuses on SIP session setup delay and proposes optimizing it using an adaptive retransmission timer. It also evaluates SIP session setup performances with various underlying protocols such as TCP, UDP, and RLP. For 19.2 Kbps channel, the SIP session setup time can be up to 6.12 s with UDP and 7 s with TCP when the FER is up to 10 percent. It also compares SIP and H.323 performances using an adaptive retransmission timer: SIP outperforms H.323, especially for a FER higher than 2 percent.*

Key Words: *IP-based wireless networks / SIP / Session setup delay / TCP / UDP / RLP / H.323.*

1. Introduction

Internet Protocol (IP) based networks have become ubiquitous in recent years. The IP multimedia subsystem (IMS) has been adopted by 3GPP for Universal Mobile Telecommunication System (UMTS). Unlike the fix lines, the wireless access network is highly erroneous due to fading, shadowing, and even intermittent disconnections. This may result in a frame error rate (FER) as high as 10 percent [3]. To cope with such a high FER in CDMA 2000, the data link control (DLC) layer of wireless access networks includes, along with the medium access control (MAC) and logical link control (LLC), a radio link protocol (RLP) sub layer. RLP can work in two modes: transparent and nontransparent. In nontransparent mode, the purpose of RLP [4] is to provide extra reliability to the Layer 2 on top of LLC. LLC was primarily designed for wire line access networks,

experiencing much less data losses. In transparent mode, RLP does not provide extra reliability. In the GSM system, the voice traffic is circuit-switched with the help of the signaling system 7 (SS7). On the other hand, two different signaling schemes were evolved for VoIP services. The first one is H.323, specified by International Telecommunication Union standardization group (ITU-T), for the implementation of multimedia services over packet-based networks. The other one, adopted in the IMS domain is the Session Initiation Protocol (SIP), developed by the Internet Engineering Task Force (IETF), "SIP is an application-layer control protocol that can establish, modify and terminate multimedia sessions or calls" [5]. Unlike H.323, SIP is specifically defined for the Internet.

While VoIP quality has been extensively studied in [6] and [7], session setup time for VoIP has received relatively less attention. The session setup time has a direct impact on the users' satisfaction. The user is used to waiting a maximum of 11 s as specified in [8] and expects to experience the same even if the technology is different. In [9], the session setup delay over public Internet is evaluated for H.323 and SIP using simulations. Kist and Harris in [10] investigate, through simulations, the SIP session initiation delay in the 3GPP context. In an important study [3], the performance of H.323 is evaluated in terms of average call setup delay, considering the RLP (1, 2, 3) scheme. This is the motivation behind this paper. Here, it was considered SIP as the signaling protocol enabling VoIP and is investigated its performance in a wireless model similar to that suggested in [3], [11] and [12]. In this paper, only one type of media (speech)

is considered, therefore, there is no need to use RTCP with SIP.

2. Overview of SIP Protocol in IMS

The basic architecture of SIP is based on a client - server model. In IMS, the SIP functions are located in the IMS domain. These main functions of SIP in IMS are various SIP servers which are called call session control functions (CSCF) and gateways. A user agent, or SIP endpoint, is usually identified using an e - mail like address: user@domain.

1.1. SIP Protocol Stack

SIP works together with the session description protocol (SDP) which is in charge of describing the session to be opened. SIP messages can be carried by UDP or TCP. When SIP is carried by TCP, the transport layer provides reliability. When SIP is carried by UDP, the reliable delivery procedures are ensured by SIP. UDP is the widespread SIP transport protocol [5].

1.2. SIP Session Establishment in IMS

SIP is a transactional protocol in the sense that a SIP transaction consists of a single request and any responses to that request. The establishment of a session using SIP consists of various transactions. Fig. 1. illustrates the session setup between two user agents.

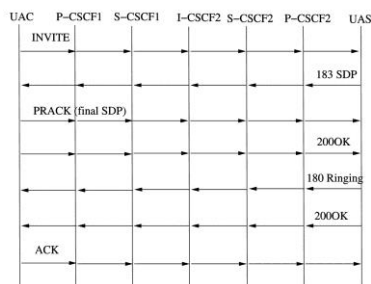


Fig.1. SIP Session Setup

To ensure the reliable delivery of the SIP requests and responses involved in the various transactions, retransmission mechanisms are needed at the user agent client and the user agent server. The client-side transaction consists of sending an INVITE request and receiving the 183 response. The UAC is aware of the successful transmission of the INVITE request as soon as it receives the 183 response. If SIP messages are carried over UDP, the UAC retransmits the INVITE request after an interval that lasts $Tr(1)$ seconds and doubles after each retransmission. The SIP timer $Tr(1)$ is an estimate of the round-trip time and its default value is 500 ms, but it is recommended to be larger in case of high latency access links [5].

The retransmissions cease upon the reception of a 183 response at the user agent client or after seven transmissions of the INVITE request. For reliable transport protocols such as TCP, there is no retransmission mechanism at the application layer; this is handled by the transport layer. Each end has to acknowledge the data it receives from the other end. But, data segments and acknowledgments can get lost. TCP handles this by setting a timer when it sends data and, if the data is not acknowledged when the timer expires, it retransmits the data [6]. The default value for the first TCP retransmission timer is usually 1-1,5 seconds [16]. But any type of transport protocol, the retransmission of requests cease when the timer reaches $2^6 * Tr(1)$ seconds. The server-side transaction consists of the UAS sending, for instance, the 200 OK response and receiving an ACK. The UAS is aware of the successful transmission of the 200 OK at the beginning of the call when it receives the ACK. The retransmission mechanism is identical to the one on the client side for reliable and unreliable transport protocols.

3. Session Setup Delay

Several delays are considered to assess the quality of service of signaling protocols. This paper investigates the session setup delay defined as the period between the instant the user agent client triggers the session initiation with an INVITE request and the instant the user agent server has been alerted that the client received the server's agreement upon the session (reception of ACK request at the user agent server). The session setup delay depends on a number of factors. The most obvious factors are: the transmission delay over the network, which may experience losses, and the queuing delays. This transmission delay can be affected by the transport protocols used and their error recovery strategies.

3.1 Transport Protocols

If SIP is used over UDP, only the simple exchange illustrated in Fig. 1. is needed to set up the VoIP session. Retransmissions are ensured by SIP using an exponential back off timer. Therefore, the total session setup delay for SIP over UDP is the time needed for all messages involved in the various transactions to be successfully received by the UAC and the UAS.

If SIP is used over TCP, the TCP connection should first be established by the exchange of SYN/SYN-ACK/ACK messages. Then, the SIP messages are exchanged as illustrated in Fig. 2.

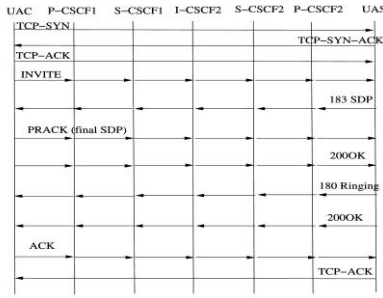


Fig.2. Session setup of SIP over TCP

The total session setup delay for SIP over TCP is the addition of the setup time of the TCP session and the successful transmission time of all the SIP messages necessary to establish a VoIP session.

3.2 Radio Link Protocols

The use of SIP over RLP can reduce the effect of FER on the session setup time and can increase the reliability over the wireless link RLP. When the RLP receiver finds a frame in error or missing, it sends back a NAK requesting the retransmission of the erroneous frame. NAKs are sent in the next radio frame (time slot) after reception of the erroneous frame. At the sender, each NAK received correctly triggers the retransmission of the frame requested in the NAK. This retransmission is done in the next radio frame after the reception of the NAK. This is illustrated in Fig. 3.

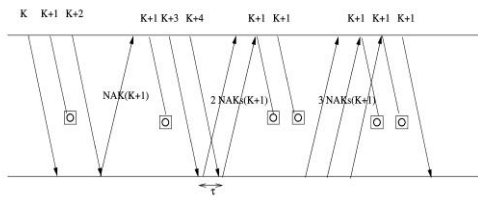


Fig.3. The RLP scheme (1,2,3)

RLP classifies RLP frames into three priority classes. These are: RLP control frames (such as NAK), retransmitted data frames and new data frames

In RLP, the number of NAK rounds and the number of NAKs sent in a round can be chosen to optimize the delay performance. In this paper, it is investigated RLP (1, 2, 3) and RLP (1, 1, 1, 1, 1, 1). The total number of retransmissions for the two schemes is the same (i.e., six) with the difference that (1, 2, 3) performs six retransmissions in three rounds while (1, 1, 1, 1, 1, 1) achieves this in six rounds of NAKs. For detailed information on RLP, refer to [4].

4. Performance Analysis of SIP Signaling over Wireless Links

For the analysis, it is considered a simple session setup messages flow of SIP as depicted in Fig.1. for UDP and Fig.2. for TCP. The following assumptions are made about the end-to-end SIP session:

- TCP is assumed to operate in an interactive mode;
- The delayed acknowledgment mode of TCP is turned off;
- TCP always times out when a packet is lost: A user agent client after transmitting an SIP message (e.g., INVITE) waits for its acknowledgment (e.g., 200 OK) before transmitting the next SIP message (e.g., ACK).

4.1 Transmission Delay for SIP over UDP

The SIP back off timer after the i_{th} transmission on $Tr(i)$ doubles after each retransmission. Hence:

$$Tr(i) = 2^{i-1} \cdot Tr(1) \tag{1}$$

The initial retransmission timer $Tr(1)$ is a crucial parameter which should be optimized since it has a direct impact on the session setup delay. It should not be too short, otherwise the packet is transmitted while a response is on the way to be received, and it should not be too long to avoid increasing the session setup unnecessarily if a loss occurs. Therefore, it has to be proportional to the transmission time of the messages involved in the transaction. It is function of the number of frames k contained in the UDP datagram, of the end-to-end frame propagation delay D and of the inter frame time r , the time interval between the transmissions of two consecutive frames. Let us consider the client-side transaction: transmission of the INVITE request (containing k_1 frames), acknowledged by the 183 response (containing k_2 frames). Hence, the adaptive retransmission timer of the client-side transaction proposed in this paper is:

$$Tr(1) = D + (k_1 - 1) \cdot \tau + D + (k_2 - 1) \cdot \tau + D_{delay\ queuing/Processing} \tag{2}$$

4.1.1 Transmission Delay without RLP

Let p be the probability of a frame being erroneous in the air link. There for, $(1-p)$ is the probability of a frame not being in error in the air link. With k frames contained in one UDP packet, $((1-p)^k)$ is the probability that the UDP packet is not erroneous. Hence, the packet loss rate is $(1-(1-p)^k)$. The probability of retransmission q is the probability of a transaction having failed: This means that the first pac-

ket sent (INVITE request containing k_1 frames) is lost or that the first packet is received but the response (183 containing k_2 frames) is lost. Therefore, the probability of having a retransmission of invite during a client-side transaction is:

$$q = 1 - \left((1 - p)^{k_1 + k_2} \right) \quad (3)$$

For the server-side transaction, the value of q is changing; reflecting the number of frames contained in 200 OK (k_2) and ACK (k_1). (for SIP, it is the i_{th} UDP). Let N_m be the maximum number of transmissions (for SIP, it is fixed to $N_m = 7$). The average delay for a successfully transmitting a UDP datagram containing an SIP message and successfully receiving the corresponding acknowledgment. This is because the sender (e.g., UAC) knows that the sending packet (e.g., INVITE) has successfully been received when it receives an "acknowledgment"

Therefore, the total transmission delay for setting up the session is the addition of the delays for transmitting all the N messages necessary to set up a VoIP session using SIP over UDP. The average session setup delay Tt_{UDP} is given as:

$$Tt_{UDP} = \sum_{i=1}^N Tt(i)_{UDP} \quad (4)$$

4.1.2 Transmission with RLP(1, 2, 3)

RLP protocol is performing retransmissions at the frame level. In the first retransmission trial, one NAK is sent to the endpoint which triggers a retransmission of the missing frame. In the second trial, two NAKs are sent and each NAK triggers the retransmission of the missing frame. Finally, in the third trial, three NAKs are sent triggering three consecutive retransmissions of the same missing frame. For this analysis, similar to [3], the following terms need to be defined:

$X_{ij} = i_{th}$ retransmission frame at the j_{th} retransmission trial, received correctly at the destination.

$Y_{ij} = i_{th}$ NAK frame at the j_{th} retransmission trial, received correctly at the source.

C_{ij} = the first frame received correctly at the destination, which is the i_{th} retransmission frame at the j_{th} retransmission trial. These frames are independent one from each other.

$$P(X_{ij}) = P(Y_{ij}) = 1 - p, \quad (5)$$

where p is the FER. Therefore, if a frame is not received correctly at the j_{th} retransmission comprising, the j_{th} trial are lost, and then:

$$P(A^j) = ((2 - p)p)^j \quad (6)$$

If the frame is aborted after the n_{th} retransmission trial, it means that the frame is not received correctly up to the end of the n_{th} re-

transmission trial; this is expressed in the following terms:

$$P(B_n) = p((2 - p)p)^{\frac{n(n+1)}{2}} \quad (7)$$

And, if the first frame received corresponds to the i_{th} retransmitted frame of the $(j-1)_{th}$ trial, it means that the missing frame has been lost up to the j_{th} retransmission trial and up to the $(i-1)_{th}$ retransmissions in the j_{th} trial.

$$P(C_{ij}) = p \cdot (1 - p)^2 \cdot ((2 - p)p)^{\frac{j(j-1)}{2} + i - 1} \quad (8)$$

Therefore, the probability of transmitting a frame successfully over the RLC layer is given by:

$$Pf = 1 - P(B_n) = 1 - p((2 - p)p)^{\frac{n(n+1)}{2}} \quad (9)$$

4.1.3 Transmission Delay with RLP (1, 1, 1, 1, 1, 1)

RLP (1, 1, 1, 1, 1, 1) performs six retransmission trials and each trial involves one NAK triggering, one retransmission. It was assumed that:

$$P(X_{ij}) = P(Y_{ij}) = 1 - p \quad (10)$$

where p is the FER. The probability that a frame is not received correctly at the j_{th} retransmission trial is:

$$P(A_j) = ((2 - p)p)^j \quad (11)$$

The probability that a frame is aborted after the n_{th} retransmission trial is expressed in the following terms:

$$P(B_n) = p((2 - p)p)^{\frac{n(n+1)}{2}} \quad (12)$$

And if the first frame received corresponds to the retransmitted frame of the j_{th} trial:

$$P(C_{ij}) = p(1 - p)^2 \cdot ((2 - p)p)^{\frac{j(j+1)}{2} + i - 1} \quad (13)$$

Therefore the probability of transmitting a frame successfully over the RLC layer is given by

$$Pf = 1 - P(B_n) = 1 - p \cdot ((2 - p)p)^{\frac{n(n+1)}{2}} \quad (14)$$

4.1.3 Transmission Delay SIP over TCP

In this paper, is used an adaptive timer similar to the one used by SIP over UDP:

$$Tr(I) = 2D + (K_1 - 1) \cdot \tau + (K_2 - 1) \cdot \tau + Delay_{Queuing/Processing} \quad (15)$$

K_1 is the number of frames contained in the data packet and K_2 is the number of frames contained in the TCP acknowledgment piggyback with the data to be sent by the receiver (e.g., 183). For TCP, the SIP user agent follows TCP specifications to retransmit messa-

ges until an acknowledgment is received. The total session setup delay is

$$T_{TCP} = \sum_{i=1}^N Tt(i)_{TCP} \quad (16)$$

In the transmission of SIP messages appears also the Internet delay, which is part of the total session setup delay. The delay introduced by the Internet depends on the number of routers and the type of links in the path of datagram transmission.

5. Numerical Results

This section presents the results of the average session setup delay for SIP over transport and radio link protocols. The number and the size of the messages exchanged affect the average session setup delay. The reduction of these factors leads to a shorter session setup delay. For the evaluation, the approximate size for each SIP message is obtained from packets captured by the protocol analyzer Ethereal [17] in the experimental test bed. The number of frames is needed in each case and it was taken into consideration two types of channel: 9.6 Kbps and 19.2 Kbps. The duration of each radio frame is assumed to 20 ms, which corresponds to 24 bytes in a 9.6 Kbps channel and 48 bytes in a 19.2 Kbps channel. The values of the delay D and the inter frame time τ are set as in [3], respectively, 100 ms and 20 ms. For SIP over TCP and UDP, the maximum number of transmissions N_m is set to seven. The total average session setup delay using the adaptive retransmission timer is computed for both channels and is shown in Fig. 4.

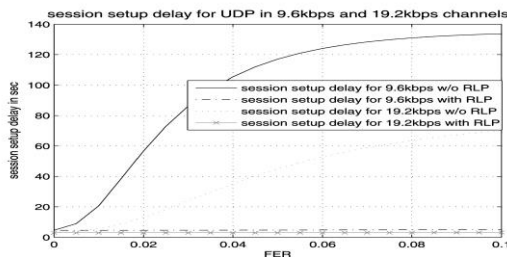


Fig. 4. Average session setup delay in 9.6 Kbps and 19.2 Kbps channels for SIP over UDP with / without RLP (1,2,3).

The average session setup delay is evaluated at various FER between 0-10 percent. However, the session is established for VoIP. Voice services are supported if the FER is between 1 percent and 3 percent. Results for 1 percent FER are presented in Table 1.

The results show that the SIP session delay is compliant with ITU-T recommendation [8] if RLP is used or the bandwidth is as high as 19.2 Kbps. Fig.4 shows that, if the bandwidth of the channel doubles, the session setup delay is reduced by 20 percent to 58 percent (39 per-

cent in average). The proportion of the session setup delay that is due to the queuing is relatively small: 0.6136 s for SIP over UDP for both channels.

Table 1. Comparison UDP versus TCP, for FER = 1 percent

Protocols	Session setup delay (s) for 9.6 Kbps	Session setup delay (s) for 19.2 Kbps
UDP w/o RLP	20.65	5.6
UDP with RLP(1,2,3)	4.61	2.9
UDP with RLP(1,1,1,1,1,1)	4.61	2.9
TCP w/o RLP	23.8	6.9
TCP with RLP(1,2,3)	5.9	3.9
TCP with RLP(1,1,1,1,1,1)	5.9	3.9

5.1 Relevance of Adaptive Timer

The retransmission mechanisms specified for SIP over UDP and for TCP follow an exponential function of the initial timer. The retransmission timer doubles after each retransmission. It is therefore very important to consider a relevant initial value of the timer.

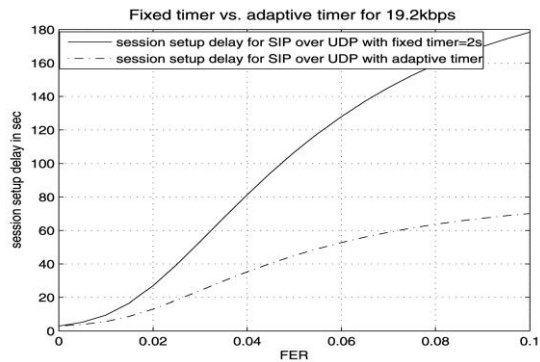


Fig. 5. Comparison of the average session setup delay in 19.2 Kbps channels for SIP over UDP with fixed timer 2 s.

Fig. 5. shows the result from comparing the session setup delay with a fixed timer of 2 s and the adaptive timer. The adaptive timer makes the session setup delay 70 to 40 percent shorter (46 percent on average). The use of the adaptive timer is very relevant to minimize the delay cost of any transmission in general and of the session setup in particular as the latter directly affects user satisfaction.

Fig. 6. illustrates the average session setup delay for the two channels. The doubling of the bandwidth of the channel reduces the session setup delay from 20 percent to 70 percent (37

percent in average). The proportion of the session setup delay that is due to the queuing is higher than for UDP: 1.0227 s for both channels. This is due to the higher number of messages involved in the session setup with TCP and their bigger size.

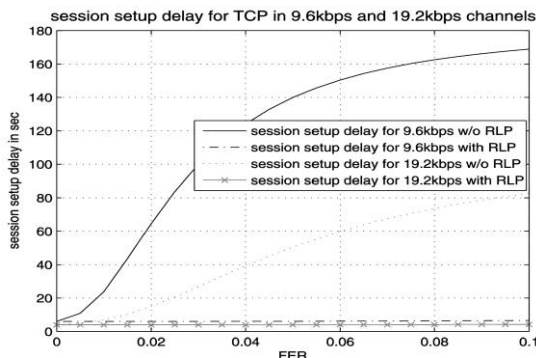


Fig. 6. Average session setup delay in 9.6 Kbps and 19.2 Kbps channels for SIP over TCP with / without RLP.

Fig. 7. shows that if the FER is less than 2 percent the session setup delay of SIP over TCP is slightly equal to the one over UDP. This is due to the use of the adaptive timer because the adaptive timer adjusts to the size of the messages involved in the setup, and TCP sends relatively small messages for the TCP connection setup.

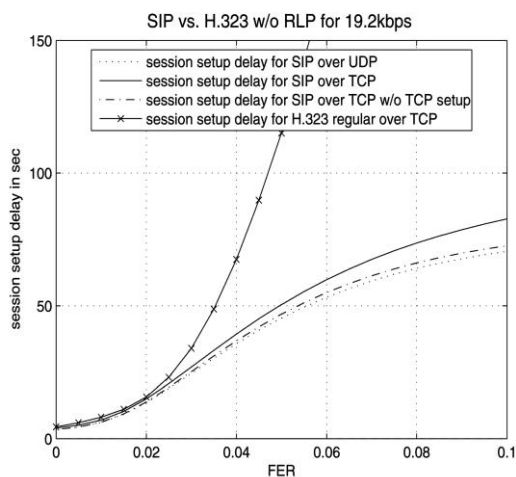


Fig.7. SIP versus H.323 for SIP session setup delay in 19.2 kbps channel with adaptive timer

5. Conclusion

H.323 is the concurrent of SIP for establishing VoIP sessions. In this paper were compared both protocols using the adaptive retransmission timer and the FER model described previously. H.323 messages are carried over TCP and IP. The size of the H.323 messages needed to compute the session setup delay is

taken from [3]. The calculations are made for the regular H.323 session setup. The maximum number of retransmissions is 10. The H.323 session setup delay is as long as the SIP one for an FER less than 2 percent. But, for FER higher than 2 percent, SIP outperforms H.323. Such results are due to the adaptive timer used for H.323 session establishment that consists of 19 messages smaller than SIP ones. Moreover, the H.323 session setup time grows exponentially because 10 retransmissions are allowed while seven retransmissions for SIP. This comparison shows the considerable influence of the timer and of the maximum number of retransmissions allowed on the delay performances of the signaling protocol.

Therefore, to optimize further the SIP session setup delay, some compression schemes could be employed such as Signaling Compression (Sig Comp) [18] or the Text-Based Compression using Cache and Blank approach (TCCB) [19]. TCCB can compress up to 30-50 percent of the size of most of the SIP messages by removing redundant header and payload information, but the initial INVITE request can only be compressed to about 9 percent [19]. The number of users can affect the session setup delay in many different ways: user admission in a cell and availability of the SIP servers. In this paper, the availability of the servers was related to their load and the SIP message arrival rate.

The work was focused on a proposal of a novel adaptive transmission timer that is adjustable to the size of signaling packets involved in the session establishment. Using an analytical model, it was evaluated the average SIP session setup depending on the FER of the wireless link and the processing power of the servers and source / destination terminals (queuing delays). The choice of UDP or TCP to transport SIP messages influences the session setup time for FER higher than 2 percent. To use UDP instead of TCP can make the session setup 10 percent shorter for FERs higher than 4 percent. Low-layer retransmission mechanisms, such as RLP, considerably improve the session setup delay. Therefore, the adaptive timer is efficient for optimizing the performance of signaling protocols in general. The performance of SIP using the adaptive timer could be improved by using some compression schemes to reduce the size of the SIP messages.

Also, error correction mechanisms or hybrid ARQ schemes could improve the performance of VoIP session setup time by correcting the SIP messages and avoiding retransmissions on the wireless link.

6. References

- [1] Black, Voice over IP. Prentice Hall, 2000.

- [2] 3GPP, "Technical Specification Group Services and System Aspects; Network Architecture (Release 5)," Technical Report TS23.002, GPP, Mar. 2002.
- [3] S. Das, E. Lee, K. Basu, and S. Sen, "Performance Optimization of VoIP Calls over Wireless Links Using H.323 Protocol," IEEE Trans. Computers, vol. 52, no. 6, pp. 742-752, June 2003.
- [4] 3GPP2, "Data Service Options For Spread Spectrum Systems: Radio Link Protocol Type 3," Technical Report C.S0017-010-A, June 2004.
- [5] J. Rosenberg, H. Schulzrinne, G. Camarillo, J. Peterson, R. Sparks, M. Handley, and E. Schooler, "SIP: Session Initiation Protocol," RFC 3261 IETF, June 2002.
- [6] B. Goode, "Voice over Internet Protocol (VoIP)," Proc. IEEE, vol. 90, no. 9, 2002.
- [7] Valko, A. Racz, and G. Fodor, "VoIP QoS in Third - Generation Mobile Systems," IEEE J. Selected Areas in Comm, vol. 17, no. 1, Jan. 1999.
- [8] T.S.S. of ITU, "ITU-T Recommendation E.721-Network Grade of Service Parameters and Target Values for Circuit-Switched Services in the Evolving ISDN," 1991.
- [9] T. Evers and H. Schulzrinne, "Predicting Internet Telephony Call Setup Delay," Proc. First IP Telephony Workshop, Apr. 2000.
- [10] Kist and R.J. Harris, "SIP Signaling Delay in GPP," Proc. Sixth Int'l Symp. Comm. Interworking, pp. 211-222, 2002.
- [11] J. Harris and M. Airy, "Analytical Model for Radio Link Protocol for IS - 95 CDMA Systems," Proc. IEEE Vehicular Technology Conf., vol. 3, pp. 2434 - 2438, 2000.
- [12] G. Bao, "Performance Evaluation of TCP/RLP Protocol Stack over CDMA Wireless Link," IEEE Wireless Networks, vol. 3, no. 2, pp. 229 - 237, 1996.
- [13] Hersent, D. Gurle, and J. Petit, IP Telephony, Packet-Based Multimedia Communications Systems. Addison-Wesley, 2000.
- [14] F. Khan, S. Kumar, K. Medepalli and S.Nanda, "TCP Performance over CDMA 2000 RLP," Proc. IEEE Vehicular Technology Conf., pp. 41-45, 2000.
- [15] L. Kleinrock, Queuing Systems, Vol. 1: The Theory. Wiley, 1975.
- [16] R. Stevens, TCP / IP Illustrated vol. 1. Addison-Wesley, 1994.
- [17] Ethereal, <http://www.ethereal.com/>, 2006.
- [18] R. Price et al. "Signaling Compression," RFC 3320, Jan. 2003.
- [19] IETF, "Text-Based Compression Using Cache and Blank Approach," Internet Draft, July 2001.
- [20] G.Foster, M.I.Pous, D.Pesch, A.Sesmun and V.Kenneally, "Performance Estimation of Efficient UMTS Packet Voice Call Control, Proc. IEEE Vehicular Technology Conf., vol. 3, pp. 1447-1451, Sept. 2002.



Support of voice services in IEEE 802.11 wireless LANs

¹"Politehnica" University of Timisoara, Faculty of Electronics and Telecommunications, Timisoara, Romania

²"Politehnica" University of Timisoara, Faculty of Electronics and Telecommunications, Timisoara, Romania

*Contact person: ioanesium@yahoo.com

*Contact person: corneliu.toma@etc.upt.ro

Mirela Ioanesiu ^{1*}, Corneliu Toma

Abstract: *The IEEE 802.11 MAC protocol supports two modes of operation, a random access mode and a polling mode. The problem investigated in this paper is the use of the polling mode for interactive voice traffic. For larger inter-poll periods and more voice calls, the delay will increase. The analysis shows that with an inter-poll period of 90 ms, 26 voice calls the delay is 303 ms. With an inter-poll period of 60 ms and 17 voice calls the delay is 213 ms. This paper presents also an error analysis that demonstrates the need for error correction of voice packets.*

Key Words: VoIP / Real Time Application / DCF / PCF / AP / CP

1. Introduction

The IEEE 802.11 wireless LAN [1] is gaining popularity for data applications in campus networks, such as in university campuses and airports. Data rates of these indoor wireless LANs are in the order of 11 Mbps, which is considerably higher than outdoor wireless data services offered through cellular base stations. Most commercial available offers implement only the 802.11 mode of operation that supports data services called the Distributed Coordination Function (DCF) mode and not the second 802.11 mode of operation, designed for real-time services, called the Point Coordination Function (PCF) mode. The problem statement of this work is to determine whether the 802.11 PCF mode is suitable for supporting interactive voice services. For this mode of operation it was used a

polling scheme to provide resource guarantees for real-time sessions. Therefore, more generally, the results of this are applicable to any polling-based scheme.

The motivation for this paper comes from an observation that the PCF mode offers a "packet-switched connection-oriented" service, which is well suited for telephony traffic. Telephony traffic has been shown to have alternating periods of talk spurts and silences [2], [3]. Packet-switched solutions that take advantage of silences in a given voice call by multiplexing voice data from other calls are more bandwidth-efficient than circuit-switched solutions.

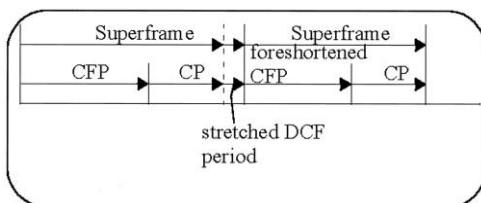
1.1 Description

An 802.11 LAN can be operated in an ad hoc configuration, without an Access Point (AP), or in an infrastructure configuration, with an AP. The AP serves as a MAC layer bridge between wireless stations as well as between wireless and wired stations. The 802.11 standard specifies a MAC protocol (with the DCF and PCF modes) and three physical layer options: Frequency Hopping Spread Spectrum (FHSS), Direct Sequence Spread Spectrum (DSSS) and Infra Red (IR). The main focus of this work is on the MAC sub layer and particularly the PCF.

The DCF mode is the fundamental access method of the 802.11 MAC sub layer and is based on Carrier Sense Multiple Access with Collision Avoidance (CSMA / CA). The time period during which the LAN operates in the DCF mode is known as the Contention Period

(CP). Access priority to the medium is controlled through the use of Inter Frame Spaces (IFS), the time interval between frames. There are three types of inter frame spaces: the Short IFS (SIFS), the Point Coordination Function IFS (PIFS) and the Distributed Coordination Function (DIFS). The SIFS is the shortest interval and is used for transmission of acknowledgements, stations responding to polls from the point coordinator (usually the AP) during the PCF mode, and between fragments if an MAC Service Data Unit (MSDU) is fragmented. Transmissions required waiting only SIFS intervals have the highest priority over the medium. The AP uses the PIFS for example, to initiate the CFP. The DIFS is used by stations during the CP. Transmissions required to wait a DIFS interval, have the lowest access priority to the medium. The PCF mode provides contention free frame transfer. The time period in which the LAN operates in the PCF mode is known as the Contention - Free Period (CFP). The AP performs the function of the point coordinator by gaining control of the medium at the beginning of the CFP after sensing the medium to be idle for a PIFS period. During the CFP, stations that are CF - Poll able (can respond to polls), are polled by the AP. On receiving a poll the station transmits its data after a SIFS interval. In order to poll the stations, an AP must maintain a polling list, which is implementation dependent. The CFP must alternate with the CP. The sum of the two periods is called the "super frame" and is shown in Fig. 1. It may happen that a station begins to transmit a frame just before the end of the CP, hence elongating the current super frame and shortening the next CFP as shown in Fig. 1:

Fig.1. Timing diagram



The elongation of current super frame and shortening the next CFP is known as stretching. To understand the effect of stretching on the CFP, one should allow for an MSDU of maximum size (which is 2304 bytes) to be sent right before the end of the super frame. If the Fragmentation Threshold (a management - settable parameter) is not equal to this maximum size, then additional overhead will be incurred due to the fragmentation of the MSDU. All fragments of an MSDU are sent SIFS intervals, which mean, that, the AP, in waiting for a PIFS interval to initiate the CFP, cannot acquire the medium between fragment transmissions. Thus, in the worst

case, the stretching period could be as large as is needed to send a 2304 byte payload with fragmentation.

The AP initiates the CFP by transmitting a Beacon frame. If the traffic during the CFP is light and / or the AP has completed polling all the stations on the polling list, it can end the CFP by transmitting a CF-End frame. The contention - free repetition interval (CFP Period) is the reciprocal of the rate at which the AP initiates the CFP. The AP then takes control of the medium and starts polling the stations on its polling list. Retransmissions are used in 802.11 for error correction both in the DCF and PCF modes. To support error correction, positive acknowledgments (ACKs) are used. An ACK for a frame is piggybacked on the next frame even if the latter is not destined to the same station as the sender of the previous frame. There is no mechanism to turn off retransmissions in the PCF mode, or to use different retry counts in the PCF and DCF modes. Beacons are generated periodically according to the beacon interval. Mobile stations awaken at listen intervals (which are multiples of beacon intervals) to hear beacons. A beacon is sent at the start of a CFP, but if the CFP duration is larger than the beacon interval, then multiple beacons will be sent during a CFP. The CFP MaxDuration is also settable and indicated in beacons. For beacons that arrive in the middle of a CFP, the CFP Remaining Duration indicates how long is left in the CFP. Thus, if a mobile station sleeps and awakens on its listen intervals that may not coincide with the start of a CFP, it can still determine the time left in the CFP.

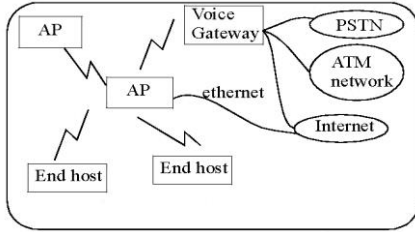
2. Proposed Solution

This section describes design choices made to carry interactive voice traffic in the PCF mode. The solution consists of describing the architectural design, defining the user actions to send voice data and control plane actions, such as Connection Admission Control (CAC) in order to admit only a limited number of users into the polling list, and setting Management Information Base (MIB) variables.

2.1. Architectural assumption

Given the motivation to enable voice calls to be made from 802.11 users to wired, cellular, or Internet telephones, the network architecture proposed is shown in Fig. 2.

Fig.2. Network architecture



Access points currently have only two interfaces, an 802.11 interface and an Ethernet interface. The Ethernet interface supports data traffic sent via the DCF mode from mobile stations to the APs. On the other hand, because Ethernet does not provide differential Quality of Service (QoS) support, it is not suitable for real-time traffic. As a matter of fact, the PCF mode of 802.11 could itself be used from the AP to a voice gateway (see Fig.2.), with the voice gateway supporting interfaces to the PSTN, ATM network (for voice over ATM) and to the Internet (for voice over IP). The voice gateway converts the 802.11 voice protocol stacks to PCM voice for use on the PSTN voice over an ATM Adaptation Layer (AAL) for ATM networks or voice over Real-time Transport Protocol (RTP) / UDP / IP for IP networks. This architecture allows for end-to-end delay guarantees given that both PSTN and ATM networks are connection oriented. Voice packets are carried on 802.11 in two modes of operation: Constant Bit Rate (CBR) mode in which calls are allocated their peak rate and Variable Bit Rate (VBR) mode, in which statistical multiplexing is used and silences in voice calls are used by other voice calls or data traffic. For both modes, the super frame length is fixed. The maximum number of calls that can be admitted is determined by the super frame length. Varying the super frame length would impact delay variations of admitted calls and hence this is avoided. Interestingly, it is possible to change the super frame length because beacons carry a parameter indicating the super frame length. The error analysis for voice shows that some form of error correction is needed. There are three options: forward error correction (FEC), retransmission and delivering error packets to the signal processor.

2.2. Computation of the maximum number of voice calls

This section focuses on computing the maximum number of voice calls for the two modes of operation, CBR and VBR. In the CBR mode, to determine how much time to allocate per call, is necessary to determine the maximum size of voice packets. The maximum time in this mode is T_{SF} seconds. Add to this $P_{min} = 30 \text{ ms}$, to capture the possibility that a voice packet completes just after a

poll. Thus, the largest voice packet size created will be $c(P_{min} + T_{SF})$ bits long. Given that in CBR mode, this time is allocated to each voice call whether or not it generates a packet. To determine the maximum number of calls, it is necessary to find the minimum duration of the CP and then use T_{SF} minus this minimum duration for the CFP. T_{cp-min} includes the time to minimally send one frame as specified by Section 9.3.3.3 of [1]. All fragments and ACKs are sent with only SIFS intervals between them. Each fragment is acknowledged. T_{max} is the time to send a maximum-sized SDU. To accommodate the maximum number of calls,

$$T_{cp} = T_{cp-min} + T_{cp-stretch}, \text{ where} \quad (1)$$

$$T_{cp-min} = 2T_{sifs} + 2T_{slot} + 8T_{ack} + T_{max} \quad (2)$$

$$T_{cp-stretch} = T_{rts} + 2T_{sifs} + T_{cts} + T_{max} \quad (3)$$

$$\text{Where } m = \left\lceil \frac{S_{maxSDU}}{f} \right\rceil \quad (4)$$

and T_{last}

$$T_{last} = \frac{S_{maxSDU} - f(m-1) + h + P}{R} + T_{ack} + 2T_{sifs} \quad (5)$$

To compute the maximum number of voice calls that can be admitted, it will be divide the time left over for the CFP after allowing for a "stretched" CP. In the case of a stretched CP, the CFP is foreshortened and hence the number of beacons is $(T_{SF} - T_{cp})/T_b$. Thus, the maximum number of calls that can be admitted using the CBR mode is

$$N_p = \frac{T_{sf} - T_{cp} - T_{ovhd}}{T_v}, \text{ where} \quad (6)$$

$$T_{ovhd} = \left(\frac{B+P}{R} + T_{sifs} \right) \cdot \left[\frac{T_{sf} - T_{cp}}{T_b} \right] + \frac{CF_{end} + P}{R} \quad (7)$$

For the VBR mode of operation, it was computed the maximum number of calls for two voice models: Brady's model [2] and May and Zebo's [3]. Both of these models are ON-OFF Markov-Modulated Fluid (MMF) models, where in the ON state data is generated at the voice codec rate. The two models differ in the mean holding times of the two states as shown in table 1.

Table 1. Voice Models

Mode	Mean ON period	Mean OFF period	p
Brady's model [2]	1 sec	1.35 sec	0.43
May and Zebo model [3]	352ms	650ms	0.35

By admitting more calls than N_p it is statistically guaranteeing that loss will be less than some number ϵ . N_s is given by (8)

$$\frac{1}{2pN_s} \sum_{k=2N_p-1}^{2N_s} \binom{k-2N_p}{k} \left(\frac{2N_s}{k}\right) p^k (1-p)^{2N_s-k} \leq \varepsilon \quad (8)$$

where p is the probability that a sending end is active. Equation (8) is based on the assumption that if a voice call is not polled in one super frame it is better to drop the packet rather than transmit it on the next super frame due to delay considerations.

2.3 Computation of build-out delay

As it was mentioned above, the CTI schemes for timing and RTP for transport were selected. A receiver uses a build - out delay when it reconstructs the voice signal. The build - out delay should be as small as possible. We first determine that the build - out delay should be the maximum possible delay difference between two packets.

Fig.3 Build-out delay

For example, assume the first packet took d_1 seconds, (which is unknown) and the total delay d from the start of packet to delivery at the receiver, is within the range $d_{min} \leq d \leq d_{max}$.

How long should be this first packet hold at the receiver before play out? Let's say this is h as shown in Fig. 3. Thus the total delay experienced by the first

packet is $d_1 + h$. If the second packet took $d_1 + y$ seconds (where y is known through the relative timestamp), then this packet should be delayed by $h - y$ seconds so that it experiences the same total delay $d_1 + h$ as the first packet, $h - y \geq 0$, which means the smallest value of h is equal to the maximum value of y . The maximum value of y is $d_{max} - d_{min}$ and hence the build-out delay is set to the jitter. Even if $y < 0$, this result holds. In this section, will be determined jitter for voice packets of this solution. To determine jitter, it is necessary to identify how the two 802.11 ends of a voice call are placed on the polling list. For example, if a call, say A, has two ends A1 and A2, A1 is placed on the polling list immediately followed by A2. The A1 to A2 packets experience short delays because on the A2 poll data received from A1 can be delivered immediately. However the A2 to A1 packets will experience a greater delay. In the CBR mode, all calls will have the same delay. The delay is computed in the two directions $k1 \rightarrow k2$, and $k2 \rightarrow k1$ assuming that the $k1$ end is placed on the polling list before the $k2$ end.

$$P_{min} + \frac{T_v}{2} \leq D_{k1 \rightarrow k2} \leq P_{min} + T_{SF} + \frac{T_v}{2} \quad (9)$$

The best case is that a short packet is created in time $P_{min} = 30 \text{ ms}$ and completes just before a poll arrives. Given the CBR mode of operation, even if the packet is short, the transmission time allocated for it and the response is $T_v/2$. Propagation delays are neglected since the radio link is short. The upper bound is determined by assuming that a poll just misses the creation of a voice packet (P_{min}). The $k1$ end then waits T_{SF} for a poll (this includes the stretching period). On the next poll, when the $k1$ end sends the packet, it is delivered immediately to the $k2$ end. The transmission time is $T_v/2$. In the opposite direction, $k2 \rightarrow k1$ the delay will be larger. This delay is bounded by

$$P_{min} + T_{SF} - T_{CP-stretch} \leq D_{k2 \rightarrow k1} \leq P_{min} + 2T_{SF} \quad (10)$$

The lower bound is again determined assuming a small packet delay. Further, in the best case, there will be no stretching period; in which case, the time for the $k2$ end is $T_{SF} - T_{CP-stretch}$. The $k1$ end gets polled $T_v/2$ sooner than the $k2$ end on the second poll. This means the time from when the $k2$ end is polled to when the $k1$ end is polled is $T_{SF} - T_{CP-stretch} - T_v/2$. The transmission time adds $T_v/2$. The upper bound occurs when a poll just misses a packet (P_{min}). This is followed by a wait of T_{SF} for the next $k2$ poll. This data then waits another $T_{SF} - T_v/2$ time to be delivered to the $k1$ end on the next super frame. The transmission time is $T_v/2$. Given the jitter values (maximum delay - minimum delay) for the two directions of the voice call, the receiving end in each case, can be provided a reconstruction delay by the AP. Build - out delays used by the receiver during the transition will need to be managed by signaling. For the VBR mode of operation, delay computation is a lot more complex since if a voice call is silent, some other voice call or data packet can take advantage of the silence. This makes the period highly variable with a possibility of being larger than T_{SF} (unlike in the CBR case, where the inter poll period is a maximum of T_{SF}). Three factors control delay: value of T_{SF} , position of the call in the polling list and whether a call is polled multiple times per super frame, once every super frame, or once every multiple super frames. For calls to ATM / IP end - points, the 802.11 portion of the call from the wireless user to the AP of voice gateways needs to be kept small.

3. Numerical Results

In this section, will be determined numerical values for the various parameters described until now, the maximum call count used in the CAC algorithm at the AP and the total delay in the CBR mode .

Table 2 shows the values of certain parameters needed for MIB variable settings. These are determined for both the 2 Mbps and 11 Mbps data rates.

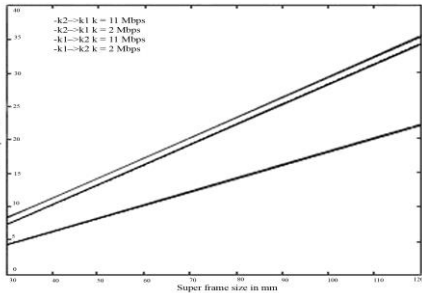
Table 2. Values in ms

Data rate (R) Mbps	T _{cp-min}	T _{cp-stretch}	T _{SF-min}
2	11,9	10,7	14,9
11	4,4	3,2	5,8

Fig. 4. shows the maximum number of voice calls that can be accommodated in the CBR mode for 2 Mbps and 11 Mbps at two values of the fragmentation threshold

Fig. 4. Maximum number of voice

For example, with a super frame size of 90 ms, 14 respectively 26 calls can be admitted on the 2 Mbps respectively 11 Mbps LANs. We note that the fragmentation threshold does not have a significant effect on the maximum number of voice calls that can be admitted with the relatively large fragment sizes used in Fig. 4. Table 3 compares the maximum number of calls admissible in the CBR mode (N_p) and VBR mode (N_s) using both Brady's and May and Zebo's voice mo-



odels for super frames of 75 ms and 90 ms. The conclusion is that a packet should be dropped if not served in a super frame holds.

Table 3 Maximum number of voice calls

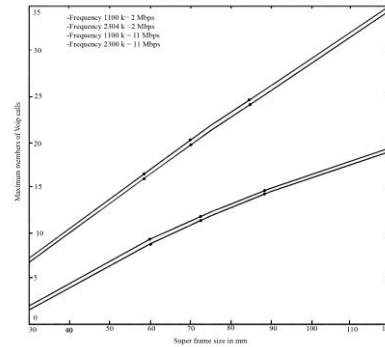
T _{SF} (ms)	FH (2Mbps)			DS (11Mbps)		
	N _p	N _s (B)	N _s (MZ)	N _p	N _s (B)	N _s (MZ)
75	1 2	22	27	22	41	51
90	1 4	26	32	27	52	65

Since the VBR mode exploits silences, the maximum size of a voice packet is larger than $c(T_{SF} + P_{min})$. We also note that while the maximum number of calls that can be supported in the VBR mode is about double that can be supported in CBR mode, delays will be larger in the VBR mode. Delays for both directions $k1 \rightarrow k2$ and $k2 \rightarrow k1$ at both

LAN rates, 2 Mbps and 11 Mbps, are shown in Fig.5

Fig.5. Total delay

For example if a super frame size of 90 ms is



used, then total delays of 121 and 303 msec will be experienced in the $k1 \rightarrow k2$ and $k2 \rightarrow k1$ directions, respectively, for the 802.11 portion of the voice call (on a 11 Mbps LAN).

4. Error Analysis

The 802.11 MAC protocol supports retransmission to handle transmission errors in both PCF and DCF modes. However, retransmissions are typically avoided for real-time traffic due to delay constrain. Here, will be examined whether or not some form of error correction is required for voice traffic.

This analysis takes into account two burst error models. Both are two-state continuous time Markov chains as shown in Fig. 5 [22]. The parameters for the models are given in Table 4.

Table 4 Parameters for burst error models

Model	BERG	BERB	α	λ
1	10^{-10}	10^{-5}	10/sec	30/sec
2	10^{-4}	10^{-2}	20/sec	10/sec

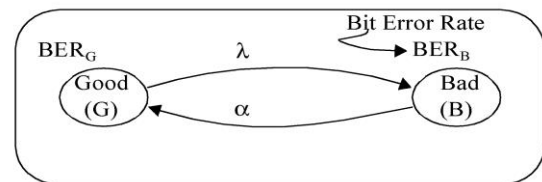


Fig.6. Model of a wireless channel

The first burst error model used to characterize fading is from [22], Fig.6. The second model is more realistic with higher BERs. The holding times are rough estimates. The time to transmit a voice packet of pay load size v bits is given by:

$$T_{v-pkt} = \frac{(v + h + P)}{R} \quad (9)$$

Using the memory less property of the exponential distribution and by neglecting propagation delays, the probabilities of the three cases can be derived to be:

$$p_{case1} = p_G P(G > T_v - pkt) = \frac{\alpha}{\alpha + \lambda} e^{-\lambda T_v - pkt} \quad (10)$$

$$p_{case2} = p_B P(B > T_v - pkt) = \frac{\alpha}{\alpha + \lambda} e^{-\lambda T_v - pkt} \quad (11)$$

$$p_{case3} = 1 - p_{case1} - p_{case2} \quad (12)$$

where p_G and p_B are the probabilities of starting a packet transmission when the channel is in the good or bad state and are given by:

$$p_G = \frac{\alpha}{\alpha + \lambda} \quad p_B = \frac{\alpha}{\alpha + \lambda} \quad (13)$$

Combining the probabilities of the three cases, given by (10) to (12), with the probability of packet errors in the three cases, yields the total packet error probability as

$$p_e \leq \left(p_{case1} \varepsilon_{case1} + p_{case2} \varepsilon_{case2} + p_{case3} \varepsilon_{case3} \right) \quad (14)$$

where a worst - case error rate is assumed if case 3 happens, that all bits are subject to BER_B

Fig.7. represents the upper bound of p_e plotted against T_{SF} for error models 1 and 2.

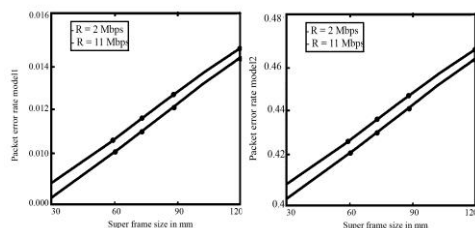


Fig.7. Packet error rates

The 11 Mbps network experiences a higher packet error rate even though the packet transmission time can be expected to be shorter owing to the higher data rate. This is because DS packets have a larger preamble than FH packets. For 90 ms T_{SF} , a packet error rate of approximately 10^{-2} and 0.44 for model 1 and model 2, respectively, are observed from the graphs. For voice, with a loss tolerance of 10^{-3} , these error rates are high. This shows a need for error correction. Errors can be handled in one or more of the three ways described in section 2.

5. Conclusions

In this paper was demonstrated that the PCF mode of the 802.11 MAC protocol (which uses a polling scheme) can indeed be used to carry telephony traffic. Using a connection admission control algorithm to control the

number of voice calls admitted to the polling list, the network can provide delay guarantees. The simplest mode in which to run the LAN during the PCF operation is a Constant Bit Rate (CBR) mode. In this mode, if a voice user is silent, its time is not assigned to any other voice or data user. Ostensibly, this limits the number of calls that can be admitted, but in reality, by limiting delay jitter and hence the maximum delay, the CBR mode allows for a reasonable number of calls to be accommodated. For example, with a 11 Mbps 802.11 LAN, 26 voice calls can be admitted if the super frame size (sum of the polling and random - access periods) is 90 ms at a maximum delay of 303 ms. Also, in this mode, voice calls with different delay requirements (e.g., intra-LAN calls or calls to wired PSTN users vs. calls to Internet phones) can be accommodated by varying the number of times a call is placed on the polling list. Finally, it was carried out an error analysis that showed that voice packets can be expected to suffer a high packet error rate.

6. References

- [1] ISO/IEC and IEEE Draft International Standards, "Part 11: Wireless LAN Medium Access Control (MAC) and Physical Layer (PHY) Specifications," *ISO/IEC 8802 - 11, IEEE P802.11/ D10*, Jan. 1999.
- [2] P. Brady, "A Model for Generating On-Off Speech Patterns in Two-Way Conversation," *Bell Syst. Tech. Journal*, vol. 48, no 7, pp. 2245- 2272, Sept. 1969.
- [3] C. E. May and T. J. Zebo, "A summary of speech statistics measured during the TASI - E Rego Park - Ojus field trial," submitted for publication.
- [4] ITU-T, "General Characteristics of International Telephone Connections and International Telephone Circuits One - Way Transmission Time" *G.114*, Feb. 1996.
- [5] S. Tanenbaum, *Computer Networks*, 3rd ed., Prentice-Hall, 1996.
- [6] D. Goodman, R. Valenzuela, K. Gayliard, B. Ramamurthi, "Packet Reservation Multiple Access for local wireless communications", *Proc. 39th IEEE Vehicular Technology Conference*, pp. 701 - 6, 1988.
- [7] Leon-Garcia and I. Widjaja, *Communication Networks*, McGraw Hill, 1999.
- [8] M. J. Karol, Z. Liu, P. Pancha, "The design and performance of wireless MAC protocols," in *Broadband Wireless Communications*, pp. 225-236, Springer - Verlag, 1998 (papers from the 9th Tyrrhenian Intl. Workshop on Digital Comm., Sept. 1997).
- [9] O. Kubbar and H. Mouftah: "Multiple access control protocols for wireless ATM: problems definition and design objecti-

- ves", *IEEE Comm. Mag.*, vol. 25, no. 11, pp. 93 - 9, Nov. 1997.
- [10] I. Akyildiz, J. McNair, L. Martorell, R. Puigjaner, Y. Yesha, "Medium access control protocols for multimedia traffic in wireless networks," *IEEE Net. Mag.*, vol. 13, no. 4, pp. 39 - 47, Jul. / Aug. 1999.
- [11] J. Sanchez, R. Martinez, M. Marcellin, "A survey of MAC protocols proposed for wireless ATM," *IEEE Net. Mag.*, vol. 11, no. 6, pp. 52-62, Nov. / Dec. 1997.
- [12] M. Moroney and C. Burkley, "Multiple access protocols for indoor wireless communications", *Proc. IEEE Intl. Conf. on Selected Topics in Wireless Communications*, pp. 406 - 8, 1992.
- [13] M. Visser and M. El Zarki, "Voice and data transmission over an 802.11 wireless network", *Proc. Sixth IEEE International Symposium on Personal, Indoor and Mobile Radio Communications (PIMRC)*, pp. 648 - 52, Sep. 1995.
- [14] B. Crow, I. Widjaja, J. Kim, P. Sakai, "Investigation of the IEEE 802.11 medium access control (MAC) sublayer functions", *Proc. Infocom*, pp. 126 - 33, Apr. 1997.
- [15] B. P. Crow, I. Widjaja, J. G. Kim, P. T. Sakai: "IEEE 802.11 Wireless Local Area Networks", *IEEE Comm. Mag.*, vol. 35, no. 9, pp. 116 - 26, Sep. 1997.
- [16] J. Stine and G. de Veciana: "Tactical communications using the IEEE 802.11 MAC protocol", *Proc. IEEE Military Communications Conference (Milcom)*, pp. 575 - 82, Oct. 1998.
- [17] J. L. Sobrinho and A.S. Krishnakumar, "Real-Time Traffic over the IEEE 802.11 Medium Access Control Layer," *Bell Labs Technical Journal*, Autumn 1996.
- [18] T. Chen, J. Walrand, D. Messerschmitt, "Dynamic Priority Protocols for Packet Voice," *IEEE JSAC*, vol. 7, no. 1, June. 1989, pp. 632 - 643.
- [19] W. Montgomery, "Techniques for packet voice synchronization," *IEEE JSAC*, vol. 1, no. 6, pp. 1022 - 8, Dec. 1983.
- [20] H. Schulzrinne, S. Casner, R. Frederick, V. Jacobson, "RTP: A Transport Protocol for Real Time Applications," IETF RFC 1889, January 1996.
- [21] K. Sriram, T. Lyons, Y - T. Wang, "Anomalies due to delay and loss in AAL2 packet voice systems: Performance and Methods of Mitigation," *IEEE JSAC*, vol. 17, no. 1, Jan. 1999, pp. 4 - 17.
- [22] E. Gilbert, "Capacity of a Burst Noise Channel," *Bell Syst. Tech. J.*, vol. 39, Sept. 1960, pp. 125

Security of Mobile VoIP

Mirela Ioanesiu¹

Abstract - The rapid growth of computing, Internet and telecommunications systems have created a broad range of ways to communicate and access information. Voice over Internet Protocol is a solution that transports voice traffic over a data network as an alternative to the classic telephony. This paper addresses the issues of VoIP security and mobility through the integration of robust security features into a lightweight VoIP protocol that is tailored for mobile devices. A theoretical approach is realized with the development of a software prototype whose security and mobility properties are analyzed.

1. Introduction

Telephone and computer systems are two technologies that impact many aspects of our daily lives. These technologies drive the world's economy and are central to the operation of virtually every enterprise. Although handsets have become more sophisticated, and operators are no longer required to connect calls in telephone exchanges, the basic operation remains the same. Conversely, computing has grown significantly throughout its lifespan. Computer Telephony Integration (CTI) incorporates computers and telephony systems [1]. Computer features such as data handling, media processing and graphical user interface are combined with telephone features such as call handling and routing. Currently CTI is predominantly used to drive software-based Private Automatic Branch eXchanges (PABX). However, CTI is heading toward the convergence of voice and data services over a data network. Voice over Internet Protocol (VoIP) is a CTI solution that is commonly used as an alternative to the Plain Old Telephone Service (POTS). Generally, VoIP refers to the transport of voice traffic over a packet-switched data network where hardware and software act as an Internet transmission medium for telephone calls. Packet switched networks route data packets on a

hop-by-hop basis. These networks have the following properties:

- Telephone calls can be transmitted with little or no loss in functionality, reliability, or voice quality;
- Reduced telephony and infrastructure costs.
- Useful when there is limited or financially prohibitive access to alternative telephony networks;
- Increased line efficiency due to single lines being dynamically shared by many packets over time. By contrast, circuit switched networks rely on synchronous time division multiplexing where links are often idle;
- Packet-switched networks can perform data-rate conversions. Two nodes utilizing different data rates can exchange data because each can connect at its optimal data rate;
- When traffic becomes heavy on a circuit switched network, additional calls are blocked. On a packet-switched network, response time slows down gradually without immediate service interruption;
- Priorities can be used on packet-switched networks to give precedence to more important traffic;
- New levels of integration are possible for voice and a variety of data services.

VoIP has rapidly emerged as a popular alternative to existing telephony networks. Many sources [2, 3, 4, 5] indicate that VoIP will grow from approximately 100,000 US households in 2004 to more than 12 million by 2009. VoIP products are rapidly gaining market with home users who have reaped the benefits, uptake in the enterprise market has remained slow as a result of security and mobility concerns.

1.1 VoIP security

Corporate customers are generally more security conscious. They require that potential new technologies are proven not to be a security risk. Most current VoIP offerings do not offer a practical security solution. However, an important aspect behind the corporate success of

the VoIP technology is security. As VoIP technology becomes more heavily integrated into so increase the opportunities for hackers. Voice information during a VoIP call is generally outed unsecured through data packets on a public network. There is software that can capture, reconstruct and/or modify these sensitive voice conversations. Standard VoIP implementations offer numerous undesirable opportunities for creative hackers [6]:

- Eavesdropping and recording phone calls;
- Tracking calls;
- Stealing confidential information
- Modifying phone calls
- Making free phone calls
- Pranks / Practical jokes
- Board room bugging
- Sending spam (voice or email)
- There are currently several competing VoIP standards in the market (such as SIP [7], IAX [8] and H.323 [9]), and very few practical security standards available to secure them. Furthermore, many enterprises that have adopted VoIP technology have not been able to effectively secure these solutions as a result of multi-vendor incompatibilities [10]. A standard installation of VoIP using SIP, H.323 or IAX protocols does not provide any kind of security for voice traffic. To alleviate this, it is necessary to add some form of protection, such as encryption, at the transport or network layer. To facilitate secure mobile VoIP, security must be addressed at each layer of the network. We must secure the VoIP devices, segregate the network, encrypt the traffic and introduce intrusion detection systems [6]. By incorporating security at each level of the network, it makes successful attacks much more difficult. While this may not compete with desktop machines, the amount of processing power and other PDA features have improved rapidly and could reasonably be expected to continue to advance.

1.2 Existing solutions

There are various existing options to secure VoIP traffic. Unfortunately, no solutions are offered that provide suitable security characteristics while running on a mobile device. The following gives a briefly summary of the existing solutions in the areas surrounding secure VoIP communication.

1.2.1 Secure real-time transport protocol

The Secure Real-time Transport Protocol (SRTP) was developed for securing the media stream of VoIP protocols (such as H323 and SIP) that rely on the Real-time Transport Pro-

the workplace, protocol (RTP). However, the protocol is not designed for mobile use. Solutions surrounding the RTP protocol suffer NAT traversal problems which create serious issues for mobile users.

1.2.2 IP security/Virtual private networks

Another option to secure media streams is to pass all traffic through an existing VPN. This approach has several problems. The most obvious is that a Security Association must exist between the originating and destination networks.

Simply breaking one type of security will not expose the entire network; it would require multiple levels of protection to be compromised. This requires a lot of attentions.

To allow multi-vendor solutions to interoperate it is essential that such solutions to be integrated into the VoIP standard. Since VoIP protocols already use negotiation options to determine call parameters (such as codec), it is reasonable to suggest that security parameters could be agreed on in a similar fashion.

1.3 Mobility

People are no longer desk-bound. Enterprises have to consider the growing population of mobile users that would benefit from the next generation of Information Technology and Telecommunication (IT&T) services. As more sophisticated wireless devices emerge, the demand for mobile two-way communication will rise dramatically. Flexible, rich access to telecommunication services is crucial in order to achieve optimum performance. New technologies offer innovative features that result in better ways of doing business.

To offer these VoIP services on mobile devices, it is necessary to consider the restrictions imposed by this platform. Mobile devices typically have limits.

This paper details the research and development of a secure VoIP client that is geared toward mobile devices. In particular, the key outcomes are the utilization of a light-weight VoIP protocol and proven encryption techniques to implement a fully functioning, lightweight VoIP peer client. Special considerations are given to the characteristics and operation environment of mobile devices.

Section II outlines the solution background. Section III describes the design and implementation of the prototype solution. Section IV provides performance analysis and evalua-

tion discussion. Section V concludes the paper.

II. Solution Background

There have been many attempts to provide secure services for the major VoIP protocols [6, 11, 12, 13]. Unfortunately, these systems typically suffer from the following problems:

- Complicated to deploy and maintain;
- Rely on proprietary and/or incompatible solutions;
- Require an existing Public Key Infrastructure (PKI) and/or other resources;
- Experience Significant routing problems when passing through NAT.

2.1 Inter-asterisk eXchange (IAX)

The Inter-Asterisk Exchange protocol (IAX) is a new protocol that has recently been developed in conjunction with the open-source Private Automatic Branch eXchange (PABX) known as Asterisk [8] [14]. This protocol was created as an alternative signaling protocol to SIP and H.323 [8]. It is currently rapidly gaining market-share in the VoIP market and shows considerable promise in the near future. The primary features of IAX are [15]:

- Highly optimized for the existing requirements of VoIP;
- Superior efficiency to H.323 and SIP when passing VoIP traffic [16];
- Minimized efficient bandwidth utilization for both signaling and media transfers [16]. Native support for Network Address Translation (NAT) technology is able to share a single port number, and transfer all data over a well known UDP port;
- Single protocol without the requirement of a separate media transfer protocol. All call signaling information, sequencing, and timing information is included in the transferred IAX frames;
- Written in a lightweight fashion. - Designed to be easily implemented [15];
- Can be used with any type of streaming media data (including video).

2.1.1 IAX security

IAX has been demonstrated to provide significantly greater efficiencies than SIP or H.323 when running unsecured [16]. Its performance in a secure environment is investigated here. If IAX can provide the same comparative levels of efficiency it is an ideal protocol for deployments with NAT environments and mobile users.

2.2 VoIP quality considerations

The parameters that a user would normally associate with their determination of call quality are known as Quality of Service characteristics. When voice data is traversing a packet-switched network, the handling of the traffic will achieve certain operational performance levels under various demand levels. Interarrival delay, jitter and packet loss are used as intrinsic QoS measures [17].

2.3 Audio codec

All VoIP technologies rely on a codec to transform analogue signals into digital voice packets. The choice of codec is a trade-off between voice quality, processing power and bandwidth requirements. A selection of commonly used VoIP codecs is given in the table below [18]:

2.4 Encryption algorithm

In order to provide secure transmission of data, it is necessary to offer confidentiality and authentication. In other words, data must be valid and should not be available nor disclosed to unauthorized parties.

Table 1. Codec feature comparison chart

Codec Name	Sample Rate (kHz)	Bit-rate (kpbs)	Mul-ti-rate	VBR	PLC	License
Speex	8, 32	2.15 - 24.6	Yes	Yes	Yes	Free / open-source
iLBC	8	15.2 or 13.3	No	No	Yes	Free / closed source
AMR	8	4.75 12.2	Yes	No	Yes	Proprietary
G.729	8	8	No	No	Yes	Proprietary
GSM	8	13	No	No	No	Patented
G.723.1	8	5.3 6.3	No	No	Yes	Proprietary
G.728	8	16	No	No	No	Proprietary

In order to support different codecs, the encryption algorithm must be able to support variable length data payloads where the amount of data per frame is likely to be short but send at a high frequency (approximately 30-100 bytes 50 times per second). As the data payload is relatively small, it would be advantageous to use an encryption method that will not increase the size of the data to

be sent. Any small increases in size will add significant overhead to the transmission.

2.5 Mobile clients

A goal of this paper is to produce a secure VoIP client that can be run in a mobile device such as a PDA or smart phone. As there are currently no mobile open-source IAX clients suitable for testing, evaluations of my solution can be performed on a laptop. The table below compares a low end laptop with a high end PDA [11].

Table 2. CPU comparison of laptop and PDA

Device Name:	IBM X30 Laptop	Dellia-ximX51PDA[14]
CPU Manufac-	Intel	Intel
CPU Speed:	800 MHz	624 MHz
Available RAM:	512MB	64MB
MIPS Rating:	2142	800
Comparative MIPS:	1.0	0.37

Although using MIPS (Million Instructions per Second) does not take into account the different instruction sets between CPUs, it is often used to give an approximate performance rating. Based on a simple MIPS comparison, a Dell Axim X51 PDA is able to perform 37% of the integer operations capacity of an IBM X30 laptop.

III.Design and implementation

To demonstrate the proposed modifications to the IAX protocol, it was necessary to add these features to a VoIP client. An open source client was selected, the code examined, and an injection point to add the security code was identified. The tools and methodology to accomplish this are described below.

3.1 Kiax VoIP client

KiAx [19] is an open source soft-phone designed to exclusively utilize IAX. Like many other open source IAX clients, KiAx relies on the freely available "libiax", library to take care of the low level network functions. This library was constructed by the makers of Asterisk, and is commonly used by open source IAX clients. The code modifications necessary to support encryption were mostly required within libiax

3.2 Cryptlib

Cryptlib is a powerful, general purpose open-source cryptography package designed to provide security services to applications. Its

main purpose is to provide cryptography functions that can be integrated into applications. The design of Cryptlib is based on a layered structure that can provide different levels of control to the user. Using Cryptlib, it was possible to experiment with a variety of different encryption methods to assess their impact on performance. A complete architecture diagram is given in Fig 1, below [20].

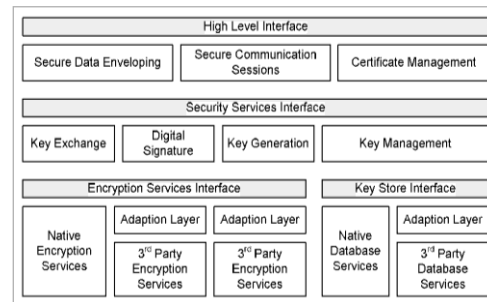


Fig.1 Cryptlib Architecture Diagram

3.3 Solution architecture

The block diagrams below give a basic description of the structure of the KiAx software layers. Fig. 2, below, shows the architecture of the original version of KiAx.

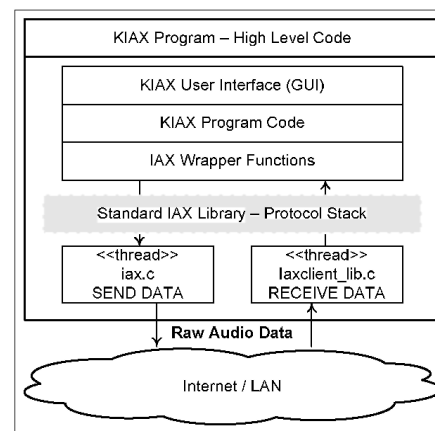


Fig.2 Standard KiAx architecture

KiAx provides a GUI interface to the user, which communicates the settings and preferences to the KiAx program code. The low level IAX protocol program code is provided in the form of a standard library known as libiax.c. This library package is also responsible for encoding and transporting the audio data captured from users.

The modified version of KiAx, Fig. 3, adds another layer of processing to the audio stream. After the voice data has been encoded via the audio codec, it is intercepted and encrypted before being sent across the network.

At the receiver's side, the audio is decrypted, and passed back through the normal KiAx processing stack.

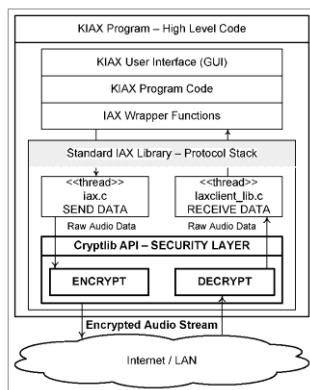


Fig.3 Modified KiAx Architecture Diagram

3.4 Results and evaluation

Testing was carried out to assess the impact of security modifications to the KiAx program. After configuring the Local Area Network and the client machines, calls were placed and the data was collected. All tests were repeatable and provided very consistent data. A summary of the results is given below:

Table 3. LAN test results 1

VoIP Client:	KiAx	KiAx	KiAx	KiAx
Encryption:	None	IDEA/CBC	IDEA/CF	RC4
Min. CPU Use:	5.812 %	17.818 %	16.132 %	17.635 %
Max. CPU Use:	10.02 0%	28.629 %	26.226 %	27.756 %
Avg. CPU Use:	7.935 %	24.158 %	22.756 %	23.090 %
Max. Bandwidth:	1.75 kB/s	2.08 kB/s	1.75 kB/s	1.75 kB/s
Delay Range:	16-58 ms	16-58 ms	16-58 ms	16-58 ms
Jitter Range:	26-28 ms	26-28 ms	26-28 ms	26-28 ms

Table 4. LAN test results 2

VoIP Client:	KiAx	KiAx	Firefly
Encryption:	AES/CBC	AES/CFB	None
Min. CPU Use:	17.818 %	14.629 %	8.719 %
Max. CPU Use:	27.427 %	27.227 %	13.123 %
Avg. CPU Use:	23.447 %	22.592 %	11.364 %
Max. Bandwidth:	2.48 kB/s	1.75 kB/s	1.69 kB/s

VoIP Client:	KiAx	KiAx	Firefly
Delay Range:	16-58 ms	16-58 ms	2-3 ms
Jitter Range:	26-28 ms	26-28 ms	2-4 ms

Using KiAx with no encryption, the average processor utilization is 7.9%, and the bandwidth used approximately 1.75 kilobytes per second. This provides a baseline for KiAx's performance. In CBC mode, the quality of the call remained similar to using no encryption, however the bandwidth use increased. This is to be expected, as the data size increased from 33 to 40 bytes. When using IDEA in CFB mode, although the bandwidth was identical to the baseline, the call quality was more frequently interrupted by audio drop outs.

AES-in CBC mode, AES had slightly lower CPU usage as compared to IDEA/CBC, and can be attributed to the AES algorithm being more efficient. This method used the highest amount of bandwidth, adding approximately 0.7kB p/s. The bandwidth increase is larger for AES than IDEA, since the AES algorithm has a block size of 128 bits compared to IDEA using only 64. AES using CFB produced the lowest average CPU utilization of the encryption methods tested, and did not require additional bandwidth.

RC4-the RC4 algorithm performed slightly worse than AES/CFB. This is surprising, considering that it is natively a stream cipher.

Overall, the results of both call quality and processor usage are similar for the different encryption algorithms. However, AES in CFB mode should be considered as the preferred method, as it gives the lowest average CPU load, does not add any additional bandwidth requirements and introduces a minimum number of problems in the audio stream.

IV. CONCLUSIONS

VoIP products promise converged telecommunications and data services that are cheaper, more versatile and provide higher voice quality as compared to traditional offerings. Although VoIP products are rapidly gaining market share with home users, uptake in the enterprise market has remained slow as a result of security and mobility concerns. This paper addresses these security and mobility issues through the integration of robust security features in to a lightweight VoIP protocol that is tailored for mobile devices. A theoretical approach is realized with the development of a software prototype whose security and mobility properties are analyzed. The prototype that was created to assess this approach had the following properties:

- Provided a choice of 5 different encryption:

methods;
 -Successfully traverses NAT;
 -Simulated key exchange by the use of pre-shared session key;
 -Strong security;
 -No change to bandwidth requirements;
 -Relatively low processor requirements.

V. Remarks

A. Abbreviations and acronyms

CTI - Computer Telephony Integration
 PABX - Private Automatic Branch eXchange
 POTS - Plain Old telephony Service
 SIP - Session Initiation Protocol
 IAX - Inter - Asterisk Exchange Protocol
 H.323 - H.323 is the international standard for multimedia communication over packet-switched networks, including LANs, WANs, and the Internet.
 PDA - Personal Digital Assistance
 SRTP - Secure Real Time Protocol
 RTP - Real Time Protocol
 NAT - Network Address Translation
 VPN - Virtual Private Network
 PKI - Public Key Infrastructure
 QoS - Quality of Service
 VBR - Variable Bit Rate
 PLC - Power Line Carrier
 MIPS - Million Instructions per Second
 GUI - Graphic User Interface
 IDEA - International Data Encryption Algorithm
 CBC - Cipher Block Chaining
 CFB - Cipher Feedback
 AES - Advanced Encryption Standard
 RC4 - most widely-used software stream cipher and is used in popular protocols such as Secure Sockets Layer (SSL) (to protect Internet traffic) and WEP (to secure wireless networks).

B. Further research

KiAx was selected as the basis for the proposed system as it was freely available under an open-source license. Although it provides a valid base for evaluating different encryption methods, the IAX library it provides does not give optimal performance or call quality. Despite the limitations of the client, the results of the performance testing, clearly demonstrate the feasibility of this approach. In the future I intend to extend this research with the use of optimized clients and encryption libraries and test these solutions on mobile devices and mobile device emulators.

References

- [1] C. R. Strathmeyer, "An Introduction to Computer Telephony", IEEE Common. Mag., 35(5), May 1996, pp. 106-11.
- [2] S.Phil,F.Cary, You Don't Know ack About VoIP, Queue, 2004, 2(6), p. 30-38.
- [3] W.Stallings, Data and Computer Communications (Seventh Ed.), Pearson Educational International, 2004
- [4] Deloitte, "Getting off the Ground: Why the move to VoIP is a Decision for all CXOs", On-line at: <http://www.deloitte.com/dtt/research/0,1015,sid%3D2245&cid%3D64027,00.html> (2004)
- [5] M.Grant, "Voice Quality Monitoring for VoIP Networks", Melbourne, 2005.
- [6] D. Bilby, "Voice over IP: What You Don't Know Can Hurt You " 2005 [cited 11-04-06]; Available from: http://www.Securityassment.com/Presentations/VOIP_What_You_Don't_Know_Can_Hurt_You.ppt.
- [7] J. Rosenberg, RFC3261 - SIP: session initiation protocol. Internet Engineering Task Force, 2002.
- [8] M.Spencer, "IAX: Inter-Asterisk eXchange" Version 2. 2006 30/03/06 [cited 24-04-06]; Available from: <http://www.rfc-editor.org/internet-drafts/draft-guy-iax-01.txt>.
- [9] P.E. Jones, H.323 Protocol Overview. [Presentation] 2003 [cited 10-04-06]; Available from: <http://www.packetizer.com/voip/h323/papers/>.
- [10] N. Gohring, "Sysadmins express concerns on VoIP Security": <http://www.techworld.com/security/news/index.cfm?newSID=6030&pagetype=samechan>.
- [11] Abad, "Secure Mobile VoIP", in Microelectronics and Information Technology, Royal Institute of Technology Stockholm, 2003, p. 137.
- [12] J. Arkko, E. Carrara, RFC3830 - MIKEY: Multimedia Internet KEYing. Internet Engineering
- [13] B. Fuhrmanek, IAX Encryption. 2006 [cited 24-04-06]; <http://voip-info.org/wiki/view/IAX+encryption>.
- [14] B. Schwarz, "Asterisk open-source PBX system", Linux Journal, 2004. 2004(118): p. 6.
- [15] M. Spencer, F. Miller, IAX Protocol Description. 2005.
- [16] T. P. Abbasi, S. Seddigh, N. Lambadaris, "A comparative study of the SIP and IAX VoIP protocols", Canadian Conference on Electrical and Computer Engineering, 2005.

- [17] W.C. Hardy, VoIP Service Quality: Measuring and Evaluating Packet-Switched Voice. New York: McGraw Hill, 2003.
- [18] Xiph.Org. Speex Homepage. 2006 [cited 2006 01-10-06]; Available from: <http://www.speex.org>.
- [19] Kiax Team. Kiax Homepage. :<http://www.kiax.org/>.
- [20] P. Gutmann, Cryptlib Security Toolkit Manual. 2005 [cited 04-10-2006]; <http://www.cs.auckland.ac.nz/~pgut001/cryptlib>

An Experimental Analysis of Performances of MAC Multicast in 802.11b Networks for VoIP Traffic

Ing. Ioanesiu Mirela

Abstract—In this paper is studied the behavior of VoIP traffic over MAC multicast networks in multihop scenarios with and without hidden stations. The experiments show that the maximal throughput achievable in such networks is 1.76 Mbps for an 802.11 Data Rate of 2 Mbps. Although VoIP traffic can tolerate some frame loss, MAC multicast can in general be used only if additional higher-layer mechanisms are in place to mitigate MAC frame loss. The paper presents also the effect of an additional random backoff collision avoidance mechanism in hidden station situations.

Keywords: VoIP, MAC multicast network, collision avoidance

I. Introduction

IEEE 802.11 infrastructure-based wireless LANs [1] have been commoditized for data applications in enterprise networks. Amid the growing use of VoIP for telephony in enterprises, the use of wireless local area networks for telephony is expected to grow rapidly in the future as well. The problem investigated in this paper is an experimental study of performance and reliability of MAC multicast transmissions in 802.11b wireless networks with particular emphasis on VoIP. Multicasting is an important concept in networking as it allows sending a single packet to multiple recipients. In many cases, multicasting allows for a much more efficient usage of networks as it eliminates the need to send out multiple packets with identical payload but different destinations.

The maximal number of VoIP connections in an 802.11b network ranges from 2 to 7 when using ITU's G.711 Codec with 10 ms of audio data per packet. Consequently, the savings in terms of freed up capacity when using multicast on the MAC layer, if applicable, are highly significant. Moreover, the number of potential receivers of multicast traffic is unlimited. While the experiments were conducted in networks in Ad-Hoc mode, it should be noted that the results also apply to infrastructure-based networks.

This experimental study is aimed at determining the usability of MAC multicast for VoIP over 802.11, in particular with respect to two scenarios. The first scenario is the use of multicast for a downlink VoIP stream that is intended for multiple recipients in the same cell of a wireless network such as, e.g. conference calls, all-employee audio broadcasts in enterprises or emergency voice announcements. The second scenario is the use of 802.11 for walkie-talkie like VoIP broadcasts in small to medium size 802.11 Ad-Hoc network islands for emergency response or disaster recovery

and communication in environments without infrastructures. In both scenarios, it was envisioned that most if not all participants in the network would be subscribers of the VoIP stream. However, the results are independent of this assumption. A more detailed presentation of such scenarios can be found in [5].

The paper focused on a single traffic source generating voice traffic with only marginal traffic being generated by other stations. The rationale behind this approach is two-fold. First of all, the results mirror the perceived quality in a true VoIP MAC multicast "walkie-talkie" scenario where only one participant at a time has "permission to send". More importantly, this scenario exhibits a "best-case" behavior experimental analysis for VoIP over multicast in the sense that any other traffic will only lead to a deterioration in the perceived VoIP quality.

Whereas in wired networks, such as Ethernet, multicast and unicast frames are transmitted identically on the MAC layer, there are significant differences between unicast and multicast frame transmissions in 802.11 wireless local area networks. In order to cope with the higher frame loss and collision rates in the wireless network as compared to a wired network, the 802.11 MAC protocol mandates acknowledgments of received unicast frames and retransmissions of non-acknowledged frames. These transmission timer values are chosen such that higher layer transport protocols, in particular TCP, do not get affected by the loss of a frame on the wireless medium once in a while. In contrast, the 802.11 MAC mandates that multicast traffic is not acknowledged and thus never retransmitted on the MAC (the only exception being multicast traffic that is sent to the AP). Therefore, the loss ratios as seen on the IP-layer are higher than for unicast traffic.

Furthermore, the 802.11 Distributed Coordination Function (DCF) offers an RTS/CTS (request to send/clear to send) frame exchange sequence to protect unicast traffic from interference loss due to two simultaneous transmission attempts by stations that cannot sense each other (the hidden-station problem). DCF does not allow the use of RTS/CTS for multicast traffic (again with the exception of multicast traffic sent to the AP). Consequently, in such scenarios, high frame loss may be experienced.

As outlined above, the advantages of using MAC multicast for VoIP would be compelling if the quality of the VoIP stream was acceptable at most or all subscribers.

The goal of this paper is the behavior of the wireless channel for plain, basic 802.11 MAC multicast. Therefore, it won't be studied the impact of mechanisms allowing for acknowledgments and retransmission of multicast traffic (see, e.g., [6]) on higher layers. It won't be investigate the effect of multicast routing protocols like, e.g., [7] or [8]. The properties of 802.11 MAC multicast under investigation here have not been studied experimentally before. Since, as outlined above, the behavior of MAC multicast and unicast is very different, an experimental study is needed to determine the actual properties of MAC multicast, in particular when used for VoIP. While the experiments study the properties in simple scenarios, the obtained results, such as loss ratios on a single link, loss due to hidden stations etc., can be used to set up simulations that study more complex network topologies and scenarios with respect to their MAC-layer behavior. While, in particular for large topologies, simulations are easier to set up, control, and modify, the data presented in this paper cannot be obtained through simulations. In conclusion this experimental study of the properties of 802.11 MAC multicast is well motivated.

The remainder of this paper is organized as follows. In section II, are determined loss and throughput of multicast UDP traffic as a function of payload length. In section III are studied the properties of multicast VoIP traffic when relayed over multiple hops. Section IV investigates VoIP traffic with hidden stations. In section V, the ramifications of using an additional backoff-mechanism are studied. The conclusions of the paper are in section VI.

II. Loss and throughput with MAC Multicast

The first experiment measured the available throughput for multicast traffic in terms of sent payload on Layer 4 with IP/UDP as bearer in a single-hop only sce-

nario. It was used a program constantly sending out UDP frames over multicast to the wireless medium [4]. The stream was received by an endpoint in the wireless network listening to the multicast address used as destination address. For measuring throughput, sender and receiver were located next to each other in order to minimize loss. The results indicate that the maximal achievable payload data rate in this scenario is approximately 1.76 Mbps which is achieved when the payload of each UDP packet is chosen to be 1472 bytes (payloads larger than 1472 bytes get fragmented). When the 62 bytes of the IEEE 802.11 frame body and the IP/UDP headers (34+20+8) in each sent frame are accounted for, the overall throughput of the wireless network is approximately 1.83 Mbps. Between 0.1% and 0.35% of non-fragmented packets were lost with an average value of 0.15%. The loss was independent of the payload size of the frame. Fig.1 shows the measurements of payload throughput as a function of the payload size in a single multicast client scenario. Based on the number of frames sent per second and the fact that in this setup the payload of each frame is transmitted at 2 Mbps, it can be computed the fixed overhead for the transmission of each frame. For the measurements, the overhead evaluates to an average of around 815 ns per frame, equivalent to the transmission of approximately 200 bytes at 2 Mbps.

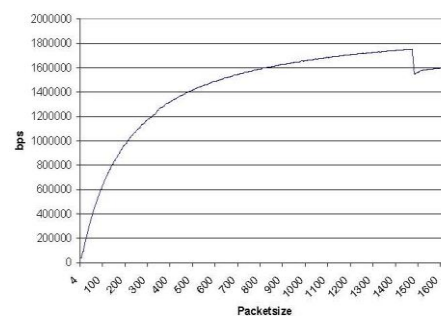


Fig. 1 Throughput as a function of the packet size for 802.11b multicast traffic at 2 Mbps. The drop in throughput for packet payloads larger than 1472 bytes is due to fragmentation.

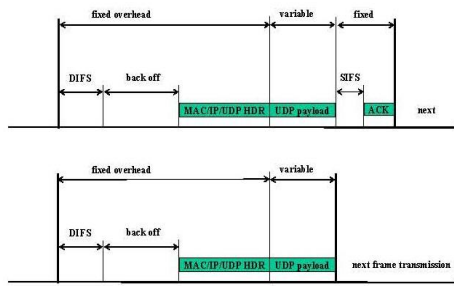


Fig.2 IEEE 802.11 CSMA/CA medium access scheme for unicast (top) and multicast (bottom) frames.

For space reasons, it wasn't presented a detailed description of the Carrier Sense Multiple Access/Collision Avoidance (CSMA/CA) medium access scheme according to the Distributed Coordination Function (DCF) of the 802.11 standard [1]. A pictorial presentation of the mechanism and the transmission components of a frame is shown in Fig. 2. As depicted, multicast DCF transmissions are not acknowledged. Let R denote the data rate in bps and b the size of the data frame in bytes. Then, the time needed for transmitting frame components can be computed as shown in the following table 1.

Table 1

Part	Time
Data Frame	$192ns + 8b/R$
SIFS	10ns
ACK	$192ns + 112/R$
DIFS	50ns

Furthermore, in the scenario of a single client constantly transmitting, the average random back-off time is 310 ns (see [4]). The actual data frame have an overhead of 34 bytes for the 802.11 MAC header, 20 bytes of IP header and 8 bytes of UDP header totaling 62 bytes plus the UDP payload size. Summing up these values, the fixed overhead per frame as illustrated in Fig. 2 for multicast traffic at 2 Mbps can be calculated as 800ns.

This value matches well with the overhead measured in the experiment. The experimental values are a little bit higher due to the fact that the overhead of periodic beacons sent out by the stations in the Ad - Hoc networks is not included in the calculated value. As a multicast frame transmission does not include the transmission of an acknowledgment, the multicast transmission of a frame at 2 Mbps is 258 ns shorter than the unicast transmission of the frame at the same data rate. This was also experimentally verified. In the same scenario as described above, unicast traffic with 1472 byte of UDP payload achieves a maximal thro-

ughput of 1.68 Mbps as opposed to 1.76 Mbps observed for multicast traffic.

III. MAC Multicast Multihop Forwarding

It was studied the behavior of VoIP traffic when forwarded over multiple hops using 802.11 MAC multicast in an 802.11b Ad - Hoc network. The same results are, if the traffic is forwarded between access points that form a wireless distribution system (WDS) via MAC multicast. It were used five laptops as shown in Fig. 3. The laptops were deployed in an office environment. The distance between two communicating stations was between 25 m and 30 m. Non - adjacent stations were not in line of sight of each other with heavy wall structures between them. Thus, each station could receive transmissions only from its immediate neighbors in the Fig. 3. The signal strength between immediate neighbors was excellent. The sender synthesized a traffic stream equivalent to a VoIP stream generated by an ITU G.729 codec with 30 ms of audio data per sent packet (42 bytes UDP payload per packet). It were used this codec as it is commonly used in wireless environments. Experiments with other codecs lead to similar results. In order to reach the rightmost receiver (4th Hop), the frame needed to be forwarded by all stations in between. For frame forwarding and voice synthesis, it was used a framework that is described in detail in [5]. In this framework, flooding is used for multicast packet distribution in the network. In other words, each receiving station forwards each received MAC multicast frame the first time it receives it. A multicast storm is avoided by memorizing which packets have already been forwarded. Transmitted packets are stored for 1 second, amounting to a maximal memory usage of 245 KB at a data rate of 2 Mbps. It should be noted that the focus of this paper is strictly on experimentally investigating the behavior of the 802.11 MAC multicast transmissions. It was chose flooding for the experiments because it constitutes the simplest way of facilitating a framework for the experiments. This choice has no influence on the results of the experiments. As any other MAC multicast routing framework must forward packets the same way in the studied topology, the obtained results in terms of MAC multicast properties would not change for any other routing mechanism.



Fig. 3. Schematic Laptop Configuration in Multihop Forwarding Experiment.

In order to calculate the round trip time, receiving stations randomly responded to about every 50th voice packet received. Each experiment lasted 105 seconds, i.e., consisted of 3500 voice packets. At each receiver, it was calculated loss and jitter as specified in [9]. The round trip time to / from all receivers was computed at the sender based on the responses from the receivers. Apart from the VoIP stream and the sporadic responses from the receivers as described above, no other traffic was present. The obtained values for loss, jitter and round trip time were as follows:

Tabel 2

Feature		1st	2nd	3rd	4th Hop
Loss Ratio	avg.	0.007	0.012	0.015	0.017
	std. dev.	0.003	0.004	0.006	0.007
Jitter	avg.	0.18	0.21	0.47	0.80
	std. dev.	0.06	0.09	0.22	0.16
RTT	avg. [ms]	2.96	6.46	9.79	13.04
	std. dev.	1.55	0.95	0.44	1.58

Fig. 4 shows the loss ratios in all experiments for all receivers. The rates for loss, jitter and round trip time were fairly consistent. The values for delay, loss and jitter increase with the number of hops. In this four hop scenario, round trip time and jitter are more than acceptable for VoIP traffic. The loss ratio of 1.7% at the fourth hop can be considered just acceptable for VoIP. In the studied forwarding configuration, it is clear that every frame lost at a hop cannot be forwarded and thus also counts as lost at subsequent hops. The per - hop loss ratio is between 0.2% and 0.7%. While this is significantly higher than in the previous experiment where sender and receiver were immediately co - located, we obtained identical values for per - hop loss when we checked the individual link loss ratios in this setting.

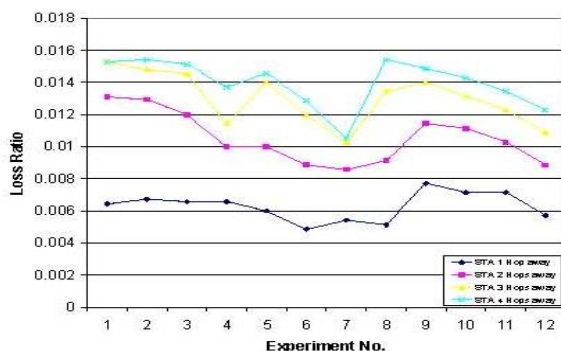


Fig.4 Loss Ratio for Multihop Experiment

The loss ratios in the instances of this experiment varied significantly. The increase in ro-

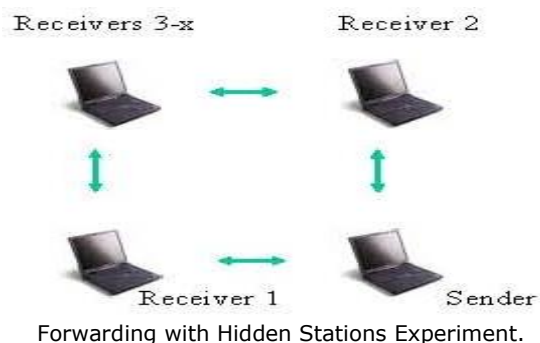
und trip time of 3 ms to 4 ms per hop is expected. The transmission time for a frame is roughly 1 ms which amounts to a minimal round trip time of 2 ms per hop. The additional time is due to the necessary additional processing for forwarding. The observed jitter values increase with the number of hops; they are very low at all four receivers.

To summarize, the quality of the VoIP multicast stream was acceptable at all four receivers. Assuming a similar per-hop increase in loss ratio (between 0.2% and 0.7%), the quality of the VoIP traffic would no longer be sufficient or at least critical at a potential fifth hop.

IV.MAC Multicast Multihop Forwarding with hidden Stations

In the next experiment, it was studied multihop forwarding with hidden stations. For this experiment, four to six Laptops were deployed as schematically depicted in Fig. 5. The sender could send to receivers 1 and 2 directly. receivers 1 and 2 could not receive each other's transmissions. Up to three laptops, receiver 3-1, 3-2 and 3-3 were co-located in a position such that all could listen to receivers 1 and 2 but could not listen to the sender. Of course, 3-1, 3-2 and 3-3 could receive each other's transmissions. All machines forwarded each packet exactly once as described before. It were conducted three variants of this experiment. In Experiment 1, only receiver 3-1 was active. In experiment , receivers 3-1 and 3-2 were active and in experiment 3, receivers 3-1, 3-2 and 3-3 were active. Each experiment consisted of 3500 sent frames and was repeated 50 times.

Fig. 5 Schematic Laptop Configuration in Multihop



For delay and jitter, was observed an average jitter value of below 0.3 for all stations in all experiments and the round trip time varied between 3 ms and 8 ms depending on the number of hops. As these values are excellent for VoIP and expected, the discussion will be focus on the observed loss ratios. The follo-

wing table shows the loss ratios for all stations.

Tabel 3

Exp. No.	Feature	Recv. 1	Recv. 2	Recv. 3-1	Recv. 3-2	Recv. 3-3
1	Loss avg.	0.0187	0.015	0.137		
	Loss std.	0.043	0.041	0.125		
2	Loss avg.	0.006	0.005	0.021	0.021	
	Loss std.	0.0023	0.029	0.615	0.614	
3	Loss avg.	0.002	0.001	0.009	0.012	0.008
	Loss Ratio std.	0.002	0.002	0.009	0.009	0.009

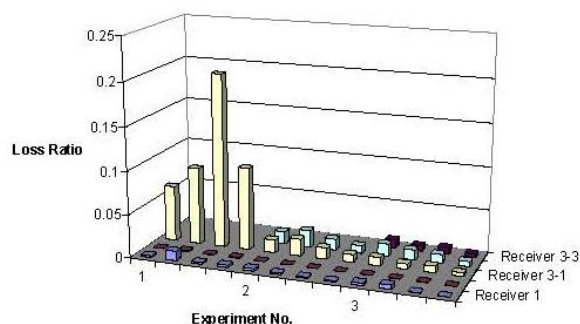


Fig. 6 Loss Ratio in Multihop Forwarding with Hidden Stations Experiment.

In experiment 1, the loss ratio for receivers 1 and 2 is 1.9 % and 1.5 % respectively and for receiver 3 - 1 it is around 14%. The loss ratios at receivers 1 and 2 is higher than in the previous experiment. This is due to five experiments in the series with very high loss ratios at receivers 1 and 2 (up to 26%). When these effects are discounted, loss at 1 and 2 is comparable to the loss at the first hop in the previous experiment. The reason for the very high loss ratio at receiver 3-1 (in the previous experiment, the loss ratio at the second hop was only 1.2%) is the hidden station problem. Receiver 1 and 2 receive the same packet to forward from the sender. As 1 and 2 cannot sense each others transmission, they start transmitting at the same time.

The CSMA/CA backoff mechanism of the 802.11 MAC does not help because it can only prevent collisions between transmissions of stations that can sense each other. If stations cannot sense each other, depending on the chosen backoff value, each station defers its transmission between 0 ms and 0.62 ms, but the transmission of a frame takes around 1 ms. Thus, receiver 1 and 2 transmit virtually always simultaneously which results in interference at receiver 3 - 1. This station is able to

recover about 74% of the sent frames (not every interference leads to frame loss) but it cannot recover 26% of the traffic.

Experimentally was confirmed this conjecture. In a variant of experiment 1 with receiver 1 (receiver 2, respectively) switched off, the loss ratio at receiver 3-1 was in the same range as the loss ratio at the second hop in the preceding experiment. In other variations, was tested how sensitive the loss ratio is to minor movements of receivers / senders, tilting of the antennas and the like. It turned out that the general multiple forwarding path effect remained pronounced or even increased, however the actual loss ratio at receiver 3 - 1 varied significantly (from 10 % to 39 %, each variation was only tested once). In all of the tested cases, the loss ratio was unacceptable for VoIP streams.

Given the nondeterministic nature of interference, the co - located stations were set up to forward received frames. Therefore, a receiver that lost a frame when transmitted from 1 and 2 could still receive it when retransmitted by one of its peers. If different frames were lost at different receivers, the overall loss ratios should decline. Indeed, experiments 2 and 3 confirmed this conjecture. When one machine is co - located with 3 - 1, the loss - rate at stations 3 - 1 and 3 - 2 drops to around 2%. When two machines are co - located with 3 - 1, the loss ratio drops further to attain 1 % for all of the co - located stations

Tabel 4

Source \ At	Station 3 - 1	Station 3 - 2	Station 3 - 3
Station 1	0.925657	0.402895	0.94474
Station 2	0.010925	0.46052	0.007871
Station 3 - 1		0.078595	0.018527
Station 3 - 2	0.030412		0.02058
Station 3 - 3	0.024247	0.045799	
Loss	0.008751	0.012191	0.008605

Table 4 shows the immediate sources of newly received frames at receivers 3-1, 3-2 and 3-3 in experiment 3. Receivers 3-1 and 3-3 receive most of their packets from receiver 1, receiver 3 - 2 receives equally from receiver 1 and 2. Each of the stations receive at least 5 % of the frames from one of their peers, and the received ratio from both peers is comparable for all receivers. As can be observed, the derived loss ratios for receivers 3-1, 3-2 and 3-3 when discounting packets received from peers varies between 5 % and 13 %. When considering the quality of the VoIP stream, it would be insufficient in this experiment at each of the receivers 3-x without retransmissions from the peers.

This experiment shows that the forwarding of MAC multicast traffic is not always advisable. A spanning tree approach (as pursued by most multicast routing protocols) could easily avoid the interference loss at receiver 3 in the above scenario. However, consider an extended scenario with two additional stations 4 (5, respectively) which can only receive transmissions from receiver 1 (2). In this case, both receiver 1 and 2 need to be in the spanning tree. As it turns out, apart from Receiver 1 and 2 both immediately forwarding after receiving a transmission from the sender, only two additional variants are possible, namely the forwarding sequences S-1-3-2 and S-2-3-1. These transmission sequences would lead to significantly increased round trip time and jitter as well as a higher loss ratio at receiver 5 (4) since traffic from the sender to 5 (4) is relayed over three hops as opposed to one before. It is not difficult to construct other configurations in which multiple forwarding paths with hidden stations lead to similar problems less obvious to solve. Preventing hidden station phenomena by spanning tree approaches for MAC multicast traffic can be difficult.

V. Effect of randomized forwarding delays

The goal of this section is the study of the effect of randomized forwarding delays on loss ratio, round trip time and jitter. In general, the idea is to avoid collisions due to multiple forwarding paths by a random back off mechanism similar to the one used in the 802.11 MAC. This approach will be referred to as "additional back off (AL-back off)". Except for the traffic source, each station draws a random value between 0 and the AL-back off value (which is similar to the CW-value in 802.11). This value in milliseconds is the time the station waits before forwarding the packet. The timing values are chosen such that two frames with different back off are transmitted at different times.

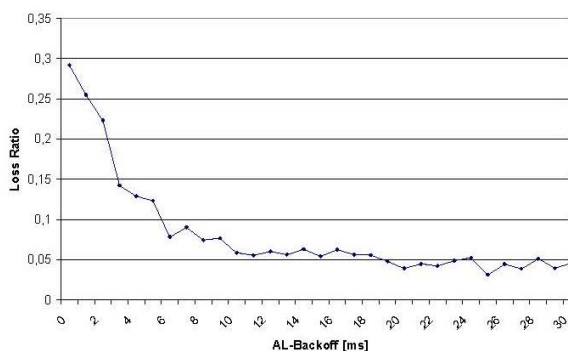


Fig. 8 Loss Ratio with Additional Backoff in Multicast Multihop with Hidden Stations Experiment

Fig. 8 shows the loss ratio as a function of the used AL-backoff in an experimental setup simi-

lar to the Multicast Multihop with Hidden Stations Experiment. The placement of the stations in this experiment is not identical to the one described in the previous section and the loss ratio without additional backoff in this experiment is somewhat higher. The following table 5 shows jitter and round trip time.

Table 5

AL-Backoff [ms]	Loss Ratio	Jitter	RTT [ms]
0	0.292	0.12	6.47
5	0.123	0.93	7.64
10	0.059	2.57	9.04
15	0.054	3.83	11.00
20	0.039	5.33	13.37
25	0.031	6.50	15.85

The loss ratio in the experiment drops from 29 % to below 5 % with increasing AL-backoff. The most significant decrease in loss ratio occurs for small AL-backoff values. As would be expected, jitter and RTT do increase with increasing AL-backoff values. So, in this scenario, using an AL-backoff could help to decrease the loss ratio while not increasing round trip time or jitter to unacceptable levels.

The results of the effect of an AL-backoff in the Multicast Multihop Forwarding scenario are shown in Fig. 9, Fig. 10 and Fig. 11. As the two scenarios show, such a mechanism may be helpful, in particular with low AL-backoff values. The loss ratios improve significantly when using such a mechanism in the multiple forwarding path scenario.

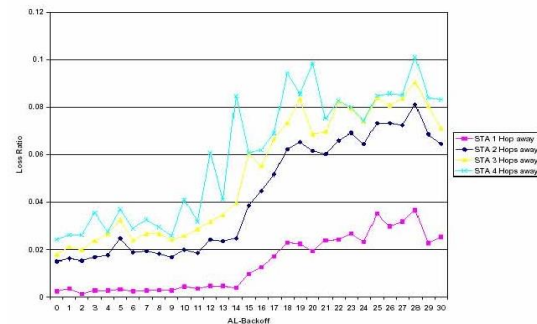


Fig. 9. Loss Ratio with Additional Backoff in Multicast Multihop Forwarding Experiment

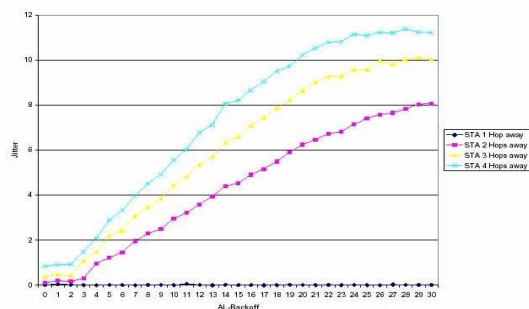


Fig. 10. Jitter with Additional Backoff in Multicast Multihop Forwarding Experiment

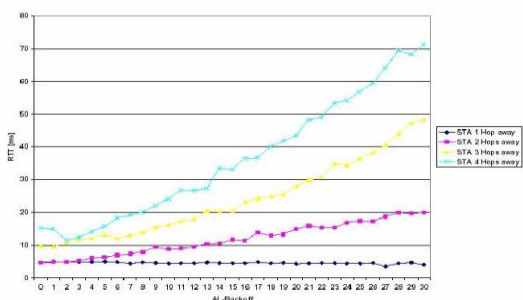


Fig. 11. Round Trip Time with Additional Backoff in Multicast Multihop Forwarding Experiment.

VI. Conclusions

This paper presented the experiments with MAC multicast traffic over IEEE 802.11 networks. The results show that even in a simple linear topology, the per-hop loss ratio is between 0.2 % and 0.7 %. Hence, even when using such networks exclusively for multi cast - VoIP traffic, frame loss becomes critical if traffic is relayed over more than four hops in such a topology. The hidden terminal problem can lead to significantly higher frame loss, rendering VoIP unusable. Thus, the experiments suggest that, even for VoIP traffic that tolerates some loss, MAC multicast can in general only be used if additional higher - layer mechanisms are in place to mitigate MAC frame loss. Despite the results obtained in this experimental study, unreliable multicast transmissions may still be "good enough" in many scenarios, in particular if the station density is high.

References

- [1] IEEE 802.11, 11a, 11b standard for wireless Local Area Networks. <http://standards.ieee.org/getieee802/802.11.html>
- [2] S. Garg and M. Kappes. Admission Control for VoIP Traffic in IEEE802.11 Networks. In Proceeding of IEEE GLOBE COM 2003, San Francisco, California, 2003
- [3] S. Garg and M. Kappes. An experimental Study of Throughput for UDP and VoIP Traffic in IEEE 802.11b Networks. In proceed-

ing of the IEEE Wireless Communication and Networking Conference (WCNC) 2003, New Orleans, LA, 2003.

[4] M. Kappes. An Application-Layer Approach to Communication in 802.11 Ad-Hoc Networks. In proceeding of the IEEE Wireless Communication and Networking Conference (WCNC) 2004, Atlanta, GA, 2004

[5] S. Garg and M. Kappes Can I Add a VoIP Call? In Proceeding of the IEEE International Conference of Communication (ICC) 2003, Anchorage, Alaska, 2003.

[6] K. Tang, K. Obraczka, S-J. Lee and M. Gerla. Reliable Adaptive Lightweight Multicast Protocol. In Proceeding of the IEEE International Conference of Communication (ICC) 2003, Anchorage, Alaska, 2003.

[7] J. G. Jetcheva and D. B. Johnson. Adaptive Demand Driven Multicast Routing in Multi-Hop Wireless Ad Hoc Networks. Proceeding of the 2001 ACM international Symposium on Mobile Ad Hoc Networking & Computing Long Beach, CA, 2001.

[8] S-J Lee, W.Su and M. Gerla. On - demand Multicast Routing Protocol in Multihop Wireless Network and Applications 7 (6): 441 - 453, 2002

The security in wireless networks based on 802.11 standards. Problems and solutions. Developments of 802.11 standards in connection with security problems

Post-Graduate Eng. Mirela Ioanesiu
 Technical University of Timisoara
 E-mail:ioanesium@yahoo.com

1 Introduction

Organizations are rapidly deploying wireless infrastructures based on the IEEE 802.11 standard [1]. Unfortunately, the 802.11 standard provides only limited support for confidentiality through the wired equivalent privacy (WEP) protocol which contains significant flaws in the design [2, 3]. Furthermore, the standards committee for 802.11 left many of the difficult security issues such as key management and a robust authentication mechanism as open problems. As a result, many of the organizations deploying wireless networks use either a permanent fixed cryptographic variable or key or no encryption what so ever. This fact, coupled with the fact that wireless networks provide a network access point for an adversary (potentially beyond the physical security controls of the organization), creates a significant long term security problem. Compounding this is the fact that the access control mechanisms available with current access points contain serious flaws such that an adversary can easily subvert them.

Organizations over the last few years have expended a considerable effort to protect their internal infrastructure from *external* compromise. As a result, the organizations have canalized their external network traffic through distinct openings protected by firewalls. The idea is simple. By limiting external connections to a few well protected openings, the organization can better protect itself. Unfortunately, the deployment of a wireless network opens a "back door" into the internal network that permits an attacker access beyond the physical security perimeter of the organization. As a result, the attacker can implement the "parking lot" attack, see figure 1, where the attacker sits in the organization's parking lot and accesses hosts on the internal network.

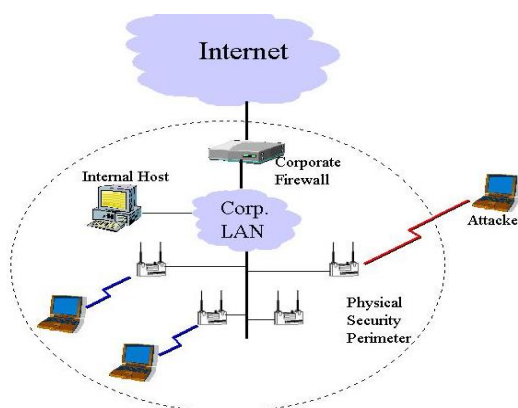


Figure 1: The Parking Lot attack

Ironically in some cases, the existence of the firewall may make the organization's hosts more vulnerable to the attacker because of the mistaken premise that the hosts are immune from attack and potential compromise. This paper describes the flaws in the two access control mechanisms that exist in access points and a simple eavesdropping attack against the 802.11 specified shared key authentication mechanism. Exploiting these flaws when encryption is not enabled permits an adversary immediate access to the wireless network and most likely the organization's local area network as well. The use of encryption prevents an adversary from gaining immediate access, but combining the attacks with the weaknesses found in WEP by others provides such access [2, 3]. The next section presents a short overview of the 802.11 wireless standard. This is followed an overview of the 802.11 security mechanisms and extension for access control. The next section describes attacks against the only two access control mechanisms avail-

lable in most current access points, and an attack against the 802.11 standard shared key authentication mechanism. Finally, I conclude the paper with recommendations or organizations with operational wireless networks.

2 802.11 Wireless Networks

802.11 wireless networks operate in one of two modes- *ad-hoc* or *infrastructure* mode. The IEEE standard defines the *ad-hoc* mode as Independent Basic Service Set (IBSS), and the *infrastructure* mode as Basic Service Set (BSS). In the remainder of this section, we explain the differences between the two modes and how they operate. In *ad hoc* mode, each client communicates directly with the other clients within the network, see figure 2. *ad-hoc* mode is designed such that only the clients within transmission range (within the same cell) of each other can communicate.

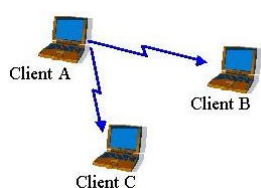


Figure 2: Example ad-hoc network

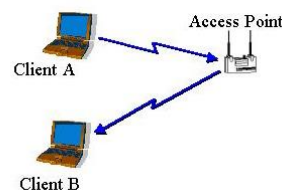


Figure 3: Example infrastructure network

If a client in an *ad-hoc* network wishes to communicate outside of the cell, a member of the cell *MUST* operate as a gateway and perform routing. In *infrastructure* mode, each client sends all of its communications to a central station, or access point (AP). The access point acts as an ethernet bridge and forwards the communications onto the appropriate network—either the wired network, or the wireless network, see figure 3. Prior to communicating data, wireless clients and access points must establish a relationship, or an *association*. Only after an *association* is established can the two wireless stations exchange data. In *infrastructure* mode, the clients associate with an access point. The association process is a two step process involving three states:

1. Unauthenticated and unassociated,
2. Authenticated and unassociated, and
3. Authenticated and associated.

To transition between the states, the communicating parties exchange messages called management frames. I will now walk through a wireless client finding and associating with an access point. All access points transmit a *beacon* management frame at fixed interval. To associate with an access point and join a BSS, a client listens for beacon messages to identify the access points within range. The client then selects the BSS to join in a vendor independent manner. For instance on the Apple Macintosh, all of the network names (or service set identifiers (SSID)) which are usually contained in the beacon frame are presented to the user so that they may select the network to join. A client may also send a *probe* request management frame to find an access point affiliated with a desired SSID. After identifying an access point, the client and the access point perform a mutual authentication by exchanging several management frames as part of the process. The two standardized authentication mechanisms are described in sections 3.2 and 3.3. After successful authentication, the client moves into the second state, *authenticated and unassociated*. Moving from the second state to the third and final state, *authenticated and associated*, involves the client sending an *association* request frame, and the access point responding with an *association* response frame. After following the process described in the previous paragraph, the client becomes a peer on the wireless network, and can transmit data frames on the network.

3 802.11 Standard Security Mechanisms

The 802.11 standard provides several mechanisms intended to provide a secure operating environment. In this section, I describe each of these mechanisms.

3.1 Wired Equivalent Privacy protocol

The Wired Equivalent Privacy (WEP) protocol was designed to provide confidentiality for network traffic using the wireless protocol. The details of the algorithm used for WEP are beyond the scope of this paper. However, work by Walker and more recently by Borisov, Goldberg and

Wagner demonstrates that WEP, when used without a short key period, provides limited confidentiality [2, 3], and possible misuse of the network.

3.2 Open System Authentication

Open system authentication is the default authentication protocol for 802.11. As the name implies, open system authentication authenticates anyone who requests authentication. Essentially, it provides a NULL authentication process. Experimentation has shown that stations do perform a mutual authentication using this method when joining a network and our experiments show that the authentication management frames are sent in the clear even when WEP is enabled.

3.3 Shared Key Authentication

Shared key authentication uses a standard challenge and response along with a shared secret key to provide authentication.

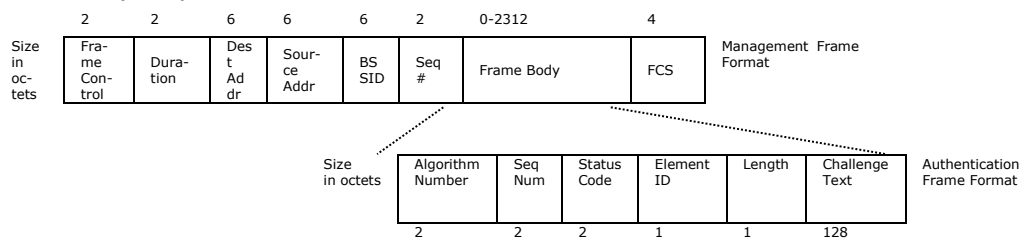


Figure 4: Authentication Management Frame

The station wishing to authenticate, the *initiator*, sends an authentication request management frame indicating that they wish to use "shared key" authentication. The recipient of the authentication request, the *responder*, responds by sending an authentication management frame containing 128 octets of challenge text to the *initiator*. The challenge text is generated by using the WEP pseudo-random number generator (PRNG) with the "shared secret" and a random initialization vector (IV). Once the *initiator* receives the management frame from the *responder*, they copy the contents of the challenge text into a new management frame body. This new management frame body is then encrypted with WEP using the "shared secret" along with a new IV selected by the initiator. The encrypted management frame is then sent to the *responder*. The *responder* decrypts the received frame and verifies that the 32-bit CRC integrity check value (ICV) is valid, and that the challenge text matches that sent in the first message. If they do, then authentication is successful. If the authentication is successful, then the initiator and the responder switch roles and repeat the process to ensure mutual authentication. The entire process is shown in figure 5, and the format of an authentication management frame is shown in figure 4. The format shown is used for all authentication messages. The value of the status code field is set to zero when successful, and to an error value if unsuccessful. The element identifier identifies that the challenge text is included. The length field identifies the length of the challenge text and is fixed at 128. The challenge text includes the random challenge string. Table 1 shows the possible values and when the challenge text is included based on the message sequence number.

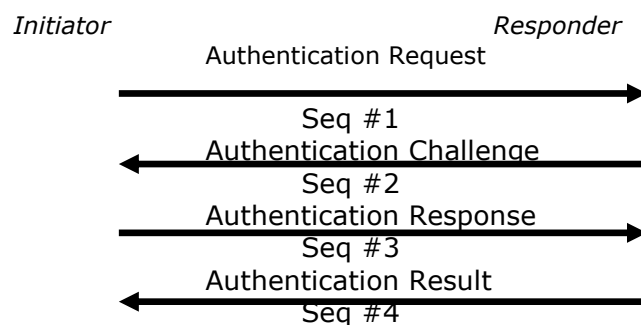


Figure 5: Mutual Station Authentication using shared keys

Table 1: Message Format based on Sequence Number

Sequence number	Status code	Challenge text	WEP used
1	Reserved	Not present	No
2	Status	Present	No
3	Reserved	Present	Yes
4	Status	Not Present	No

3.4 Closed Network Access Control

Lucent has defined a proprietary access control mechanism called *Closed Network* [5]. With this mechanism, a network manager can use either an *open* or a *closed* network. In an open network, anyone is permitted to join the network. In a closed network, only those clients with knowledge of the network name, or SSID, can join. In essence, the network name acts as a *shared secret*.

3.5 Access Control Lists

Another mechanism used by vendors (but not defined in the standard) to provide security is the use of access control lists based on the ethernet MAC address of the client. Each access point can limit the clients of the network to those using a listed MAC address. If a client's MAC address is listed, then they are permitted access to the network. If the address is not listed, then access to the network is prevented.

3.6 Key Management

Key management is a misnomer with respect to 802.11 as it is left as an exercise for vendors. As a result, only a few of the major vendors have implemented any form of key management or key agreement in their high-end products. Unfortunately, none of the vendors provide sufficient information to determine the level of assurance provided by their product. Worse, in some cases, the details that are available indicate that the vendors "solution" worsens the problem by using protocols with well-known vulnerabilities, e.g. un-authenticated Diffie-Hellman key agreement. The 802.11 standard does, however, provide for two methods for using WEP keys. The first provides a window of four keys. A station or AP can decrypt packets enciphered with any one of the four keys. Transmission, however, is limited to one of the four manually entered keys—the *default key*. The second method is called a key mappings table. In this method, each unique MAC address can have a separate key. The size of a key mappings table should be at least ten entries according to the 802.11 specification. The maximum size, however, is likely chip-set dependent. The use of a separate key for each user mitigates the cryptographic attacks found by others, but enforcing a reasonable key period remains a problem as the keys can only be changed manually.

4 Weaknesses in Current Access Control Mechanisms

This section describes the weaknesses in the access control mechanisms of currently deployed wireless network access points.

4.1 Access control mechanism

In practice, security mechanisms based on a shared secret are robust provided the secrets are well-protected in use and when distributed. Unfortunately several management messages contain the network name or SSID, and these messages are broadcast in the clear by access points and clients. The actual message containing the SSID depends on the vendor of the access point. The end result, however, is that an attacker can easily *sniff* the network name- determining the shared secret and gaining access to the "protected" network. This flaw exists even with WEP enabled because the management messages are broadcast in the clear.

4.2 Ethernet MAC Address Access Control Lists

In theory, access control lists provide a reasonable level of security when a strong form of identity is used. Unfortunately, this is not the case with MAC addresses for two reasons. First, MAC addresses are easily *sniffed* by an attacker since they MUST appear in the clear even when WEP is enabled, and second most all of the wireless cards permit the changing of their MAC address via software. As a result, an attacker can easily determine the MAC addresses permitted access via eavesdropping, and then subsequently masquerade as a valid address by programming the desired address into the wireless card—by-passing the access control and gaining access to the “protected” network.

5 Shared Key Authentication Flaw

The current protocol for shared key authentication is easily exploited through a passive attack by the eavesdropping of one leg of a mutual authentication.

The attack works because of the fixed structure of the protocol (the only difference between different authentication messages is the random challenge), and the previously reported weaknesses in WEP [2, 3]. The attacker first captures the second and third management messages from an authentication exchange, see table 1. The second message contains the random challenge in the clear, and the third message contains the challenge encrypted with the shared authentication key. Because the attacker now knows the random challenge (*plaintext*, P), the encrypted challenge (*ciphertext*, C), and the public IV , the attacker can derive the pseudo-random stream produced using WEP, $WEP_{PR}^{K,IV}$, with the shared key, K , and the public initialization variable, IV , using equation 1.

$$WEP_{PR}^{K,IV} = C \oplus P \quad (1)$$

The size of the recovered pseudo-random stream will be the size of the authentication frame, see figure 4 because all elements of the frame are known: algorithm number, sequence number, status code, element id, length, and the challenge text. Furthermore, all but the challenge text will remain the same for ALL authentication responses.

The attacker now has all of the elements to successfully authenticate to the target network—without knowing the shared secret K . The attacker requests authentication of the access point it wishes to associate/join. The access point responds with an authentication challenge in the clear. The attacker, then, takes the random challenge text, R , and the pseudo-random stream, $WEP_{PR}^{K,IV}$, and computes a valid authentication response frame body by *XOR-ing* the two values together. The attacker then computes a new integrity check value (ICV) as described in Borisov et. al. [3, 6]. Now, the attacker responds with a valid authentication response message, and he associates with the AP and joins the network³. Utilizing the network when WEP is enabled, however, requires the attacker to implement the WEP attacks [2, 3].

5.1 802.1X/Extensible Authentication Protocol

802.1X is an IEEE standard that allows authentication and key management for wireless (and wired) networks. 802.1X is used to control access to a network at the port level, and prevent unauthenticated/unauthorized devices from gaining access to a network. 802.1X is not a cipher (encryption algorithm, like WEP, AES, etc.), but rather, it focuses on authentication. 802.1X provides a framework, referred to as the extensible authentication protocol (EAP), to allow different types of authentication to be used. This allows 802.1X-enabled clients, access points, and switches to support a variety of authentication methods, including passwords, tokens, smartcards, certificates, etc. 802.1X is generally integrated with a backend authentication/authorization/accounting server, such as a RADIUS server. 802.1X enables mutual authentication, which prevents a rogue device from connecting to the wireless network, and prevents a rogue access point from tricking a device into connecting to it.

5.2 WPA, WPA2, and 802.11i

Due to deficiencies in WEP, enterprises and vendors began to supplement WEP with third-party solutions, some of which are proprietary. Around the same time, the IEEE began work on 802.11i, which defines strong security for wireless networks.

In order to try to maintain compatibility among the various solutions, the Wi-Fi Alliance (a group of wireless vendors) defined WiFi protected access (WPA). WPA was defined as a forward-compatible standard, which includes portions of the 802.11i standard, particularly those portions which would run on existing wireless access point and device hardware.

WPA replaces WEP with a strong encryption technology called temporal key integrity protocol (TKIP). TKIP provides enhanced data encryption, including a per-packet key mixing function. TKIP also provides a message integrity check (MIC), extended initialization vector (IV) with sequencing rules, and a re-keying mechanism.

WPA also uses the 802.1X/EAP standard for authentication, employing different authentication schemes for enterprise and home users. Home users generally use shared secret keys, whereas enterprises generally use a stronger authentication technology aided by a central server based on RADIUS.

WPA2 is now available, and reflects the full 802.11i specification. WPA2 is very similar to WPA, but includes support for the advanced encryption standard (AES), which offers stronger encryption suitable for use in the U.S. Government. Note that AES is more computationally intensive than other kinds of encryption, and may require various access points and devices to be upgraded.

As of today, most wireless access points and devices support WPA, and support for WPA2/full 802.11i is increasing. These standards, along with a strong 802.1X/EAP authentication method, should be used for enterprise-class security, especially when such a critical service as wireless VoIP is made available. Unfortunately, this type of security requires set up and configuration, and even though it is available, it isn't widely used by enterprises.

5.3 Other Security Approaches

In addition to the link-level security offered by WEP, 802.1X/EAP, WPA, and WPA2/802.11i, other security approaches can also be used:

Virtual private networks (VPNs): connect wireless devices to the enterprise and provide authentication and encryption.

6 Conclusions and Future Work

These demonstrates serious flaws in *ALL* of the security mechanisms used by the vast majority of access points supporting the IEEE 802.11 wireless standard. The end result is that *ALL* of the deployed 802.11 wireless networks are at risk of compromise— providing a network access point to internal networks beyond the physical security controls of the organization operating the network. Unfortunately, fixing the problem is not easy nor straight forward. An interim short term mitigation (not a complete solution) is a robust key management system for WEP, and the use of higher level security mechanisms, e.g. IPsec. These mechanisms, however, just mitigate the problem until a new encapsulation algorithm is established by the IEEE 802.11 standards committee, and packet forgery will remain a problem until data authentication becomes standard. The only good long term solution is a major overhaul of the current standard which may require replacement of current AP's (although in some cases a firmware upgrade may be possible). Fortunately, the 802.11 standards body is currently working on significant improvements to the standard [7]. However, it is too late for deployed networks and for those networks about to be deployed. A number of vendors are now releasing high-end access points claiming that they provide an increase in security. Unfortunately, few of the products provide enough information to determine the overall assurance that the product will provide, and worse, several of the products that do provide enough information use un-authenticated Diffie-Hellman which suffers from a well-known *man in the middle* attack. The use of un-authenticated Diffie-Hellman introduces a greater vulnerability to the organization's network. The increase in risk occurs because an attacker can insert themselves in the middle of the key exchange between the client and the access point— obtaining the session key, K . This is significantly worse than the current situation where the attacker must first determine the pseudorandom stream produced for a given key, K , and public IV , and then use the stream to forge packets.

References

[1] "LAN MAN Standards of the IEEE Computer Society. Wireless LAN medium access control (MAC) and physical layer(PHY) specification. IEEE Standard 802.11, 1997 Edition," 1997.

- [2] J. Walker, "Unsafe at any key size: an analysis of the WEP encapsulation," Tech. Rep. 03628E, IEEE 802.11 committee, March 2000.<http://grouper.ieee.org/groups/802/11/Documents/DocumentHolder/0-362.zi%p>.
- [3] N. Borisov, I. Goldberg, and D. Wagner, "Intercepting Mobile Communications: The Insecurity of 802.11." <http://www.isaac.cs.berkeley.edu/isaac/wep-faq.html>.
- [4] L. Blunk and J. Vollbrecht, "PPP Extensible Authentication Protocol (EAP)," Tech. Rep. RFC2284, Internet Engineering Task Force (IETF), March 1998.
- [6] J. Walker, "Overview of 802.11 security." http://grouper.ieee.org/groups/802/15/pub/2001/Mar01/01154r0P802-15_TG3%20-Overview-of-802-11-Security.ppt, March 2001.
- [7] IEEE 802.11 Working Group. <http://grouper.ieee.org/groups/802/11/index.html>.
- [8] * * *: IEEE 802.11 and 802.11b Technology, Internet documentation
- [9] * * *: Web Page from Wi-Fi Alliance, <http://www.weca.net/OpenSection/index.asp>
- [10] Arbaugh, W.A., N. Shankar, Y.C.J. Wan: Your 802.11 Wireless Network has No Clothes, Univ. Maryland, documentatie Internet, www.cs.umd.edu/~waa/wireless.pdf
- [11] Brenner, P.: A Technical Tutorial on the IEEE 802.11 Protocol, Internet documentation, www.sss-mag.com/pdf/802_11tut.pdf
- [12] * * *: DELL Co.-Wireless security in 802.11 (Wi-Fi®) networks, White papers 2003, documentatie Internet.
- [13] Lough, D.L., T.K. Blankenship, K. J. Krizman: A Short Tutorial on Wireless LANs and IEEE 802.11, Politehnic Institute - Bradley-Virginia.
- [14] SCHAFFER, G.: Network Security & IEEE 802.11 Wireless LANs, Tutorial, Paris, 2002.
- [15] SIMON, D., B. Aboba, T. Moore: IEEE 802.11 Security and 802.1X, doc IEEE 802.11 00/034r1, 2000.
- [16] WALKER, J.: Unsafe at any Key Size: an Analysis of the WEP Encapsulation, doc IEEE 00-362, 2000.
- [17] WALKER, J.: 802.11 Security Series, Intel Corporation, documentatie firma, 2002.